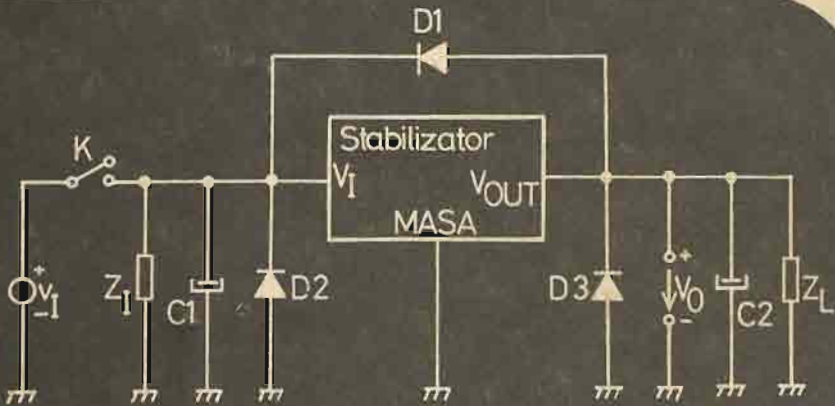




• TV Oradea



Colecția radio și televiziune

142

## Prefață

• r.t.v • r.t.v • r.t.v • r.t.v

Problematica surselor de alimentare cu energie electrică a circuitelor și aparatelor electronice suscătă un interes deosebit în perspectiva evoluției industriei electronice și implicit în modernizarea aparaturii din acest domeniu.

Funcționarea circuitelor și aparatelor electronice necesită pentru alimentarea cu energie surse de tensiune continuă. Această tensiune se obține în mod obișnuit de la baterii sau de la rețea prin redresarea și filtrarea tensiunii alternative.

Indiferent de tipul sursei de energie folosite, consumatorul trebuie alimentat cu o tensiune și un curent de o anumită mărime, iar această mărime trebuie să fie menținută în limite determinate de parametrii de funcționare ai circuitului sau ai aparatului respectiv. Pentru aceasta se utilizează stabilizatoare de tensiune respectiv stabilizatoare de curent.

Stabilizatorul constituie una din verigile importante ale lanțului de alimentare electrică a aparaturii electronice. În acest context, spre a reliefa întreaga gamă de caracteristici și utilizări din domeniu, s-a apreciat utilă punerea la îndemâna cititorilor în lucrarea de față a unui material practic care să ofere o privire de ansamblu.

Aria tematică a acestei lucrări este largă. O atenție deosebită se acordă prezentării principiilor de funcționare și caracteristicilor stabilizatoarelor de tensiune in-

Recenzent: ing. **Mircea Bodea**  
Redactor: ing. **Smaranda Dimitriu**  
Tehnoredactor: **Maria Trăsnea**  
Coperta: **Simona Dumitrescu**

Bun de tipar: 14.11.1983. Coli de tipar: 18,50.  
C.Z. 621.

Tiparul executat sub comanda nr. 303/1983,  
la Întreprinderea Poligrafică „Crișana“,  
Oradea, str. Moscovei nr. 5.  
Republica Socialistă Română



tegrate realizate în țara noastră. O bună parte din montajele descrise au fost experimentate de autori.

Lucrarea se adresează studenților, tehnicienilor, absolvenților liceelor de electronică, precum și radioamatörilor care doresc să exploreze aspectele tehnice ale acestui domeniu.

Înainte de trecerea la realizarea practică a montajelor se recomandă consultarea foilor de catalog specifice componentelor semiconductoare utilizate.

## Cuprins

r.t.v. r.t.v. r.t.v. r.t.v.

Prefață . . . . .	3
<b>Capitol 1. Generalități . . . . .</b>	7
1.1. Definiții . . . . .	7
1.2. Rolul stabilizatorului de tensiune în apăratura electrică . . . . .	10
1.3. Principii de funcționare . . . . .	12
1.4. Schema (bloc a) unui stabilizator de tensiune cu reacție	15
1.5. Stabilizatoare de tensiune integrate monolitice . . . . .	17
1.6. Parametri electrici . . . . .	18
1.7. Clasificarea stabilizatoarelor de tensiune . . . . .	22
<b>Capitolul 2. Stabilizatoare de tensiune cu componente discrete . . . . .</b>	25
2.1. Stabilizatoare liniare . . . . .	25
2.1.1. Stabilizatoare paramétrice simple . . . . .	25
2.1.2. Stabilizatoare paramétrice cu tranzistoare . .	37
2.1.3. Stabilizatoare liniare cu reacție . . . . .	43
2.2. Stabilizatoare de tensiune în comutație . . . . .	74
2.2.1. Prinzipiul de funcționare . . . . .	76
2.2.2. Elementul regulator . . . . .	84
2.2.3. Clasificare . . . . .	87
2.2.4. Relații de calcul . . . . .	89
2.2.5. Alegerea diodei D. . . . .	98
2.2.6. Scheme de principiu . . . . .	99
<b>Capitolul 3. Protecția stabilizatoarelor de tensiune . . . . .</b>	110
3.1. Suprasarcini posibile . . . . .	111
3.2. Protecția la suprasarcină . . . . .	112
3.2.1. Limitarea curentului de scurtcircuit . . . . .	112
3.2.2. Protecția prin releu . . . . .	119
3.3. Protectia la supratensiuni . . . . .	124
3.4. Protectia la reducerea tensiunii . . . . .	127
<b>Capitolul 4. Stabilizatoare de tensiune integrate monolitice . . . . .</b>	129
4.1. Tehnici de circuit pentru stabilizatoarele monolitice	129
4.1.1. Surse de tensiune de referință . . . . .	133

4.1.2. Amplificator de eroare . . . . .	146
4.1.3. Elementul regulator serie . . . . .	146
4.1.4. Circuite de protecție . . . . .	147
4.1.5. Rețea de polarizare . . . . .	158
4.1.6. Circuite de pornire . . . . .	159
4.2. Stabilizatoare de tensiune continuă monolitice de uz general . . . . .	162
4.2.1. Stabilizatoare din prima generație . . . . .	163
4.2.2. Stabilizatoare de tensiune cu 4 terminale . . . . .	195
4.2.3. Stabilizatoare de tensiune din generația a doua . . . . .	197
4.3. Stabilizatoare de tensiune fixă . . . . .	212
4.3.1. Caracteristici . . . . .	212
4.3.2. Tipuri reprezentative . . . . .	218
4.3.3. Aplicații . . . . .	221
4.4. Stabilizatoare de tensiune duale . . . . .	234
4.4.1. Caracteristici . . . . .	234
4.4.2. Tip reprezentativ . . . . .	238
4.4.3. Aplicații . . . . .	240
4.4.4. Alte tehnici de construcție a stabilizatoarelor duale cu urmărire . . . . .	247
4.5. Stabilizatoare în regim de comutație . . . . .	255
4.5.1. Generalități . . . . .	255
4.5.2. Tehnici de circuit pentru conversia de tensiune cc-cc . . . . .	258
4.5.3. Tipuri reprezentative . . . . .	262
4.5.4. Aplicații . . . . .	268
4.5.5. Stabilizatoare în comutație construite cu stabilizatoare liniare . . . . .	273
4.5.6. Componente pentru convertorul de tensiune cc-cc . . . . .	289
Anexă: Diagrame de conexiuni . . . . .	292

## Bibliografie

# Capitolul 1 • Generalități

• r.ty • r.ty • r.ty

## 1.1. Definiții

Un sistem electronic supus acțiunii unui ansamblu de semnale de intrare furnizează la ieșire o serie de semnale cu caracteristici electrice variabile în timp.

Menținerea invariантă în timp a caracteristicilor electrice ale unui semnal la ieșirea unui sistem, în condiții de variație în domenii specificate a semnalelor de intrare\* se asigură printr-un proces de stabilizare a semnalului respectiv.

Aparatul sau dispozitivul electronic care realizează funcția de stabilizare a parametrilor unui semnal poartă numele de stabilizator.

În funcție de tipul mărimii fizice care caracterizează semnalul de intrare, stabilizatoarele pot fi de tensiune (continuă sau alternativă), de curent, de frecvență, de intensitate luminoasă etc.

Lucrarea de față tratează în exclusivitate stabilizatoarele de tensiune continuă.

Un stabilizator de tensiune continuă este un quadripol, care menține tensiunea de ieșire în limite foarte strânse (teoretic constantă), indiferent de variația tensiunii de intrare, a curentului prin sarcină, sau a tempe-

---

\* Variația temperaturii mediului ambiant în care funcționează sistemul se consideră un semnal de intrare al acestuia.

raturii mediului ambiant, în domenii specificate prin standard sau norme tehnice.

Stabilizatoarele de tensiune continuă fac parte din structura surselor de alimentare alături de transformator, de blocul redresor și de blocul de filtraj. Construcția lor se poate realiza în două moduri:

a) una din cele mai simple metode se bazează pe capacitatea unor componente electronice (diode Zener, tuburi cu descărcare în gaz etc.) de a menține într-un domeniu dat (domeniu de stabilizare) tensiunea constantă la bornele lor. Performanțele de stabilizare a tensiunii de ieșire, asigurate de un stabilizator bazat pe acest principiu, sunt strict determinate de caracteristica tensiune-curent a componentei folosite.

b) o altă metodă de construcție a stabilizatoarelor de tensiune continuă constă în utilizarea unei scheme electrice de amplificator cu reacție (fig.1.1). În acest caz tensiunea de ieșire se menține constantă printr-un proces de reglare automată care se desfășoară în două faze:

— tensiunea de ieșire,  $V_0$ , sau o fracțiune din ea,  $kV_0$  (mărime de reglat), se compară cu o tensiune de referință,  $V_{REF}$  (mărime de referință), rezultând un semnal de eroare  $\epsilon = V_{REF} - kV_0$ .

— semnalul de eroare,  $\epsilon$ , amplificat, comandă elementul regulator (element de execuție) pentru a restabili tensiunea de ieșire la valoarea prescrisă,  $V_0$ .

În literatura de specialitate, stabilizatoarele de tensiune continuă cu reacție se întâlnesc și sub denumirea de regulator de tensiune continuă. Termenul provine din teoria sistemelor de reglare automată. Potrivit dicționarului enciclopedic român\* regulatorul este un dispozitiv al unui sistem de reglare automată, care primește la intrare semnalul emis de elementul de comparație și transmite la ieșire mărimea de comandă a elementului de execuție, care efectuează operația impusă.

\* Vezi dicționarul enciclopedic român, Ed. Politică, București, 1966.

De menționat că între regulator și stabilizator există o diferență ca de la parte la întreg, în sensul că regulatorul este un element component al stabilizatorului.

Totuși, o bună parte dintre specialiști fac abstracție de această deosebire și folosesc termenii de stabilizator

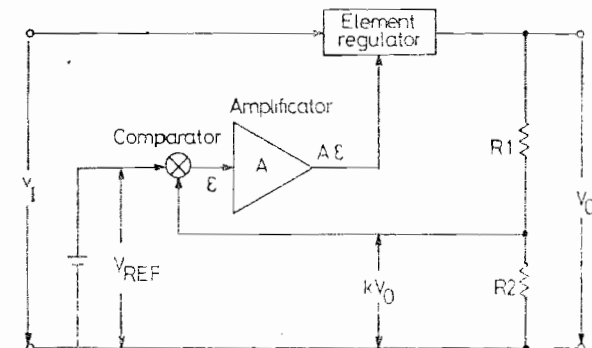


Fig. 1.1. Schema de funcționare a unui stabilizator de tensiune cu reacție.

și regulator de tensiune continuă ca sinonime. O justificare a acceptării acestei ambiguități de terminologie rezidă din posibilitatea utilizării unui stabilizator de tensiune continuă ca regulator în construcția unor stabilizatoare de mărimi neelectrice ca, temperatură, presiune, intensitate luminoasă etc. (v. capitolul 4 în care sunt prezentate cîteva aplicații). Transformarea „aparatului“ stabilizator de tensiune în „dispozitivul“ regulator de tensiune s-a extins odată cu proliferarea pe piață a stabilizatoarelor de tensiune continuă integrate.

În lucrare se utilizează termenul de stabilizator de tensiune\*, cel de regulator fiind rezervat denumirii unei părți componente a primului, în general a tranzistorului regulator serie.

\* Voltage regulator (engl.), Régulateur de tension (franceză), Stabilizator nepreajenie (rusă), Spanungsregler (germană).

## 1.2. Rolul stabilizatorului de tensiune în aparatura electronică

Rețeaua de distribuție de curent alternativ constituie sursa principală de energie electrică pentru alimentarea montajelor electronice.

Redresoarele realizează conversia energiei de curent alternativ, furnizată de rețea, în energie de curent continuu solicitată de consumatori. Exceptând consumurile pe care le reclamă instalațiile de putere, sursele de tensiune de curent continuu utilizate la alimentarea aparaturii electronice sunt de puteri relativ mici. Așa de pildă, majoritatea schemelor cu tranzistoare necesită fie tensiuni pozitive, fie tensiuni negative de ordinul a  $\pm 24$  V și curenți de pînă la 5 A...10 A. Schemele echipate cu amplificatoare operaționale reclamă surse de polaritate dublă, valorile cele mai frecvente ale tensiunii de alimentare fiind  $\pm 12$  V;  $\pm 15$  V. În montajele cu circuite logice de tip TTL tensiunea de alimentare este +5 V, iar consumul de curent electric atinge cîțiva amperi, în funcție de complexitatea schemei.

Variatiile relativ mari ale tensiunii rețelei\*, se transmit și se resimt și în tensiunea obținută la ieșirea redresorului. Pentru a garanta funcționarea normală a unui aparat electronic se impune ca variația tensiunii sursei de alimentare să nu depășească anumite limite, dependente de performanțele aparatului. Astfel, unele blocuri electronice din stațiile de radiocomunicații admit abateri ale tensiunii de alimentare de 2...3%, iar curentul care alimentează bobinele de deflecție la televizoare necesită stabilizări de 0,5...1%. Cu cît aparatul electronic este mai sensibil, sau mai precis, cu atât trebuie să fie mai stabilă sursa lui de alimentare; de exemplu, pentru un microscop electronic tensiunea de alimentare nu trebuie să varieze cu mai mult de 0,005%, în timp ce amplificatoarele de curent continuu și unele aparate de

\* Constructorii de aparatură electronică garantează funcționarea normală pentru variații ale tensiunii de rețea în limitele +10%, -15% din valoarea nominală.

măsurare de înaltă clasă de precizie reclamă tensiuni cu o stabilitate superioară cifrei 0,0001%.

Stabilizatoarele sunt circuite electronice, care se conecteză între sursa de alimentare și consumator, avînd rolul de a menține constantă tensiunea sau curentul consumatorului în raport cu variațiile tensiunii sursei, ale rezistenței sarcinii, ale temperaturii ambiante și ale altor factori perturbatori.

În principiu, stabilizarea unei tensiuni continue se poate asigura fie „înainte“ de redresor, menținînd constantă tensiunea alternativă de alimentare, fie „după“ redresor, intercalind între acesta și sarcină un element capabil să preia variațiile de tensiune.

Dacă prima variantă stabilizează numai variațiile tensiunii de rețea, cea de a doua prezintă avantajul că menține constantă tensiunea pe sarcină indiferent de cauzele care tind să o modifice. Stabilizatoarele din a doua categorie sunt preferate și au căpătat o largă răspîndire practică. Deși acestea pot fi realizate cu componente electronice discrete, în prezent se fabrică, cu predilecție, sub formă de circuite integrate ceea ce favorizează tipizarea lor. Tendința de tipizare a căpătat o amploare tot mai largă în ultimul timp, facilitînd în mai mare măsură alegerea stabilizatoarelor de tensiune în concordanță cu specificul aplicației.

Dezvoltarea microelectronicii, atras după sine în ultimul deceniu o evoluție spectaculoasă a producției stabilizatoarelor de tensiune din a doua categorie, prezentate sub formă de circuite integrate specializate.

Industria românească de componente electronice produce, la IPRS-Băneasa și la ICCE-București, o gamă largă de stabilizatoare de tensiune sub formă de circuite integrate monolitice\*:

a) La IPRS-Băneasa

TAA 550	— stabilizator de tensiune fixă	— (1974)
βA 723	— stabilizator de tensiune pozitivă	— (1977)

\* În paranteză se indică anul omologării produsului.

b) La ICCE-Bucureşti

ROB 723	— stabilizator de tensiune pozitivă	— (1976)
ROB 305	— stabilizator de tensiune pozitivă	— (1978)
ROB 1468	— stabilizator de tensiune dual	— (1981)
ROB 317	— stabilizator de tensiune pozitivă de medie putere	— (1982)
ROB 323	— stabilizator de tensiune fixă 5 V/3 A	— (1983)
ROB 304	— stabilizator de tensiune negativă	— (1983)

### 1.3. Principii de funcționare

În procesul de stabilizare a unei tensiuni se utilizează două tehnici principale: stabilizarea serie și stabilizarea paralel.

*Stabilizarea serie* (figura 1.2 a) constă în plasarea elementului regulator în serie cu rezistența de sarcină  $R_S$ . În acest caz, elementul regulator se comportă ca o rezistență variabilă a cărei mărime este controlată de tensiunea de ieșire  $V_0$  prin bornele 2—3; cind tensiunea de intrare  $v_I$  crește, tensiunea  $V_0$  de ieșire tinde să urmărească această creștere și acționează asupra elementului regulator, care și mărește rezistența între bornele 1—2. Evident, în acest mod creșterea tensiunii la intrare va fi compensată de căderea de tensiune ce se înregistrează între bornele 1—2 și ca atare, tensiunea la ieșire va reveni la valoarea anterioară. Odată cu scăderea tensiunii la intrare, rezistența între bornele 1—2 își micșorează valoarea astfel încât tensiunea la ieșire să rămână de asemenea neschimbată. Simbolul de rezistor variabil marcat pe schema bloc din fig. 1.2 a pune în evidență faptul că elementul regulator serie funcționează ca un rezistor variabil în serie cu sarcina ajustându-și mărimea rezistenței în scopul menținerii constante a tensiunii la ieșire.

*Stabilizarea paralel*, constă în plasarea elementului regulator în paralel cu sarcina (fig. 1.2 b). Elementul regulator în acest caz este un dispozitiv cu o rezistență dinamică foarte mică în zona de lucru, ceea ce permite ca variațiile curentului care îl străbate să nu producă schimbări neînsemnante ale tensiunii la bornele lui\*.

Mecanismul procesului de stabilizare este următorul: odată cu creșterea tensiunii  $v_I$  la intrare, crește și curentul

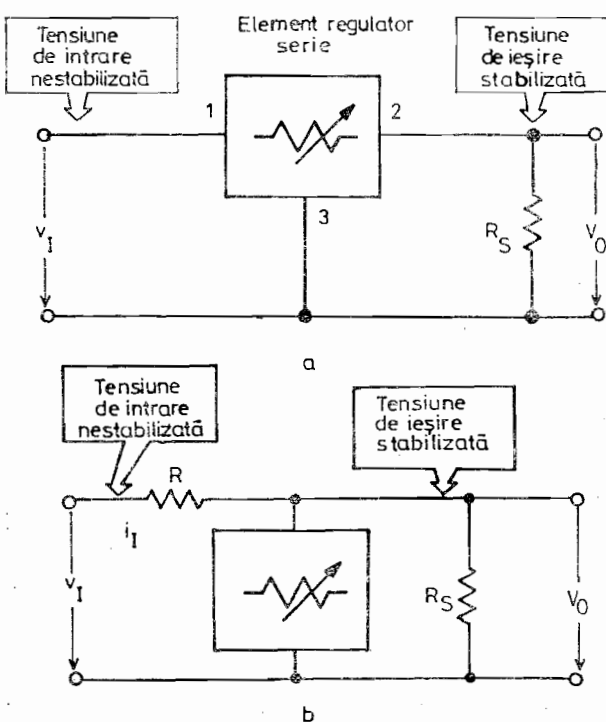


Fig. 1.2. Schema de principiu a unui stabilizator de tensiune:  
a) cu element regulator serie; b) cu element regulator paralel.

\* Situație tipică întâlnită în cazul unei diode Zener.

de intrare  $i_I$ . Elementul regulator, având rezistență dinamică foarte mică în comparație cu rezistența de sarcină  $R_s$ , va prelua întreaga variație a curentului de intrare.

Rezistența  $R$  (de balast) contribuie la realizarea stabilizării preluând variațiile tensiunii de la intrare; în acest mod creșterea tensiunii  $v_I$  va fi compensată de cădereea suplimentară de tensiune pe această rezistență. Dacă tensiunea la ieșire va scădea, cădereea de tensiune pe rezistența  $R$  se va micșora cu aceeași valoare. Concomitent cu aceasta, rezistența  $R$  mai indeplinește și rolul de a reduce la o valoare acceptabilă curentul care trece prin elementul regulator în situații limită.

Efectul de stabilizare se manifestă și în cazul în care variază rezistența de sarcină, iar tensiunea la intrare  $v_I$  rămâne constantă. În acest caz, cădereea de tensiune  $v_R$ , pe rezistența  $R$ , rămâne practic neschimbătă, deoarece creșterea curentului de sarcină se obține pe seama scăderii curentului prin elementul regulator și invers. Modificarea valorilor celor doi curenti se produce astfel încât curentul prin rezistența  $R$  rămâne constant. Cum  $V_0 = v_I - v_R$ , rezultă că tensiunea pe sarcină rămâne constantă. Și în acest caz elementul regulator lucrează ca un rezistor variabil, așa cum s-a simbolizat în fig. 1.2 b.

Cele două metode de stabilizare a tensiunii prezintă atât avantaje cât și dezavantaje.

Stabilizarea paralel se bucură de avantajul unei construcții mai simple. Dacă accidental, ieșirea „stabilizatorului paralel” se pune în scurtcircuit la masă, acesta nu suferă stricării deoarece la bornele lui tensiunea va fi nulă; dacă în aceste condiții sursa de alimentare poate furniza fără pericol de distrugere curentul  $v_I/R$  și rezistența  $R$  poate disipa puterea corespunzătoare acestui curent, elementele componente ale stabilizatorului nu se defectează.

Stabilizarea serie a tensiunii, deși conduce la scheme mai complexe, asigură un reglaj mai bun. Acest tip de reglare, comparativ cu stabilizarea paralel, are un randament mai mare, în special în cazul curenților mici de sarcină. Punerea în scurtcircuit la masă a ieșirii „stabiliza-

torului serie” poate conduce la distrugerea elementului regulator. Pentru evitarea efectelor unui scurtcircuit stabilizatoarele de acest tip sunt prevăzute cu circuite speciale de protecție, care sunt fie limitatoare de curent (limitează intensitatea curentului prin sarcină la o valoare pre-reglată), fie circuite care deconectează alimentarea, îndată ce a fost depășită o anumită intensitate a curentului prin sarcină.

#### 1.4. Schema (bloc a) unui stabilizator de tensiune cu reacție

Tehnologia actuală oferă o multitudine de posibilități de realizare a unui stabilizator de tensiune cu reacție. Această diversitate rezidă în posibilitatea fabricării, atât cu componente discrete (diode, tranzistoare, amplificatoare operaționale), cît și în varianta integrată (cu circuite hibride sau monolitice specializate). Prințipii pe care se fundamentează construcția unui stabilizator de tensiune constau în folosirea reglării automate și în protecția față de suprasolicitări.

În virtutea acestor principii, schema electrică a stabilizatorului de tensiune trebuie să asigure o serie de condiții care se vor detalia urmărind schemele bloc prezentate în figura 1.3 a, b; aceste scheme sunt compuse din următoarele elemente:

— **Sursa de referință**,  $REF$ , furnizează tensiunea de referință  $V_{REF}$  caracterizată printr-o mare stabilitate în timp și la variația tensiunii de intrare și a temperaturii, precum și printr-un nivel de zgromot redus,

— **Amplificatorul de eroare**,  $A_1$ , compară tensiunea de referință cu o parte sau cu întreaga tensiune de ieșire, pentru a acționa asupra elementului regulator  $ER$ . Amplificatorul de eroare se construiește pe structura amplificatoarelor operaționale sau se realizează cu tranzistoare,

— **Elementul regulator**,  $ER$ , cu funcțiile: menține tensiunea de ieșire la nivelul specificat sub controlul ampli-

ficatorului de eroare, furnizează curentul la ieșire, reduce sau blochează curentul la ieșire la acționarea circuitului de protecție, mărește rezistența serie a stabilizatorului,

— Circuite de protecție imunizează stabilizatorul la creșterea tensiunii peste o anumită limită, la depășirea

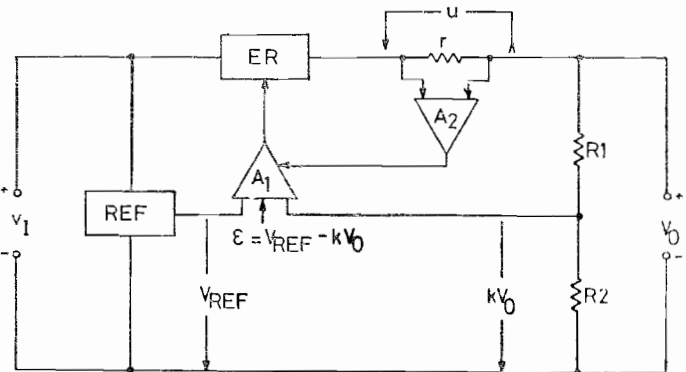


Fig. 1.3. a) schema bloc a unui stabilizator de tensiune cu reactie cu element regulator serie.

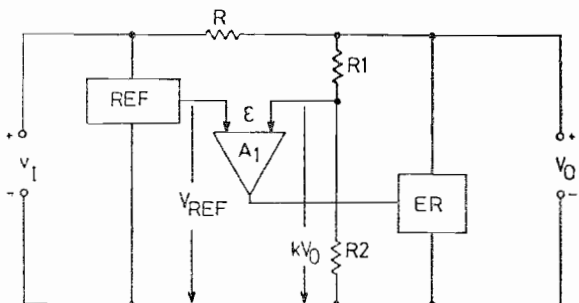


Fig. 1.3. b) schema bloc a unui stabilizator de tensiune cu reactie cu element regulator paralel.

unei temperaturi limită suportată de elementul regulator, precum și la atingerea puterii limită disipată pe tranzistorul serie.

### **1.5. Stabilizatoare de tensiune integrate monolitice**

În sistemele alimentate în curent continuu, impedanța asociată conexoarelor și firelor de legătură poate provoca în timpul funcționării căderi de tensiune supărătoare. De asemenea impedanța liniei comune dintre modulele implantate cu componente electronice, poate produce cuplaje parazite nedorite. Utilizarea unor condensatoare de filtrare de valori mari nu elimină complet variațiile locale ale tensiunii de alimentare și în plus contribuie la mărirea dimensiunilor aparatelor electronice datorită creșterii gabaritului surselor de alimentare. Pornind de la aceste neajunsuri, a apărut necesitatea unor stabilizatoare de dimensiuni cât mai mici de tipul circuitului integrat hibrid și monolitic care să se poată monta pe placă de cablaj imprimat, pentru alimentarea locală a subansamblului respectiv.

Progresele înregistrate în ultimul deceniu în dezvoltarea electronicii au marcat o evoluție spectaculoasă a domeniului stabilizatoarelor de tensiune continuă monolitice. Această evoluție a fost impulsionată și de:

- creșterea performanțelor stabilizatoarelor electronice,
  - necesitatea simplificării execuției surselor de alimentare de tensiune continuă,
  - optimizarea raportului cost/performanță.

Comparativ cu alte clase de circuite integrate liniare, apariția stabilizatoarelor de tensiune continuă s-a produs mai tîrziu (1967), în momentul în care tehnologia bipolară standard a permis integrarea unui spectru mai larg de componente. Începuturile integrării în acest domeniu au fost marcate de ideea adoptării unor scheme electrice cu grad ridicat de versatilitate, idee ce s-a concretizat în realizarea stabilizatoarelor de uz general de curent mic,  $\mu$ A 723 și LM 100 încapsulate în capsule clasice de circuite integrate (TO-100, TO-99, TO-116). Curentul de ieșire al unui stabilizator poate ajunge de ordinul amperilor, ceea ce implică utilizarea unor capsule de putere; prețul prohibitiv al capsulelor de putere cu mai

multe terminale a determinat orientarea fabricanților spre capsule mai ieftine, de tipul celor folosite la fabricația tranzistoarelor de putere (TO-3, TO-220). Numărul maxim de trei terminale disponibile pe aceste capsule a impus integrarea sistemelor de protecție pe același „cip” cu circuitul de stabilizare. Curentul la ieșire a crescut de la 1,5 A în anul 1971 (LM 109), la 3 A în 1975 (LM 123) și la 10 A în anul 1981 (LM 196).

Proliferarea aplicațiilor circuitelor integrate liniare, care se alimentează de obicei de la două surse de tensiune continuă, a atras după sine apariția în anul 1972 a stabilizatoarelor duale. Aceste tipuri furnizează la ieșire două nivele de tensiune simetrice (MC 1468; SG 1501) sau nesimetrice (LM 127) și curenți de cca 100 mA.

Funcționarea elementului regulator serie în regim continuu face ca eficiența transferului de putere să fie sub 50%. Schemele electrice cu funcționare în regim de comutație permit creșterea eficienței la 70—80%; prețul suplimentar plătit pentru această creștere de randament constă în mărirea complexității schemelor electrice ale stabilizatoarelor respective. Dificultățile legate de integrarea unor astfel de scheme au întârziat realizarea în varianta monolică a unor circuite specializate de comandă și control pentru construcția surselor de tensiune cu funcționarea în regim de comutație. Evoluția tehnologilor de integrare pe scară largă, a făcut posibilă în anul 1976 elaborarea primelor stabilizatoare de comutație monolitice (TL 497).

## 1.6. Parametrii electrici

Parametrii unui stabilizator de tensiune continuă\* se clasifică în două categorii:

- valori limită absolută,
- caracteristici electrice.

\* Mărimile prezentate se referă în primul rînd la stabilizatoare de tensiune integrate monolitice.

**Valorile limită absolută**, care descriu încărcarea maximă a stabilizatorului, reprezintă parametrii prin a căror respectare se garantează funcționarea stabilizatorului în conformitate cu specificațiile caracteristicilor electrice. Atingerea sau depășirea lor conduce, de obicei, la deteriorarea ireversibilă a stabilizatorului. Valorile limită absolută indicate de obicei de fabricanții de circuite integrate stabilizatoare de tensiune sunt următoarele:

- tensiunea maximă de intrare,  $V_{I Max}$ ,
- puterea disipată,  $P_{D Max}$ ,
- domeniul temperaturii ambiante de funcționare,  $T_A Max$ ,  $T_A min$ ,
- domeniul temperaturii de stocare,  $T_S Max$ ,  $T_S min$ .

**Caracteristicile electrice** descriu funcționarea propriu-zisă a stabilizatorului; ele se referă la:

- a) limitele de intrare și de ieșire\*
  - tensiunea de intrare  $v_I$ ,
  - tensiunea de ieșire,  $V_0$ ,
  - diferența de tensiune intrare-ieșire ( $v_I - V_0$ ),
  - curentul de virf la ieșire,  $I_{OM}$ ,
  - curentul de ieșire în scurtcircuit,  $I_{SC}$ ,
  - curentul consumat în gol,  $I_C$
- b) precizia cu care se controlează nivelul tensiunii la ieșire în domeniul de variație, la acțiunea unor factori perturbatori variabili (tensiunea de intrare, curentul de ieșire, temperatura ambientă etc.); în această categorie se includ:
  - stabilizarea de intrare (linie),  $K_V$  — reprezintă variația procentuală a tensiunii de ieșire pentru o variație specificată a tensiunii de intrare, în condițiile menținerii constante a curentului de ieșire și a temperaturii mediului ambiant

$$K_V = \frac{\Delta V_0}{V_0} \cdot 100 \quad \left| \begin{array}{l} \Delta v_I = \text{specificat} \\ I_0, T \text{ constante} \end{array} \right. \quad [\%] \quad (1.1)$$

— stabilizarea de sarcină,  $K_L$  reprezintă variația procentuală a tensiunii de ieșire pentru o variație specificată

\* Mărimile variabile în timp se scriu cu litere mici, iar mărimile constante cu litere mari.

a curentului de ieșire în condițiile menținerii constante a tensiunii de intrare și a temperaturii mediului ambiant

$$K_L = \frac{\Delta V_0}{V_0} \cdot 100 \quad \left| \begin{array}{l} \Delta I_0 = \text{specificat} \\ v_i, T \text{ constante} \end{array} \right. \quad [ \% ] \quad (1.2)$$

— coeficientul de temperatură al tensiunii de ieșire,  $K_T$  — reprezintă raportul dintre variația tensiunii de ieșire măsurate la extremitățile domeniului temperaturii ambiante de funcționare și mărimea acestui domeniu, exprimat procentual față de valoarea tensiunii de ieșire măsurate la  $T_A=25^\circ\text{C}$ , în condițiile menținerii constante a tensiunii de intrare și a curentului de ieșire

$$K_T = \frac{V_0[T_{Max}] - V_0[T_{Min}]}{T_{Max} - T_{Min}} \cdot \frac{1}{V_0[25^\circ\text{C}]} \cdot 100 \quad \left| \begin{array}{l} V_I; [ \% / ^\circ\text{C}] \\ I_0 \end{array} \right. \quad (1.3)$$

— stabilitatea pe termen lung,  $LTS^*$  — reprezintă variația procentuală a tensiunii de ieșire, măsurată după 1 000 ore de funcționare în condiții de viață accelerată (tensiune de intrare și putere disipată maxime),

$$LTS = \frac{\Delta V_0}{V_0} \cdot 100 \quad \left| \begin{array}{l} t = 1000 \text{ ore} \\ V_I, P_D = \text{Max.} \end{array} \right. \quad [ \% / 1000 \text{ ore}] \quad (1.4)$$

Dacă prin construcția stabilizatorului, utilizatorului nu i se permite ajustarea tensiunii la ieșire, în definirea parametrilor de mai sus se renunță la normarea prin  $V_0$ ; în acest caz parametrii menționați devin:

— stabilizarea de intrare:

$$k'_V = \Delta V_0 \quad \left| \begin{array}{l} \Delta v_i = \text{specificat} \\ I_0, t \text{ constante} \end{array} \right. \quad [ \text{mV} ] \quad (1.1')$$

— stabilizarea de sarcină:

$$k'_L = \Delta V_0 \quad \left| \begin{array}{l} \Delta I_0 = \text{specificat} \\ v_i, t \text{ constante} \end{array} \right. \quad [ \text{mV} ] \quad (1.2')$$

— coeficientul de temperatură al tensiunii de ieșire:

$$k'_T = \frac{V_0[T_{Max}] - V_0[T_{Min}]}{T_{Max} - T_{Min}} \quad \left| \begin{array}{l} [ \text{mV} / ^\circ\text{C} ] \\ V_I, I_0 \text{ constante} \end{array} \right. \quad (1.3')$$

— rejecția tensiunii de ondulație (pulsătie),  $RR^*$  — reprezintă raportul exprimat în decibeli (dB) dintre valoarile vîrf la vîrf ale tensiunii de ondulație măsurate la intrare ( $V_{tr}$ ), respectiv la ieșire ( $V_{or}$ ), pentru o frecvență specificată:

$$RR = 20 \lg \frac{V_{tr}}{V_{or}} \quad [\text{dB}] \quad (1.5)$$

— tensiunea de zgromot la ieșire,  $V_N$  reprezintă valoarea eficace a tensiunii de zgromot măsurată la ieșirea stabilizatorului, într-o bandă de frecvență specificată, în condițiile menținerii tensiunii de intrare și a curentului de ieșire la valori constante și a absenței tensiunii de ondulație.

La acțiunea simultană a tuturor factorilor perturbatori, variația tensiunii de ieșire se poate approxima prin relația:

$$\Delta V_0(t, T) = \frac{V_0[I=0, T=25^\circ\text{C}]}{100} \times \left[ K_V + K_L + K_T(T-25^\circ\text{C}) + \frac{LTS \cdot t}{1000 \text{ ore}} \right] \quad (1.6)$$

unde  $t$  este timpul măsurat din momentul punerii în funcțiune a stabilizatorului.

Parametrii electrici enumerați sunt comuni pentru marea majoritate a stabilizatoarelor de tensiune continuă. În funcție de particularitățile fiecărei familii de stabilizatoare se mai pot utiliza și alți parametri. Vom prezenta definițiile parametrilor respectivi în capitole consacrate acestor familii.

O comparație între două tipuri de stabilizatoare, din punctul de vedere al performanțelor, se poate face calculind:

— variația tensiunii la ieșire,  $\Delta V_0$ , sub influența tuturor perturbațiilor menționate anterior (v. relația 1.6),

— eficiența transferului de putere în regim normal de funcționare, exprimat prin raportul între puterea furni-

\* Long Term Stability (engl.) — LTS.

zată la ieșire,  $P_0$  și puterea aplicată la intrare,  $P_I$ , care reprezintă randamentul stabilizatorului de tensiune:

$$\eta = \frac{P_0}{P_I} \cdot 100 \quad [\%] \quad (1.7)$$

## 1.7. Clasificarea stabilizatoarelor de tensiune

În cele ce urmează vom prezenta o clasificare a stabilizatoarelor de tensiune continuă, insistând în primul rînd asupra stabilizatoarelor integrate monolitice.

În funcție de modul de acționare a elementului regulator distingem:

- stabilizatoare cu acțiune continuă, (stabilizatoare liniare) la care elementul regulator funcționează continuu.

- stabilizatoare cu acțiune discontinuă (stabilizatoare în comutație), la care elementul regulator funcționează în regim de comutație, încărcind un element acumulator de energie (un condensator), care furnizează tensiunea de ieșire pe sarcină pe durata cînd încărcarea condensatorului este întreruptă.

În funcție de modul de conectare a elementului regulator în raport cu sarcina, stabilizatoarele de tensiune se împart în:

- stabilizatoare tip serie,
- stabilizatoare tip paralel.

În raport cu metoda de stabilizare există două tipuri principale de stabilizatoare:

- stabilizatoare în buclă deschisă (parametrice)\*,
- stabilizatoare în buclă închisă (cu reacție)\*\*.

După posibilitatea de ajustare a nivelului tensiunii de ieșire oferită utilizatorului, stabilizatoarele se clasifică în:

- stabilizatoare de uz general (de tensiune variabilă) — care permit ajustarea tensiunii de ieșire într-un domeniu specificat.

\* Open-loop regulator (engl.); stabilisateur de tension (franceză); paramétricеский стабилизатор (rusă).

\*\* Feedback regulator (engl.); régulateur de tension (franceză); компенсационный стабилизатор (rusă).

- stabilizatoare de tensiune fixă — care furnizează la ieșire un singur nivel de tensiune cu o precizie specificată.

În funcție de numărul ieșirilor pe care se asigură simultan tensiuni stabilizate, se împart în:

- stabilizatoare cu o singură ieșire,
- stabilizatoare cu două ieșiri.

Polaritatea tensiunii de ieșire permite clasificarea în:

- stabilizatoare de tensiune pozitivă,
- stabilizatoare de tensiune negativă.

În funcție de puterea disipată maxim admisă se disting următoarele tipuri:

- stabilizatoare de mică putere,  $P_{D\ Max} \leq 1 \text{ W}$ ,
- stabilizatoare de medie putere,  $1 \text{ W} < P_{D\ Max} \leq 15 \text{ W}$ ,
- stabilizatoare de mare putere,  $P_{D\ Max} > 15 \text{ W}$ .

La stabilizatoarele de tensiune fixă precizia de menținere a tensiunii la ieșire permite clasificarea în:

- stabilizatoarele uzuale, la care nivelul tensiunii de ieșire se garantează cu o precizie de  $2 \dots 5\%$  și un coeficient de temperatură de ordinul sutelor de  $\text{ppm}/^\circ\text{C}$ ,

- stabilizatoare de precizie (referințe de tensiune), al căror nivel de tensiune de ieșire se garantează cu o precizie mai mare de  $2,5\%$  și un coeficient de temperatură sub 1  $\text{ppm}/^\circ\text{C}$ ; la rîndul lor acestea pot fi clasificate în:

- stabilizatoare de precizie medie ( $0,5 \dots 2,5\%$ ),
- stabilizatoare de precizie ridicată ( $0,1 \dots 0,5\%$ ),
- stabilizatoare de înaltă precizie (sub  $0,1\%$ ).

Un criteriu de tip comercial oferă o clasificare după numărul terminalelor capsulei; se disting:

- stabilizatoare cu trei terminale,
- stabilizatoare cu patru terminale,
- stabilizatoare cu mai multe terminale.

Pentru stabilizatoarele de tensiune continuă monolitice, criteriile de clasificare menționate permit o abordare a sistematicii domeniului, prezentată în fig. 1.4.

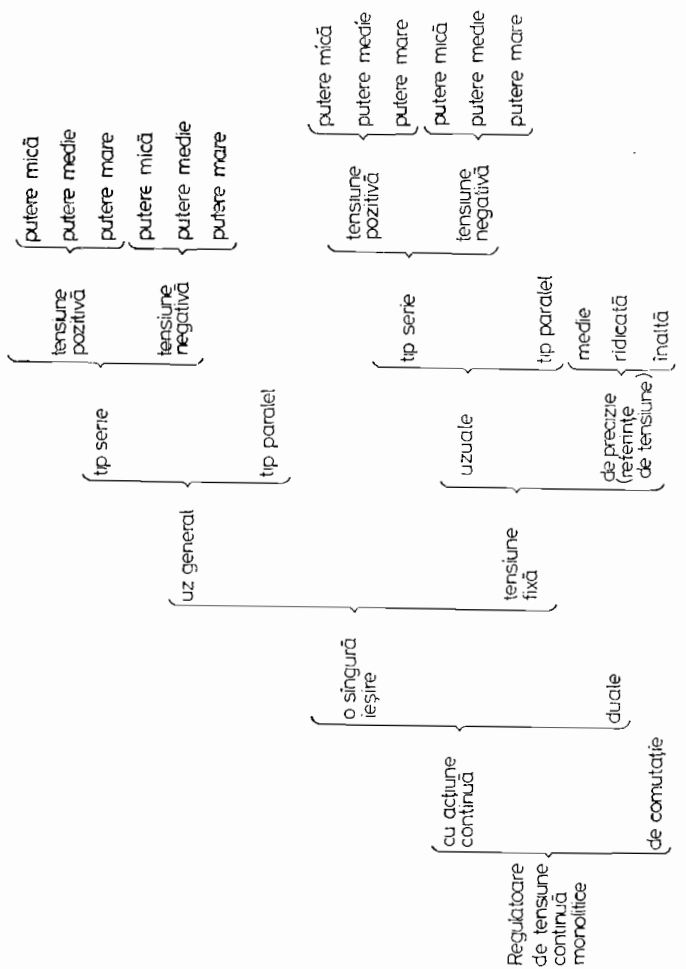


Fig. 1.4. Propunere de clasificare sistematică a stabilizatoarelor de tensiune continuă monolitice.

## Capitolul 2

# Stabilizatoare de tensiune cu componente discrete

r.TV ● r.TV ⊕ r.TV ●

În practică se întâlnesc situații în care este preferabil să se realizeze alimentatoare stabilizate cu componente discrete. Acestea se folosesc în special pentru tensiuni și curenti mari.

### 2.1. Stabilizatoare liniare

Această categorie de stabilizatoare de tensiune controlează și reglează în mod continuu nivelul tensiunii de ieșire. Elementul regulator serie (de obicei tranzistor de putere) funcționează liniar; aceste stabilizatoare sunt, cel puțin într-o primă aproximare, circuite electronice liniare.

Cum s-a arătat anterior, stabilizatoarele liniare pot fi parametrice sau cu reacție.

#### 2.1.1. Stabilizatoare parametrice simple

Stabilizatorul de tensiune de acest tip reprezintă un dispozitiv electronic destinat să mențină cît mai constantă tensiunea la bornele unei sarcini pe baza caracteristicii sale tensiune-current, fără să se recurgă la circuite suplimentare de reacție.

ACESTE dispozitive se utilizează în toate cazurile în care este necesar să se alimenteze o sarcină cu o tensiune relativ constantă (în limitele 1...2%, cînd tensiunea de

alimentare și/sau curentul prin sarcină variază în proporții mult mai mari).

Ca element regulator în aceste stabilizatoare se utilizează diodele Zener și tuburile cu descărcare în gaz de tip stabilivolt precum și unele rezistoare cu caracteristica aşa-numită neliniară. Actualmente răspândirea cea mai largă o au stabilizatoarele cu diode Zener, care vor fi examineate în continuare.

### Dioda Zener ca sursă de tensiune constantă

La dioda Zener, caracteristica de conductionă în polarizare directă (sursa de alimentare cu plusul pe anod și cu minusul pe catod) este similară cu caracteristica oricărei diode redresoare. Aplicând însă plusul pe catod și minusul pe anod și crescind lent tensiunea, la un moment dat —

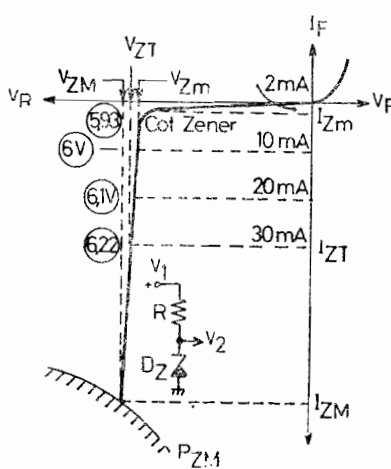


Fig. 2.1. Caracteristica de funcționare a diodei Zener.

Curentul trebuie limitat cu o rezistență serie  $R$  deoarece în caz contrar jonctiunea se poatea săptăna prin încălzire excesivă. Se fabrică diode Zener pentru tensiuni cuprinse între cca. 3 V și 200 V și puteri de disipație de ordinul a 0,250 W pînă la peste 50 W.

Din figură se observă că în jurul tensiunii Zener, este suficientă o variație foarte mică a tensiunii pentru a se provoca o variație extrem de mare a curentului, ceea ce permite să se definească o caracteristică importantă a diodei Zener și anume rezistența ei diferențială\*  $R_{ZT}$ ; aceasta reprezintă raportul dintre o variație foarte mică  $\Delta V_Z$  a tensiunii de referință și variația corespunzătoare  $\Delta I_Z$  a curentului invers:

$$R_{ZT} = \Delta V_Z / \Delta I_Z \quad (2.1)$$

Valoarea medie a rezistenței dinamice se situează în mod ușual între cîțiva ohmi și cîteva zeci (sute) de ohmi în funcție de puterea diodei și de mărimea tensiunii Zener (de exemplu 1...2 Ω pentru diode Zener cu tensiuni cuprinse între 6...7 V sau 300...400 Ω la 100 V sau 1 000—1 500 Ω la 200 V). Diodele Zener cu tensiunea de coloană situată în intervalul 7...9 V au rezistență dinamică cea mai mică și, ca atare, prezintă cele mai bune caracteristici de stabilizare.

Funcționarea unei diode Zener poate fi influențată sau chiar compromisă prin încălzire excesivă, încălzire care poate fi provocată fie printr-un curent electric prea intens care trece prin diodă, fie prin temperatură ambientă prea ridicată, fie prin influența lor simultană.

Diodele Zener au un coeficient de temperatură important: tensiunea Zener variază cu temperatura jonctiunii ( $T_j$ ), această dependență fiind ilustrată în tabelul 2.1 din care se remarcă faptul că pentru diodele Zener de 5 V coeficientul de temperatură este aproape nul. De aici rezultă și necesitatea ca pentru stabilizatoare de tensiune de calitate trebuie să se folosească diode PL 5V1 Z.

### Stabilizatoare de tensiune cu diode Zener

În fig. 2.2. se prezintă schema de principiu a celui mai simplu stabilizator de tensiune cu diodă Zener, în care dioda este conectată în paralel cu rezistența de sarcină  $R_S$ . Curentul prin rezistență de balast  $R_1$  este egal cu suma dintre curentul prin sarcină și curentul prin dioda stabilizatoare.

\* sau rezistență dinamică

Tabelul 2.1

de tensiunea  $V_Z$  a diodei Zener

4,7	5,1	5,6	6,2	6,8	7,5	8,2
-2	+1	+2,5	+3,2	+4	+4,5	+4,8
15-16	18-20	22-24	27-36	39-100	100-180	200
+7	+7,5	+8	+8,5	+9	+9,5	+10

Efectul de stabilizare al schemei se explică astfel: crescind progresiv tensiunea  $v_I$  la intrarea stabilizatorului pînă la tensiunea de stabilizare  $V_Z$ , curentul prin diodă este aproape nul ( $I_Z=0$ ), dioda Zener este blocată iar tensiunea la ieșire  $V_0$  este proporțională cu tensiunea de intrare  $v_I$ . Peste tensiunea  $V_{Zm}$  a diodei Z, curentul  $I_Z$  crește brusc, crescînd și căderea de tensiune la bornele rezistorului  $R_1$ , astfel că tensiunea la ieșire  $V_0$  va rămîne aproximativ constantă.

La micșorarea tensiunii de intrare lucrurile se petrec invers. Datorită scăderii pronunțate a curentului prin

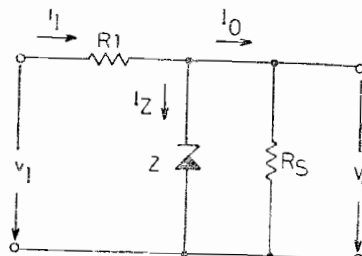


Fig. 2.2. Stabilizator parametric de tensiune.

dioda Zener, căderea de tensiune pe rezistorul  $R_1$  se micșorează, ceea ce face ca tensiunea pe sarcină să rămînă neschimbată.

Pe de altă parte, dacă  $I_0$  crește, datorită micșorării rezistenței de sarcină  $R_S$ , va scădea puțin și tensiunea aplicată diodei Zener, ceea ce determină micșorarea pronun-

țată a curentului prin aceasta, deci și a căderii de tensiune pe  $R_1$  și ca rezultat tensiunea la ieșire  $V_0$  va rămîne neschimbată.

Rezistorul  $R_1$  determină curentul  $I_Z$  la tensiunea maximă posibilă la intrare  $V_{IMax}$  iar rezistența de sarcină  $R_S$  determină curentul minim prin sarcină,  $I_{0m}$ , de la care începe stabilizarea (v. și fig. 2.4).

Coefficientul de stabilizare pentru schema prezentată în fig. 2.2 se determină cu relația:

$$K_V^{-1} = \frac{V_0}{\Delta v_I} \cdot \frac{R_1}{R_{ZT}} \quad (2.2)$$

în care tensiunea de intrare variază în limitele:

$$v_{Imin} = V_{Im} \text{ și } v_{IMax} = V_{IM}$$

Rezistența de ieșire (internă),  $R_0$ , a stabilizatorului este egală cu:

$$R_0 = \frac{R_1 R_{ZT}}{R_1 + R_{ZT}} \quad (2.3)$$

Este evident că prin creșterea rezistenței  $R_1$  coefficientul de stabilizare se reduce dar, în acest caz, randamentul montajului se diminuează prin creșterea însemnată a puterii disipate pe acest rezistor.

În fig. 2.3 se prezintă cîteva variante ale schemei din fig. 2.2.

La montajul din fig. 2.3.a, în care se utilizează conectarea în cascadă a două stabilizatoare de tipul descris anterior, se recurge numai în cazul în care schema precedentă nu asigură stabilizarea tensiunii de ieșire,  $V_0$ , cu

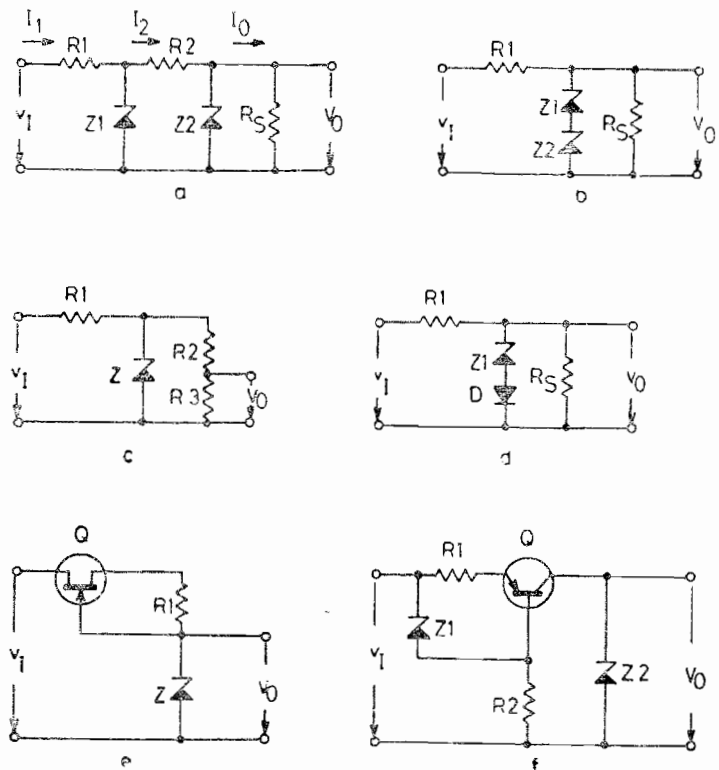


Fig. 2.3. Scheme de stabilizatoare de tensiune parametrice.

precizia necesară  $\Delta V_0$ . Evident că în acest caz  $V_{Z_1} > V_{Z_2}$ , iar curentii trebuie să satisfacă și condiția  $I_1 > I_2 > I_0$ . Coeficientul de stabilizare al montajului este egal cu produsul coeficienților de stabilizare ai fiecărui etaj.

Dezavantajul principal al stabilizatorului parametric cu mai multe trepte rezidă în randamentul său foarte mic,

deoarece reclamă tensiuni de intrare mari în raport cu tensiunea pe sarcină; de exemplu un stabilizator parametric cu trei trepte, care stabilizează la ieșire o tensiune de 9 V necesită o tensiune de alimentare în jurul a 36 V.

Limitele tensiunii stabilizate pot fi extinse (fig. 2.3 b), prin conectarea în serie a mai multor diode Zener, cu condiția ca toate aceste diode să admită curentul necesar. Este de preferat ca tensiunile lor să fie apropiate ca valoare. Uneori, prin dispunerea în serie a diodelor Zener contribuim atât la reducerea influenței temperaturii, cât și la micșorarea rezistenței interne a stabilizatorului; de exemplu, trei diode PL 6V2 Z, fiecare cu rezistență dinamică de  $2\Omega$ , montate în serie pentru a furniza o tensiune de 18 V prezintă o rezistență dinamică totală de  $6\Omega$ , față de o diodă PL 18 Z a cărei rezistență dinamică este de  $15\Omega$ .

Dacă nu dispunem de o diodă Zener de tensiunea dorită se poate alege o diodă cu tensiunea Zener mai mare, din care, printr-un divizor, se obține tensiunea necesară, aşa cum s-a prezentat în fig. 2.3 c. Relevăm totodată, că această metodă prezintă dezavantajul creșterii rezistenței de ieșire a stabilizatorului.

Variatia temperaturii mediului conduce la modificarea tensiunii la ieșirea stabilizatorului, în funcție de coeeficientul de temperatură al diodei Zener. Pentru reducerea acestui efect pot fi utilizate o serie de scheme de compensare termică dintre care enumerăm:

- dispunerea în serie a unor diode Zener cu coeeficienti de temperatură de semn contrare,
- compensarea diodei Zener prin diode obișnuite cu siliciu,
- folosirea diodelor Zener compensate,
- compensarea prin intermediul unei rezistențe sensibile la variația temperaturii și anume cu coeeficient de temperatură de semn contrar coeeficientului de temperatură al diodei Zener.

Primul caz, (fig. 2.3 b), se bazează pe faptul că diodele Zener de tensiune mică (sub 5 V) au un coeeficient de temperatură negativ, în timp ce diodele cu tensiuni

peste 5 V au coeficient pozitiv. Este deci indicat ca atunci cînd tensiunea stabilizată trebuie să fie afectată mai puțin de temperatură, să se monteze în serie mai multe diode cu tensiunea Zener în jurul a 6 V, într-un număr suficient pentru obținerea tensiunii stabilizate dorite. Inconvenientul acestei metode constă în necesitatea selectării laborioase a unui mare număr de diode Zener pentru micșorarea sau chiar anularea coeficientului global de temperatură.

Cel de al doilea caz (fig. 2.3 d), se bazează pe considerentul că o diodă din siliciu polarizată în direct are coeficientul de temperatură negativ, valoarea sa fiind în general în jurul a  $-1,5 \text{ mV/}^{\circ}\text{C}$ , la un curent de cca 10 mA. Pornind de la acest fapt există posibilitatea ca, prin utilizarea uneia sau a mai multor diode cu siliciu polarizate în direct, să se compenseze coeficientul de temperatură pozitiv al unei diode Zener. Inconvenientul acestei metode constă în aceea că mărimea căderii de tensiune a diodei cu siliciu polarizate în direct este mică (în jurul a 0,65 V pe diodă) fapt care necesită un număr relativ mare de diode montate în serie pentru a compensa o diodă Zener obișnuită. De notat și faptul că nu există nici-o contraindicație să se utilizeze indiferent care diodă Zener polarizată în direct ca diodă cu siliciu, ținînd seama că și în acest caz căderea de tensiune pe o astfel de diodă se situează tot în jurul a 0,65 V, indiferent de tensiunea ei Zener.

Cel de al treilea caz, se bazează pe faptul că pe piață există diode Zener compensate, ele nefiind altceva decît un ansamblu într-o singură capsulă\* format dintr-o diodă

\* La ICCE se fabrică tipul de diodă Zener compensată ROZ 82, A, B, cu tensiunea  $V_z$  de 6,2 V  $\pm 0,4$  V la un curent de 50 mA;  $P_{d\ Max}=400$  mW; coeficientul de temperatură al acestei diode este sub 0,002%/ $^{\circ}\text{C}$  pentru diode clasă A și sub 0,001%/ $^{\circ}\text{C}$  pentru diode clasă B.

În acest caz se poate ușor constata că un coeficient de temperatură de 0,002%/ $^{\circ}\text{C}$ , corespunde la o creștere de 0,2% a tensiunii Zener nominale cînd temperatura variază de la  $25^{\circ}\text{C}$  la  $125^{\circ}\text{C}$  ceea ce se traduce într-o creștere de aproximativ 12 mV a tensiunii nominale de 6,2 V în interval de temperatură menționat.

Zener și două sau trei diode cu siliciu polarizate în direct.

Cel de al patrulea caz, este ilustrat prin schema din fig. 2.3 c; rezistorul  $R_2$  se realizează din manganină (cu coeficient de temperatură practic nul), iar  $R_3$  este un termistor cu coeficient de temperatură pozitiv sau negativ, în funcție de semnul coeficientului de temperatură al diodei Zener. Se impune ca aceste componente să se monteze pe un radiator comun pentru a li se egalizeze temperaturile.

În sfîrșit, se menționează un alt dezavantaj al diodelor Zener și anume acela care se pune în evidență la alimentarea diodei printr-un rezistor serie (rezistorul de balast utilizat în majoritatea schemelor din fig. 2.3); în acest caz, curentul prin dioda Zener poate varia în limite largi cu tensiunea de intrare, independent de curentul prin sarcină. De aceea, în mod frecvent în practică rezistorul de balast este înlocuit printr-o sursă de curent constant (larg utilizată în stabilizatoarele de tensiune integrate monolitice) ai cărei parametri nu sunt afectați de variațiile tensiunii de intrare. Figurile 2.3 e, f, prezintă două exemple. În fig. 2.3 e, se utilizează un tranzistor cu efect de cimp cu grilă-joncțiune, cu canal  $n$ , conectat ca sursă de curent de drenă constant. În fig. 2.3 f sursa de curent constant este constituită din tranzistorul bipolar  $Q$ , rezistoarele  $R_1$ ,  $R_2$  și din dioda  $Z_1$ . Tranzistorul și rezistorul  $R_1$  constituie un repetor pe emitor la intrarea căruia se aplică tensiunea de pe dioda  $Z_1$ . Deoarece tensiunea pe dioda  $Z_1$  nu se modifică semnificativ la variația tensiunii de intrare, tensiunea pe rezistorul  $R_1$ , fiind egală cu tensiunea pe această diodă, nu se modifică. Cum tensiunea pe  $R_1$  este constantă, și curentul de emitor deci și cel de colector al tranzistorului  $Q$  nu se modifică la variația tensiunii de intrare, astfel că punctul de funcționare pe caracteristica  $I_Z=f(V_Z)$  a diodei Zener  $Z_2$  nu se deplasează atunci cînd tensiunea de intrare variază în limitele  $v_{i\ min} \dots v_{i\ Max}$ . Prin această conectare randamentul stabilizatorului parametric se îmbunătățește semnificativ.

Graficul prezentat în fig. 2.4, permite alegerea rezistenței de balast  $R_1$  și a diodei stabilizatoare în funcție de mărimea tensiunii de ieșire  $V_0$  și de mărimea rezistenței de sarcină  $R_S$  (în cazul cînd aceasta este variabilă, din mărimea ei minimă  $R_{sm} = V_0/I_{0M}$ ).

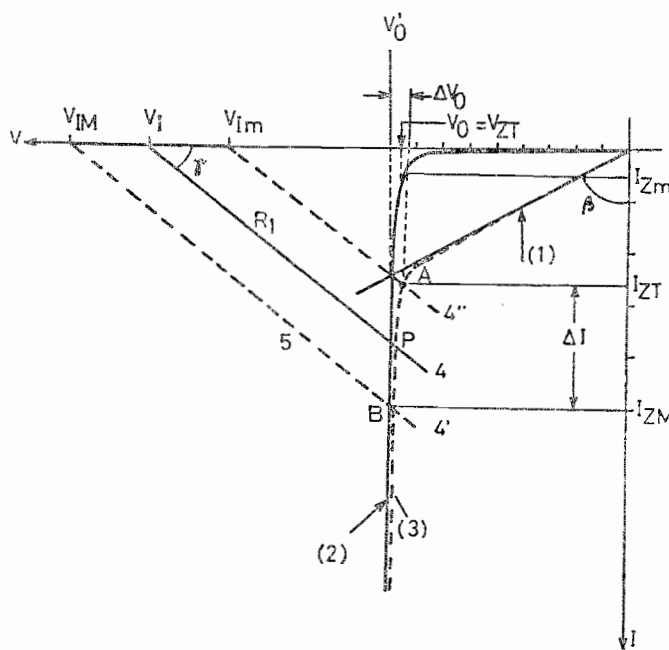


Fig. 2.4. Determinarea grafică a caracteristicilor unui stabilizator cu diodă Zener.

Pentru alegerea diodelor Zener se remarcă următoarele două aspecte: dacă din punctul de vedere al coeficientului de temperatură se preferă în montaje diodele cu tensiunea de aproximativ 5 V, atunci din punct de vedere al stabilizării cele mai indicate diode sunt cele cu tensiunea în jurul a 7...9 V, a căror caracteristică  $I_Z=f(V_Z)$  se apropie de linia verticală. Aceste două aspecte trebuie reținute deoarece din ele decurg următoarele concluzii

importante pentru utilizarea diodelor Zener în montaje de stabilizare,

— în montajele la care curentul care parcurge dioda Zener este „fixat” prin construcție (cazul surselor de tensiune de referință) este mai avantajos să se utilizeze o diodă (sau mai multe diode în serie) a cărei tensiune de cot este în jurul a 5 V, pentru ca montajului să i se asigure o bună stabilitate termică,

— în montajele la care tensiunea de intrare și curentul de ieșire sunt variabile, cea mai bună stabilizare în funcție de acești parametri se obține cu ajutorul diodelor cu tensiunea de cot situată între 7 și 9 V.

### 2.1.2. Stabilizatoare parametrice cu tranzistoare

In cazul în care curentul furnizat în sarcină de schemele de stabilizare cu diode Zener (fig. 2.2 și 2.3) este mai mare decît curentul pe care-l poate suporta dioda Zener, schemelor li se pot adăuga unul sau mai multe tranzistoare cu ajutorul cărora se amplifică acest curent. În funcție de modul în care se conectează în schemă acest tranzistor sunt posibile trei configurații de stabilizatoare: configurația serie, configurația paralel și configurația serie-paralel.

#### Configurație serie

In această configurație schemelor din fig. 2.2 și 2.3 li se adaugă un tranzistor bipolar în serie cu sarcina, așa cum rezultă din fig. 2.5 pentru a li se extinde (amplifica) curentul de ieșire. Dioda Zener\* se alege astfel încît prin conectarea tranzistorului Q tensiunea la ieșirea stabilizatorului să fie „fixată” la valoarea dorită, egală cu ten-

\* Grupul  $R-DZ$  constituie un stabilizator parametric identic cu cel din fig. 2.2. Curentul lui de ieșire comandă baza tranzistorului Q, care lucrează ca repetor pe emitor. În felul acesta se obține o amplificare a curentului furnizat de grupul  $R-DZ$ .

In unele lucrări, acest montaj se consideră un stabilizator cu reacție. Conform celor prezentate în capitolul introductiv în categoria stabilizatoarelor cu reacție includem numai acele stabilizatoare care au și un amplificator de eroare.

siunea diodei Zener, minus căderea de tensiune emitor-bază a tranzistorului.

$$V_0 = V_Z - V_{BE} \quad (2.10)$$

Dacă tensiunea pe sarcină crește, datorită unei cauze oarecare, concomitent se micșorează și tensiunea între

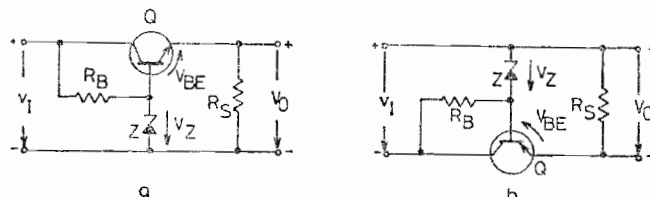


Fig. 2.5. Stabilizator parametric cu tranzistor serie:  
a — tranzistor tip npn; b — tranzistor tip pnp.

baza și emitorul tranzistorului serie. În acest caz, curentul de colector al acestui tranzistor scade, astfel încât tensiunea la ieșire revine la valoarea sa nominală.

Odată cu micșorarea tensiunii de ieșire, se produce și creșterea tensiunii bază-emitor a tranzistorului, curentul de colector al acestuia crește și drept urmare tensiunea la ieșirea stabilizatorului revine la valoarea inițială.

Față de un stabilizator simplu cu diodă Zener, schema propusă prezintă avantaje deoarece permite o variație a curentului de sarcină de  $\beta$  ori mai mare decât variația de curent maxim admisibilă prin dioda Zener. În consecință, pentru o diodă Zener de putere disipată dată, se poate stabiliza tensiunea la bornele unei sarcini la o putere de cca  $\beta$  ori mai mare decât în cazul unui stabilizator simplu cu diodă Zener.

În fig. 2.6 se prezintă un alimentator stabilizat de 9 V/250 mA, realizat pe baza schemei din fig. 2.5. Tensiunea furnizată de transformatorul  $T$ , cu priză mediană, de  $2 \times 12$  Vef, este redresată prin intermediul a două diode 1N4001. Rezistorul  $R_1$  de  $1\Omega$  limitează vîrfurile de curent prin diodele redresoare, care pot apărea datorită capacității  $C_1$  de  $500\text{ }\mu\text{F}$ . Tensiunea de undulație în co-

lectorul tranzistorului  $Q$  este redusă prin intermediul filtrului  $R_2-C_2$ . Dioda stabilizoare DZ10 sau PL10Z este alimentată prin rezistență de  $300\text{ }\Omega$  și furnizează o tensiune de  $10\text{ V}$  pe baza tranzistorului BD135. Rezistența  $R_4$  de  $200\text{ }\Omega$  este o rezistență de presarcină\* care

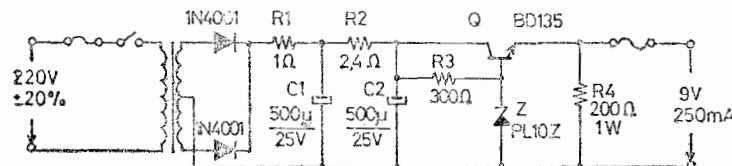


Fig. 2.6. Sursă de tensiune de  $9\text{ V}/250\text{ mA}$ .

asigură un curent de pornire pentru tranzistor în lipsa sarcinii. Tranzistorul  $Q$  disipa o putere de aproximativ  $2\text{ W}$  în condițiile cele mai dificile de funcționare și de aceea trebuie montat pe un radiator (de exemplu o placă de aluminium de  $7,5 \times 7,5\text{ cm}$ , groasă de  $2\text{ mm}$ ).

Pentru a obține la ieșire o tensiune reglabilă, se poate folosi schema din fig. 2.7. Prețul plătit pentru această

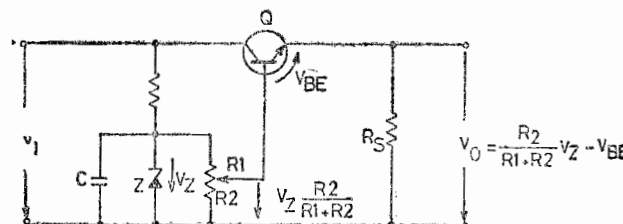


Fig. 2.7. Stabilizator cu reglarea tensiunii la ieșire.

facilitate constă într-o relativă deteriorare a stabilizării față de tensiunea de intrare.

Revenind la schema de bază din fig. 2.5 trebuie să observăm că dioda de referință  $Z$  lucrează în condiții mai

\* Bleeder (engl.); asigură polarizarea în direct a tranzistorului BD135, astfel încât tensiunea de ieșire în gol să fie menținută la o valoare dorită.

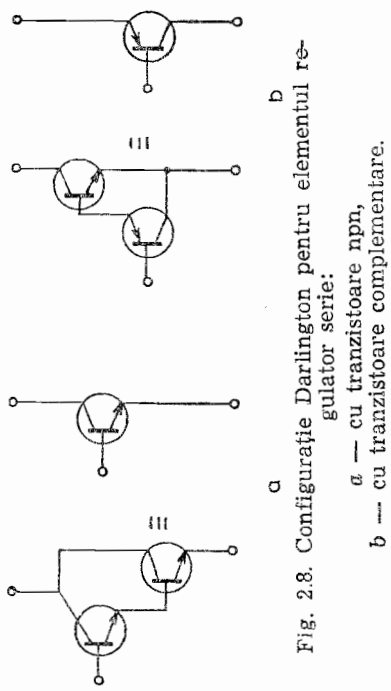


Fig. 2.8. Configurări de Darlington pentru elementul reglator serie:  
a — cu tranzistoare npn,  
b — cu tranzistoare complementare.

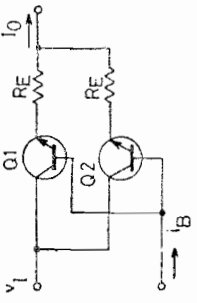


Fig. 2.9. Configuratie paralela pentru elementul reglator serie.

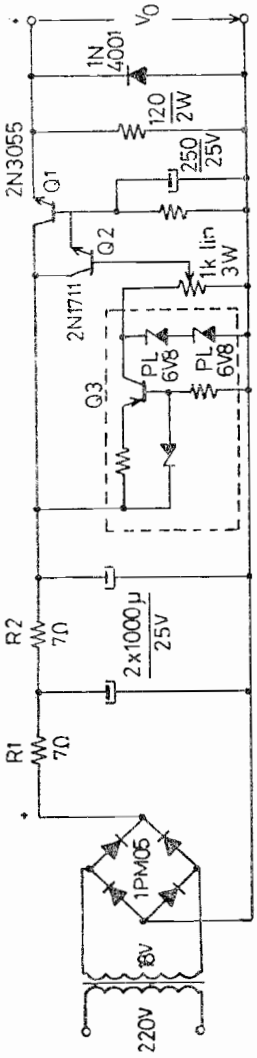


Fig. 2.10. Sursă de tensiune stabilizată reglabilă.

ușoare decât în cazul stabilizatorului parametric simplu (fig. 2.2), preluind numai variațiile curentului de bază al tranzistorului serie  $Q$ , variațiile curentului de sarcină fiind preluate de colectorul acestuia.

Performanțele schemei de bază pot fi îmbunătățite fie prin utilizarea unor tranzistoare compuse — configurație Darlington (fig. 2.8), fie prin dispunerea în paralel a mai multor tranzistoare bipolare (fig. 2.9).

Schela din fig. 2.9 se utilizează în cazul în care puterea admisă pe un tranzistor este insuficientă pentru furnizarea curentului de sarcină necesar. Tranzistoarele  $Q_1$ ,  $Q_2$ , legate în paralel, se selectionează după mărimea factorului  $\beta$  și se protejează prin rezistențele  $R_E$  de egalizare a curentilor.

În fig. 2.10 prezentăm o schemă de sursă de tensiune stabilizată reglabilă realizată pe baza schemelor de principiu din fig. 2.3 f, 2.7 și 2.8.

În continuare se prezintă pe scurt *un exemplu de calcul* pentru un stabilizator de tensiune realizat pe baza, schemei din fig. 2.5.

Se cere să se calculeze un stabilizator pentru o sursă de alimentare a unui receptor cu tranzistoare echipat cu un etaj final în contratimp clasa B al cărui consum variază între 20 și 200 mA la 9 V, alimentarea efectuându-se de la rețea de curent alternativ care poate avea variații de tensiune de  $-15\ldots+10\%$  din tensiunea nominală.

1. Se determină tensiunea minimă la intrarea stabilizatorului, necesară funcționării normale, (în cazul tensiunii de rețea minime și a curentului de sarcină maxim), din condiția impusă tranzistorului serie să nu intre în regiunea de saturare.

$$V_{Im} = [V_0 + (4 \dots 6)] V = 9 + 5 = 14 \text{ V}$$

Înăind seama de plaja admisă pentru variația tensiunii rețelei, printre-o regulă de trei simplă se determină atât tensiunea normală  $V_I = 16 \text{ V}$  cît și tensiunea maximă  $V_{IM} = 18 \text{ V}$  care se aplică la intrarea stabilizatorului.

Utilizând un transformator urmat de un redresor dublă alternanță cu filtraj cu condensator, tensiunea  $V_2$  în secundarul transformatorului se deduce din egalitatea:

$$V_I = V_2 \sqrt{2} - 0,7 = 16 \text{ V}$$

din care rezultă:

$$V_2 = 12 \text{ V}_{ef}$$

unde  $0,7 \text{ V} = V_F$ , reprezintă căderea de tensiune pe dioda redresoare.

Se folosește un transformator care furnizează în secundar o tensiune de  $2 \times 12 \text{ V}_{\text{ef}}$ .

2. Se estimează căderea de tensiune și puterea maximă dissipată pe tranzistorul serie.

$$V_{CE\ Max} = V_{IM} - V_0 = 18 - 9 = 9 \text{ V}$$

$$P_d\ Max = (V_{IM} - V_0)I_{0M} = (18 - 9) \cdot 0,2 = 1,8 \text{ W}$$

Se alege tranzistorul BD 135/6 cu caracteristicile:

$I_{C\ Max} = 1,5 \text{ A}$ ;  $C_{CE0} = 45 \text{ pF}$ ;  $h_{21E}$  (la  $V_{CE} = 2 \text{ V}$ ;  $I_C = 150 \text{ mA}$ )  $\approx 45 \dots 95$ ;  $P_{tot} = 12,5 \text{ W}$ .

3. Se determină tensiunea necesară a diodei Zener  $V_Z$ . Tensiunea  $V_{BE}$  a tranzistorului serie scăzindu-se din tensiunea  $V_Z$  (relația 2.10) aceasta din urmă trebuie să fie egală cu:

$$V_Z = 9 \text{ V} + V_{BE} = 9,6 \text{ V}$$

4. Se calculează rezistența  $R_B$  de polarizare a diodei Zener și a bazei tranzistorului serie (pentru a se asigura curentul minim prin diodă  $I_{Zm}$ , și curentul de comandă al bazei tranzistorului serie,  $I_B$ ), pentru două categorii de diode Zener:

— pentru diode Zener de mică putere ( $P_{max} = 0,3 \text{ W}$ ,  $I_{Zm} = 2 \dots 5 \text{ mA}$ , de exemplu DZ 2V7 ... DZ 15). Se consideră dioda DZ 10 cu caracteristicile  $V_{Zm} = 9,4 \text{ V}$ ;  $V_{ZT} = 10 \text{ V}$ ;  $I_{ZT} = 5 \text{ mA}$ ;  $I_{ZM} = 28 \text{ mA}$ .

$$R_B = \frac{V_{Im} - V_Z}{I_B + I_{Zm}}$$

sau

$$R_B = \frac{\frac{V_{Im} - V_Z}{I_{0M}}}{\frac{I_{0M}}{h_{21E\ min}}} = \frac{\frac{14 - 9,6}{0,2}}{\frac{45}{45} + 0,005} = 463 \Omega$$

Se alege  $R_B = 430 \Omega \pm 5\%$ .

— pentru diode Zener de  $1 \dots 5 \text{ W}$ , cu  $I_{Zm} = 5 \dots 30 \text{ mA}$ , (PL 3V3Z ... PL 200Z; 4DZ10 ... 180); se consideră dioda PL 10V1Z, cu caracteristicile  $V_{Zm} = 9,4 \text{ V}$ ,  $V_{ZT} = 10 \text{ V}$ ;  $I_{ZT} = 50 \text{ mA}$ ;  $I_{ZM} = 94 \text{ mA}$ .

$$R_B = \frac{\frac{14 - 9,6}{0,2}}{\frac{45}{45} + 0,010} = 304 \Omega$$

Se alege  $R_B = 300 \Omega \pm 5\%$ .

5. Se calculează curentul maxim prin dioda Zener  $I_{Z\ max}$  și puterea disipată de aceasta (cind tensiunea la intrarea stabilizatorului are valoarea maximă,  $V_{IM}$ ) pentru cele două situații menționate la punctul anterior:

$$I_{Z\ Max} = \frac{V_{IM} - V_Z}{R_B} < I_{ZM}$$

— pentru dioda Zener de putere mică:

$$I_{Z\ Max} = \frac{18 - 9,6}{430} = 20 \text{ mA} < I_{ZM}$$

$$P_{dZ} = V_{ZT} I_{Z\ Max} = 10 \cdot 20 \cdot 10^{-3} = 200 \text{ mW} < P_{Max}$$

— pentru dioda Zener de putere

$$I_{Z\ Max} = 28 \text{ mA} < I_{ZM}$$

$$P_{dZ} = 280 \text{ mW} < P_{Max}$$

6. Se alege tipul de diodă Zener în funcție de  $V_Z$  și  $I_{ZM}$ .

Avind în vedere că în ambele situații de mai sus curentul maxim și puterea disipată de dioda Zener nu depășesc valorile limită de catalog, se alege dioda de putere mai mică (în criteriul de alegere intrind și costul diodei).

Se alege dioda DZ 10.

Se determină pe caracteristica acestei diode curentul minim de polarizare și rezistența diferențială  $R_{ZT}$ .

Se corectează printr-un calcul exact mărimea  $R_B$  și  $I_{ZM}$ , ținând seama de caracteristica diodei Zener.

7. Se determină limitele pînă la care schema propusă stabilizează.

Schela stabilizează atît timp cît tensiunea la bornele diodei Zener rămîne constantă și egală cu  $V_{ZT}$ ; această tensiune este constantă atît timp cît prin diodă trece un curent superior celui „de cot”, adică peste  $2 \dots 4 \text{ mA}$ .

Curentul  $I_Z$  prin dioda Zener scade pînă sau sub mărimea  $I_{ZM}$  din două cauze:

a) tensiunea  $v_I$  la intrarea stabilizatorului este prea mică,

$$\text{— la } v_I = V_{Im} = 14 \text{ V}, I_1 = I_{RB} = \frac{V_I - V_Z}{R_B} \text{ și } I_B = \frac{I_{0M}}{h_{21E\ min}}$$

$$I_1 = \frac{14 - 10}{430} = 10 \text{ mA}$$

$$I_B = \frac{200}{40} = 5 \text{ mA}$$

$$I_Z = I_1 - I_B = 10 - 5 = 5 \text{ mA};$$

rezultă că în această situație dioda Zener este străbătută de un curent suficient pentru ca stabilizatorul să funcționeze normal, b) consumul de curent la ieșire  $I_0$  este prea mare.

Creșterea sarcinii la curenti peste 200 mA conduce la același efect: la curenti mari de colector, curentul bazei tranzistorului serie crește mult nu numai din cauza creșterii curentului  $I_0$ , ci și din cauza scăderii parametrului  $h_{21E}$ . Astfel, pentru tranzistoare de putere cu  $h_{21E}$  mic,  $I_B$  poate depăși mărimea  $I_Z$ , făcind să prin diodă să nu mai treacă curentul minim de stabilizare, ceea ce face ca tensiunea  $V_Z$  la bornele diodei să scadă și în consecință să scadă și tensiunea la ieșire.

#### Notă

Cele de mai sus arată că pentru a asigura stabilizarea cu montajul propus ar fi necesară o diodă Zener care să suporte un  $I_{ZM}$  ridicat permisind de la bun început mărirea curentului,  $I_{RB}$  prin micșorarea lui  $R_B$ ; în acest fel, la variații de sarcină sau de tensiune de intrare s-ar asigura prin dioda Zener un curent de lucru suficient de mare. Cu o astfel de diodă s-ar putea folosi și tranzistoare cu  $h_{21E}$  mai mic (20...30), deoarece  $I_Z$  fiind mult mai mare decât  $I_B$ , variația sarcinii nu poate „destabiliza” stabilizatorul. Diodele Zener de putere sunt însă mai scumpe decât tranzistoarele de mică putere.

Pentru a crește factorul de stabilizare trebuie micșorat curentul  $I_B$ . Acest lucru se poate asigura cu montajul Darlington.

#### Configurație paralel

În fig. 2.11 a, b se prezintă patru variante de scheme. Tensiunea la ieșire în aceste cazuri este egală cu suma dintre tensiunea diodei Zener și tensiunea emitor-bază a tranzistorului,  $V_0 = V_Z + V_{BE}$ .

Pentru a pune în evidență acțiunea de stabilizare a schemelor prezentate se presupune că tensiunea de ieșire are o creștere mică; în acest caz tensiunea  $V_{BE}$  crește (conform relației de mai sus) deoarece  $V_Z = \text{constant}$ . Rezultă că atât  $I_B$  cât și  $I_C$  cresc, și deci și căderea de tensiune  $R_1 I$  crește, făcând ca  $V_0$  să scadă. Evident, în acest caz însuși tranzistorul își reglează curentul de colector, care la rîndul său ajustează căderea de tensiune pe rezistența de balast  $R_1$ , contribuind prin aceasta la menținerea constantă a tensiunii la ieșire. Lucrurile se întâmplă invers la scăderea tensiunii de ieșire.

Acțiunea de stabilizare a schemei la modificarea tensiunii de intrare se explică prin aceea că variațiile acestei tensiuni determină variații ale curentului prin tranzis-

tor. Căderea de tensiune provocată de variațiile curentului prin rezistența  $R_1$  compensează variațiile tensiunii de intrare. Astfel, dacă tensiunea de intrare crește, tensiunea de ieșire tinde, de asemenea, să crească. Ca urmare, tensiunea bază-emitor și curentul prin tranzistor se măresc,

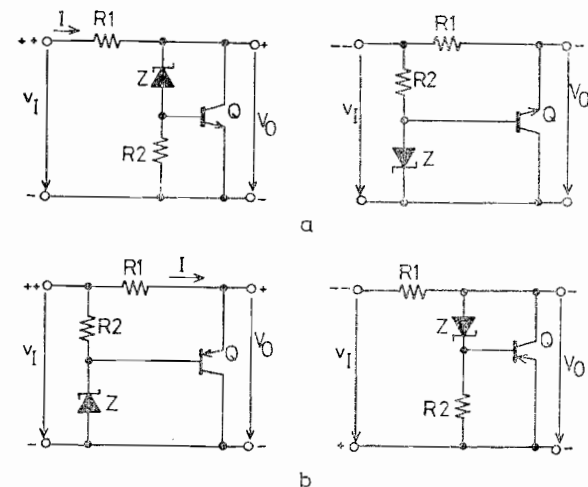


Fig. 2.11. Stabilizator parametric cu tranzistor paralel:  
a — tranzistor tip npn; b — tranzistor tip pnp.

căderea de tensiune pe  $R_1$  crește și în final tensiunea de ieșire revine aproape de valoarea sa inițială.

Avantajul înlocuirii unei diode Zener de putere printr-o asociere „Diodă Zener de mică putere — Tranzistor bipolar” (cazul montajelor din fig. 2.11), avantaj concretizat, atât prin creșterea puterii comandate (factor de multiplicare  $\beta$ ), cât și prin reducerea rezistenței dinamice (factor de divizare  $\beta$ ), este cel mai bine pus în evidență în fig. 2.12, unde ca element de reglare paralel se folosește o configurație Darlington. În acest caz, cu o diodă Zener de putere sub 1 W se poate stabiliza o putere de peste 10 W.

Schemele electrice prezentate în fig. 2.11 furnizează la ieșire o tensiune fixă. În cazul în care în paralel pe dioda Zener se conectează un potențiometru (reprezentat cu linie întreruptă în fig. 2.12), stabilizatorul realizat în acest mod asigură la ieșire o tensiune variabilă.

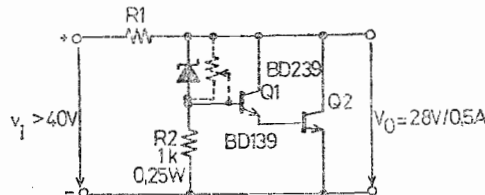


Fig. 2.12. Stabilizator simplu cu configurație Darlington paralel.

Este posibil ca stabilizatorul de tip paralel să furnizeze la ieșire tensiuni mai mari decât tensiunea diodei Zener care intră în compoziția lui. Acest lucru se obține în cazul în care baza tranzistorului se alimentează printr-un divizor de tensiune rezistiv  $R_1$ ,  $R_2$  și dioda Zener se montează în serie pe emitorul tranzistorului (fig. 2.13). În acest caz tensiunea la ieșire este dată de relația:

$$V_0 = \frac{R_1 + R_2}{R_2} V_Z + V_{BE} \quad (2.11)$$

În continuare se prezintă un exemplu de calcul al unui stabilizator de tensiune tip paralel (fig. 2.11).

Pentru calculul unui astfel de stabilizator se dau, de obicei:

- tensiunea stabilizată,  $V_0$

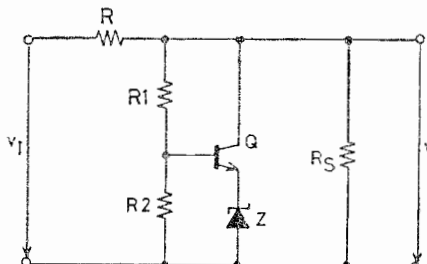


Fig. 2.13. Stabilizator parametric paralel cu tensiune de ieșire dependentă de divizorul  $R_1 - R_2$ .

- curenții de sarcină maximi și minimi,  $I_{0M}$ ,  $I_{0m}$
- variațiile tensiunii de alimentare  $V_{Im}$ ,  $V_{IM}$
- temperatura maximă de lucru,  $t_{amb Max}$ .

Ca și în exemplul de calcul anterior, în acest caz se cere să se realizeze o sursă de alimentare stabilizată, care în condiții normale de mediu ambiant trebuie să furnizeze la ieșire 9V la un curent variabil în limitele 20 mA...200 mA. Tensiunea retelei de alimentare variază în limitele  $-15\% \dots +10\%$ .

Utilizând un transformator care furnizează în secundar o tensiune de  $2 \times 12 V_{ef}$  (v. calculul din exemplul precedent), urmat de un redresor dublu alternanță și un filtru cu intrare pe condensator, la intrarea stabilizatorului tensiunea variază în limitele  $V_{Im}=14$  V,  $V_{IM}=18$  V.

Cu aceste date inițiale, calculul decurge în modul următor:

1. Se determină tensiunea diodei Zener

$$V_Z = V_0 - V_{BE} = 9 \text{ V} - 0,6 \text{ V} = 8,2 \text{ V}$$

Se alege dioda Zener DZ-8V2, cu  $V_{ZT}=8,2$  V la  $I_{ZT}=5$  mA.

2. Se calculează mărimea rezistorului de balast  $R_1$ :

$$R_1 = \frac{V_{Im} - V_0}{I_{0M} + I_{C min}} = \frac{14 - 9}{1,1 I_{0M}} = \frac{14 - 9}{0,22} = 23 \Omega$$

(se consideră  $I_{C min} = I_{0M}/10$ ).

Se alege valoarea normalizată cea mai apropiată  $R_1=22\Omega$ .

Puterea disipată în acest rezistor este:

$$P_{dR} = \frac{(V_{IM} - V_0)^2}{R_1} \approx 4 \text{ W}$$

3. Se estimează puterea maximă disipată în tranzistorul paralel:

$$P_d Max = \left( \frac{V_{IM} - V_0}{R_1} - I_{0m} \right) V_0 \approx 3,6 \text{ W}$$

Se alege tranzistorul BD 135 cu caracteristicile:

$P_{d Max}=12,5$  W (cu radiator infinit),  $I_{C Max}=1,5$  A;  $V_{CE Max}=45$  V;  $\beta_{21E}=45 \dots 95$  (la  $V_{CE}=2$  V,  $I_C=150$  mA).

#### Configurație serie-paralel

Cunoscind caracteristicile funcționale ale celor două tipuri de stabilizatoare prezentate, este posibil să se utilizeze calitățile fiecărui tip în parte, pentru realizarea de combinații de montaje serie-paralel.

In fig. 2.14 se prezintă o astfel de schemă, în care tranzistoarele  $Q_2$  și  $Q_3$  constituie un etaj în contratimp comandat de etajul colector comun realizat cu tranzistorul  $Q_1$ , care reproduce pe emitorul său tensiunea diodei Zener  $Z$ , compensată în temperatură cu diodele  $D_1$  și  $D_2$ .

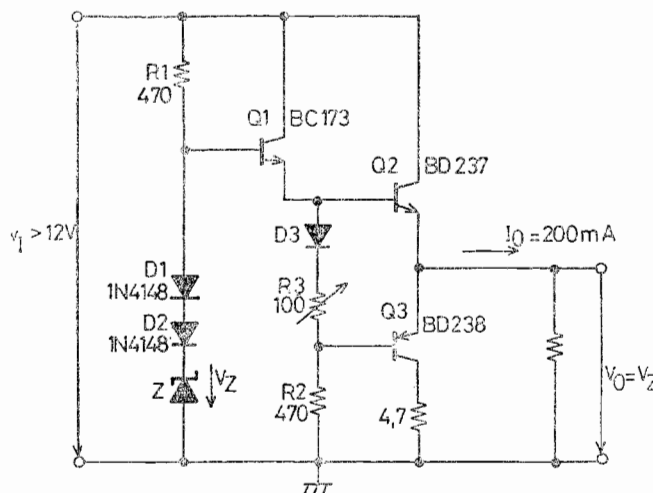


Fig. 2.14. Stabilizator parametric serie-paralel.

Căderile de tensiune la bornele diodelor  $D_1D_2$  compensează și tensiunile  $V_{BE}$  ale tranzistoarelor  $Q_1$  și  $Q_2$ , astfel că la ieșirea montajului se regăsește o tensiune egală cu tensiunea  $V_Z$  a diodei Zener  $Z$ .

### 2.1.3. Stabilizatoare liniare cu reacție

Așa cum s-a mai arătat stabilizatoarele de tensiune cu reacție sunt sisteme cu reglaj automat (fig. 1.1) la care mărimea de ieșire  $V_0$  (sau o parte din aceasta  $kV_0$ ) este comparată în permanență cu o mărime de referință  $V_{REF}$ , iar diferența lor,  $\epsilon = V_{REF} - kV_0$ , după o amplificare corespunzătoare ( $A\epsilon$ ), comandă un element regulator, care, în condițiile în care în sistem a intervenit o perturbație

carecarea readuce mărimea de ieșire  $V_0$ , furnizată de sursa de alimentare  $v_1$ , la valoarea care a fost impusă de elementul de referință. Prin mărirea complexității sistemului de reglare, eroarea poate fi redusă considerabil, rezultând un stabilizator cu performanțe deosebit de bune; această modalitate este compatibilă cu stabilizatoarele integrate monolitice, unde, datorită tehnologiei planare, pot fi realizate scheme electronice foarte complexe.

În funcție de modul de conectare a elementului regulator față de sarcină, aceste stabilizatoare sunt de tip serie și de tip paralel; în fig. 1.3, a, b, sunt reprezentate schemele bloc corespunzătoare acestor două modalități de conectare.

În cazul schemei de reglaj tip serie (fig. 1.3, a) la o creștere a tensiunii la bornele sarcinii semnalul de eroare se mărește și, după amplificare, implicit produce o creștere a rezistenței elementului regulator. Ca urmare scade curentul de sarcină, iar tensiunea la bornele de ieșire revine la valoarea anterioară.

În cazul schemei de reglare paralel (fig. 1.3, b), la o creștere a tensiunii de ieșire, semnalul de eroare se mărește și corespunzător în urma amplificării produce o micșorare a rezistenței elementului regulator. Ca urmare, crește curentul prin acest element, deci și prin rezistența serie  $R$ , și ca atare se va reduce tensiunea la ieșire pînă la o valoare apropiată de cea inițială.

Schemele de reglaj tip serie au consum mic în gol, au un randament mai ridicat și asigură o stabilitate mai bună decît cele de tip paralel, în schimb necesită circuite de protecție speciale la suprasarcini și scurtcircuite la bornele lor de ieșire.

#### Configurație serie

Stabilizarea schemelor de tipul prezentat în fig. 2.5 se asigură prin modificarea curentului tranzistorului  $Q$ , comandat direct prin variația tensiunii de ieșire. Eficacitatea acestei comenzi poate fi sporită dacă în prealabil variația  $\epsilon = V_{REF} - kV_0$  se amplifică și apoi se aplică tranzistorului regulator printr-o buclă de reacție. Se realizează în felul acesta cel mai simplu stabilizator de tensiune cu

reacție a cărui schemă de principiu este prezentată în fig. 2.15.

Funcționarea schemei este simplă. Diferența dintre fractiunea tensiunii de ieșire și tensiunea de referință  $V_Z$ , constituie semnalul de eroare, amplificat de etajul  $Q_2$ ,

$$v_{BE} = kV_0 - V_Z \quad (2.12)$$

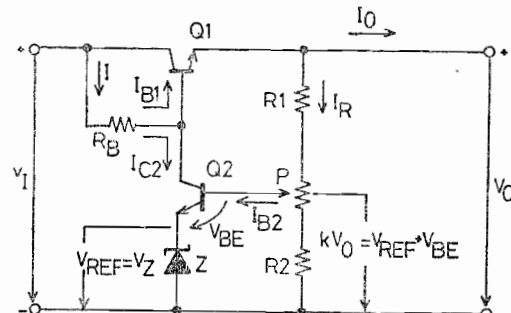


Fig. 2.15. Stabilizator liniar cu reacție cu două tranzistoare bipolare.

de unde rezultă tensiunea stabilizată

$$V_0 = (V_Z + v_{BE}) \frac{1}{k} = (V_Z + v_{BE}) \frac{R_1 + R_2}{R_2} \quad (2.13)$$

Curentul de ieșire al amplificatorului  $Q_2$  comandă curentul de colector al tranzistorului  $Q_1$  și implicit, rezistența lui echivalentă în curent continuu (între emitor-colector). Variațiile căderii de tensiune de pe această rezistență echivalentă compensează variațiile inițiale ale tensiunii de intrare, menținind practic constantă tensiunea de ieșire.

Tranzistorul serie  $Q_1$  nu permite trecerea curentului necesar prin sarcină,  $I_0$ , decât dacă își se furnizează un curent de bază mai mare sau cel puțin egal cu:

$$I_{B1} = I_0 / h_{21E} \quad (2.14)$$

unde  $h_{21E}$  este factorul de amplificare în curent al tranzistorului  $Q_1$ . Acest curent îl este furnizat de la sursa de alimentare  $v_I$ , nestabilizată, prin rezistența  $R_B$ .

Orice tendință de creștere a tensiunii de ieșire  $V_0$ , se traduce printr-o creștere concomitentă a tensiunii de eroare și aplicată pe baza tranzistorului  $Q_2$ , respectiv creșterea curentului de colector al acestui tranzistor, creștere ce are loc în detrimentul curentului de bază al lui  $Q_1$ ; aceasta va avea drept consecință revenirea tensiunii de ieșire spre valoarea inițială. Variația  $\Delta I_{B1}$  a curentului  $I_{B1}$ , care se produce ca efect al funcției de comandă a tranzistorului  $Q_2$ , depinde de panta  $g_m = h_{21E} / h_{11E}$  a tranzistorului respectiv ( $Q_2$ ) conform relației:

$$\Delta I_{B1} = g_m \Delta \epsilon \quad (2.15)$$

Una din caracteristicile cele mai importante ale acestui stabilizator de tensiune este rezistența (dinamică) de ieșire, calculabilă, pe baza datelor de mai sus. Pentru aceasta se presupune că sursa de referință  $V_{REF}$  este perfect stabilă și ca atare variația tensiunii de intrare nu va afecta cîștigul de curent al tranzistorului  $Q_1$ . În acest caz, modificarea sarcinii va conduce la variația  $\Delta I_0$  a curentului de ieșire  $I_0$ . Această variație nu este posibilă decât dacă o variație corespunzătoare  $\Delta I_{B1} = \Delta I_0 / h_{21E}$  este furnizată în baza tranzistorului  $Q_1$ . Dar această variație nu este alta decât variația curentului de colector al tranzistorului  $Q_2$  datorită variației tensiunii lui de intrare  $\Delta V_{BE}$ . Cum tensiunea emitorului lui  $Q_2$  este „fixată“ prin construcție la tensiunea  $V_{REF} = V_Z$ , se poate scrie:

$$\Delta V_{BE} = \Delta \epsilon = \Delta (kV_0) \quad (2.16)$$

Din relațiile (2.16), (2.15) și (2.14) se deduce variația  $\Delta V_0$  a tensiunii de ieșire provocată de variația curentului în sarcină  $\Delta I_0$ .

$$\Delta V_0 = \Delta I_0 / g_m \cdot k \cdot h_{21E} \quad (2.17)$$

din care se deduce mărimea rezistenței dinamice  $R_d = \Delta V_0 / \Delta I_0$  a stabilizatorului:

$$R_d = \frac{1}{g_m} \cdot \frac{1}{kh_{21E}} \quad (2.18)$$

În expresia rezistenței dinamice, factorul  $1/g_m$  se referă la tranzistorul  $Q_2$ , factorul  $1/h_{21E}$  se referă la tran-

zistorul  $Q_1$ , iar  $k$  este factorul de divizare a tensiunii de ieșire.

Din cele relatate se poate deduce că rezistența dinamică a stabilizatorului cu reacție, tip serie, este cu atât mai mică, cu cât cîștigul celor două tranzistoare  $Q_1$  și  $Q_2$  va fi mai mare, iar coeficientul  $k$  va fi mai apropiat de unitate sau cu alte cuvinte, cu cât tensiunea de ieșire  $V_0$  va fi mai apropiată de tensiunea de referință  $V_{REF}$ .

Legat de această ultimă afirmație, rezultă că este posibil, ca într-un astfel de stabilizator de tensiune fixă să se obțină  $\Delta\varepsilon = \Delta V_0$  deci să se eliminate factorul  $k$  din expresia (2.16), în cazul în care se înlocuiește rezistența  $R_2$  din fig. 2.15, printr-o diodă Zener a cărei tensiune de cot să fie egală cu  $V_0 - V_{REF} - V_{BE}$ . Se obține în felul acesta schema din fig. 2.16 în care, cu ajutorul potențiometrului  $P$ , de mică valoare, se reglează fin mărimea tensiunii de ieșire  $V_0$ .

Înainte de a se pune în evidență îmbunătățirile care urmează să fie aduse schemei de principiu din fig. 2.15

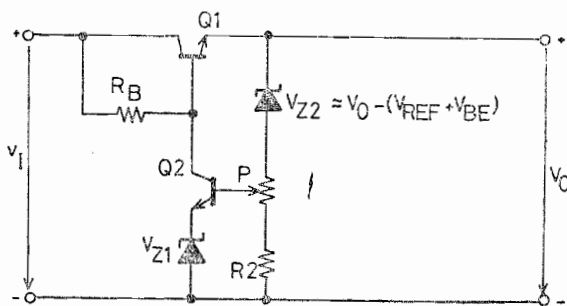


Fig. 2.16. Stabilizator liniar cu reacție (variantă îmbunătățită față de fig. 2.15)

incercăm să schițăm în cele ce urmează un mod de calcul simplificat al schemei menționate. De notat că procedeul de calcul prezentat, deși se referă la o schemă simplificată, poate fi extins și la scheme de stabilizatoare de tensiune mai complexe.

Ca exemplu, se propune determinarea mărimei componentelor electronice ale unui stabilizator de tensiune care furnizează la ieșire o tensiune de 15 V la un curent de 1 A și care este alimentat de la o sursă de tensiune variabilă între 20 și 30 V.

Pe parcursul calculului vom reveni cu explicațiile necesare din care să rezulte necesitatea îmbunătățirii schemei propuse pentru a fi folosite în montajele ce le vom prezenta în continuare.

#### a) Alegerea tipului de tranzistor serie, $Q_1$

In condițiile în care tensiunea la intrarea stabilizatorului și curentul pe care acesta îl furnizează în sarcină vor fi simultan maxime, puterea dissipată pe  $Q_1$  va fi maximă și egală cu:

$$P = (V_{IM} - V_0)I_{0M} = (30 - 15)1 = 15 \text{ W}$$

Se alege un tranzistor capabil să disipe această putere, să suporte un curent de colector mai mare sau cel puțin egal cu 1 A și să aibă o tensiune colector-emitor mai mare de 30 V (deoarece în cazul cînd sarcina va avea o componentă capacitive — de exemplu un condensator de decuplare de capacitate mare — la punerea sub tensiune, acest condensator se va manifesta ca un scurtcircuit la ieșire și întreaga tensiune de alimentare a stabilizatorului va fi preluată de tranzistorul serie). Se alege tranzistorul 2N 3055.

Va trebui să reținem atenția, în prealabil, cu un succint comentariu: în exemplul de față suntem în situația în care disponem de un tranzistor care, el singur este capabil să suporte atât tensiunea, cit și curentul, necesare ca stabilizatorul de tensiune să funcționeze corect. Totuși, în practică, astfel de situații nu se întâlnesc frecvent. Poate că tranzistoarele de care disponem au fie curentul de colector, fie tensiunea colector-emitor insuficiente. În aceste cazuri se procedează astfel:

— dacă tranzistorul are un curent de colector insuficient, este posibil să se conecteze două sau mai multe tranzistoare în paralel (fig. 2.9). Fără îndoială că, în acest caz, deoarece tensiunea bază emitor a tranzistoarelor poate varia de la un tip la altul cu cîțiva zeci de milivolți, trebuie să se egalizeze curenții prin fiecare tranzistor, introducind în serie cu emitorii lor cîte un rezistor de valoare foarte mică. Deoarece în foile de catalog se dau destul de rar valorile extreme ale lui  $V_{BE}$  nu este deloc ușor să se calculeze mărimea acestor rezistențe; din practică, însă, se cunoaște că pentru tranzistoare de putere medie se aleg rezistoare cu valori cuprinse între 0,1 și 1 Ω.

— dacă tensiunea  $V_{CE Max}$  a tranzistorului disponibil este insuficientă\*, soluția constă în montarea a două sau mai multe

\* Deși suntem în fabricație și în țara noastră tranzistoare care pot suporta tensiuni colector-emitor de cîteva sute de volți, configurația serie în care se utilizează tranzistoare de tensiuni mai

tranzistoare în serie (fig. 2.17. a); pentru repartizarea tensiunilor pe bazele celor trei tranzistoare este prevăzut un divizor rezistiv. În fig. 2.17. b, este prezentată disponerea în serie a patru tranzistoare, care, cu tranzistorul  $Q_2$ , formează o configurație de tip Darlington, folosită pentru creșterea factorului de amplificare în curent al elementului regulator serie.

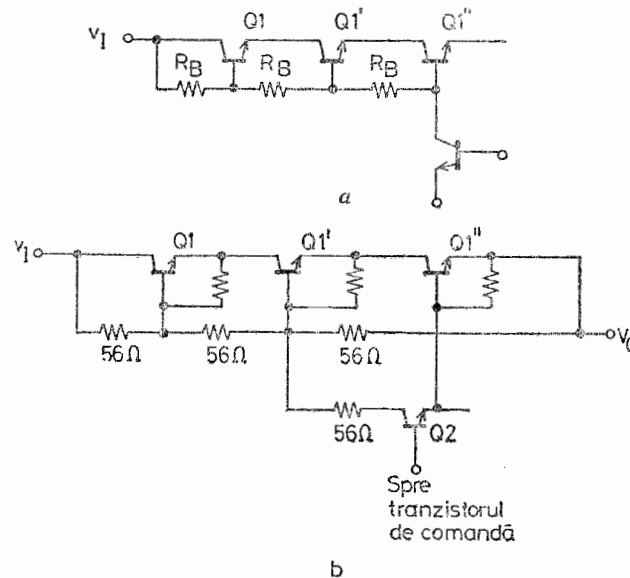


Fig. 2.17. Element regulator constituit prin disponere în serie a mai multor tranzistoare bipolare:  
a — configurație normală; b — configurație Darlington.

mici suscătă interes practic deoarece puterea disipată de stabilizatorul de tensiune este repartizată pe mai multe tranzistoare. Să din punct de vedere economic este mai bine să se monteze trei sau patru tranzistoare, în fabricație curentă, ca de exemplu 2N3055, BD239, BD240, decât să se utilizeze un singur tranzistor capabil să disipe sute de wați și a cărui tensiune  $V_{CE}$  este de cîteva sute de volți (chiar dacă acesta este în fabricație curentă) în general mai scump. Indiferent că tranzistoarele sunt montate în serie sau în paralel, este recomandat ca ele să fie dispuse pe același radiator pentru a li se egaliza temperatura proprie. Se remintește și faptul că în cazul montajului în serie este necesar să se izoleze fiecare tranzistor de pe radiator prin intermediul unei rondele de mică.

— dacă atît tensiunea colector-emitor maximă,  $V_{CE\ Max}$ , cît și curentul maxim de colector  $I_{C\ Max}$  sunt suficiente, este posibil ca puterea maximă pe care o poate disipa tranzistorul disponibil să fie prea mică. În acest caz se poate folosi schema din fig. 2.18, caracterizată prin aceea că permite repartizarea puterii disipate de elementul regulator pe două tranzistoare montate în serie,

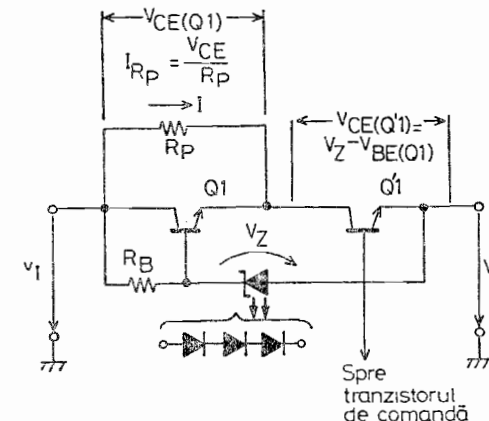


Fig. 2.18. Disponere a două tranzistoare pentru repartizarea echilibrată a puterii disipate pe elementul regulator serie.

menținind o tensiune  $V_{CE}$  constantă și egală cu 2...3 V la bornele unuia din aceste două tranzistoare și „ușurind” funcționarea celuilalt prin montarea la bornele lui a unei rezistențe paralele  $R_p$ .

Tranzistorul  $Q_1$ , sănitat prin rezistorul  $R_p$ , este capabil să permită trecerea unei părți importante din curentul furnizat de stabilizator; baza lui este alimentată de la tensiunea de ieșire stabilizată prin intermediu unei diode Zener sau printr-un ansamblu de diode redresoare dispuse în serie, alimentate de la tensiunea de intrare, nestabilizată, prin intermediu rezistenței  $R_p$  (vezi fig. 2.18). Tranzistorul  $Q'_1$  este comandat de tranzistorul amplificator de eroare ( $Q_2$ , în fig. 2.15). Din schemă rezultă că tensiunea la bornele tranzistorului  $Q'_1$  rămîne constantă și egală cu tensiunea diodei Zener minus tensiunea bază-emitor a tranzistorului  $Q_1$ , indiferent de tensiunea de ieșire. În ceea ce privește tranzistorul  $Q_1$ , deoarece tensiunea pe baza sa este „fixată” la tensiunea de ieșire minus tensiunea pe diodă Zener, și va modifica tensiunea colector-emitor, deoarece curentul care-l

parurge variază în funcție de tensiunea la bornele lui (o fracție a curentului total, proporțională cu  $V_{CE}$ , trece prin rezistență paralel  $R_p$ ).

La o alegere judicioasă a elementelor montajului, puterea disipată pe fiecare din cele două tranzistoare se echilibrează la o valoare egală cu un sfert din puterea totală disipată de stabilizator, jumătate din această putere fiind disipată de rezistența  $R_p$ ; astfel dacă:

$$R_p = \frac{V_{CE(Q1)max} + V_{CE(Q2)}}{I_{0max}}$$

și

$$V_Z = 2 \text{ V}$$

atunci:

$$P_d(Q1) = P_d(Q2) = \frac{V_{CE(Q1, Q2)max} \cdot I_{0max}}{4}$$

Un alt avantaj al acestei disperuri este acela că tranzistorul  $Q_1$  joacă în același timp și rolul de prestabilizator, deoarece baza lui fiind legată la tensiunea stabilizată de ieșire, tensiunea culeasă pe emitorul său este, pentru o valoare a lui  $V_0$ , constantă.

#### b) Calculul rezistenței de bază $R_B$

Valoarea minimă garantată a parametrului  $h_{21e}$  pentru tranzistorul 2N3055 este egală cu 20. Pentru ca stabilizatorul să poată furniza în sarcină curentul de 1 A propus, este necesar ca în baza acestui tranzistor serie să se injecteze curentul:

$$I_{B1max} = I_{0M}/h_{21e min} = 1/20 = 0,050 \text{ A}$$

Acest curent trebuie furnizat de sursa de alimentare cind aceasta are tensiunea minimă, deci:

$$R_B = [V_{Imin} - (V_0 - V_{BE})]/I_{B1max} = \\ [20 - (15 - 0,7)]/0,050 = 114 \Omega$$

Se alege din catalog valoarea imediat inferioară:

$$R_B = 110 \Omega \pm 2\%; P_d = 0,25 \text{ W}$$

#### c) Alegerea tranzistorului de comandă, $Q_2$

Se alege un tranzistor capabil să furnizeze un curent de colector mai mare sau cel puțin egal cu 50 mA și care să aibă un  $h_{21e}$  peste medie.

Dintre tranzistoarele fabricate în țară se alege tipul 2N2222.

#### d) Alegerea diodei Zener de referință, $D_Z$

Se va alege o diodă de referință care să aibă o rezistență dinamică mică, un curent de stabilizare cît mai apropiat de curentul prin tranzistorul  $Q_2$  și un coeficient de temperatură cît mai mic.

Se alege dioda PL 9 V1 Z cu parametrii:

$$V_{ZT} = 9,1 \text{ V}; I_{ZT} = 50 \text{ mA}; \alpha_{ZT} = +0,051\%/\text{C}$$

#### e) Calculul valorilor rezistențelor din divizorul de ieșire $R_1, P, R_2$ (fig. 2.15)

Divizorul rezistiv din circuitul de eșantionare  $R_1, P, R_2$  trebuie ales astfel încât să fie îndeplinite condițiile:

— tensiunea eșantionată  $kV_0$  să nu fie afectată de curentul de bază  $I_{B2}$  al tranzistorului  $Q_2$ ; această condiție este îndeplinită dacă  $I_R \gg I_{B2}$ .

—  $R_1, P, R_2$  trebuie să satisfacă relația (2.13),

— rezistoarele din divizorul de ieșire sunt limitate inferior, prin ele trecând un curent  $I_R \ll I_0$ ,

— din punct de vedere dinamic, este necesar ca tranzistorul  $Q_2$  să fie atacat pe bază de un generator de tensiune, adică să fie îndeplinită condiția:

$$R_1/R_2 \ll h_{11e} + (1 + h_{21e})R_{ZT}$$

Cîstigul  $h_{21e}$  al tranzistorului  $Q_2$  (2N2222), în condițiile cele mai dezavantajoase de funcționare fiind egal cu 35, curentul de bază al acestui tranzistor, în cazul cînd debitează 50 mA, nu va fi în nici-un caz mai mare de:

$$I_{B2} = I_C/h_{21e}$$

$$I_{B2} = 0,050/35 \approx 1,5 \text{ mA}$$

Ca acest curent să nu perturbe divizorul de ieșire de pe care se culege semnalul  $kV_0$  de reacție, pentru comanda tranzistorului  $Q_2$  impunem ca divizorul să fie parcurs de un curent  $I_R$  de aproximativ 10 ori mai mare decit curentul  $I_{B2}$ ; fie acest curent 15 mA.

Rezultă mărimea divizorului rezistiv de ieșire:

$$R_1 + P + R_2 = 15 \text{ V}/15 \text{ mA} = 1 \text{ k}\Omega$$

Pentru a calcula valorile  $R_1, P, R_2$ , trebuie să ținem seama că, pentru ca la ieșire să se obțină o tensiune de 15 V, baza tranzistorului  $Q_2$  trebuie să fie, față de masă, la o tensiune:

$$V_{BB} = V_{REF} + V_{BE} \pm \Delta$$

Cum e trebuie să fie și este foarte mic, poate fi neglijat în acest caz.

$$V_{sp} \approx 9.1 + 0.5 \approx 9.7 \dots 10 \text{ V}$$

din care se deduc valorile:  $R_1 = 330 \Omega$ ,  $R_2 = 560 \Omega$ ,  $P = 110 \Omega$ .

### f) Calculul rezistenței dinamice

Cunoșteți mărimile  $h_{11b} = 4 \div 8 \Omega$ ,  $h_{21e} = \min 35$ , prin măsurători sau din foile de catalog pentru tranzistorul 2N2222 se calculează:

$$h_{11e} \simeq h_{11b}, h_{21e} \simeq 280 \Omega$$

四

$$g_m = h_{21e}/h_{11e} = 0,125 \text{ A/V}$$

Se calculează parametrul  $k$ :

$$k = \frac{10}{15} = 0,66$$

Cunoscind și parametrul  $b_{21e}=20$  al tranzistorului  $Q_1$  se calculează:

$$R_d = 1/g_m \cdot h_{21e} \cdot k = 0,6 \text{ } \Omega$$

În continuare se propun cîteva montaje cu îmbunătățiri fată de schema de bază prezentată în fig. 2.15.

În fig. 2.19, se prezintă schema unui stabilizator de tensiune la care potențialul emitorului tranzistorului  $Q_2$  este fixat prin intermediul rezistorului  $R_1$  și al diodei  $Z_1$ , conectate la tensiunea de ieșire stabilizată.

Rezistorul  $R_3$  asigură curentul de polarizare al diodei de referință  $Z$  și se dimensionează astfel încât  $i_{R_3} \gg i_C$ , deci curentul variabil prin  $Q_2$  să nu afecteze tensiunea de referință  $V_Z$ ; în același scop  $R_3$  se conectează la tensiunea stabilizată în emitorul tranzistorului  $Q_1$  și trebuie să satisfacă și relația 2.4 sub forma:

$$R_{2\text{ Max}} = \frac{V_{0\text{ Max}} - V_Z}{I_{Z\text{ min}}}$$

$$R_{1\min} = \frac{V_{0\min} - V_Z}{I_{Z\max}}$$

Acest stabilizator este alcătuit din tranzistorul regulator  $Q_1$ , din amplificatorul de curent continuu  $Q_2$ , din dioda Zener  $Z$  și din divizorul tensiunii de ieșire  $R_L - R_{UL}$ .

Modul de funcționare a schemei este următorul: tensiunea de ieșire din A este comparată în B cu

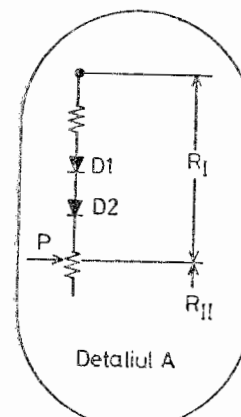
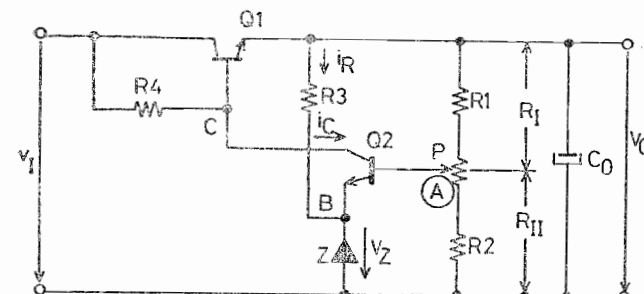


Fig. 2.19. Stabilizator cu reacție cu două tranzistoare bipolare; variantă îmbunătățită față de (fig. 2.17).



potențialul de referință  $V_Z$  furnizat de dioda Zener  $Z$ . Diferența sesizată se amplifică în  $C$  și se aplică tranzistorului serie  $Q_1$ ; acesta își ajustează curentul și deci cădereea de tensiune pe el, pentru a menține constantă tensiunea la ieșire, indiferent de variațiile tensiunii de intrare sau variațiile curentului la ieșire.

In majoritatea cazurilor, tranzistorul  $Q_2$  pe care se face compararea tensiunii de reactie cu cea de referinta

(fig. 2.15) îndeplinește și rolul de amplificator de eroare. În alte cazuri, cind dorim să mărim amplificarea în scopul micșorării rezistenței de ieșire  $R_B$  sau de a mări stabilizarea, între tranzistoarele  $Q_2$  și  $Q_1$  se intercalează unul sau mai multe etaje de amplificare. În acest caz trebuie

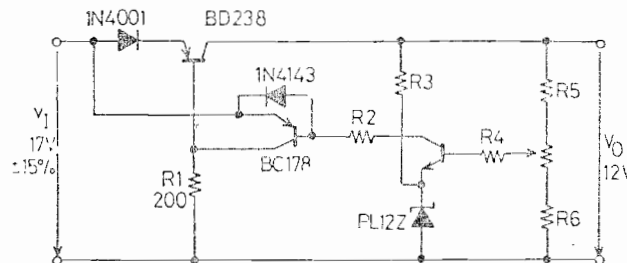


Fig. 2.20. Stabilizator de 12V/1A.

avut în vedere ca faza suplimentară introdusă de aceste etaje să asigure reacția negativă pe bucla de reacție. În fig. 2.20 se prezintă o astfel de schemă.

Performanțele stabilizatorului serie cu reacție pot fi îmbunătățite și anume:

- dioda Zener având rezistență dinamică diferită de zero, nu oferă o tensiune de referință perfect constantă; acest inconvenient se poate înălța prin utilizarea unui stabilizator parametric cu două etaje (fig. 2.3, b).

- micșorarea rezistenței de ieșire a stabilizatorului se poate obține nu numai prin creșterea amplificării amplificatorului de eroare (fig. 2.20) ci și prin micșorarea rezistenței de ieșire a acestui amplificator (în acest caz între  $Q_2$  și  $Q_1$  se intercalează un etaj repotor pe emitor) sau prin înlocuirea tranzistorului regulator  $Q_1$  cu un montaj Darlington,

- tensiunea care alimentează amplificatorul de eroare nu este constantă (rezistorul  $R_B$ , este conectat, după cum se vede în fig. 2.15 la tensiunea nestabilizată\*. Fiind co-

\* Rezistorul  $R_B$  nu poate fi conectat în emitorul tranzistorului regulator  $Q_1$ , la tensiunea stabilizată, deoarece în acest caz jonctiunea lui emitor-bază nu se polarizează corect.

nectată la tensiunea nestabilizată,  $R_B$  transmite la ieșire variațiile  $v_I$  ale tensiunii de intrare).

Schema din fig. 2.21 prezintă unele din îmbunătățirile menționate mai sus.

Pentru ca și ondulațiile tensiunii nestabilizate  $v_I$  să nu se mai transmită direct la ieșire prin rezistența de sarcină  $R_B$  a amplificatorului de eroare, acesta se poate alimenta de la o tensiune stabilizată. Circuitul care asigură această alimentare se numește prestabilizator.

În fig. 2.21 prestabilizarea tensiunii de alimentare a rezistenței  $R_4$  se face cu un stabilizator parametric format din rezistență  $R_5$  și dioda  $Z_2$ . Dacă rezistența  $R_5$  este mare, se obține o bună stabilizare a punctului  $A$ , dar rezultă o valoare mică pentru  $R_4$ , neconvenabil pentru funcționarea dinamică a tranzistorului  $Q_3$  ( $A_v$  mic). Montajul prezentat asigură 12 V la 1 A, prereglat precis cu semi-reglabilul  $P$ . Divizorul rezistiv de ieșire, de  $400 \Omega$ , asigură un curent permanent de presarcină (aproximativ 3% din mărimea curentului de sarcină) preîntămpinând unele variații necontrolate ale tensiunii de ieșire la curenti mici

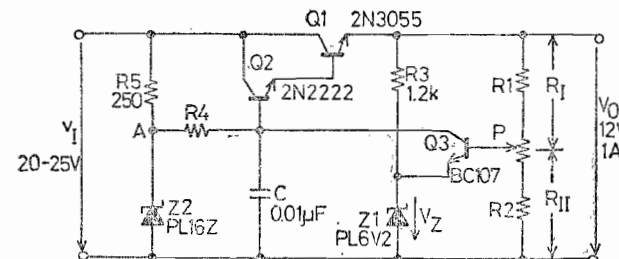


Fig. 2.21. Stabilizator cu reacție cu preregulator cu diodă Zener  $Z_2$ .

de sarcină. Tensiunea stabilizată minimă obținută cu acest montaj este:

$$V_{0 \min} = V_Z + V_{BE(Q3)}$$

Dacă înlocuim rezistorul  $R_B$  (fig. 2.15) printr-un generator de curent (fig. 2.22) rezistența de sarcină a amplificatorului de eroare crește.

In acest caz, prestabilizatorul marcat pe schema cu linie intreruptă, este format din rezistențele  $R_4$ ,  $R_5$ , dioda  $Z_2$  și tranzistorul  $Q_4$ .

Principiul de funcționare al acestei scheme este analog cu principiul de funcționare al schemelor anterioare.

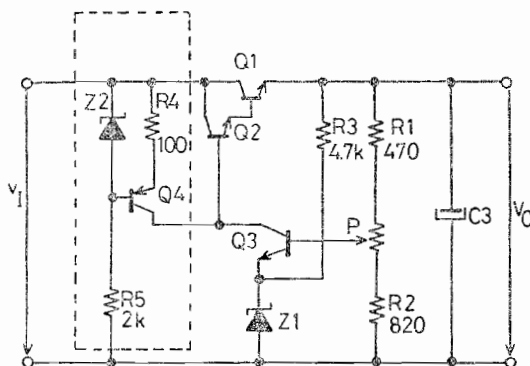


Fig. 2.22. Stabilizator cu reacție cu regenerator de curent.

Odată cu variația tensiunii la intrare, cum ar fi de pildă creșterea acesteia, în primul moment crește și tensiunea la ieșire  $V_0$ . Creșterea tensiunii  $V_0$  conduce la creșterea tensiunii ce se aplică pe baza lui  $Q_3$ . Curentul de bază și de colector al acestui tranzistor cresc. Curentul de colector al tranzistorului  $Q_4$  este egal cu suma dintre curentul de colector al lui  $Q_3$  și curentul de bază al lui  $Q_2$ . Cum acest curent este constant (fiind furnizat de generatorul de curent), creșterea curentului de colector al lui  $Q_3$  se face pe seama scăderii curentului de bază al lui  $Q_2$  și implicit al tranzistorului regulator  $Q_1$ . Micșorarea curentului prin baza lui  $Q_1$  conduce la creșterea tensiunii colector-emitor a acestui tranzistor ceea ce face ca în final tensiunea la ieșire să revină la valoarea initială. Schema funcționează în mod analog în cazul modificării curentului de sarcină.

Modificarea temperaturii mediului ambiant, influențează tensiunea  $V_0$  a stabilizatorului. Pentru reducerea

acestei influențe stabilizatoarele sunt prevăzute cu sisteme de compensare termică. În cele ce urmează prezentăm două scheme mai frecvent utilizate în practică.

In schema din fig. 2.19 ca element termocompensator pot fi folosite diode conectate in circuitul de esantionare (v. detaliul A din fig. 2.19).

Deoarece diodele cu siliciu conectate în direct au coefficientul de temperatură negativ, la creșterea temperaturii mediului, căderea de tensiune pe aceste diode se micșorează și ca urmare crește tensiunea pe rezistența  $R_H$ , conducind în final la reducerea tensiunii de ieșire. Rezultă că variația tensiunii la ieșire este de semn contrar față de variația tensiunii diodei Zener Z din emitorul tranzistorului  $Q_2$ , fenomen datorat acțiunii de compensare a diodelor  $D_1$ ,  $D_2$  (v. detaliul A din fig. 2.19). Dacă aceste două variații au valori egale, în acest caz se realizează o compensare integrală a influenței temperaturii asupra tensiunii de ieșire a stabilizatorului. O astfel de compensare de temperatură este posibilă numai în cazul în care coefficientul de temperatură al lui Z este pozitiv; în condițiile

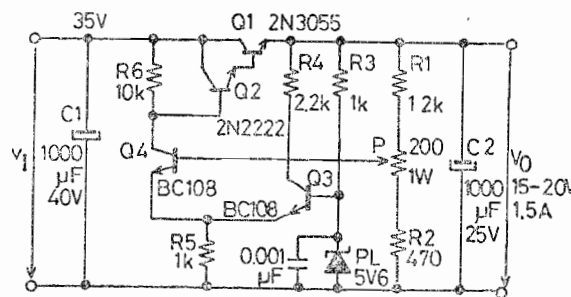


Fig. 2.23. Stabilizator cu reacție cu tranzistoare cu amplificator diferențial.

în care acest coeficient de temperatură este negativ, în acest caz pentru asigurarea compensării termice în una din ramurile divizorului se conectează o termorezistență.

O compensare termică bună se obține folosind un amplificator de eroare diferențial (fig. 2.23).

Montajul fiind simetric, efectele temperaturii asupra celor două tranzistoare  $Q_3$ ,  $Q_4$  se anulează dacă ele sunt identice (tehnologic aceste două tranzistoare se pot realiza pe același „cip” de siliciu) și au aceeași temperatură. Impedanțele pe cele două intrări ale amplificatorului diferențial fiind mari datorită reacției serie pe rezistență de  $1\text{ k}\Omega$  din emitorii celor două tranzistoare, rezultă o funcționare stabilă a diodei Zener  $Z$  și valori rezonabile pentru divizorul de ieșire  $R_1$ ,  $P$ ,  $R_2$ .

Tensiunea stabilizată pe care o oferă montajul prezentat este:

$$V_0 = V_Z \frac{R_1 + R_2}{R_2}$$

Din această relație rezultă că folosind un amplificator diferențial, coeficientul de temperatură depinde numai de sursa de referință. Din acest motiv ca sursă de referință se folosesc diode compensate (de exemplu ROZ 82 A, B).

Ieșirea către tranzistorul regulator se face din colectorul lui  $Q_4$ .

Pentru montajul prezentat tensiunea la ieșire poate fi variată în limitele  $15 \dots 20\text{ V}$  cu semireglabilul  $P$ . Riplul tensiunii la ieșire este sub  $7\text{ mV}$  virf la virf iar tensiunea  $V_0$  variază cu mai puțin de  $2\%$  în limitele curentului de  $1,5\text{ A}$ .

### Configurație paralel

Acest tip de stabilizator nu este atât de răspîndit ca cel descris anterior. Totuși, el poate fi utilizat în cazul variațiilor mici ale tensiunii rețelei și a variațiilor brusă ale curentului prin sarcină. Principalele lui avantaje sunt: independența curentului de intrare față de variația curentului prin sarcină și insensibilitatea la scurtcircuitarea ieșirii.

În fig. 2.24 prezentăm schema de principiu a acestui stabilizator, alcătuit din tranzistorul regulator  $Q_1$ , rezistența de balast  $R_1$ , amplificatorul de eroare  $Q_2$ , sursa de referință  $Z$ , circuitul de eșantionare  $R_I - R_{II}$ , condensatorul de ieșire  $C_0$ .

Tensiunea de ieșire a stabilizatorului,  $V_0$ , este egală cu diferența dintre tensiunea de intrare  $v_I$  și tensiunea pe rezistență de balast ( $V_0 = v_I - V_{R_1}$ ).

Odată cu variația tensiunii de intrare, luând în considerare de pildă creșterea acesteia, în primul moment

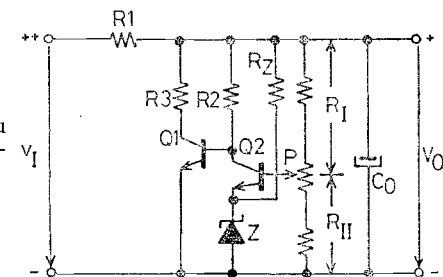


Fig. 2.24. Stabilizator cu reacție cu element regula-  
tor paralel.

crește și tensiunea la ieșire. Creșterea tensiunii la ieșire conduce la mărirea tensiunii  $V_{R_{II}}$  pe baza tranzistorului  $Q_2$  și implicit a curentului de colector al acestui tranzistor.

Creșterea curentului de colector al lui  $Q_2$  conduce la mărirea tensiunii pe rezistență  $R_2$  și implicit la creșterea tensiunii pe baza lui  $Q_1$  și la mărirea curentului lui de colector. Creșterea curentului de colector al lui  $Q_1$  conduce la creșterea lui  $I_{R_1}$  și deci a tensiunii  $V_{R_1}$  pe rezistență balast. În felul acesta, tensiunea la ieșirea stabilizatorului se înălță pînă la valoarea inițială, bineînteles ținind seama și de gradul de precizie al schemei.

În condițiile în care are loc o variație a curentului de sarcină, în primul moment se modifică tensiunea de ieșire, după care schema lucrează ca mai sus.

Ajustarea tensiunii stabilizate, ca și în cazul stabilizatoarelor tip serie, se realizează cu potențiometrul  $P$ , conectat în divizorul de ieșire.

În fig. 2.25 se prezintă o schemă practică de stabilizator cu reacție, de tip paralel.

În condițiile în care tensiunea la ieșire a fost reglată la  $12\text{ V}$  cu ajutorul semireglabilului  $P$ , tranzistorul  $Q_3$  compară tensiunea de ieșire cu tensiunea de referință

referință Zener  $V_Z$ , astfel încât curentul pe care-l absoarbe tranzistorul Darlington  $Q_1-Q_2$  prin rezistența de balast  $R_1$  să furnizeze la ieșire exact tensiunea de 12 V. În cazul în care curentul prin sarcină sau tensiunea de intrare variază, bucla de reacție negativă intră în funcțiune, astfel

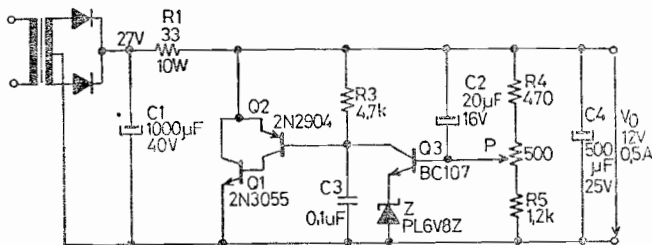


Fig. 2.25. Alimentator cu stabilizator cu reacție tip paralel.

încât menține tensiunea la ieșire la valoarea prestabilită.

Condensatorul electrolitic  $C_2$ , de  $20 \mu F$ , reduce componenta alternativă a tensiunii la ieșire. Condensatorul  $C_3$  de  $0,1 \mu F$ , previne intrarea în oscilație a circuitului pe frecvențe înalte.

Și în cazul acestui tip de stabilizator se poate reduce influența temperaturii asupra tensiunii de ieșire dacă în circuitul de reacție se utilizează un amplificator diferențial, aşa cum se prezintă în fig. 2.26.

Tensiunea de referință furnizată de dioda Zener se aplică pe baza tranzistorului  $Q_2$ , iar pe baza celuilalt tranzistor,  $Q_3$ , din amplificatorul diferențial, se aplică o fracție din tensiunea de ieșire. Aceste două tranzistoare au emitoarele conectate împreună și legate la masă prin rezistența  $R_3$ ; bazele celor două tranzistoare avind tensiunile cu  $V_{BE}$  voltii peste tensiunea emitoarelor lor sunt aproximativ la același potențial, (diferența depinzând numai de gradul lor de împerechere).

Stabilizatoarele cu reacție de tip paralel, nu sunt atât de larg utilizate ca stabilizatoarele tip serie deoarece eficiența lor este maximă la variații mici ale curentului de sarcină, iar în cazul unor sarcini variabile, în special cind

curentul la ieșire tinde spre zero, disipația pe tranzistorul paralel este mai mare și deci randamentul schemei este mic.

Aceste tipuri de stabilizatoare suscă totuși interes practic deoarece ele sunt rezistente la scurte circuitarea ie-

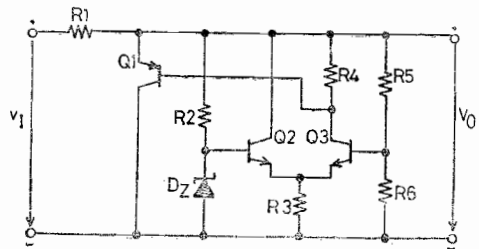


Fig. 2.26. Stabilizator tip paralel cu amplificator diferențial în circuitul de reacție.

șirii la masă. Dacă se prevede o rezistență de balast cu o putere de disipație suficient de mare ele sunt asigurate împotriva greșelilor de manevrare.

#### Utilizarea amplificatorului operațional

În paragraful de față ne propunem să tratăm principalele aspecte legate de utilizarea amplificatoarelor operaționale în stabilizatoarele de tensiune liniare cu reacție.

În schema prezentată în fig. 2.27, amplificatorul operațional se folosește ca amplificator de eroare.

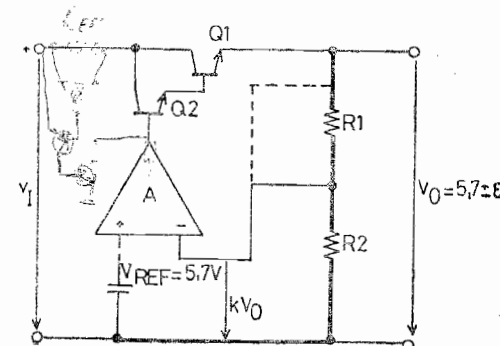


Fig. 2.27. — Stabilizator liniar cu amplificator operațional în circuitul de reacție.

Dacă  $A$  este cîstigul cu buclă deschisă al amplificatorului operațional și  $kV_0$  este partea din tensiunea de ieșire care se compară cu tensiunea de referință, atunci:

$$V_0 = V_{REF} \frac{1}{1+kA} \quad (2.19)$$

Din această relație rezultă două aspecte tehnice importante și anume: cu cît cîstigul  $A$  al amplificatorului operațional va fi mai mare și cu cît valoarea lui  $k$  va fi mai apropiată de unitate, cu atit va fi mai precis reglajul tensiunii de ieșire.

În cazul particular în care  $k=1$ , tensiunea de eroare  $\epsilon = V_{REF} - V_0$  este dată de relația:

$$\epsilon = V_{REF} \frac{1}{1+A} \quad (2.20)$$

Cunoscînd principalele caracteristici ale amplificatorului operațional, redate prin cîstigul cu buclă deschisă  $A$  și prin rezistența dinamică de ieșire  $R_{dop}$  se poate calcula rezistența stabilizatorului (fig. 2.27).

$$R_0 = \frac{R_{dop}}{h_{21}(Q_1) \cdot h_{21}(Q_2)(1+kA)} \quad (2.21)$$

Această relație ne dă din nou prilejul să constatăm că prin utilizarea unui amplificator cu cîstig mare se realizează stabilizările de tensiune cu rezistență de ieșire mică.

Presupunînd tensiunea de referință perfect stabilă, se poate calcula stabilizarea față de sarcină a schemei și anume:

$$K_L[\%] = \frac{\Delta I_0 \cdot R_0}{V_0} 100 \quad (2.22)$$

Revenind la schema din fig. 2.27 și considerînd cazurile cele mai dificile (de exemplu în condiții de temperatură defavorabilă) în care atîț tranzistoarele  $Q_1$ ,  $Q_2$  cît și amplificatorul operațional dispun de parametri modești, de exemplu  $A=50\,000$ ;  $R_{dop}=100 \Omega$ ;  $h_{21E}(Q_1)=20$ ;  $h_{21E}(Q_2)=35$  și presupunînd  $k=1$  se pot calcula pe baza relațiilor de mai sus:

— tensiunea de eroare:

$$\epsilon = \frac{5 \cdot 7}{1+5 \cdot 10^4} = 0,11\% \text{ mV}$$

— rezistența de ieșire:

$$R_0 = \frac{100}{35 \cdot 20 \cdot 5 \cdot 10^4} = 2,85 \mu\Omega$$

— stabilizarea de sarcină, cînd curentul  $I_0$  variază între 0 și 2 A:

$$K_L = \frac{2 \cdot 2,85 \cdot 10^{-6}}{5 \cdot 7} 100 = 0,0001\%$$

Din datele de mai sus rezultă caracteristici deosebit de bune pentru un stabilizator de tensiune realizat cu amplificator operațional. Totuși, în practică rezultatele sînt diferite de datele de calcul, fapt explicabil dacă se ține seama cel puțin numai de faptul că:

— tensiunea de decalaj de la intrarea amplificatorului în majoritatea cazurilor este mai mare decît mărimea calculată pentru  $\epsilon$  (uzual 1...6 mV față de 0,1 mV calculat); această tensiune de decalaj deși poate fi compensată, prezintă și o derivă dependentă de temperatură;

— cabelele de conexiune influențează negativ, deoarece pe ele apare o cădere de tensiune, deloc neglijabilă, care se adaugă la tensiunea de referință (în fig. 2.27 s-a trasat în linie groasă parte de circuit care prezintă această influență; de exemplu pe un conductor de 1 mm diametru, lung de 1 m, parcurs de un curent de 2 A, apare o cădere de tensiune de cca. 40 mV, iar dacă tensiunea stabilizată de ieșire este de 10 V, atunci factorul de reglare va fi de 0,4%, mult mai mare decît valoarea 0,0001% calculată).

La curenti mici de sarcină, amplificatoarele operaționale pot fi utilizate ca surse de tensiune stabilizată, conform schemei din fig. 2.28. Dacă tensiunea de referință,  $V_{REF}$ , aplicată pe borna neinversoare a amplificatorului este constantă, atunci și tensiunea de ieșire,  $V_0$ , va fi constantă. În cazul cînd rezistența de sarcină variază, tensiunea de ieșire, egală cu produsul dintre amplificarea în buclă închisă a amplificatorului operațional și tensiunea de referință rămîne constantă.

Tensiunea de referință este asigurată de dioda Zener  $Z$ . Rezistența de polarizare  $R$  a diodei se alege din relația:

$$R = \frac{V_{I_{mt}} - V_{ZT}}{I_{ZT}}$$

unde:

- $V_{I\min}$  este tensiunea minimă a sursei de tensiune  $v_i$ ,
- $V_{ZT}$  — tensiunea de stabilizare a diodei Zener,  $Z$ ,
- $I_{ZT}$  — curentul prin dioda Zener.

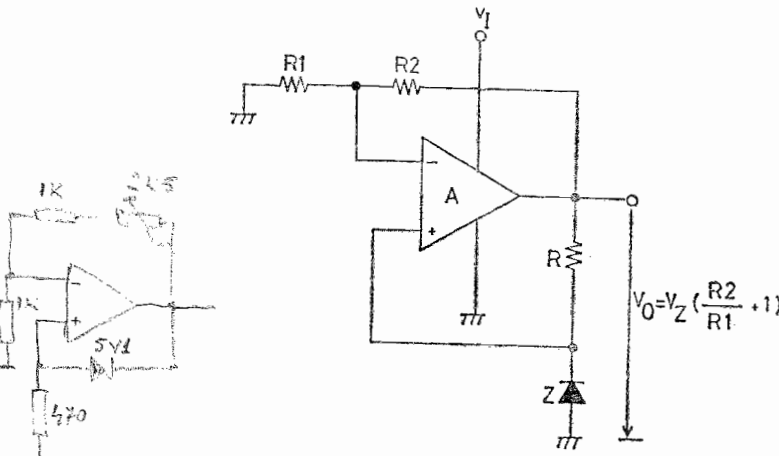


Fig. 2.28. Stabilizator cu reacție cu amplificator operațional pentru curenți mici.

În practică se pot utiliza trei moduri principale de reglare a tensiunii de ieșire a unui stabilizator liniar cu reacție (fig. 2.29).

— primul mod de reglare este ilustrat prin schema din fig. 2.29 a; tensiunea de referință este fixă și tensiunea la ieșire se reglează prin modificarea ciștigului în bucla de reacție  $A=1+R_2/R_1$ . Avantajul schemei este acela că sursa de referință nu debitează decât un curent neglijabil pentru polarizarea amplificatorului operațional. Cu această schemă tensiunea de ieșire nu poate fi reglată sub valoarea tensiunii de referință.

— cu cel de al doilea mod de reglare (fig. 2.29, b), tensiunea de ieșire nu poate depăși niciodată pe cea de referință. În schema se utilizează rezistența  $R_C$  ca rezistență de compensare a influenței temperaturii asupra curentului de polarizare al amplificatorului operațional.

— pentru ilustrarea celui de al treilea mod de reglare, în fig. 2.29 c, se prezintă un montaj care combină avantajele precedentelor. Cu montajul acesta tensiunea de ieșire se reglează atât sub tensiunea de referință cât și peste aceasta.

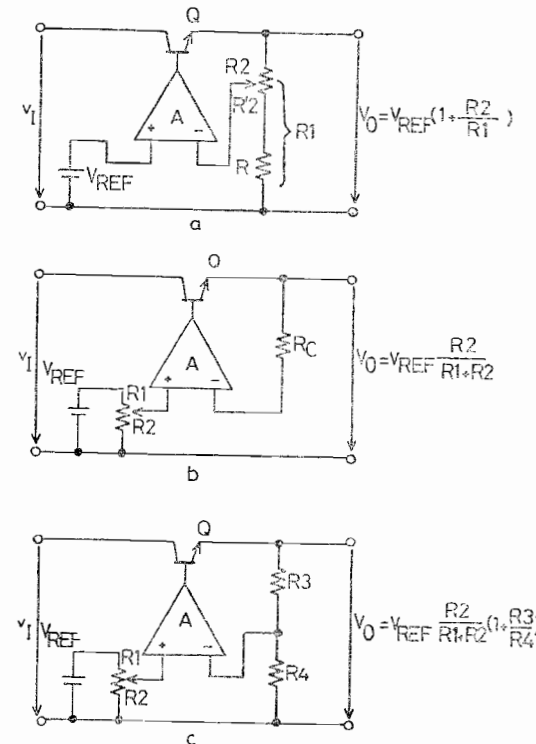


Fig. 2.29. Scheme de principiu pentru reglarea tensiunii la ieșirea stabilizatorului cu amplificator operațional.

În practică, se impune ca o necesitate programarea numerică a tensiunii stabilizatorului. O astfel de posibilitate este prezentată în fig. 2.30.

În prima schemă (fig. 2.30 a) rezistența  $R_2$  se comută prin intermediul unor interrupătoare care pot fi contactele unor relee, sau tranzistoare (bipolare sau unipolare). În cea de a doua schemă (fig. 2.30 b), cîștigul în bucla de reacție rămîne constant și se modifică tensiunea de referință.

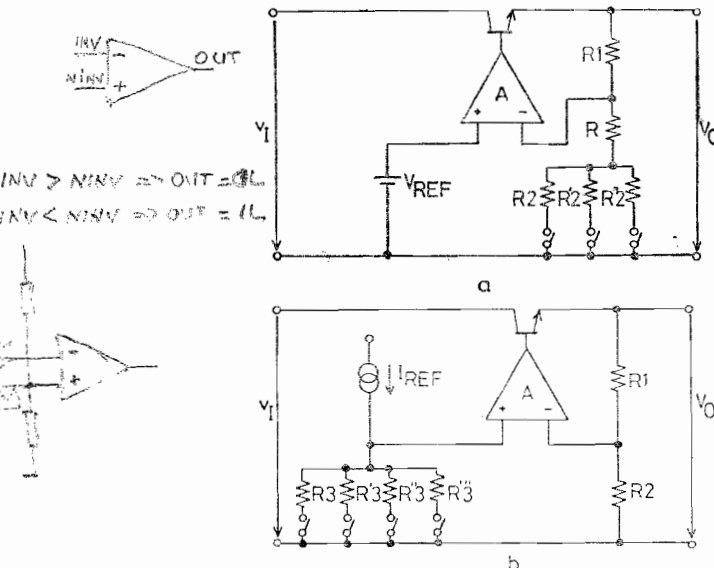


Fig. 2.30. Scheme de programare numerică a tensiunii de ieșire.

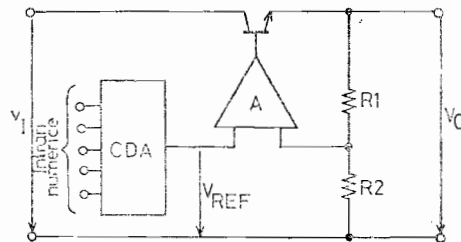
rință. Această tensiune este furnizată prin intermediul curentului constant  $I_{REF}$ , care traversează rezistențele  $R_3$ , comutabile. Această referință variabilă poate fi comutată cu un convertor digital-analog (fig. 2.31).

În continuare vom prezenta cîteva scheme de stabilizatoare de tensiune liniare realizate cu amplificatoare operaționale.

Fig. 2.32 prezintă schema unui stabilizator de 12 V, 100 mA, realizat cu circuitul  $\beta$ A 741, care nu necesită decît cîteva componente adăugate din exterior. Currentul de ieșire al circuitului  $\beta$ A 741 alimentează baza tranzisto-

rului serie Q. Intrarea sa neinversoare este menținută la un potențial constant de 6,2 V prin dioda Zener PL6V2Z. Intrarea inversoare primește semnalul de eroare, proporțional cu tensiunea de ieșire (aproximativ jumătate din mărimea acestuia,  $k=0,5$ ) prin intermediul divizorului re-

Fig. 2.31. Furnizarea tensiunii de referință prin intermediul unui convertor digital-analogic (CDA).



ristiv  $R_1-P-R_2$ . Tensiunea la ieșire poate fi reglată fin prin intermediul potențiometrului P.

In fig. 2.33, se prezintă schema unui stabilizator de tensiune liniar, cu reacție, de 20 V la 1 A, realizat cu amplificatorul operational quadruplu  $\beta$ A 324.

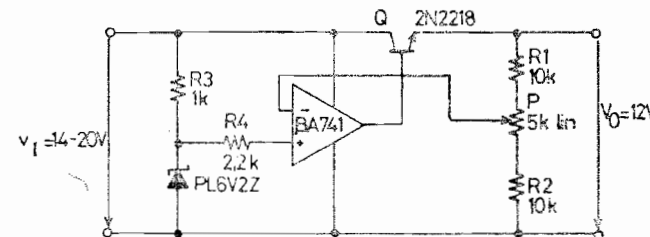


Fig. 2.32. Stabilizator simplu cu reacție realizat cu amplificatorul operational  $\beta$ A 741.

Primul din cele patru operaționale ale circuitului integrat ( $A_1$ ), împreună cu dioda Zener  $Z_1$  montată în buclă lui de reacție, furnizează tensiunea de referință, tensiune ce poate fi reglată prin intermediul potențiometrelor  $R_3$  (reglaj fin) și  $R_4$  (reglaj brut). De la acesta se poate aplica o tensiune variabilă neinversoare a celui de al doilea operational ( $A_2$ ), care are rolul de amplifi-

cator de eroare și comandă elementul regulator serie (darlingtonul  $Q_1$ ,  $Q_2$ ). Cel de al treilea operațional ( $A_3$ ) asigură protecția stabilizatorului la suprasarcini și furnizează un semnal operaționalului  $A_4$  care comandă dioda electro-luminiscentă LED pentru a indica depășirea curentului nominal de ieșire.

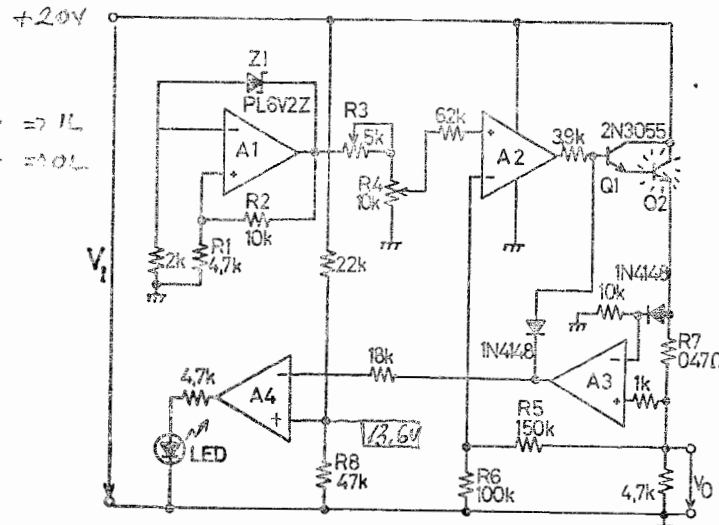


Fig. 2.33. Stabilizator liniar cu reacție realizat cu amplificatorul operațional BA 324.

## 2.2. Stabilizatoare de tensiune în comutație\*

Stabilizatoarele de tensiune de tip liniar prezintă avantajul asigurării unei stabilizări excelente dublată de posibilități remarcabile de filtrare a tensiunii ondulatorii reziduale de intrare.

Aceste avantaje sunt diminuate, prin însăși concepția acestor stabilizatoare, de un randament mediocre. În-

\* Switching regulators (engl.), импульсные стабилизаторы (руssă), régulateurs à découpage (franceză).

tr-adevăr, în stabilizatoarele de tensiune liniare, elementul regulator disipa o putere egală cu produsul  $(V_I - V_O) \cdot I_O$ . Aceasta constituie o limitare severă a sferei lor de utilizare atât în cazul unor diferențe mari între tensiunea de intrare și tensiunea de ieșire cît și la furnizarea unor curenți importanți în sarcină.

Așa este cazul cu sursele de tensiune pentru aparatura de bord destinață vehiculelor, prevăzută a furniza 24 V sau 28 V, în timp ce pentru alimentarea unor circuite integrate TTL se utilizează tensiuni de 5 V la un consum de ordinul amperilor. Rezultă o pierdere importantă de putere, fenomen net dezavantajos chiar și pentru alimentatoarele destinate aparatuirii staționare.

În consecință, este important să se prevadă un mod de reglare adecvat, care să permită obținerea de tensiuni stabilizate cu un randament ridicat. În exemplul menționat, dacă un grup de circuite consumă, să zicem, 6 A la 5 V (deci 30 W), în acest caz sursa de 28 V ar debita o putere de 168 W; rezultă deci 138 W putere disipată în elementul regulator și randamentul ansamblului ar fi de numai 18%.

Acest randament foarte scăzut este neconvenabil din două considerente: 1) trebuie să se prevadă un element regulator de putere mare, bine răcit, pentru a disipa cei 138 W din exemplul menționat și 2) de la sursa de alimentare se va consuma o putere de 168 W, în timp ce în sarcină nu se folosesc efectiv decit 30 W.

Utilizarea stabilizatoarelor în regim de comutare contribuie atât la creșterea puterii disponibile în sarcină, cît și la creșterea eficienței de alimentare; se obțin randamente de peste 90%, chiar și în cazul în care tensiunea stabilizată de la ieșire este de numai o fracțiune din tensiunea de intrare.

În afară de eficiența ridicată a transferului de putere, acest tip de stabilizator prezintă și alte avantaje. Datorită funcționării elementului regulator în regim de comutare, el poate asigura diferențe de tensiune intrare- ieșire mai mari comparativ cu stabilizatoarele de tensiune liniare. Diminuarea pierderilor de putere elimină radiatorale supradimensionate, reducind gabaritul surselor de

alimentare. Față de nivelul tensiunii de intrare, stabilizatoarele în regim de comutare pot furniza la ieșire nivele de tensiune mai mari, mai mici sau de polaritate inversă.

Totuși, trebuie remarcat că sub aspectul unor performanțe electrice, stabilizatoarele în comutare prezintă cîteva dezavantaje. Răspunsul la variații rapide ale curentului de ieșire este mai lent. Tensiunea de ieșire conține o componentă de ondulație cu amplitudinea de ordinul a cîțiva zeci de mV virf la virf și frecvența de zeci de kHz. Complexitatea ridicată a schemelor electrice și necesitatea ecranării radiației de radiofrecvență emisă în timpul funcționării, necesită un efort mai mare de construcție.

Optimizarea performanțelor de stabilizare și a celor de eficiență a transferului de putere se asigură prin conectare în cascadă a unui stabilizator de comutare urmat de unul linear. Costul unui astfel de sistem de alimentare este suficient de ridicat încît să limiteze utilizarea lui numai la cazuri de strictă necesitate.

### 2.2.1. Prințipiu de funcționare

Un stabilizator de tensiune în comutare este alcătuit dintr-un element comutator, un circuit de acumulare și un circuit de comandă și control (fig. 2.34).

Tensiunea continuă nestabilizată,  $v_I$ , furnizată de sursa primară de alimentare este aplicată la intrare; ea se eşantionează într-o succesiune de impulsuri de frecvență ultrasonică și se aplică circuitului acumulator\*, format din condensatorul  $C_0$  și din inductanța  $L$ . Nivelul tensiunii de ieșire se sesizează prin circuitul de control, care furnizează semnalul de corecție necesar circuitului de comandă; acesta modifică una din caracteristicile formei de undă livrate de comutator (durată impuls, frecvență, am-

\* Circuitul acumulator are rolul de a înmagazina energie în timpul în care elementul comutator conduce și de a restitu energie consumatorului cînd elementul comutator este blocat.

plitudine) și compensează astfel variațiile tensiunii de ieșire.

S este elementul comutator (de regulă un tranzistor, în unele cazuri un tiristor), comandat sub acțiunea semnalului furnizat de circuitul de comandă. Acest comuta-

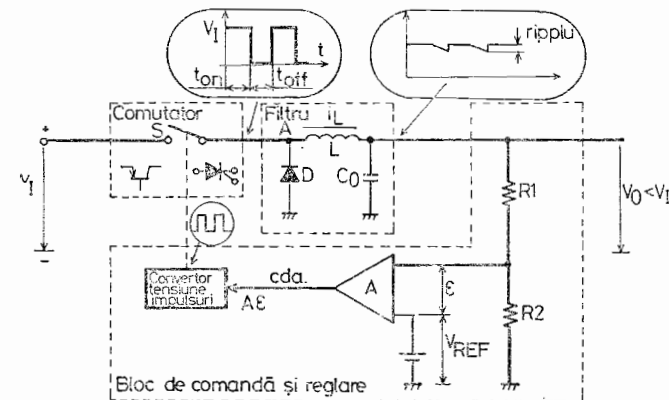


Fig. 2.34. Schemă de principiu pentru explicarea funcționării stabilizatorului de tensiune în comutare.

tor se închide periodic permitînd aplicarea la intrarea filtrului  $LC_0$  a unor impulsuri de tensiune a căror amplitudine este egală cu tensiunea de intrare  $v_I$  și a căror durată,  $t_{on}$  depinde de timpul în care comutatorul este închis. Intervalul în cadrul căruia comutatorul S este deschis este egal cu pauza dintre două impulsuri vecine ( $t_{off}$ ). În principiu, un ciclu de funcționare se derulează în două secvențe. Comutatorul permite în prima secvență încărcarea elementului acumulator cu energie absorbită de la intrare. În a doua secvență se transferă energie din circuitul acumulator pe sarcină. Condensatorul  $C_0$  joacă rolul de rezervor principal de curent, el asigurînd debitarea de curent în sarcină și în intervalul de timp cînd aceasta este izolată de intrare prin comutatorul deschis.

Perioada de succesiune a impulsurilor este:

$$T = t_{on} + t_{off} \quad (2.23)$$

Pentru un filtru  $LC$  ideal, pe care nu există cădere de tensiune continuă, valoarea medie a curentului la ieșirea stabilizatorului este:

$$V_0 = v_I \cdot \frac{t_{on}}{t_{on} + t_{off}} = v_I \frac{t_{on}}{T} \quad (2.24)$$

Din relația de mai sus rezultă că, pentru  $v_I$  și  $T$  constante mărimea tensiunii la ieșirea stabilizatorului  $V_0$  este proporțională cu durata impulsului  $t_{on}$ ; raportul dintre durata impulsului,  $t_{on}$  și perioada lui, se numește factor de umplere:

$$\gamma = t_{on}/T \quad (2.25)$$

Pentru  $T=\text{constant}$ , tensiunea la ieșirea stabilizatorului este:

$$V_0 = \gamma v_I \quad (2.26)$$

unde  $\gamma < 1$ , ceea ce arată că, în cazul schemei menționate, tensiunea la ieșirea stabilizatorului va fi totdeauna mai mică decât tensiunea la intrarea lui; aceste stabilizatoare se numesc stabilizatoare de tip coborîtor\*.

În fig. 2.35 se prezintă schema de principiu a circuitului acumulator. Comutatorul  $S$  se realizează de obicei cu un tranzistor de comutație, astfel că  $V_S = V_{CE}$  și  $i_I = i_C$ ,

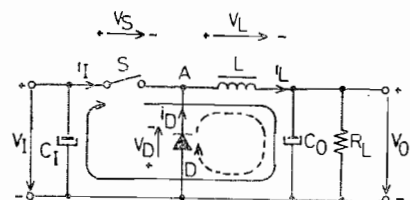


Fig. 2.35. Circuit acumulator tip coborîtor de tensiune.

$V_S$  și  $i_I$  fiind căderea de tensiune pe comutator, respectiv curentul absorbit de la intrare.

Pe durata  $t_{on}$  comutatorul  $S$  este închis (tranzistorul conduce), dioda  $D$  fiind polarizată invers, curentul absor-

\* Step-down voltage regulator (engl.).

bit de la intrare alimentează condensatorul  $C_0$  și sarcina. Totodată se stochează energie în bobina  $L$ . Curgerea curentului prin circuit, în această secvență se indică în figură cu linie continuă.

Pe durată  $t_{off}$ , comutatorul  $S$  este deschis (tranzistorul se blochează), tensiunea pe bobină se inversează, dioda  $D$  se polarizează în direct și energia stocată în bobină se transferă în condensatorul  $C_0$  și sarcină. Curgerea curentului prin circuit pe durata  $t_{off}$  se indică în figură cu linie înteruptă.

Dacă se examinează regimul de lucru care se stabilește după un număr mare de „închideri/deschideri“ ale întrerupătorului  $S$ , atunci tensiunea  $V_L$  ce apare pe bobina  $L$  este egală cu diferența dintre tensiunea  $v_I$  și tensiunea pe condensator,  $V_L = v_I - V_0$ . În acest timp dioda  $D$  este blocată, fiind polarizată în invers. Dacă mărimea instantanea a curentului  $i_L$  este mai mică decât curentul prin sarcină, condensatorul  $C_0$  va furniza un curent suplimentar și  $V_0$  scade ușor. Cind  $i_L$  depășește curentul solicitat la ieșire, diferența de curent încarcă capacitorul, mărand  $V_0$ . Curentul  $i_L$  va crește pînă cînd comutatorul  $S$  se deschide. În acest moment, deoarece curentul prin bobina  $L$  nu poate să se modifice instantaneu, potențialul punctului  $A$  coboară la  $-V_D$ , astfel ca dioda  $D$  intră în conducție, menținînd în continuare curentul prin inducță; dioda  $D$  permite trecerea curentului prin sarcină pe durata în care întrerupătorul  $S$  este deschis. Deoarece la blocare prin comutatorul  $S$  nu mai trece curent energia acumulată în inducță va avea tendința de a se elibera sub formă unei supratensiuni de sens invers, este nevoie ca acestei energii să i se permită să se elibereze prin intermediul unei diode montată în sens invers la intrarea filtrului. Din acest motiv această diodă se numește diodă de recuperare\* cu rolul de a recupera energia acumulată în bobină. Curentul prin bobină scade continuu spre zero pînă cînd întrerupătorul  $S$  se închide din nou și ciclul se reia. Circuitele electronice care completează schema stabilizatorului în comutație controlează timpii

\* Free wheeling diode, în engleză.

$t_{on}$  și  $t_{off}$  ai intrerupătorului  $S$  astfel încit curentul mediu prin inductanță să fie egal cu curentul prin sarcină, curentul prin  $C_0$  să fie nul și  $V_0$  să rămână constant.

Curentul prin bobină,  $i_L$ , variază între două limite  $I_{LM}$  și  $I_{Lm}$  (fig. 2.36). Curentul furnizat la ieșire  $I_0$  rezultă din forma de undă a curentului prin bobină și este egal cu  $(I_{LM} + I_{Lm})/2$ .

După valorile pe care le ia în timpul funcționării curentul  $i_L$ , se disting două moduri de lucru:

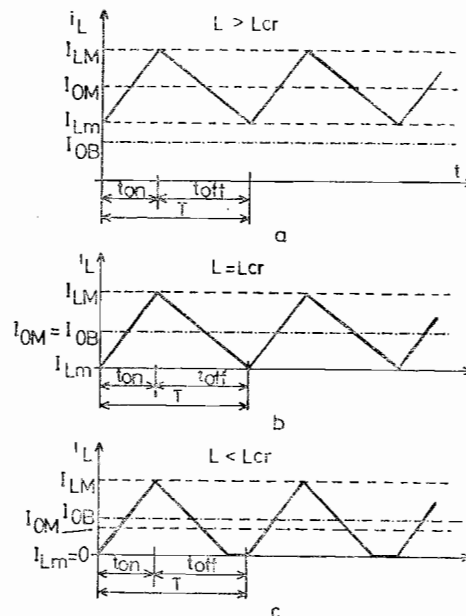


Fig. 2.36. Forme de undă ale tensiunii și curentului prin circuit.

— modul de lucru cu funcționare neîntreruptă (permanentă), cind curentul  $i_L$  nu atinge niciodată valoarea zero,

— modul de lucru cu funcționare intermitentă, cind curentul  $i_L$  scade la zero într-un timp mai scurt sau egal cu  $t_{off}$ .

Modul de lucru cu funcționare permanentă este avantajos deoarece minimizează efectul variației curentului prin sarcină asupra tensiunii de ieșire. Acest regim de lucru se obține în momentul în care mărimea inductanței se alege mai mare decât valoarea critică ( $L_{cr}$ ) pentru care  $I_{Lm}=0$  în momentul anterior închiderii intrerupătorului  $S$ . În fig. 2.36 se prezintă formele de undă ale curentului prin circuitul din fig. 2.35.

Regimul de lucru intermitent este neindicat deoarece înrăutățește atenuarea pulsărilor (filtrarea) la ieșirea stabilizatorului.

Schela funcțională a circuitului de putere al stabilizatorului în comutație de tip coborîtor, conține patru elemente de bază: comutatorul  $S$ , inductanță  $L$ , condensatorul  $C_0$  și dioda  $D$ . Cu aceleași componente se poate sintetiza un circuit de putere pentru un stabilizator de tensiune în comutație, în care mărimea tensiunii la ieșire  $V_0$  să fie mai mare decât tensiunea de intrare  $V_I$ ; acest circuit, de tip stabilizator ridicător de tensiune\*, se dă în fig. 2.37.

În acest caz la închiderea intrerupătorului  $S$ , tensiunea de intrare  $v_I$  se aplică pe inductanță  $L$ , prin care în-

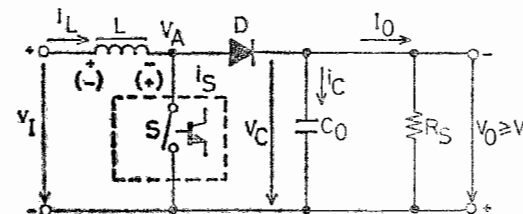


Fig. 2.37. Schema de principiu a circuitului de putere al unui stabilizator în comutație ridicător de tensiune.

cepe să treacă un curent  $i_L$ , crescător liniar, deoarece constanța de timp a circuitului  $\tau=L/R_L$  este mult mai mare decât timpul în care intrerupătorul  $S$  se menține închis. În acest interval de timp dioda  $D$  nu conduce, deoarece

\* Step-up switching regulator (engl.).

— Stabilizatoare de tensiune

la bornele ei se aplică tensiunea (inversă)  $V_C$ , a condensatorului  $C_0$ , încărcat ca rezultat al unui număr mare de comutări anterioare ale intrerupătorului  $S$ . Tensiunea pe rezistența de sarcină  $R_S$  în intervalul  $t_{on}$  este egală cu tensiunea pe condensatorul  $C_0$ ; tensiunea electromotoare care apare pe bobina  $L$  în acest interval de timp este egală cu tensiunea de intrare și are polaritatea inversă acesteia (polaritate indicată pe schemă fără paranteze).

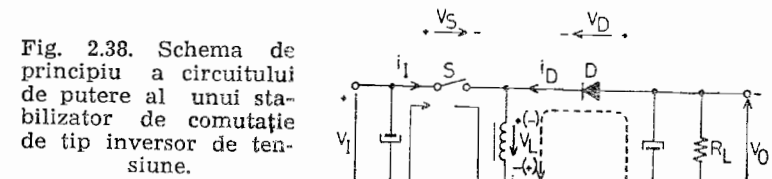
La deschiderea intrerupătorului  $S$ , curentul din bobina  $L$  nu poate să-și schimbe sensul instantaneu, în timp ce tensiunea la bornele bobinei își schimbă sensul (în sensul marcat pe figură în paranteze); această tensiune (de autoinducție) se inseriază cu tensiunea de intrare. Din acest moment dioda  $D$  va conduce, (deoarece la bornele ei se aplică suma dintre tensiunea de intrare  $v_I$  și tensiunea obținută pe sarcină este mai mare decât tensiunea  $V_L$ ) și va alimenta condensatorul  $C_0$ . Ca atare tensiunea obținută pe sarcină este mai mare decât tensiunea de intrare, cu o mărime egală cu tensiunea de autoinducție  $V_L$  pe bobina  $L$ .

Bobina  $L$  în acest tip de stabilizator nu contribuie la reducerea tensiunii de ondulație la ieșire (filtrare) ci este componenta în care se înmagazinează energie magnetică pe durata  $t_{on}$ , de deschidere a intrerupătorului  $S$ . Această energie, pe durata  $t_{off}$  se însumează cu energia sursei de alimentare și se transmite sarcinii. Din acest motiv prezența condensatorului  $C_0$  în schema stabilizatorului este necesară din punct de vedere principal, deoarece el este singura componentă din schemă care asigură menținerea tensiunii constante pe sarcină în intervalul  $t_{on}$ . Mărimea tensiunii la ieșirea stabilizatorului este legată de tensiunea de intrare,  $v_I$  prin relația:

$$V_0 = v_I \frac{1}{1-\gamma} \quad (2.27)$$

Din această relație rezultă că tensiunea la ieșirea stabilizatorului radicător este totdeauna mai mare decât tensiunea la intrarea lui; această mărime este cu atit mai mare față de tensiunea de intrare, cu cît este mai mare valoarea coeficientului de umplere  $\gamma$ .

Cu ajutorul acelorași componente,  $L$ ,  $C$ ,  $D$ ,  $S$ , se poate realiza un circuit de putere pentru un stabilizator de tensiune în comutare, a cărui tensiune la ieșire  $V_0$ , să aibă polaritatea inversă față de polaritatea tensiunii de intrare. Acesta se numește stabilizator de tensiune inversor\* și are schema de principiu dată în fig. 2.38.



Pentru explicarea funcționării se consideră circuitul după suficient de multe cicluri de comutare ale intrerupătorului  $S$ , astfel încât schema funcționează în regim stationar. La închiderea intrerupătorului  $S$ , pe bobina  $L$  se aplică tensiunea  $v_I$ , prin care trece curentul  $i_L$ , liniar crescător. Polaritatea tensiunii pe bobină este menționată pe figură fără paranteze. În acest timp dioda  $D$  este blocată, deoarece pe ea se aplică o tensiune inversă egală cu  $v_I$ . Pe durata  $t_{on}$ , cind tranzistorul conduce (comutatorul  $S$  inchis) energia se stochează în bobină. Curgerea curentului în circuit s-a indicat cu linie continuă.

Pe durata  $t_{off}$ , cind tranzistorul se blochează (comutatorul  $S$  deschis) tensiunea pe bobină se inversează (semnul marcat pe figură cu paranteze), dioda  $D$  se polarizează direct și energia stocată în bobină se transferă, pe capacitorul  $C_0$  și pe sarcină. Curgerea curentului prin circuit, în această secvență s-a indicat cu linie intreruptă.

Mărimea tensiunii la ieșirea stabilizatorului, față de tensiunea la intrarea sa este dată de relația:

$$V_0 = v_I \frac{\gamma}{1-\gamma} \quad (2.28)$$

Din relația de mai sus rezultă că tensiunea la ieșirea stabilizatorului în comutare de tip inversor, poate fi, în

\* Inverter switching regulator (engl.).

valoare absolută, mai mare sau mai mică, față de tensiunea de intrare (funcție de mărimea factorului de umplere  $\gamma$ ) și are polaritatea inversă față de aceasta.

### 2.2.2. Elementul regulator

În practică se folosesc două categorii de stabilizatoare în comutație: 1) cu element regulator (comutatorul  $S$ ), tranzistor, utilizate pentru puteri mici și medii și 2) cu element regulator-tiristor, utilizate pentru puteri importante.

Comparativ cu stabilizatoarele în regim liniar, stabilizatoarele de tensiune în comutație se caracterizează prin aceea că elementul lor regulator funcționează în regim de impulsuri, la o frecvență relativ ridicată (de la 10 kHz la peste 100 kHz).

Funcționarea tranzistorului bipolar în regim de comutație este ilustrată în fig. 2.39. Se presupune că pe baza tranzistorului  $Q$ , conectat în circuitul sursei de alimentare în serie cu rezistența de sarcină,  $R_S$ , se aplică impulsuri de curent de comandă, de formă dreptunghiulară (fig. 2.39, b), cu amplitudinea  $I_B$ . În intervalul  $t_1 - t_2$ , cind curentul de bază este nul, punctul de funcționare al tranzistorului este situat pe caracteristica  $V_{CE}$ — $I_C$  în 1 (fig. 2.39 c); în acest interval de timp, tranzistorul este blocat, curentul prin el este extrem de mic și aproape întreaga tensiune de la intrare,  $v_I$ , se aplică jonctiunii colector-emitor.

În intervalul  $t_2 - t_3$ , pe baza tranzistorului se aplică un impuls de curent cu amplitudinea  $I_B \geq I_{B4}$ ; în acest interval punctul de funcționare ocupă poziția 2 pe caracteristica de ieșire și tranzistorul se aduce în starea saturată; această stare se caracterizează prin aceea că, curentul de colector al tranzistorului se limitează de rezistența de sarcină, și, deoarece cădereea de tensiune pe tranzistor este (foarte) mică, aproape întreaga tensiune de intrare se aplică pe această rezistență.

În regimul de blocare și în cel de saturare, pe tranzistor se disipa o putere neînsemnată, deoarece într-un caz curentul de colector este extrem de mic, iar în celă-

lalt caz, cădereea de tensiune pe tranzistor este foarte mică.

Pe durata comutării tranzistorului, punctul de funcționare trece din regiunea de blocare, în regiunea de saturare și invers, parcurgând regiunea activă. La funcționa-

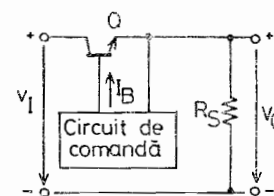
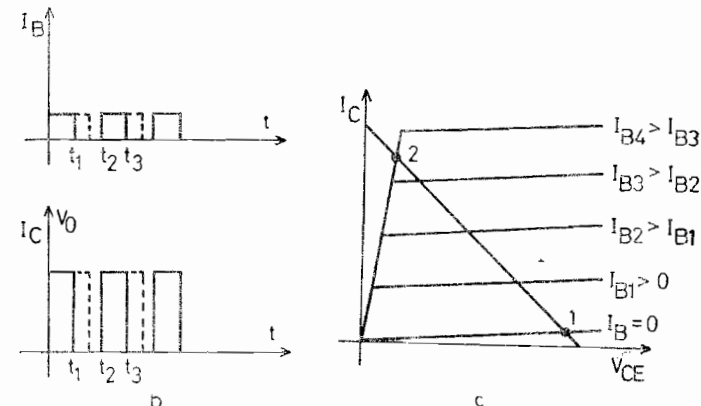


Fig. 2.39. Funcționarea tranzistorului bipolar în comutație:  
a — schemă de principiu;  
b — dependența  $i_R(t)$ ;  $V_0(t)$ ;  
c — caracteristica de ieșire.



rea tranzistorului în regim de comutare, cind punctul de funcționare se găsește în regiunea activă a caracteristicei, pe tranzistor de asemenea se disipa o putere care depinde de timpul de comutare și de amplitudinea impulsurilor de comandă. Puterea disipată pe tranzistor în regim de comutație, este de cîteva ori mai mică decit la funcționarea sa în regim continuu pe sarcină, la un același consum de putere.

Tensiunea de ieșire  $V_0$  în schema din fig. 2.39 a, va avea forma de tren de impulsuri dreptunghiulare cu amplitudinea aproximativ egală cu tensiunea de intrare.

Odată cu modificarea lărgimii impulsurilor de comandă, se modifică și durata impulsurilor la ieșire (așa cum se arată cu linie întreruptă în fig. 2.39 b) ceea ce conduce la modificarea valorii medii a tensiunii în sarcină.

Tiristoarele de asemenea pot fi utilizate ca elemente regulațoare în stabilizatoarele de tensiune de comutație de puteri mari; ele prezintă însă un inconvenient față de tranzistoare deoarece odată aduse în conducție este dificil să li se întrerupă curentul\*. Pentru înlăturarea acestui inconvenient s-au imaginat o serie de circuite. Cel mai frecvent utilizat în aceste aplicații este circuitul Morgan, reprezentat în fig. 2.40.

In această schemă tiristorul este șuntat de un circuit oscilant LC, care conține bobina  $n_1$  și condensatorul  $C$ . Bobinajul  $n_1 + n_2$  se realizează pe un miez magnetic toroidal, care constituie un autotransformator saturat.

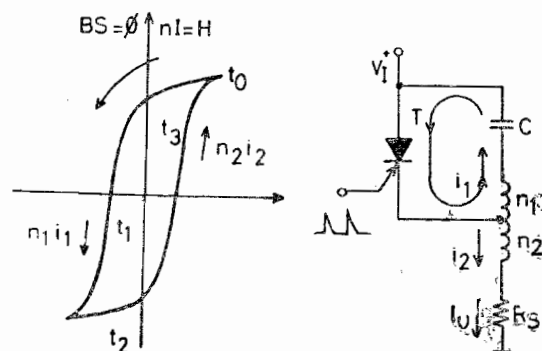


Fig. 2.40. Schema de principiu a circuitului Morgan.

Pentru explicarea funcționării montajului, se presupune momentul în care tiristorul este blocat la sfîrșitul unui ciclu. Condensatorul  $C$  este încărcat la o tensiune practic egală cu tensiunea de alimentare  $V_I$  și circuitul

\* Excepție fac tiristoarele care se blochează pe poartă, de tipul GTO (gate turn-off, engl.).

magnetic al torului este saturat pozitiv (punctul  $t_0$  pe caracteristica sa de histerezis). Dacă acum pe poarta tiristorului se aplică un impuls de comandă, acesta devenind conductor, condensatorul se descarcă prin bobina  $n_1$  a torului, având ca efect desaturarea circuitului magnetic. Dacă bobinajele  $n_1, n_2$  se realizează de așa manieră încît amper-spirele ( $n_1 i_1$ ) în  $n_1$ , prin care se descarcă  $C$ , să fie preponderente față de numărul de amper-spire induși prin curentul de încărcare prin bobinajul  $n_2$  (deci  $n_2 i_2$ ), desărcarea condensatorului va produce desaturarea în sens contrar, negativ, a circuitului magnetic. În acest moment ( $t_2$ ) impedanța prezentată de tor este foarte mică, iar curentul de desărcare al lui  $C$  va scădea în continuare, astfel încât produsul amper-spire în  $n_2$  devine preponderent. Noua desaturare a circuitului magnetic și curentul  $i_2$  ce traversează  $n_2$  care joacă rol de primar al autotransformatorului, va genera o tensiune negativă la bornele lui  $n_1$ , tensiune care, aplicată prin intermediul condensatorului  $C$  la bornele tiristorului, îl va bloca. Aceasta provoacă întreruperea lui  $i_2$ , și condensatorul se va reîncărca pozitiv prin rezistența de sarcină  $R_S$ , ceea ce va avea ca efect aducerea circuitului magnetic al torului în starea de saturare pozitivă, unde a fost găsit cînd am început explicarea funcționării schemei. Acum, la un nou impuls de comandă aplicat pe poarta tiristorului, ciclul se reia. Frecvența la care funcționează un circuit în comutație de tip Morgan este de  $1 \div 5$  kHz.

### 2.2.3. Clasificare

După modul de conectare a elementului regulator, stabilizatoarele în comutație se împart în stabilizatoare de tip serie (fig. 2.35, 2.38) și în stabilizatoare de tip paralel (fig. 2.37).

După relația în care se află nivelul tensiunii de ieșire cu cel de intrare, stabilizatoarele în comutație se împart în:

- stabilizatoare coborîtoare de tensiune;
- stabilizatoare ridicătoare de tensiune;
- stabilizatoare inversoare de tensiune.

În funcție de modul de reglare a tensiunii de ieșire, stabilizatoarele în comutație se clasifică în:

- stabilizatoare cu modulară în durată a impulsurilor\*;
- stabilizatoare cu modulară în frecvență a impulsurilor;
- stabilizatoare autooscilante.

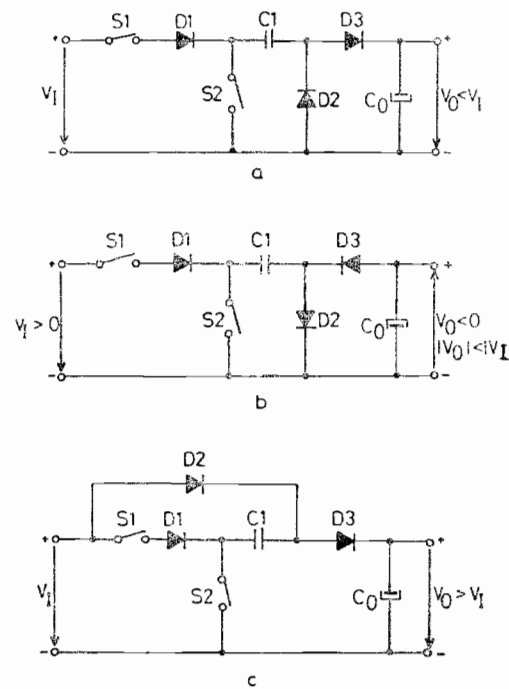


Fig. 2.41. Convertor CC-CC cu filtru RC.

După modul de realizare a circuitului de filtrare, se disting stabilizatoare cu filtru RC și stabilizatoare cu filtru LC.

În cazul stabilizatoarelor cu filtru RC se utilizează două elemente de comutație aşa cum am prezentat în fig. 2.41.

\* Pulse width Modulation (engl.).

Schéma din fig. 2.41 a, deși similară cu schéma unui dublu de tensiune, nu furnizează la ieșire o tensiune dublă față de tensiunea de intrare. Cind comutatorul  $S_1$  se închide, cele două condensatoare se încarcă în serie, la bornele fiecărui dintre ele revenind jumătate din tensiunea de la intrare. Cind  $S_1$  se deschide și  $S_2$  se închide, cele două condensatoare se descarcă (pe sarcină) în paralel. Tensiunea la ieșire este deci inferioară tensiunii de la intrare; este deci un stabilizator de tip coborîtor.

Schéma din fig. 2.41 b, se obține din precedenta prin inversarea sensurilor diodelor; ea funcționează în același mod, cu precedenta, însă tensiunea obținută la ieșire este de polaritate inversă față de tensiunea de la intrare.

În schéma din fig. 2.41 c, tensiunea de intrare se adaugă prin intermediul diodei  $D_2$ , la semitensiunea la care erau încărcate condensatoarele  $C_1$  și  $C_0$  după deschiderea intrerupătorului  $S_1$ . În acest caz tensiunea la ieșire este mai mare decât tensiunea de intrare (stabilizator ridicător de tensiune).

În toate cele trei montaje, dioda  $D_1$ , montată în serie cu comutatorul  $S_1$  (de regulă un tranzistor de comutație) este necesară pentru a evita ca pe jonctiunea bază-emitor a tranzistorului să se aplice tensiuni inverse periculoase.

Stabilizatoarele de tensiune cu filtru RC au utilizări limitate datorită nivelului ridicat al tensiunii de oscilație de ieșire și unui randament energetic coborît; practic randamentul acestor stabilizatoare este același cu randamentul stabilizatoarelor în regim liniar. Principalele lui calități sunt: 1) elementul regulator funcționând în comutație disipa o putere mică, fapt care face ca să utilizeze radiatoare de dimensiuni mici chiar și pentru curenti mari la ieșire și 2) prin folosirea condensatoarelor se evită inductanțele dificil de calculat și realizat.

## 2.2.4. Relații de calcul

Se consideră schéma de principiu din fig. 2.35. Comutatorul  $S$  pe care-l considerăm perfect pentru simplificarea calculelor, se închide și se deschide, în funcție de co-

manda dată de blocul de comandă și reglare, în raportul  $t_{on}/t_{off}$ .

Se presupun toate componentele montajului ideale, deci inductanța  $L$  prezintă o rezistență neglijabilă iar condensatorul  $C$  și dioda  $D$  au rezistențe de scurgere infinite.

Cînd comutatorul  $S$  se închide, pe inductanța  $L$  se aplică o tensiune egală cu  $v_I - V_0$ .

Deoarece capacitatea condensatorului este de valoare mare, într-o primă aproximatie se poate considera că tensiunea  $V_0$  este constantă. Currentul care se stabilește în bobina  $L$  crește liniar conform relației:

$$i_L = \frac{v_I - V_0}{L} t \quad (2.29)$$

Indată ce acest curent depășește valoarea curentului  $I_0$  furnizat de stabilizator în sarcină, condensatorul  $C_0$  începe să se încarce și tensiunea  $V_0$  la bornele lui are tendință să crească; acest fenomen are ca efect comanda de deschidere a comutatorului  $S$  prin bucla de reacție.

În momentul în care comutatorul  $S$  se deschide curentul prin  $L$  are valoarea maximă  $i_{Max}$  și inductanța a acumulat energia

$$W = \frac{1}{2} L i_{Max}^2 \quad (2.30)$$

Este necesar ca această energie înmagazinată în inductanță  $L$  să se recupereze; în absența diodei  $D$  în punctul  $A$  va apărea o supratensiune. Existența diodei  $D$  face ca prin bobina  $L$  curentul să treacă în continuare și potențialul punctului  $A$ , care era egal cu  $V_I$  cînd comutatorul  $S$  era închis, scade rapid. Imediat ce acest potențial scade sub zero, dioda  $D$  intră în conducție, tensiunea la bornele lui  $L$  este egală cu  $V_0$  și curentul prin bobină scade după relația:

$$i_L = i_{Max} - \frac{V_0}{L} t \quad (2.31)$$

Cînd mărimea curentului  $i_L$  scade sub intensitatea curentului prin sarcina  $I_0$ , condensatorul  $C_0$  va furniza diferență necesară; prin aceasta rezultă o reducere ușoară

a tensiunii la bornele lui, ceea ce face ca să se transmită prin bucla de reacție „ordinul“ de închidere a comutatorului  $S$ , ciclul reluindu-se.

Amplitudinea tensiunii de ieșire este determinată de raportul timpilor de conducție și blocare. În funcție de mărimea curentului de ieșire  $I_0$ , pot fi luate în considerație următoarele două cazuri:

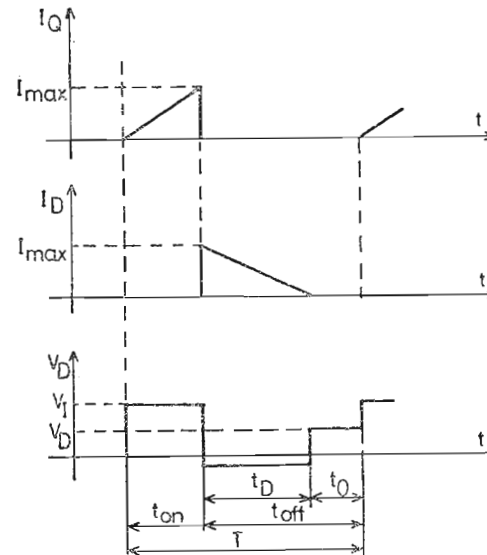


Fig. 2.42. Forme de undă pentru cazul în care  $L$  se descarcă complet între două comutații susținute ale tranzistorului. de comutație:

$t_{on}$  — durată de conducție a tranzistorului,  
 $t_{off}$  — durată de blocare a tranzistorului.

1) Inductanța este complet descărcată între două perioade de închidere a comutatorului  $S$ . Această situație se întâlnește în cazul în care curentul  $I_0$  este mic. Formele de undă ale tensiunilor și curentilor în acest caz sunt date în fig. 2.42, unde:

$I_Q$  — reprezintă curentul de colector prin tranzistorul de comutare (considerăm de aici înainte în locul comutatorului  $S$ , un tranzistor de comutare),

$I_D$  — curentul prin dioda  $D$ ,

Din figură 2.35 rezultă că:

$$V_{A\ med} = V_{C_0} = V_0 \quad (2.32)$$

Tensiunea  $V_A$  în punctul  $A$  evoluează astfel:

— cînd tranzistorul conduce,  $V_A = V_I$ ,

— în perioada în care inductanța  $L$  se descarcă, dioda  $D$  fiind conductoare, tensiunea  $V_A$  este egală cu tensiunea la bornele diodei,  $V_A = -V_D$ ,

— cînd inductanța este descărcată, dar tranzistorul este încă blocat, bobina  $L$  nefiind parcursă de curent,  $V_A = V_0$ .

Variatia curentului de colector al tranzistorului, în perioada cînd acesta conduce, este de forma:

$$\frac{\Delta i}{\Delta t} = \frac{V_I - V_0}{L} \quad (2.33)$$

La fel, neglijînd  $V_D$ , care față de  $V_0$  este foarte mic, scăderea curentului în perioada cînd tranzistorul este blocat este de forma:

$$-\frac{\Delta i}{\Delta t} = \frac{V_0}{L} \quad (2.34)$$

În acest mod de lucru al montajului, poate exista un interval de timp  $t_0$  în care prin inductanță nu trece curent, interval în care atînă tranzistorul cît și dioda nu conduc. Aceasta se întimplă atunci cînd timpul de blocare a tranzistorului  $t_{off}$  este:

$$t_{off} > \frac{V_I - V_0}{V_0} t_{on} \quad (2.35)$$

Curentul maxim care traversează tranzistorul de comutare este egal cu curentul maxim prin inductanță:

$$I_{Q\ Max} = i_{L\ Max} = \frac{V_I - V_0}{L} t_{on} \quad (2.36)$$

Curentul maxim prin diodă este:

$$I_{D\ Max} = i_L = \frac{V_0}{L} t_D \quad (2.37)$$

Timpul de conducție al diodei  $t_D$  este mai scurt decît timpul total de blocare al tranzistorului,  $t_{off}$ , așa cum rezultă și din fig. 2.42, dacă:

$$\frac{L i_{L\ Max}}{V_0} < t_{off} \quad (2.38)$$

sau:

$$\frac{V_I - V_0}{V_0} t_{on} < t_{off} \quad (2.39)$$

relație din care rezultă că raportul între timpul de conducție al diodei și cel de conducție al tranzistorului, va fi cu atînă mai mic, cu cît diferența  $V_I - V_0$  va fi mai mică.

2. Inductanța nu este descărcată complet între două perioade de conducție ale tranzistorului. Formele de undă ale tensiunii și curenților pentru această situație sunt reprezentate în fig. 2.43. În acest caz nu există timpul mort  $t_0$  (fig. 2.42), timpul de conducție al diodei  $D$  întinzîndu-se pe toată perioada de blocare a tranzistorului  $t_{off}$ .

Ca și în cazul precedent:

$$V_{A\ med} = V_0 \quad (2.40)$$

Deoarece inductanța nu este complet descărcată, curentul de colector al tranzistorului în momentul intrării lui în conducție, nu este nul ci are o anumită valoare ( $I_0$ , în fig. 2.43).

În timpul conducției, curentul prin tranzistor este:

$$i_{Max} - i_0 = \frac{V_I - V_0}{L} t_{on} \quad (2.41)$$

iar prin diodă:

$$i_{Max} - i_0 = \frac{V_0}{L} t_D \quad (2.42)$$

Din aceste două relații rezultă:

$$\frac{t_{off}}{t_{on}} = \frac{V_I - V_0}{V_0} \quad (2.43)$$

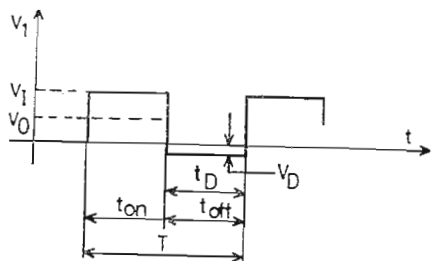
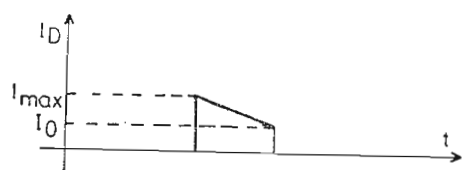


Fig. 2.43. Forme de undă pentru cazul în care  $L$  nu este descărcat complet între două comutații succesive ale tranzistorului de comutație.

Curentul mediu prin tranzistor în timpul cînd acesta conduce este egal cu:

$$i_{Q\text{ med}} = \frac{i_{Max} - i_0}{2} \quad (2.44)$$

Cantitatea de electricitate care circulă în perioada de conducție a tranzistorului este:

$$Q_Q = i_{T\text{ med}} \cdot t_{on} \quad (2.45)$$

sau:

$$Q_Q = \frac{t_{Max} - t_0}{2} t_{on}$$

Cantitatea de electricitate care trece prin diodă în perioada în care aceasta conduce este:

$$Q_D = I_{D\text{ med}} \cdot t_s \quad (2.46)$$

$$Q_D = \frac{i_{Max} - i_0}{2} t_{off}$$

Cantitatea totală de electricitate este:

$$Q = Q_Q + Q_D \quad (2.47)$$

$$Q = \frac{t_{Max} + t_0}{2} (t_{on} + t_{off})$$

$$Q = \frac{t_{Max} + t_0}{2} \cdot T$$

Deoarece:

$$T = \frac{1}{f} = t_{on} + t_{off} \quad (2.48)$$

Cantitatea de electricitate totală este:

$$Q = \frac{t_{Max} + t_0}{2f} \quad (2.49)$$

$f$  fiind frecvența de comutație a circuitului.

Valoarea medie a curentului la ieșire este:

$$I_0 = \frac{Q}{T} = \frac{t_{Max} + t_0}{2} \quad (2.50)$$

Din relația 2.41, în care se introduce mărimea  $i_0$

$$i_0 = 2 I_0 - i_{Max} \quad (2.51)$$

se deduce mărimea inductanței bobinei  $L$ :

$$i_{Max} - (2 I_0 - i_{Max}) = \frac{V_I - V_0}{L} t_{on} \quad (2.52)$$

sau

$$L = \frac{V_I - V_0}{2(I_{Max} - I_0)} \cdot t_{on} \quad (2.53)$$

În continuare se determină mărimea capacității  $C_0$ . Pentru aceasta se admite că la început  $i_0=0$ , ceea ce înseamnă că intensitatea curentului prin tranzistor crește de la zero, pentru ca în timpul  $t_{on}$  să atingă valoarea  $I_{Max}$ . Aceasta corespunde la o variație de curent  $\Delta I$  destul de mare, ceea ce reprezintă cazul cel mai defavorabil în funcționarea circuitului de acumulare al stabilizatorului de tensiune în comutație.

După cum am văzut (relația 2.36) valoarea maximă a curentului este egală cu:

$$i_{Max} = \frac{V_I - V_0}{L} t_{on}$$

Deoarece acest curent variază în timp valoarea sa medie este:

$$I_{med} = \frac{1}{2} \cdot \frac{V_I - V_0}{L} t_{on} \quad (2.54)$$

Pe de altă parte, curentul mediu prin condensator fiind de forma:

$$I = C \frac{\Delta V}{\Delta t} \quad (2.55)$$

se poate scrie:

$$C = \left( \frac{V_I - V_0}{2L} t_{on} \right) \left( \frac{t_{on}}{\Delta V_0} \right) \quad (2.56)$$

unde  $\Delta V_0$  este variația admisă a tensiunii la ieșire, adică ondulația acestei tensiuni.

$$\text{Deoarece: } t_{on} = \frac{V_0}{V_{if}} \quad (2.57)$$

$$\text{rezultă că: } C = \frac{V_I - V_0}{2L\Delta V_0} \left( \frac{V_0}{V_{if}} \right)^2 \quad (2.58)$$

În tabelul 2.2 se prezintă principalele formule pentru calculul caracteristicilor circuitului acumulator.

Tabelul 2.2  
Formulele de proiectare pentru convertor de tensiune — c.c. — c.c. realizate cu bobine

Parametru	Convertor ridicător de tensiune	Convertor coborător de tensiune	Convertor inversor de tensiune
$I_{PK}$	$2I_{0M} \frac{V_0 + V_D - V_S}{V_I - V_S}$	$2I_{0M}$	$2I_{0M} \frac{V_I +  V_0  + V_D - V_S}{V_I - V_S}$
$t_{on}$	$\frac{I_{PK}L}{V_I - V_S}$	$\frac{I_{PK}L}{V_I - V_S - V_D}$	$\frac{I_{PK}L}{V_I - V_S}$
$t_{off}$	$\frac{I_{PK}L}{V_0 + V_D - V_I}$	$\frac{I_{PK}L}{V_0 + V_D}$	$\frac{ V_0  + V_D}{ V_0  + V_D}$
$t_{on}$	$\frac{V_0 + V_D - V_I}{V_I - V_S}$	$\frac{V_0 + V_D}{V_I \cdot V_S - V_0}$	$\frac{ V_0  + V_D}{V_I - V_S}$
$t_{off}$	$\frac{V_0 + V_D - V_I}{I_{PK}}$	$\frac{V_0 + V_D}{I_{PK}} t_{off}$	$\frac{ V_0  + V_D}{I_{PK}} t_{off}$
$C_0$	$\frac{(I_{PK} - I_0)^2 t_{off}}{2I_{PK}V_r}$	$\frac{ I_{PK}(t_{on} + t_{off})}{8V_r}$	$\frac{(I_{PK} - I_0)^2 t_{off}}{2I_{PK}V_r}$
$\bar{i}_I$ (la $i_0 = I_{0M}$ )	$\frac{I_{PK}}{2}$	$\frac{I_{PK}}{2} \cdot \frac{V_0 + V_D}{V_I - V_S + V_D}$	$\frac{I_{PK}}{2} \cdot \frac{ V_0  + V_D}{V_I +  V_0  + V_D - V_S}$
$\eta$	$\frac{V_I - V_S}{V_I} \cdot \frac{V_0}{V_0 + V_D - V_S}$	$\frac{V_I - V_S + V_D}{V_I} \cdot \frac{V_0}{V_0 + V_D}$	$\frac{V_I - V_S}{V_I} \cdot \frac{ V_0 }{ V_0  + V_D}$
$V_r$	$\frac{(I_{PK} - I_0)^2 \cdot t_{off}}{2I_{PK}} \cdot \frac{t_{off}}{C_0}$	$\frac{ I_{PK}(t_{on} + t_{off})}{8C_0}$	$\frac{(I_{PK} - I_0)^2 \cdot t_{off}}{2I_{PK}} \cdot \frac{t_{off}}{C_0}$

$I_{PK}=I_{LM}$  — curent maxim prin bobină;  $t_{on}$  — durată deschiderii tranzistorului comutator;  $t_{off}$  — durată blocării tranzistorului comutator;  $L$  — inductanță bobinei;  $C_0$  — capacitatea condensatorului de ieșire;  $\bar{i}_I$  — curent mediu de intrare;  $\eta$  — eficiența transferului de putere;  $V_r$  — valoarea virf la virf a tensiunii de ondulație la ieșire;  $I_{0M}$  — curent maxim de ieșire (relații deduse în ipoteza  $I_{0M}=I_{0B}$ ).

Notă:

Relațiile sunt valabile pentru  $I_{0M} = I_{0B}$  (cazul limită al funcționării neîntrerupte a curentului prin bobină).

## 2.2.5. Alegerea diodei D

Este cunoscut faptul că la comutația unei diode din starea de conducție directă în starea de blocare există o (scurtă) perioadă de timp în care dioda nu este capabilă să blocheze tensiunea inversă aplicată. În acest interval de timp dioda se comportă ca un scurtcircuit. Apoi urmează un regim tranzistoriu prin care se atinge valoarea staționară a impedanței mari de blocare. Timpul necesar ca toți purtătorii de sarcină minoritari acumulați în vecinătatea jonctiunii la polarizarea directă să fie eliberați se numește timp de revenire inversă  $t_{rr}$ , fig. 2.44.

La un stabilizator în comutatie această perioadă în care dioda rămîne încă în starea de conducție, după satrarea tranzistorului de comutatie poate constitui cauza următoarelor inconveniente:

- tranzistorul urmează să debiteze la o impedanță foarte mică; în acest caz în circuit apar situații în care valoarea de vîrf a curentului poate depăși de cîteva ori valoarea curentului prin sarcină, ceea ce poate conduce la scurtarea duratei de viață a tranzistorului în comutatie;

- aceste vîrfuri de curent au influențe dăunătoare asupra blocurilor dinaintea stabilizatorului (redresorul și

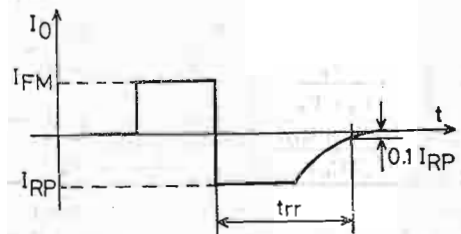


Fig. 2.44. Forme de undă la comutarea unei diode.

transformatorul de rețea), constituind o sursă puternică de paraziți care se transmit și în blocurile electronice alimentate;

- existența vîrfurilor de curent diminuează randamentul sursei de alimentare.

Avînd în vedere cele de mai sus, este necesar ca în stabilizatoarele de tensiune în comutatie, dioda D să aibă un timp de revenire inversă  $t_{rr}$  cît mai scăzut.

## 2.2.6. Scheme de principiu

Deoarece stabilizatoarele de tensiune în comutatie prezintă caracteristici de stabilizare inferioare stabilizatoarelor de tensiune în regim liniar, ele se utilizează adesea ca preregulatoare de tensiune, beneficiindu-se de randamentul lor ridicat. Stabilizarea finală a tensiunii se asigură cu stabilizatoare de tensiune în regim liniar, în majoritatea cazurilor utilizându-se așa-numitele stabilizatoare de tensiune fixă integrate monolitice. Deci schema bloc a unui sistem de alimentare stabilizat cuprinde un stabilizator de tensiune în comutatie, urmat de un stabilizator de tensiune în regim liniar, dispus în imediata apropiere a blocului alimentat.

Datorită acestei posibilități, pentru alimentarea instalațiilor electronice cu mai multe tensiuni de curent continuu a apărut o nouă concepție: în locul montajului clasic cu un transformator cu mai multe infășurări secundare, fiecare cu redresorul și circuitul său de filtrare (fig. 2.45, a) se poate utiliza un transformator cu un singur secundar care furnizează tensiunea cea mai mare cerută de montaj, reducerea tensiunilor la valorile necesare asigurându-se cu regulație de tensiune în comutatie (de tip coboritor), așa cum se arată în fig. 2.45, b.

Această modalitate de alimentare poate fi utilizată eficient în aparatura de gabarit mare, la care distanțele între blocul de alimentare și diversele subansambluri electronice alimentate sunt relativ mari. În acest caz energia este transformată în curent continuu de tensiune relativ ridicată — deci sub intensitate redusă și pierderi mici pentru aceeași secțiune de conductor — și apoi „transformată\* la fața locului“ la valoarea dorită (fig. 2.45, b).

\* Stabilizatorul de tensiune în comutatie în acest caz joacă rolul unui „transformator“. De exemplu, dacă într-un stabilizator liniar intensitatea curentului de intrare este practic aceeași cu curentul de la ieșire, într-un stabilizator în comutatie, curentul mediu la intrare poate fi sensibil mai mic decât cel de la ieșire, dacă tensiunea de la ieșire este (mult) mai mică decât tensiunea de la intrare. În plus, cum s-a arătat, unele tipuri de stabilizatoare în comutatie pun în evidență posibilitatea de recuperare a energiei (flyback) acumulate la bornele unei inductanțe și adău-

Pentru a evita reacțiile nedorite între diversele frecvențe de comutare ale stabilizatoarelor în comutație folosite, într-un astfel de sistem poate fi utilizat un bloc de sincronizare a tuturor stabilizatoarelor. Trebuie menționat faptul că circuitele integrate specialized ca regula-

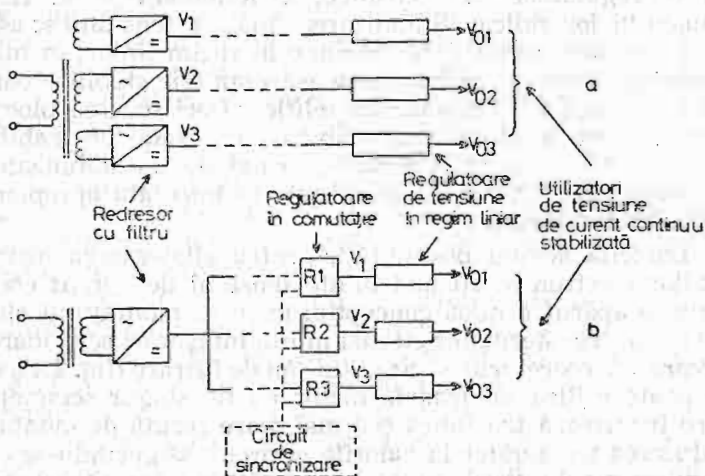


Fig. 2.45. Moduri de alimentare a unei sarcini cu tensiune de curent continuu stabilizată.

toare de tensiune în comutație, dispun prin construcție de această posibilitate.

Pentru comanda elementului comutator se folosesc două categorii de circuite de comandă:

- circuite cu oscilator de comandă independent (pilot);
- circuite autooscilante.

garea acestiei la tensiunea primară de alimentare astfel că e posibil să se obțină o tensiune de ieșire mai mare decât tensiunea la intrare. În ambele cazuri, stabilizatorul în comutație se comportă, în curent continuu, ca un transformator coborîtor sau ridicător de tensiune și aceasta cu un randament care este aproxiativ același cu randamentul unui transformator de curent alternativ, de aceeași putere.

Din punct de vedere practic, a doua categorie de circuite permite realizarea de scheme simple și economice. Totuși ele prezintă inconvenientul că furnizează la ieșire o tensiune mai puțin bine filtrată, deoarece întreținerea oscilațiilor se realizează prin intermediul tensiunii ondulatorii de la ieșire.

a) *Stabilizatoare în comutație cu oscilator independent*

În paragraful de față, vom prezenta cîteva scheme de stabilizatoare cu oscilator independent, cu ajutorul cărora se realizează comanda elementului comutator al stabilizatorului.

Circuitul stabilizator în comutație din fig. 2.46 utilizează un tranzistor unijonctioniune ca oscilator de frecvență variabilă, de la ieșirea căruia se comandă tiristorul regulator.

Semnalul  $kV_0$ , reglabil cu potențiometrul  $P$ , amplificat cu tranzistoarele  $Q_1, Q_2$  se compară cu tensiunea de referință de 6 V furnizată de dioda  $Z_2$  din emitorul tranzistorului  $Q_2$ . În funcție de nivelul tensiunii  $kV_0$ ,  $Q_2$  va modifica frecvența de oscilație a tranzistorului  $Q_3$  și implicit durata de conducție a tiristorului  $T$ ; în acest mod se reglează nivelul tensiunii  $V_0$  de ieșire.

Schela din fig. 2.47 prezintă un stabilizator de tensiune în comutație, care furnizează la ieșire 20 V la 5 A cu o stabilitate de 0,1% atât la variația sarcinii (variabilă între 0 și 5 A) cât și la variația tensiunii rețelei (în domeniul  $\pm 20\%$ ).

Schela conține cîteva blocuri electronice, așa cum se poate deduce din figură.

Circuitul oscillator este constituit dintr-un multivibrator asimetric. Constanta de timp de încărcare a condensatorului  $C_2$  determină perioada de conducție a tranzistoarelor funcție de tensiunea de eroare. Tranzistoarele  $Q_2, Q_7$  formează un amplificator diferențial, care compară tensiunea la bornele divizorului  $R-R$  plasat la ieșirea stabilizatorului, cu tensiunea de referință furnizată de dioda  $Z_2$  alimentată de asemenea la tensiunea de ieșire a stabilizatorului (punctul  $B$ ). Ieșirile acestui amplificator diferențial, comandă perechea de tranzistoare  $Q_5-Q_6$ , care constituie surse de curent pentru încărcarea condensatoarei  $C_2$ .

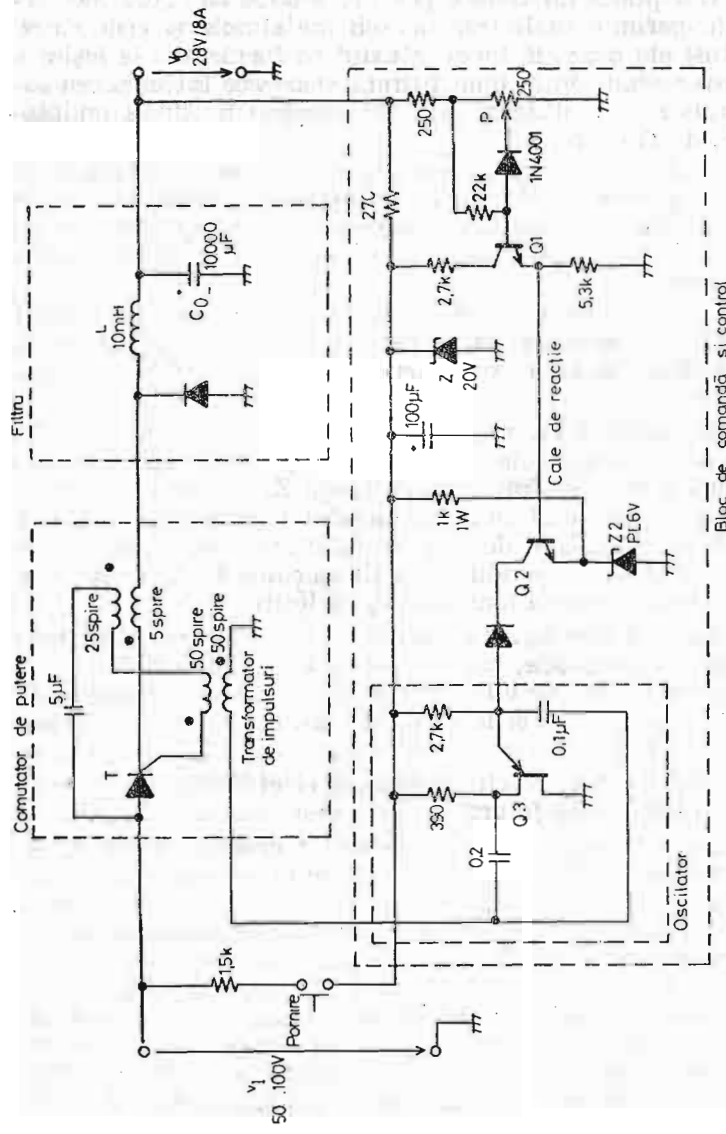


Fig. 2.46. Stabilizator în comutare cu tiristor.

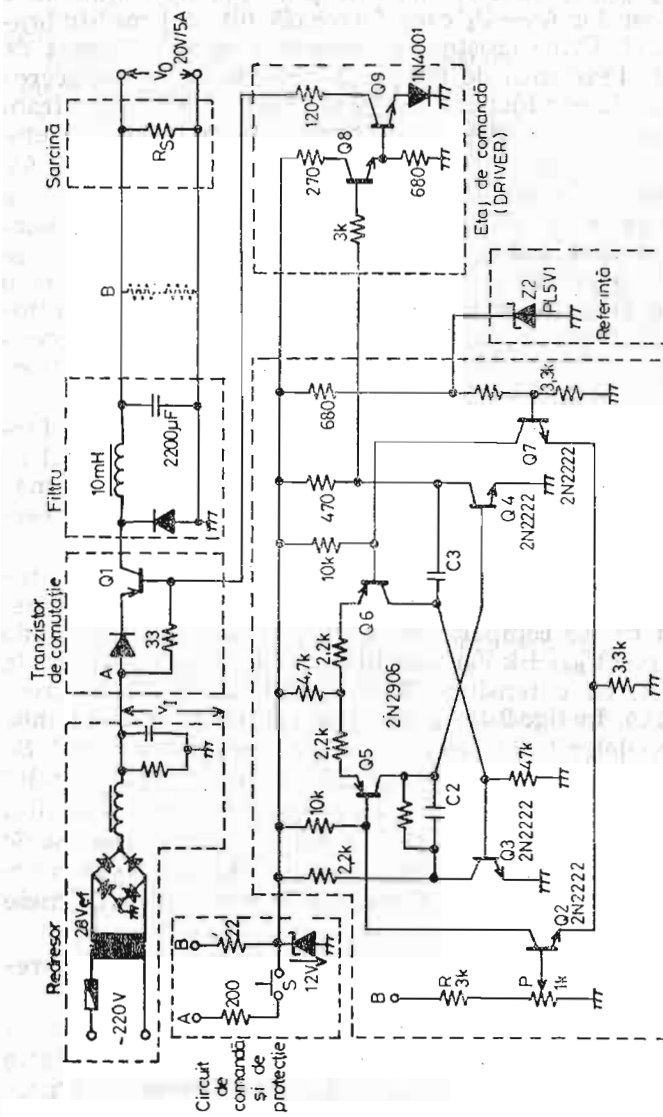


Fig. 2.47. Stabilizator în comutare comandat prin multivibrator.

relor  $C_2$  și  $C_3$ , de care depinde perioada de conducție a tranzistoarelor  $Q_3-Q_4$  care formează un etaj multivibrator astabil. Orice creștere a diferenței între tensiunea de ieșire și tensiunea de referință are ca efect reducerea perioadei de conducție a lui  $Q_4$  și prin urmare cea a tranzistorului de comutație  $Q_1$ , acționat prin intermediul etajului de comandă realizat cu tranzistoarele  $Q_8$  și  $Q_9$ .

Pentru ca montajul să poată fi pus în funcție este necesar să se apese pe butonul normal deschis  $S$  de pornire. Sistemul acesta asigură și protecția montajului în caz de scurtcircuit la masă, deoarece, în caz de anulare a tensiunii la ieșire, multivibratorul va inceta în mod automat să fie alimentat și în consecință tranzistorul de comutație  $Q_1$ , neavând semnal de comandă pe bază, nu va funcționa.

Montajul descris funcționează pe frecvență fixă și factor de umplere,  $t_{on}/t_{off}$ , variabil deoarece în momentul în care perioada de conducție a unuia din tranzistoare se mărește, concomitent a celuilalt se micșorează în mod corespunzător.

În fig. 2.48 a se prezintă o schemă de principiu cu ajutorul căreia se obțin rezultate similare cu cele anterioare. În acest caz se compară, în comparatorul  $C$ , tensiunea de eroare ( $\varepsilon = V_{REF} \pm kV_0$ ) amplificată cu amplificatorul de eroare  $A$ , cu o tensiune liniar variabilă (TLV) de frecvență fixă. În fig. 2.48, p sunt prezentate formele de undă ale semnalelor la intrarea și ieșirea comparatorului  $C$ . Se observă că impulsurile pozitive la ieșirea comparatorului și în consecință perioadele de conducție ale tranzistorului în comutație vor fi cu atât mai lungi cu cât tensiunea de eroare,  $A\varepsilon$ , va fi mai mică; în consecință în aceste intervale de timp va rezulta o creștere a tensiunii la bornele condensatorului de ieșire al filtrului  $L-C$ .

Pe baza schemei de principiu din fig. 2.48, vom prezenta trei scheme realizate cu componente discrete.

În schema din fig. 2.49, se prezintă un bloc de comandă realizat cu tranzistoare. Tensiunea liniar variabilă este furnizată de un oscilator de relaxare cu tranzistor unijonctiune (TUJ).

Schema din fig. 2.50 este realizată cu circuite integrate.

În fig. 2.51 se prezintă o schemă de stabilizator în comutație cu tranzistoare bipolare capabil să furnizeze 30 V la 50 W, tensiunea la intrare variind între 40 și 65 V.

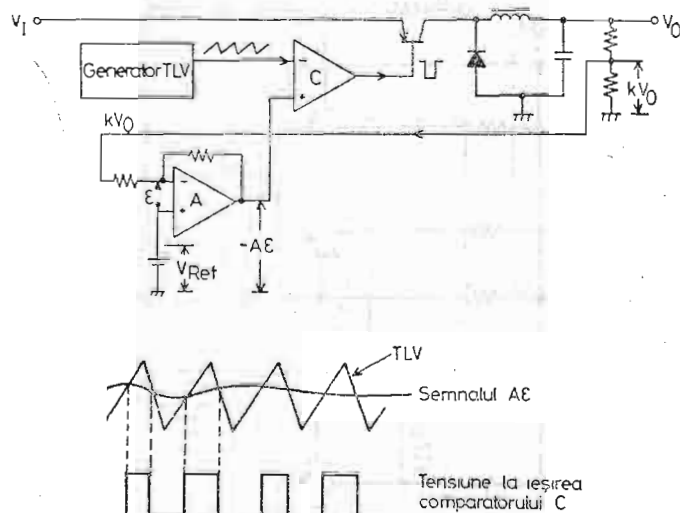


Fig. 2.48. Schemă de principiu pentru un stabilizator în comutație care folosește un generator TLV pentru modularea în durată a impulsului de comandă a tranzistorului de comutație (a) și formele de undă corespunzătoare (b).

Frecvența de comutație a tranzistorului  $Q_1$ , de tipul 2N 3055, este suficient de mică încât randamentul schemei să fie de aproximativ 80%, la o putere disipată pe tranzistor de 2...3 W.

Circuitul folosește un tranzistor  $Q_3$ , modulator al duratei impulsului de comutație, comandat de oscillatorul  $LC$  realizat cu tranzistorul  $Q_4$ . Tranzistorul comparator  $Q_5$  controlează nivelul de intrare în conducție al lui  $Q_3$  prin  $P_1$  și  $R_9$ . Emitorul tranzistorului  $Q_5$  este fixat prin  $R_{11}$  la un potențial fix furnizat de dioda  $Z$ , în timp ce pe baza sa se aplică o fractiune  $kV_0$  din tensiunea de

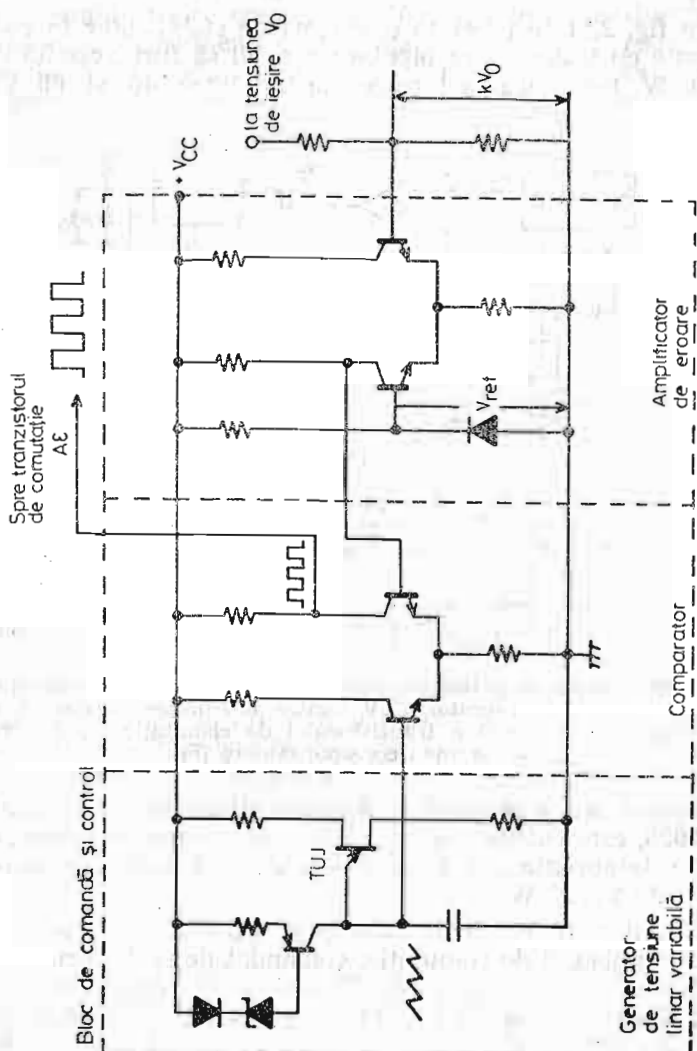


Fig. 2.49. Bloc de comandă realizat cu tranzistoare.

ieșire care trebuie reglată, prin intermediul lui  $R_{14}$ ,  $R_{15}$ ,  $P_2$ . Tranzistorul modulator  $Q_3$  comandă tranzistorul de comutație  $Q_1$ , printr-un etaj tampon realizat cu tranzistorul  $Q_2$  conectat în montaj repetor pe emitor. Tranzistorul  $Q_6$  are rolul de a proteja montajul împotriva unor scurt-

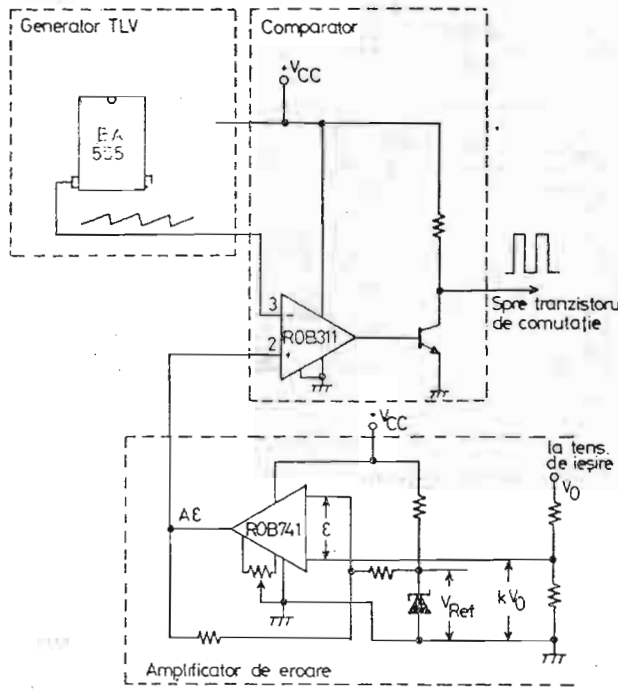


Fig. 2.50. Bloc de comandă realizat cu circuite integrate.

circuitări a ieșirii la masă; cind se produce un scurtcircuit acest tranzistor intră în conducție și polarizează tranzistorul  $Q_3$  astfel încit să blocheze tranzistorul  $Q_1$ .

#### b) Stabilizatoare în comutație autooscilante

Pentru a obține astfel de montaje, mijlocul cel mai simplu este acela de a utiliza scheme de stabilizatoare în regim liniar prezentate anterior (exemplu cel din fig. 2.20)

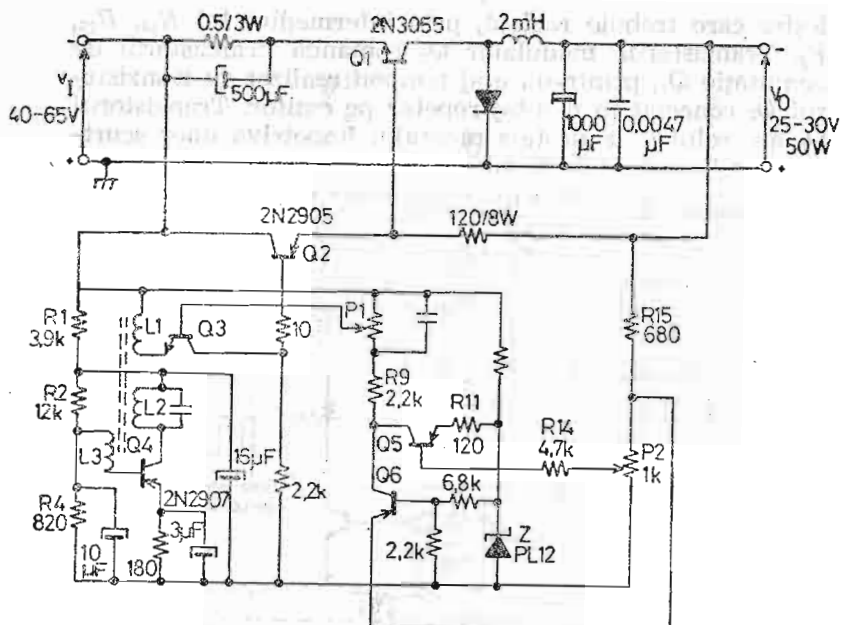


Fig. 2.51. Stabilizator în comutație tip serie de 20 W și 25...30 V.

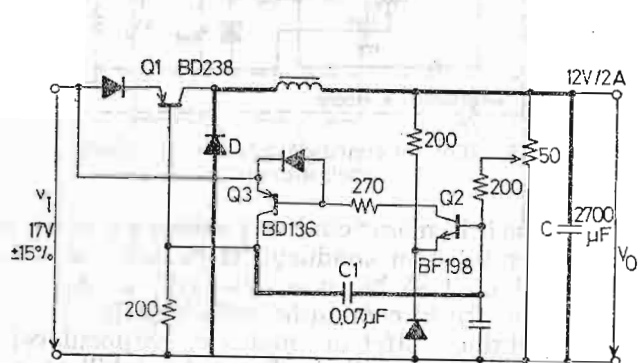


Fig. 2.52. Stabilizator în comutație autooscilant.

cărora li se adaugă filtrul  $LC$ , dioda  $D$  și li se realizează o reacție pozitivă suficientă pentru a intra în (auto)oscilație. Fig. 2.52 prezintă o astfel de realizare; prin linii groase se scoate în evidență modificarea menționată. În felul acesta un stabilizator liniar cu reacție simplu, la care se asociază elementele  $L-C$  și  $D$ , se transformă în stabilizator de comutare prin adăugarea unui simplu condensator de reacție  $C_1$ , care transformă amplificatorul de tensiune de eroare constituit din tranzistoarele  $Q_2-Q_3$  într-un multivibrator nesimetric.

## • **Protectia stabilizatoarelor de tensiune**

r.rv

r.rv

r.rv

Atât sursele de tensiune stabilizată cît și cele nestabilizate pot constitui obiectul unor influențe dăunătoare exercitate în principal de: suprasarcini, scurt-circuite, supra-tensiuni permanente sau în impulsuri, încălziri anormale etc.

Pentru a li se asigura fiabilitatea, deci pentru a se evita defectările „în cascadă“ alimentatoarele stabilizate moderne trebuie să fie prevăzute cu dispozitive de protecție automată eficace destinate protejării lor proprii, cît și protejării circuitelor pe care acestea le alimentează.

În general o parte din utilizatori sunt tentați să se bazeze pe siguranțe fuzibile pentru a-și proteja sursele de tensiune stabilizată. După cum vom vedea în continuare aceasta nu asigură în mod operativ protecția, deoarece ele au o inertie mare în funcționare\* ceea ce de fapt reclamă metode de protecție diferențiate pentru fiecare din influențele dăunătoare menționate mai sus.

Oricare ar fi metoda de protecție utilizată, aceasta trebuie să fie aleasă de aşa manieră, încit să nu perturbe funcționarea stabilizatorului, sau să-i înrăutătească performanțele.

Metodele de protecție prezentate în acest capitol, pentru a fi utilizate la stabilizatoarele cu componente discrete, vor fi particularizate cu prilejul descrierii și prezentării stabilizatoarelor de tensiune integrate monolitice.

\* Un tranzistor care se încălzește și se străpunge prin ambalare termică antrenează distrugerea succesivă a componentelor propriului său circuit (în general rezistoare), apoi a elementului regulator, apoi a redresorului, apoi a transformatorului și „în sfîrșit, a siguranței fuzibile“.

### **3.1. Suprasarcini posibile**

În funcționarea alimentatoarelor stabilizate pot apărea regimuri de suprasarcini sau de scurtcircuite accidentale, care în majoritatea cazurilor conduc la defectarea stabilizatorului.

*Regimul de supracurent* se manifestă în următoarele două situații:

- în scurtcircuit, caz în care curentul nu este limitat decit prin rezistența internă a sursei și prin rezistența firelor de conexiune,

- la suprasarcină, cind fără să atingă valoarea critică „periculoasă“ într-un interval scurt de timp, intensitatea depășește net valoarea sa nominală. Dacă acest regim se manifestă pe o durată mai mare de timp pot fi defectate unele părți componente ale circuitului ca de exemplu componentele semiconductoare, izolația conductoarelor (în special bobinajul transformatoarelor) etc.

*Regimul de supratensiune* poate apărea în urma unor procese tranzitorii care se produc, în alimentatorul stabilizat și anume:

- la scurtcircuitarea la masă a ieșirii stabilizatorului, în acest caz întreaga tensiune de intrare se aplică elementului regulator,

- la conectarea la rețea a alimentatorului în cazul în care conține o capacitate pe ieșire; cazul se reduce la cel precedent,

- la variația bruscă a sarcinii; acest regim este mai periculos în cazul circuitelor cu inducțanțe.

Din această scurtă prezentare rezultă că pentru a fi bine protejat, un stabilizator trebuie să conțină următoarele categorii de dispozitive / circuite de protecție.

- 1) Dispozitive cu acțiune rapidă pentru protejare contra scurtcircuitelor; ele trebuie să acționeze rapid pentru a se evita distrugerea componentelor stabilizatorului sau a circuitelor de sarcină. Se face precizarea că aceste dispozitive sau circuite nu trebuie să declanșeze accidental, de exemplu la apariția unor suprantensiuni de foarte scurtă durată (în general la punerea sub tensiune a stabilizatorului). Rolul acestui mijloc de protecție poate fi

îndeplinit de siguranțe fuzibile rapide sau ultrarapide, de relee de protecție electromagnetice, sau de mijloace de protecție electronice.

2) Dispozitive temporizatoare, care să întrerupă circuitul numai în cazul unei suprasarcini prelungite. Rolul acestor dispozitive poate fi îndeplinit de siguranțe fuzibile normale, sau de relee de protecție termice.

3) Dispozitive de protecție la supratensiuni.

## 3.2. Protecția la suprasarcină

### 3.2.1. Limitarea curentului de scurtcircuit

Înainte de a prezenta principalele circuite de protecție folosite, se impune precizarea că o serie de stabilizatoare de tensiune, sint autoprotejate prin construcție în cazul în care „elementul lor serie” este supradimensionat pentru a disipa o putere suficientă, iar cîteva exemple vor scoate în evidență această precizare.

Fig. 2.2 reprezintă schema de principiu a unui stabilizator parametric simplu. Este evident că rezistorul de balast  $R$  nu va permite, în caz de scurtcircuit la ieșire, să treacă decît curentul:

$$I_{SC} = v_{I \max} / R_1 \quad (3.1)$$

Dacă  $R_1$  suportă o putere  $P_d = R_1 I_{SC}^2$ , atît sarcina cît și elementul regulator vor fi protejate.

Inlocuind rezistorul  $R_1$  din exemplul anterior, printr-un tranzistor montat ca sursă de curent constant (fig. 2.3, g), capabil să suporte un curent superior curentului de scurtcircuit, în caz de suprasarcină la ieșire montajul de asemenea va fi (auto)protejat; soluția adoptată prezintă și avantajul diminuării puterii disipate în caz de scurtcircuit.

Cu ajutorul montajului din fig. 3.1 curentul de scurtcircuit devine practic nul. În acest caz, curentul de bază al tranzistorului  $Q_1$ , în montaj de generator de curent, este furnizat prin intermediul tranzistorului de protecție  $Q_2$ , normal saturat. În caz de scurtcircuit dioda cu germaniu  $D_2$  devine conductoare și curentul de bază al lui

$Q_2$  este deturnat la masă, blocîndu-l; prin aceasta se blochează și tranzistorul  $Q_1$ .

Stabilizatorul tip serie din fig. 3.2, are sursa de referință alimentată cu tensiunea stabilizată (aşa-numitul montaj „în aval”). În acest caz, la scurtcircuit la ieșire,

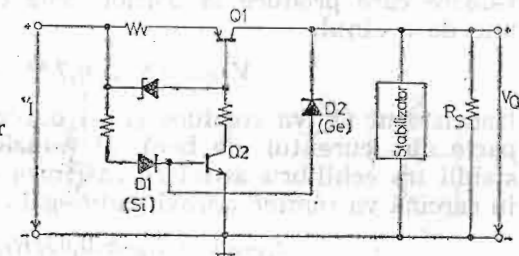


Fig. 3.1. Stabilizator autoprotejat.

sursa de referință cedează la zero, curentul de scurtcircuit al montajului fiind limitat prin rezistența  $R_1$  de pornire la punerea în funcționare.

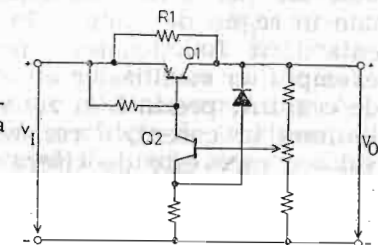


Fig. 3.2. Protejarea stabilizatorului prin cădere referinței la zero.

Cea mai simplă metodă de protejare a unui stabilizator de tensiune care acționează prin limitarea curentului prin elementul regulator rezultă din fig. 3.3.

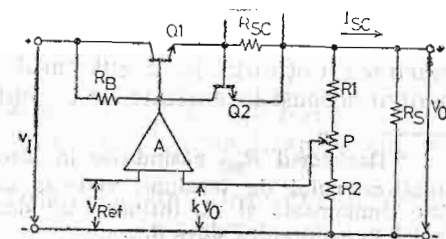


Fig. 3.3. Schemă de limitare automată a curentului de scurtcircuit.

Atât timp cât căderea de tensiune la bornele rezistenței  $R_{SC}^*$  este mai mică decât tensiunea de deschidere a joncțiunii emitor-bază a tranzistorului  $Q_2$ , acesta este blocat și elementul regulator serie  $Q_1$ , funcționează normal. În cazul în care curentul prin  $R_{SC}$  crește pînă la o valoare care produce la bornele sale o cădere de tensiune de ordinul:

$$V_{BE}=0,6 \dots 0,7 \text{ V} \quad (3.2)$$

tranzistorul  $Q_2$  va conduce și va deturna spre sarcină o parte din curentul de bază al tranzistorului  $Q_1$ . Se va stabili un echilibru astfel că mărimea curentului debitat în sarcină va rămîne aproximativ egală cu:

$$I_{SC}=V_{BE}/R_{SC} \approx 0,65/R_{SC} \quad (3.3)$$

Curba  $V_0=f(I_0)$  a acestui circuit, prezentată în fig. 3.4, este asemănătoare cu caracteristica tensiune-curent a unui alimentator stabilizat, cu caracteristică rectangulară. Trebuie menționat că funcționarea stabilizatorului de tensiune în regim de limitare în curent este mai puțin eficientă decât funcționarea unui stabilizator de curent: de exemplu un stabilizator de tensiune protejat la un curent de cca 1 A, prezintă în zona de funcționare în regim de limitare în curent, o rezistență dinamică de cca 100  $\Omega$  valoare care este de cîteva sute de ori mai mică decît

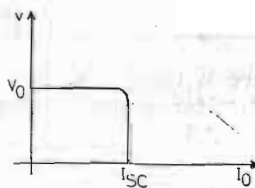


Fig. 3.4. Caracteristica de ieșire la limitarea automată a curentului la scurtcircuit.

mărimea obținută în cazul unui stabilizator de curent, pentru aceeași intensitate de curent.

\* Rezistorul  $R_{SC}$  găsindu-se în interiorul buclei de reacție a stabilizatorului de tensiune, căderea de tensiune la bornele lui este compensată și nu influențează decît în foarte mică măsură rezistența dinamică de ieșire.

Pornind de la schema din fig. 3.3, utilizatorul poate dispune de două modalități de realizare a protecției prin limitarea curentului și anume:

— să realizeze un stabilizator de tensiune cu mai multe game de limitare (fig. 3.5, a). Pentru aceasta este

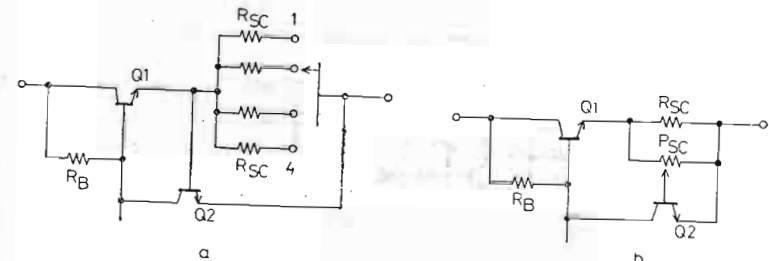


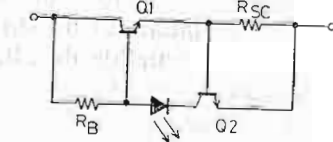
Fig. 3.5. Scheme de programare a curentului de scurtcircuit.

suficient să se comute diferențe valori ale rezistenței  $R_{SC}$ ,

— să regleze mai precis curentul de limitare (fig. 3.5 b), prin modificarea tensiunii bazei tranzistorului  $Q_2$  cu ajutorul potențiometrului  $P_{SC}$  de reglare fină, montat în paralel cu rezistorul  $R_{SC}$ ; metoda aceasta nu este indicată decît pentru variații în limite mici ale curentului  $I_{SC}$ , deoarece în caz contrar, necesită o cădere de tensiune relativ mare la bornele rezistenței  $R_{SC}$  mai ales în cazul unor curenți importanți prin sarcină.

O variantă a montajului din fig. 3.3 la dispoziția utilizatorului este ilustrată din fig. 3.6. În acest caz, dioda

Fig. 3.6. Utilizarea unei diode electroluminescente pentru semnalizarea curentului de scurtcircuit.



luminescentă (LED) dispusă în serie cu colectorul tranzistorului  $Q_2$  constituie un mijloc de semnalizare a supra-curentului.

În locul diodei luminescente poate fi introdus un optocuplător care comandă un releu temporizat prevăzut să

întrerupă alimentarea stabilizatorului în caz de suprasarcină, sau în caz de scurtcircuit prelungit; fig. 3.7, prezintă schema electrică a protecției realizată conform acestui principiu. În caz de suprasarcină prelungită (care depășește o durată prestabilită cu un circuit de întirziere) — tranzistorul serie trebuie să fie supradimensionat pentru a suporta cele două situații limită menționate,

— radiatorul pe care este dispus tranzistorul serie, de asemenea, trebuie să fie supradimensionat pentru a nu favoriza strâpungerea prin ambalare termică la suprasarcină prelungită.

Pentru înlăturarea sau atenuarea acestui inconvenient, s-a impus un alt mod de limitare a curentului de ieșire la scurtcircuit, într-o manieră care să forteze reducerea acestui curent ( $I_{SC}$ ) comparativ cu valoarea de declanșare a procesului de limitare ( $I_{OM}$ ). S-a realizat aşa-numita protecție prin întoarcerea caracteristicii\*. Schema de principiu a montajului utilizat în acest scop este dată în fig. 3.8.

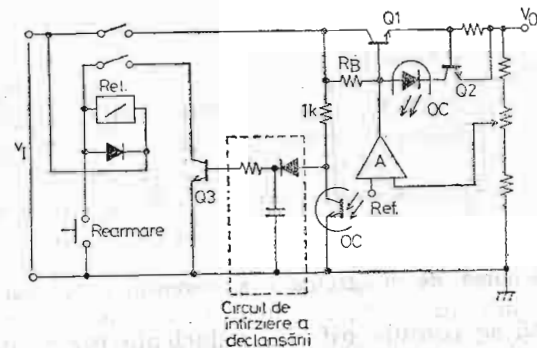
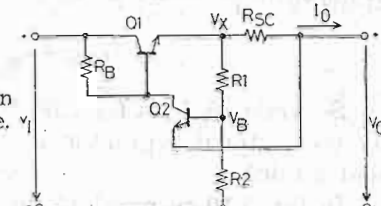


Fig. 3.7. Circuit de protecție prin deconectarea alimentării în caz de suprasarcină prelungită.

ere), releul *Rel.* va decupla la comanda optocuplului *OC*, acționat de curentul de colector al tranzistorului *Q<sub>2</sub>*. După înlăturarea avariei, stabilizatorul se repune în funcțiune prin apăsarea întreupătorului de rearname al releeului.

Circuitele de limitare a curentului prin caracteristică rectangulară prezintă interes pentru realizarea de surse de tensiune reglabile de laborator, la care, atât randamentul, cât și gabaritul nu sunt esențiale. Lucrurile se schimbă în cazul blocurilor de alimentare al diverselor aparate și echipamente și în special în cazul circuitelor integrate monolitice stabilizatoare, la care disipația termică este un factor determinant al calității lor. Dezavantajul principal al metodei de limitare descrise rezidă în faptul că în caz de scurtcircuit la ieșire, elementul regulator nu numai că este parcurs de un curent important dar la bornele lui se găsește aplicată întreaga tensiune de alimentare. De aici rezultă că:

Fig. 3.8. Circuit de limitare prin întoarcere a curentului de ieșire.  $V_1$



Definind în raport cu punctul de masă potențialele  $V_X$ ,  $V_B$ ,  $V_0$ , se poate scrie următorul sistem de ecuații:

$$V_B = \frac{R_2}{R_1 + R_2} V_x \quad (3.4)$$

$$V_x = R_{SC} I_0 + V_0 \quad (3.5)$$

Prin combinarea acestor relații se poate determina tensiunea bază-emitor a tranzistorului *Q<sub>2</sub>*:

$$V_{BE(Q_2)} = V_B - V_0$$

sau

$$V_{BE(Q_2)} = \frac{R_{SC} R_2}{R_1 + R_2} I_0 - \frac{R_1}{R_1 + R_2} V_0 \quad (3.6)$$

\* Fold-back (engl.).

Din relația (3.6) se calculează expresia curentului de cot,  $I_{cot} = I_{0M}$  (fig. 3.9), adică mărimea curentului la care începe să acționeze protecția:

$$I_{0M} = \frac{R_1}{R_{SC} R_2} V_0 + \frac{R_1 + R_2}{R_{SC} R_2} \cdot V_{BE(Q_2)} \quad (3.7)$$



Fig. 3.9. Caracteristica de ieșire cu reducerea automată a curentului de scurtcircuit (limitare prin întoarcere a curentului de ieșire).

și curentul de scurtcircuit (pentru  $V_0=0$ ):

$$I_{SC} = \frac{R_1 + R_2}{R_2} \cdot \frac{V_{BE(Q_2)}}{R_{SC}}$$

Se vede că  $I_{SC} < I_{0M}$  (fig. 3.9) și deci puterea disipată de tranzistorul regulator în regim de scurtcircuit este foarte mică.

În fig. 3.10 se prezintă un alt circuit de reducere automată a curentului de scurtcircuit. El nu diferă de monta-

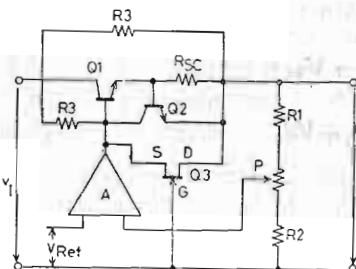


Fig. 3.10. Circuit de limitare prin întoarcere a curentului de ieșire realizat cu tranzistor cu efect de cîmp.

Jul limitator de curent din fig. 3.3 decît prin tranzistorul cu efect de cîmp ( $Q_3$ ) introdus în paralel cu tranzistorul bipolar  $Q_2$ . Poarta acestui tranzistor fiind la masă, atât timp cât tensiunea drenei sale va fi mai mare decît tensiunea de blocare pe poartă  $V_{GS(off)}$ , tranzistorul va rămîne

blocat și circuitul va funcționa ca și cel din fig. 3.3. Însă, îndată ce tensiunea de ieșire va cădea la o valoare mai mică decît  $V_{GS(off)}$  a tranzistorului cu efect de cîmp, acesta va intra în conductie și va pune în scurtcircuit, prin intermediul rezistenței  $R_{SC}$ , baza și emitorul tranzistorului  $Q_1$

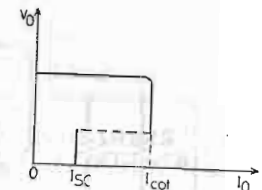


Fig. 3.11. Caracteristica de ieșire a curentului de protecție din fig. 3.10.

și curentul debitat în sarcină se va micșora. Caracteristica  $V_0=f(I_0)$ , în jurul tensiunii de blocare a tranzistorului  $Q_3$  este reprezentată în fig. 3.11.

Pentru ca montajul să revină în starea normală, după întreruperea scurtcircuitului la ieșire, este necesar ca la ieșire să se aplique o tensiune cel puțin egală cu tensiunea de blocare a tranzistorului cu efect de cîmp  $Q_3$ ; aceasta se aplică prin intermediul rezistorului  $R_3$ .

### 3.2.2. Protecția prin relee

O altă metodă de protecție a stabilizatorului de tensiune la scurtcircuit constă în întreruperea tensiunii aplicate stabilizatorului în momentul în care la ieșirea acestuia apar suprasarcini periculoase. În acest caz se utilizează două tipuri de circuite de protecție, pe care convențional le putem denumi relee de protecție cu dispozitive semiconductoare și anume: cu armare automată după dispariția suprasarcinii și cu rearmare manuală.

#### a) Relee semiconductoare cu rearmare automată

În fig. 3.12 tranzistorul  $Q_5$  este normal blocat, iar elementul regulator serie, constituit din  $Q_1-Q_2$  în configurație Darlington, primește curentul în bază prin intermediul rezistorului  $R_1$ . Dacă apare o suprasarcină, tensiunea de ieșire cade sub o valoare critică și tranzistorul  $Q_4$  nu va mai primi pe baza sa un curent suficient pentru a men-

ține tranzistorul  $Q_5$  blocat; în acest caz o fracțiune din curentul de bază al lui  $Q_2$ , cu atât mai mare, cu cît tensiunea de ieșire va fi mai mică (deci cu cît suprasarcina este mai mare) va fi deviat prin  $Q_5$ ; în caz de scurtcircuit net  $Q_5$  va fi saturat și  $Q_1-Q_2$  vor fi blocați.

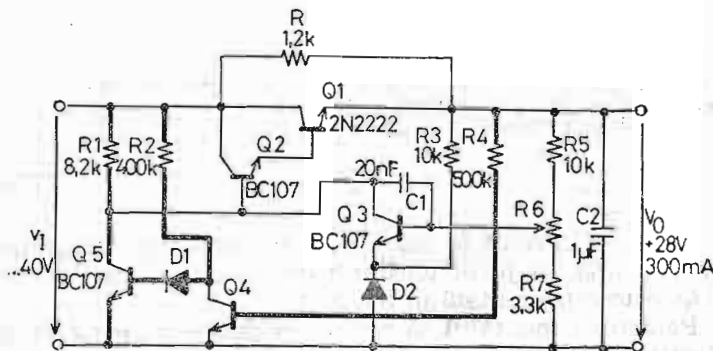


Fig. 3.12. Montaj de protecție la suprasarcină cu revenire automată la starea de funcționare normală după înlăturarea defectului.

Odată cu dispariția scurtcircuitului montajul se va „arma automat” prin curentul din  $R_5-R_6-R_7$  și  $R$ .

În montajul din fig. 3.13 la cădereea tensiunii de ieșire (ca urmare a unei suprasarcini sau scurtcircuit) sub valoarea tensiunii  $V_Z$  (a diodei  $D_1$ ) plus tensiunea  $V_{BE}$  a

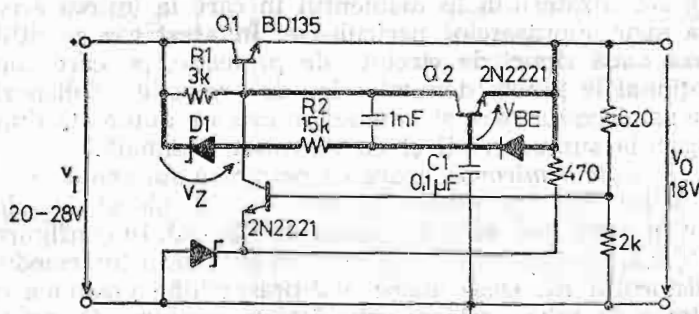


Fig. 3.13. Montaj de protecție cu „rearmare automată”.

tranzistorului  $Q_2$ , acest tranzistor va intra în conducție și va devia spre ieșire curentul de bază al tranzistorului serie  $Q_1$ , alimentat în bază, prin  $R_1$ . Ca atare  $Q_1$  se va bloca. Rolul condensatorului  $C_1$  este de a accelera procesul de blocare al lui  $Q_1$  în caz de scurtcircuit și de a temporiza desaturarea lui  $Q_2$  după dispariția scurtcircuitului. Cind  $C_1$  este încărcat, circuitul de protecție se elimină de la sine și stabilizatorul funcționează în regim normal.

Un alt tip de protecție, care se conectează în serie cu stabilizatorul este prezentat în fig. 3.14.

În procesul de funcționare normală, tranzistorul  $Q_1$  este menținut în stare saturată prin curentul de bază pe care îl primește prin intermediul rezistorului  $R_1$  și tensiunea la bornele lui este foarte mică. În acest timp, tranzistorul  $Q_2$  este blocat.

Cind intensitatea curentului în sarcină crește, tensiunea  $V_{CE}$  a lui  $Q_1$  va crește corespunzător, pînă în momentul cind curentul de sarcină va atinge o valoare suficientă

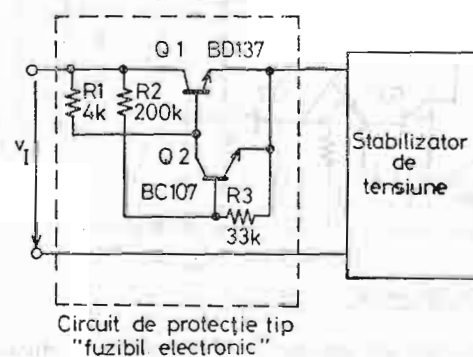


Fig. 3.14. Circuit de protecție tip fuzibil.

pentru ca  $Q_2$  să intre în conducție și să scurtcircuiteze joncțiunea bază-emitor a lui  $Q_1$ , blocîndu-l. Starea aceasta se menține pînă cind se elimină scurtcircuitul, după care montajul în mod automat va reveni în starea inițială de funcționare normală.

b) Relee semiconductoare cu rearmare manuală

În montajele la care revenirea la starea inițială a circuitului de protecție se face automat, curentul de ieșire nu se întrerupe ci este redus pînă la o valoare suficient de mică pentru a nu fi periculoasă pentru alimentator, pentru stabilizator și sarcină, evitînd în felul acesta defectările „în cascadă“.

Categoria de circuite de protecție care se prezintă în continuare întrerupe complet curentul de ieșire, necesitînd o rearmare după eliminarea defectului.

Din examinarea montajului din fig. 3.12 se constată că este suficient să se introducă un întreruptor normal deschis în serie cu rezistorul  $R$  ca montajul să treacă în categoria montajelor care necesită o armare manuală.

În fig. 3.15 pentru asigurarea funcției propuse se folosește un circuit bistabil, realizat cu tranzistoarele  $Q_2-Q_3$ .

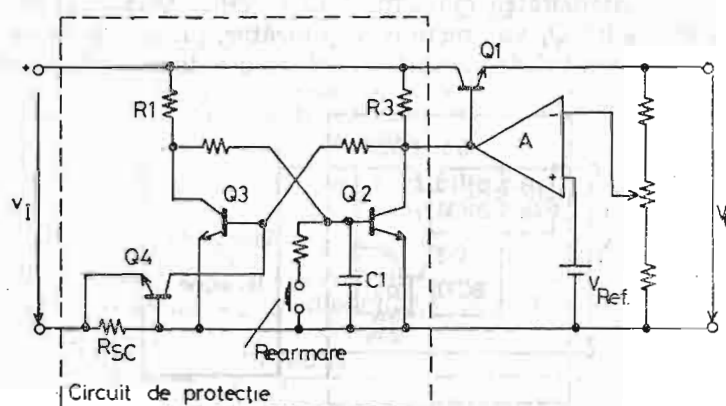


Fig. 3.15. Circuit de protecție cu rearmare manuală, realizat cu un bistabil.

Prin prezența condensatorului  $C_1$ , de fiecare dată, la punerea montajului în funcțiune,  $Q_3$  va fi în conducție și  $Q_2$  blocat.

Tranzistorul  $Q_4$  „supraveghează“ tensiunea la bornele rezistenței sunt  $R_{SC}$  și va intra în conducție cînd această tensiune devine egală cu tensiunea lui bază-emitor. În

acest caz, el va provoca bascularea bistabilului în starea  $Q_2$  saturat, ceea ce va avea ca efect blocarea tranzistorului serie  $Q_1$ .

Prin dispariția cauzei de defectare, este suficient să se pună baza tranzistorului  $Q_2$  la masă prin intermediul butonului „REARMARE“ pentru ca bistabilul să basculeze în poziția inițială, de funcționare normală ( $Q_2$  blocat,  $Q_3$  saturat,  $Q_4$  blocat).

În fig. 3.16, se prezintă un circuit de protecție cu rearmare manuală, realizat cu optocuplitorul OC. În acest caz, suprasarcina la ieșire se supraveghează prin intermediul diodei luminescente a optocuplitorului, care la suprasarcină periculoasă va acționa prin intermediul tranzistorului  $Q_3$  asupra unui releu rapid pentru a decupla sursa de tensiune.

Această schemă are tendința de a declanșa la punerea în funcțiune pe o sarcină capacativă.

Pentru a evita declansările nedorite, se utilizează schema electrică din fig. 3.17, cu ajutorul căreia se reduce

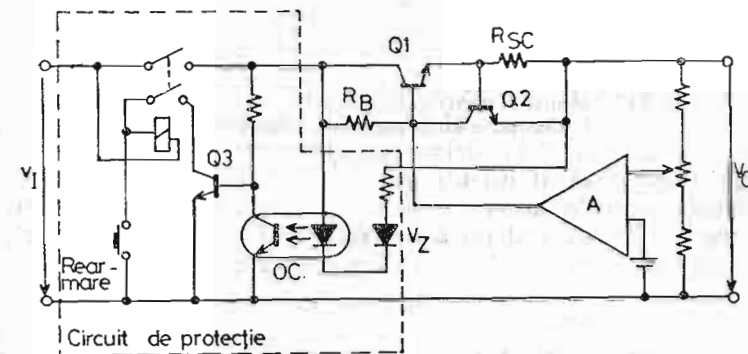


Fig. 3.16. Circuit de protecție cu rearmare manuală, realizat cu optocuplori.

viteza de apariție a tensiunii la ieșirea stabilizatorului cînd la intrarea lui se aplică brusc tensiunea de alimentare. În acest caz, la punerea stabilizatorului sub tensiune, la ieșirea tranzistorului  $Q_1$  apare tensiune și condensatorul  $C$  se încarcă prin  $R_1$  și prin jonctiunea emitor-bază a lui  $Q_2$ .

Acest tranzistor va intra aproape instantaneu în conducție, ceea ce face să limiteze curentul de bază al lui  $Q_1$  și deci curentul lui de emitor (deci curentul de sarcină). Pe măsură însă ce tensiunea la bornele lui  $C_1$  crește, curentul prin acest condensator scade și în consecință scade și cu-

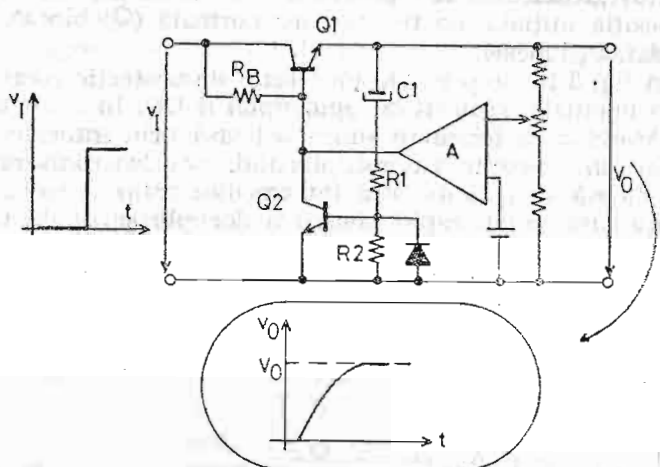


Fig. 3.17. Montaj pentru eliminarea posibilității de declanșare accidentală a protecției.

rentul de bază al lui  $Q_2$ , ceea ce face ca acest tranzistor să deturneze la masă un curent din ce în ce mai mic din curentul de bază al lui  $Q_1$  astfel că tensiunea la ieșire  $V_O$  va crește exponențial, așa cum se arată pe figură.

### 3.3. Protecția la supratensiuni

În alimentatoarele stabilizate, numeroase cauze pot produce la ieșire tensiuni mult mai mari decât cele normale, ceea ce are ca efect consecințe catastrofale pentru sarcină. Se impune ca stabilizatorul de tensiune să disponă de circuite speciale de detectare și de eliminare a acestor supratensiuni imediat ce ele apar.

Cauzele care conduc la apariția de supratensiuni la ieșirea unui stabilizator pot fi multiple; câteva din acestea sunt următoarele:

— scurtcircuitarea tranzistorului regulator (tranzistorul de comutare în cazul stabilizatorului în comutație),

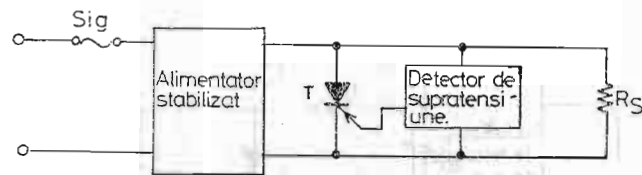


Fig. 3.18. Schema de principiu a circuitului de protecție a sarcinii stabilizatorului la supratensiuni.

— defectarea unor componente din circuitul de reacție: întreruperea rezistorului  $R_2$  (fig. 1.3) din divizorul de tensiune de ieșire sau defectarea amplificatorului de eroare ( $A_1$  din fig. 1.3, a, respectiv tranzistorul  $Q_2$  în (fig. 2.15, 2.16 etc.).

— defectarea sursei de referință a cărei mărime poate să crească brusc pînă la valoarea tensiunii de intrare.

Circuitul cel mai utilizat pentru detectarea și protejarea sarcinii stabilizatorului contra supratensiunilor este reprezentat\* schematic în fig. 3.18. În acest caz, detectoarul de supratensiune comandă tiristorul  $T$ , pentru a scurtcircuita alimentarea. Acesta conduce fie la punerea în funcțiune a circuitului limitator de curent al stabilizatorului, fie la declanșarea releeului de protecție, fie la arderea siguranței fuzibile.

În fig. 3.19, a se prezintă o schemă simplă de protecție la supratensiune a unui stabilizator. Considerind că stabilizatorul alimentează un montaj de circuite TTL, caracterizat prin:

— tensiunea nominală de alimentare: 5 V,

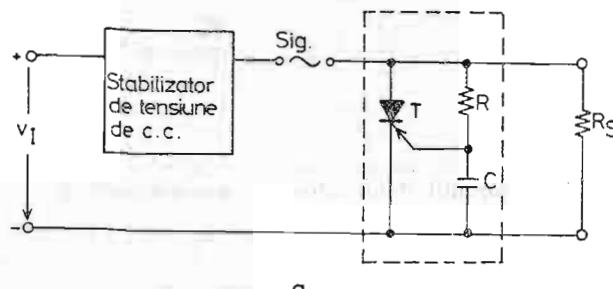
— condițiile normale de alimentare 4,75 V...5,25 V,

— tensiunea maximă de alimentare (valoare limită absolută): 7 V, va trebui ca alimentatorul stabilizat de 5 V să fie prevăzut cu un circuit detector, care să actioneze

\* Circuit „crow-bar“ (engl.).

dispozitivul de protecție la depășirea unei tensiuni de prag prestatibile.

În fig. 3.19, b se prezintă grafic modul în care evoluază în timp circuitul de protecție din fig. 3.19, a la supratensiune. Acțiunea de protecție se produce într-un timp foarte scurt.



a

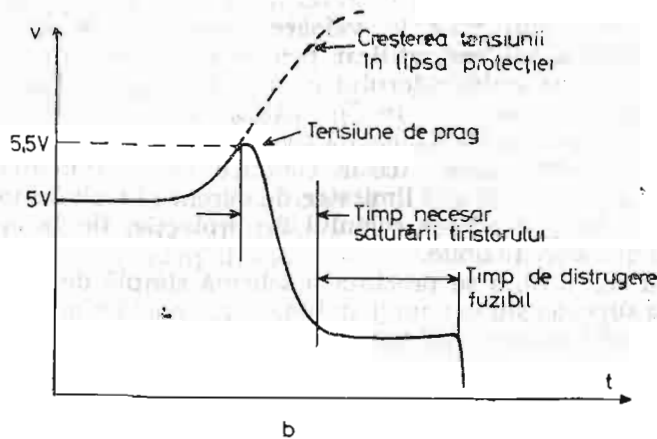


Fig. 3.19. Circuite de protecție a unui stabilizator la supratensiuni:

b — evoluție în timp a procesului de protecție la supratensiune.

Montajul cel mai simplu folosit pentru declanșarea protecției cu tiristor este cel reprezentat în fig. 3.20. Dacă  $V_{AB} > V_Z + V_D$ , tiristorul  $T$  va intra în conducție și tensiunea  $V_{AB}$  va scădea pînă la aproximativ 1 V într-un timp de  $1 \dots 2 \mu s$ . Condensatorul  $C$ , plasat între poartă și masă

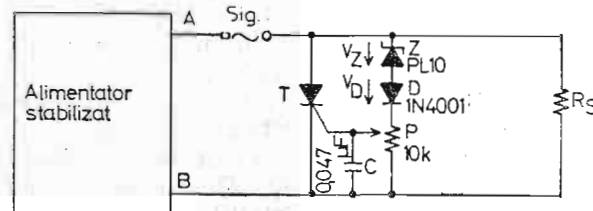


Fig. 3.20. Circuit de protecție crow-bar cu diodă Zener pentru fixarea tensiunii de comutație a tiristorului.

amortizează rapiditatea de acționare a circuitului. Cu componentele menționate pe figură, circuitul va proteja consumatorul în cazul cînd tensiunea  $V_{AB}$  depășește 11 V.

### 3.4. Protecția la reducerea tensiunii

Tensiunea la bornele bateriilor de acumulare, care alimentează o anumită categorie de aparete electronice, nu trebuie să scadă sub o anumită valoare. Pentru aceasta

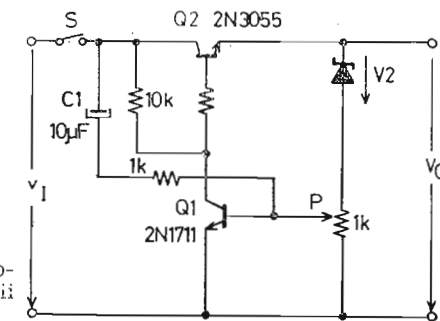


Fig. 3.21. Circuit de protecție la scăderea tensiunii de alimentare.

este indicat ca aceste apărate să dispună de circuite capabile să întrerupă curentul și eventual să acționeze o alarmă în caz de scădere anomală a tensiunii.

În fig. 3.21 se prezintă un montaj care permite întreruperea alimentării cind tensiunea scade sub o anumită mărime de consemn care depinde de tensiunea  $V_Z$  a diodei Zener Z și de poziția cursorului potențiometrului P.

Atât timp cât tensiunea de alimentare este mai mare decit mărimea de consemn, dioda Zener permite trecerea unui curent suficient pentru a satura tranzistoarele  $Q_1, Q_2$ .

Cind tensiunea de supravegheat,  $v_I$ , se micșorează sub valoarea de consemn, dioda Zener nu mai conduce provocând blocarea tranzistoarelor  $Q_1, Q_2$ . Condensatorul  $C_1$  se folosește pentru pornirea montajului, furnizînd curentul de bază pentru  $Q_1$  la închiderea întreruptorului S.

## Capitolul 4

# Stabilizatoare de tensiune integrate monolitice

r.t.v. r.t.v. r.t.v. r.t.v.

## 4.1. Tehnici de circuit pentru stabilizatoarele monolitice

Stabilizatoarele de tensiune cu componente discrete pot fi executate cu ușurință, dar prezintă o serie de neajunsuri legate de performanțele de stabilizare și de gabaritul lor relativ mare. Imperativul miniaturizării aparatelor electronice, performanțele excelente furnizate de stabilizatoarele de tensiune integrate, scăderea continuă a costurilor ca efect al progreselor tehnologice înregistrate în fabricația circuitelor integrate, au contribuit la orientarea celor mai mulți dintre utilizatori spre acest gen de dispozitive.

Majoritatea stabilizatoarelor de tensiune continuă monolitice se construiesc pe baza unei scheme cu reglare automată de tip serie. În principiu, schema electrică nu diferă de schema clasicului stabilizator cu componente discrete. Deosebirea constă în utilizarea unor blocuri funcționale, în care se apelează la tehnici de circuit relativ mai complexe, pentru a se atinge un nivel de performanță ridicat. Pentru exemplificare, în fig. 4.1, se prezintă structura unuia dintre cele mai cunoscute stabilizatoare de tensiune continuă monolitice  $\mu A 723$  ( $\beta A 723$ ). Alăturarea schemelor bloc (a), de principiu (b) și a celei electrice (c), permite identificarea celor trei blocuri funcționale principale ale stabilizatorului (sursa de tensiune de referință, amplificatorul de eroare, elementul regulator serie), precum și a blocurilor cu funcționări auxiliare (de protecție, de polarizare, de pornire). Descrierea în detaliu a circuitului  $\mu A 723$  se prezintă în paragraful următor.

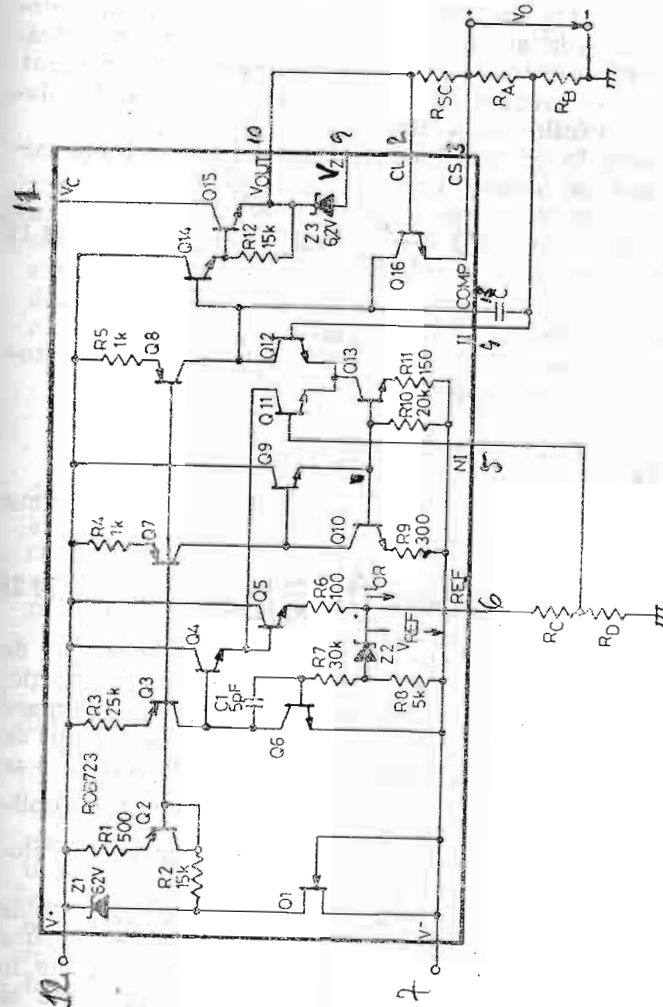
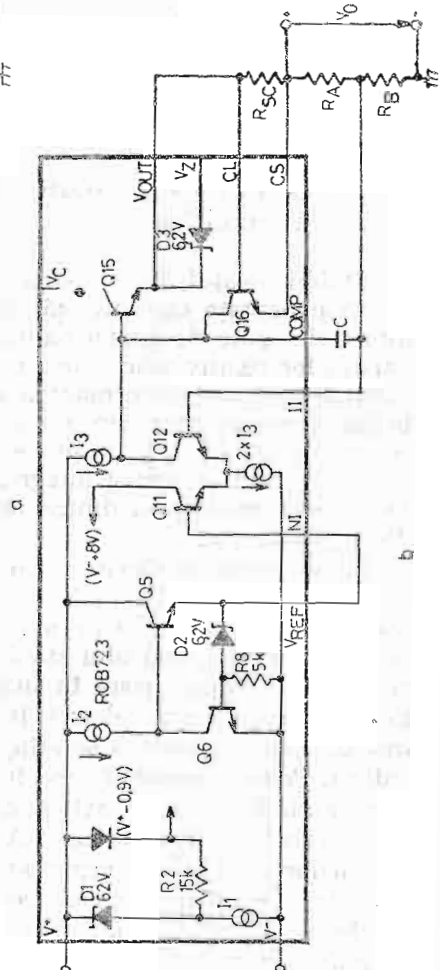
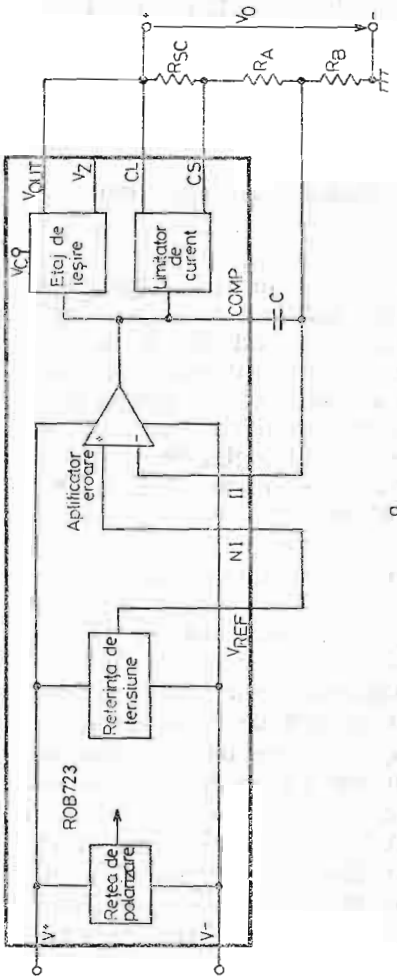


Fig. 4.1. Diagramă bloc pentru un stabilizator de tensiune continuă tip serie.

Cu toate că utilizarea unui stabilizator de tensiune continuă monolitică nu impune ca o condiție de strictă necesitate studierea structurii blocurilor funcționale interne, se consideră că o cunoaștere a tehniciilor de circuit folosite la realizarea acestora, permite o apreciere mai realistă a performanțelor și limitărilor circuitului integrat, limitări adesea trecute cu abilitate de producători în planul secund al foilor de catalog.

Revenind la schema bloc din fig. 4.1 a, nivelul tensiunii de ieșire se poate determina cu relația:

$$V_0 = \frac{A}{1+Af} V_{REF} \quad (4.1)$$

unde:

$V_{REF}$  — tensiunea de referință,

$A$  — amplificarea în buclă deschisă a amplificatorului de eroare,

$f = \frac{R_B}{R_A + R_B}$  — factorul de reacție

Deoarece  $A \gg 1$ , relația de mai sus se poate approxima prin:

$$V_0 = \frac{1}{f} V_{REF} = \left(1 + \frac{R_A}{R_B}\right) V_{REF} \quad (4.2)$$

Ultima relație evidențiază că nivelul tensiunii de ieșire este corelat, prin intermediul factorului de reacție, cu nivelul tensiunii de referință. Un raport  $V_0/V_{REF}$  mare implică creșterea rezistenței  $R_A$  și reducerea factorului de reacție  $f$ . În consecință, variațiile tensiunii de referință se regăsesc amplificate la ieșire (raportul  $\frac{1}{f}$  crește). Suplimentar, precizia absolută cu care se poate controla tehnologic nivelul tensiunii de ieșire se reduce.

Din cele expuse se deduce că raportul  $V_0/V_{REF}$  trebuie limitat superior (la stabilizatoarele monolitice de tensiune fixă  $V_0/V_{REF}$  este de maximum 5). Totodată, se pune în evidență necesitatea ca nivelul tensiunii de referință să fie practic independent de variațiile tensiunii de intrare și ale temperaturii.

Stabilizarea de sarcină se poate aprecia prin expresia:

$$K_L = \frac{r_{oa} + r_\pi}{\beta A} \cdot \frac{\Delta I_0}{V_{REF}} \cdot 100\% \quad (4.3)$$

unde:  $\beta$ ,  $r_\pi$  — parametrii electrici ai tranzistorului serie;  $r_{oa}$  — rezistența de ieșire a amplificatorului de eroare;

$\Delta I_0$  — variația curentului de ieșire.

De aici, rezultă faptul că pentru a îmbunătăți stabilizarea de sarcină este nevoie să se mărească semnificativ amplificarea cu buclă deschisă ( $A$ ) și cîștigul în curent ( $\beta$ ) al tranzistorului regulator serie. În stabilizatoarele de tensiune continuă monolitice se utilizează amplificări în buclă deschisă de ordinul zecilor de mii, iar pentru elementul regulator serie se recurge la conexiuni Darlington.

#### 4.1.1. Surse de tensiune de referință

Datorită influenței directe asupra nivelului tensiunii de ieșire, asupra coeficientului de temperatură al acesteia și asupra stabilizării de intrare, sursa de tensiune de referință se consideră cel mai important bloc funcțional din stabilizator. Tensiunea de referință trebuie să indeplinească următoarele condiții:

- stabilitate la variația tensiunii de intrare,
- stabilitate la variația temperaturii,
- reproducibilitate tehnologică a valorii nominale în limite strînse de la un dispozitiv la altul,
- stabilitate în timp,
- componentă de zgromot redus.

Schemele electrice ale sursei de tensiune de referință din stabilizatoarele integrate monolitice se realizează utilizând fie diode Zener, fie combinații de tensiuni bază-emitor inseriate cu diferența dintre tensiunile bază-emitor a două tranzistoare, care funcționează la densități de curent de emitor diferite, multiplicată printr-un factor (tip bandă interzisă\*).

\* Band-gap reference (engl.).

### Referințe cu diode Zener

În circuitele integrate diodele Zener se obțin în mod ușor prin polarizarea inversă a joncțiunii bază-emitor a unui tranzistor NPN (fig. 4.2).

La un curent de polarizare dat  $I_Z = 100 \dots 200 \mu A$ , valoarea nominală a tensiunii Zener ( $V_Z$ ) este de  $6,2 \dots 7 V$

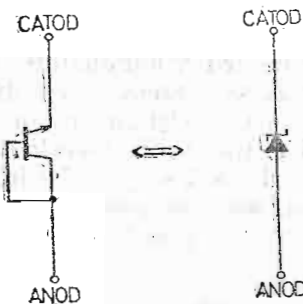


Fig. 4.2. Tranzistor NPN în conexiune tip diodă Zener.

coeficientul său de temperatură este pozitiv ( $+2,2 \dots +3 mV/C$ ) și depinde de mărimea tensiunii Zener. Coeficientul de temperatură al tensiunii bază-emitor ( $V_{BE}$ ) al tranzistoarelor NPN este negativ ( $-2,1 \dots -1,5 mV/C$ ) și depinde de nivelul curentului de emitor care străbate joncțiunea.

În principiu, rezultă că prin însumarea unei tensiuni Zener cu o tensiune  $V_{BE}$  se obține o sursă de tensiune de referință relativ compensată termic.

Sursele de tensiune de referință integrate se proiectează astfel încât coeficientul de temperatură al tensiunii de referință să fie practic nul.

Fig. 4.3. prezintă schema de principiu utilizată pentru sursa de tensiune de referință a stabilizatoarelor de tensiune continuă ROB 305 (ICCE), LM 100 (National Semiconductor), L00 5 (S.G.S.) etc.

Dioda Zener se polarizează prin generatorul de curent  $I_Z$ . Valoarea mare a rezistenței de ieșire din generator, raportată la valoarea redusă a rezistenței dinamice a diodei Zener asigură o bună stabilizare de intrare. Înserierea diodei Zener cu un lanț de diode polarizate direct asigură compensarea termică a tensiunii de referință. Potențialul

în nodul  $M$  prezintă un coeficient de temperatură pozitiv, pe cind potențialul în nodul  $N$  prezintă unul negativ. Ca urmare, pe rezistorul  $R_m + R_n$  există un punct al căruia potențial,  $V_{REF}$ , va prezenta un coeficient de temperatură teoretic nul.

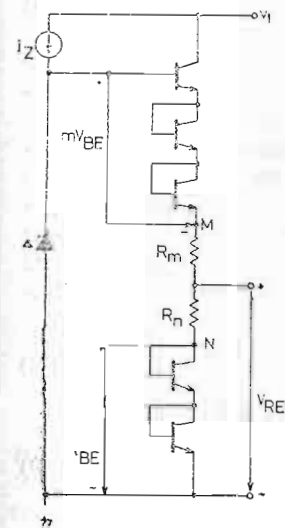


Fig. 4.3. Sursă de tensiune de referință cu diodă Zener.

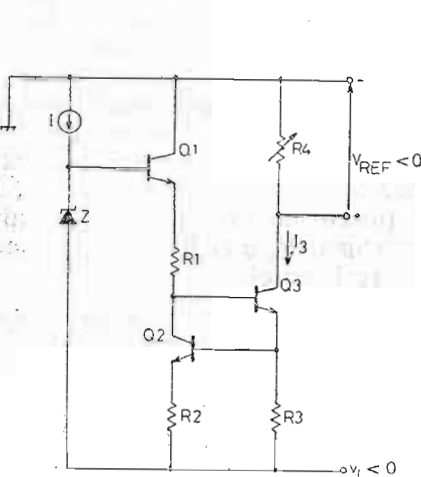


Fig. 4.4. Sursă de tensiune de referință negativă.

Notând cu  $m, n$ , numărul diodelor, se poate scrie:

$$V_{REF} = [V_Z - (m+n)V_{BE}] \frac{R_n}{R_m + R_n} + nV_{BE} \quad (4.4)$$

Presupunând coeficienți de temperatură egali pentru rezistențele  $R_m$  și  $R_n$ , din condiția de coeficient de temperatură nul a tensiunii  $V_{REF}$  se determină raportul:

$$\frac{R_m}{R_n} = \frac{m+k}{n} \quad (4.5)$$

unde:

$$k = -\left(\frac{\Delta V_Z}{\Delta T}\right) : \left(\frac{\Delta V_{BE}}{\Delta T}\right) \quad (4.6)$$

În aceste condiții:

$$V_{REF} = \frac{V_Z + kV_{BE}}{1 + \frac{m+k}{n}} \quad (4.7)$$

Valoarea tensiunii de referință care se obține este mai mică decât tensiunea Zener (de obicei  $V_{REF} < 2$  V).

Schela electrică din fig. 4.4, asigură nivele de tensiune de referință negative, începînd de la cîteva zeci de mili-volți. Ea se utilizează în stabilizatorul ROB 304.

Dioda Zener, polarizată prin generatorul de curent constant  $I$  asigură o tensiune prestabilizată pentru alimentarea generatorului de curent constant alcătuit din tranzistoarele  $Q_2$ ,  $Q_3$  și rezistoarele  $R_1$ ,  $R_2$ ,  $R_3$ . Curentul constant  $I_3$  (insensibil la variația tensiunii de intrare) produce pe rezistorul  $R_4$  o cădere de tensiune proporțională cu valoarea rezistenței.

$$V_{REF} = -I_3 R_4 \quad (4.8)$$

Mărimea curentului  $I_3$  se determină cu relația:

$$I_3 = \frac{1}{R_3} - \frac{V_B - V_{BE1} - V_{BE2} - V_{BE3} + \lambda V_{BE2}}{1 + \lambda} \quad (4.9)$$

unde:

$$\lambda = R_1 / R_2 \quad (4.10)$$

Creșterea tensiunii  $V_Z - V_{BE1} - V_{BE2} - V_{BE3}$  cu temperatură se compensează prin scăderea de tensiune furnizată de  $V_{BE2}$ . Printr-o dimensionare corespunzătoare a rezistențelor  $R_1$ ,  $R_2$ ,  $R_3$  se pot controla coeficienții de temperatură ai tensiunilor bază-emitor, astfel încît variația cu temperatura a curentului  $I_3$  să fie teoretic nulă. Ca urmare, oricare ar fi nivelul tensiunii de referință fixat prin rezistorul  $R_4$ , compensarea sa teoretică este asigurată.

Cele două surse de tensiune de referință descrise prezentă, o rezistență de ieșire de ordinul  $k\Omega$ , valoare care nu permite curentului furnizat la ieșire să înregistreze variații mari de cîteva zeci de microamperi. Deficiența se înlătură prin introducerea diodei Zener în bucla de reacție a unui amplificator (fig. 4.5).

Amplificatorul este alcătuit din tranzistorul  $Q_1$ , care are în colector generatorul de curent  $I$  (sarcină activă). Repetorul pe emitor  $Q_2$  separă etajul amplificator de variațiile curentului de ieșire și asigură reducerea rezistenței de ieșire din sursa de tensiune de referință de  $\beta_2$  ori.

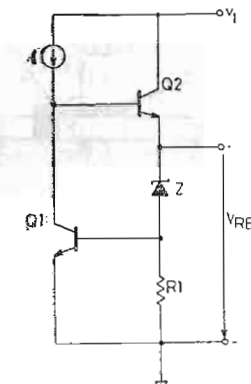


Fig. 4.5. Sursă de tensiune de referință cu reacție paralel-paralel.

Rezistorul  $R_1$  polarizează, la un curent constant, dioda Zener. Evitarea intrării în oscilație la frecvențe înalte (datorită valorii mari a amplificării) necesită introducerea unei rețele de compensare în frecvență, care nu a fost desenată pentru a nu complica figura.

Tensiunea de referință care se obține este mai mare decât tensiunea Zener:

$$V_{REF} = V_Z + V_{BE1} \quad (4.11)$$

Coefficientul de temperatură al tensiunii  $V_{BE1}$  se controlează prin mărimea curentului furnizat de generatorul  $I$ . Pentru a anula variația cu temperatura a tensiunii de referință se impune echilibrarea coeficienților de temperatură ai diodei Zener și ai tensiunii  $V_{BE}$ . Aceasta se obține folosind o diodă Zener integrată cu tensiunea de circa 6,2 V și alegînd un curent  $I$  de ordinul zecilor de microamperi.

Concepția de schemă din fig. 4.5 se utilizează în stabilizatoare de tensiune continuă  $\mu A 723$ , MC 1468 etc.

Tehnica de realizare monolitică a diodei Zener face ca schemele analizate să prezinte o serie de deficiențe. Deoarece străpungerea se produce în apropierea interfeței Si— $\text{SiO}_2$  (vezi fig. 4.6, a), fenomenele de suprafață conduc la tensiuni de zgomot relativ mari și la deteriorarea stabilității.

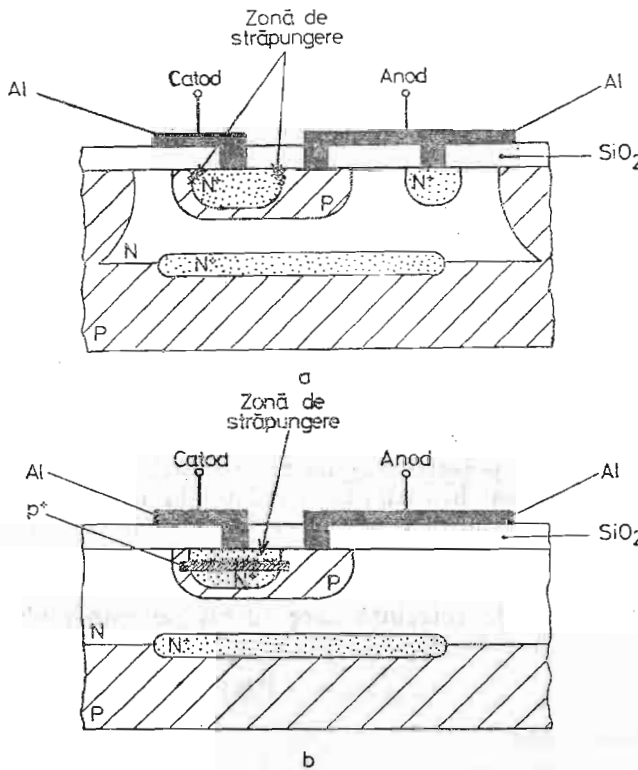


Fig. 4.6. Secțiune prin diodă Zener:  
a — diodă Zener simulată prin tranzistor,  
b — diodă Zener îngropată.

tății în funcționare pe termen lung. În plus, dispersia mare cu care se obține tensiunea Zener nu permite controlul tehnologic în limite strânsse al tensiunii de referință.

Deficiențele semnalate s-au eliminat prin schimbarea tehnicii de realizare monolitică a diodei Zener (fig. 4.6 b).

Într-o zonă de tip P slab dopată, se realizează sub interfața Si— $\text{SiO}_2$ , prin implantare ionică un strat de tip P de concentrație mare. Difuzia de tip  $N^+$  este difuzia de emitor a tranzistoarelor NPN. Acest tip de diodă este cunoscut în literatura de specialitate sub numele de diodă Zener îngropată.

Străpungerea prin avalanșă se produce la interfața  $N^+P^+$  (unde gradientul de concentrație este maxim), zonă imună la efectele generate de suprafață (interfața Si— $\text{SiO}_2$ ). Efectul direct constă în ameliorarea substanțială a stabilității pe termen lung și în reducerea zgomotului. Grație implantării ionice reproductibilitatea tensiunii Zener este mult mai bună.

Trebuie menționat faptul că dioda Zener îngropată fiind inventată după 1972 nu s-a folosit în construcția stabilizatoarelor de tensiune continuă monolitice uzuale, ci numai în referințe de tensiune (exemplu LM 199 — National Semiconductor).

#### Referințe de tip „bandă interzisă“

În stabilizatoarele de tensiune fixă, obținerea tensiunii de ieșire cu o dispersie rezonabilă a constituit o problemă tehnologică delicată. Sursele de tensiune de referință realizate cu diode Zener s-au dovedit inadecvate, deoarece dispersia mare a valorii nominale a tensiunii Zener contribuia la o diminuare inaceptabilă a randamentului pe plachetă (procentul de cipuri cu circuite integrate bune din numărul total de cipuri existent pe o plachetă).

În consecință, s-a apelat la alte tehnici de circuit, la care tensiunea de referință să depindă de parametrii electrici ușor reproductibili. Un astfel de parametru este tensiunea jonctiunii bază-emitor polarizată direct la curent constant. Deoarece tensiunea bază-emitor are coeficientul de temperatură negativ, pentru compensarea termică ea trebuie însumată cu o tensiune, cu un coeficient de temperatură pozitiv; această tensiune este dată de diferența dintre tensiunile bază-emitor ( $\Delta V_{BE}$ ), a două tranzistoare care funcționează la densități de curent diferite. Diferența de tensiune  $\Delta V_{BE}$  se multiplică înainte de inserierea cu tensiunea  $V_{BE}$ , pentru a se putea realiza o echilibrare perfectă a coeficientilor de temperatură.

Schela electrică a sursei de tensiune de referință a cărei idee de funcționare a fost descrisă mai sus, cunoscută sub numele de referință tip bandă interzisă se prezintă în fig. 4.7. Deoarece această referință se bazează pe tensiunea directă bază-emitor, pe generatoare de curent

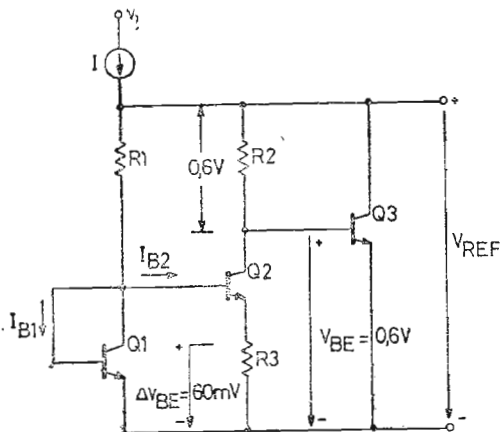


Fig. 4.7. Sursă de tensiune de referință tip bandă interzisă, pentru tensiuni de ieșire mici.

constant și pe rapoarte de rezistențe, se obține o bună reproductibilitate tehnologică.

Pentru o mai bună înțelegere a funcționării unei surse de tensiune de referință tip bandă interzisă, în cele ce urmează se recurge la cîteva relații matematice.

Tensiunea bază-emitor constituie unul dintre cei mai predictibili parametri electrici ai tranzistoarelor bipolare. Cunoscind valoarea sa,  $V_{BE0}$ , măsurată la un curent de colector  $I_{C0}$  și o temperatură a joncțiunii  $T_0$ , i se poate determina valoarea în orice condiție de curent de colector ( $I_C$ ) și de temperatură a joncțiunii ( $T$ ) prin relația:

$$V_{BE} = \frac{E_{G0}}{q} \left( 1 - \frac{T}{T_0} \right) + V_{BE0} \frac{T}{T_0} + (n-4) \frac{kT}{q} \ln \frac{T_0}{T} + \frac{kT}{q} \ln \frac{I_C}{I_0} \quad (4.12)$$

unde:  $E_{G0}$  reprezintă banda de energii interzise a siliciului la  $0^\circ\text{K}^*$ ,  
 $q$  — sarcina electronului,  
 $k$  — constanta lui Boltzman,  
 $T, T_0$  — temperaturi ale joncțiunii, exprimate în  $^\circ\text{K}$ .

Pentru densități de curent diferite  $J_1, J_2$ , prin joncțiunile bază emitor ale tranzistoarelor  $Q_1, Q_2$ , identice sub aspectul geometriei, al profilului de impurități și al temperaturii, se obține o diferență de tensiune egală cu:

$$\Delta V_{BE} = V_{BE1} - V_{BE2} = \frac{kT}{q} \ln \frac{J_1}{J_2} \quad (4.13)$$

Dacă  $R_1 > R_2$ , atunci  $J_1 > J_2$  și tensiunea  $\Delta V_{BE}$  are un coeficient de temperatură pozitiv. Tensiunea  $\Delta V_{BE}$  poate avea valori între  $50 \dots 100$  mV. Coeficientul său de temperatură ia valori între  $+0,16 \dots +0,32$  mV/ $^\circ\text{K}$  și este proporțional cu  $V_{BE}$ . Pentru a compensa o tensiune  $V_{BE}$  ( $650$  mV) al cărui coeficient de temperatură este de circa  $-2$  mV/ $^\circ\text{C}$  apare evidentă necesitatea amplificării tensiunii  $\Delta V_{BE}$ . Pentru circuitul din fig. 4.7 se obține  $(R_2/R_3) \Delta V_{BE}$ . Absența diodei Zener și faptul că amplificatorul tensiunii  $V_{BE}$  face parte chiar din sursa de tensiune de referință reduce foarte mult tensiunea de zgomot.

Inscrierea tensiunii  $\frac{R_2}{R_3} \Delta V_{BE}$  cu tensiunea  $V_{BE3}$  produce o tensiune care se poate compensa termic:

$$V_{REF} = \frac{E_{G0}}{q} \left( 1 - \frac{T}{T_0} \right) + V_{BE0} \frac{T}{T_0} + \frac{R_2}{R_3} \frac{kT}{q} \ln \frac{J_1}{J_2} ** \quad (4.14)$$

În domeniul temperaturii de funcționare a circuitelor integrate, variația cu temperatura a lățimii benzii de ener-

\* Măsurări experimentale de precizie, recente, au arătat că  $E_{G0}=1,185$  eV și  $n=1$  pentru tranzistoarele NPN, respectiv  $E_{G0}=1,205$  eV și  $n=2$  pentru tranzistoarele PNP verticale și laterale; diferența de lățime a benzii de energii interzise apare ca urmare a unor modificări survenite în rețeaua cristalină datorită dopajului diferit [30].

\*\* Contribuția ultimilor doi termeni din expresia (4.12) este neglijabilă.

gie interzise a siliciului ( $2,4 \times 10^{-4}$  eV/ $^{\circ}\text{K}$ ), este neglijabilă. Condiția de coeficient de temperatură nul al tensiunii  $V_{REF}$ , aplicată ultimei relații, conduce la egalitatea:

$$\frac{E_{gg}}{q} = V_{BE0} + \frac{R_2}{R_3} \frac{kT_0}{q} \ln \frac{J_1}{J_2} \quad (4.15)$$

Rezultă că dimensionind corespunzător rapoartele  $R_2/R_3$  și  $J_1/J_2$  se poate obține pentru  $V_{REF}$  un coeficient de temperatură teoretic nul. După cum se deduce, dimensionarea acestor rapoarte, deci și funcționarea întregului bloc, este strict legată de lățimea benzii de energie interzise a materialului semiconductor. Din acest motiv, sursele de tensiune de referință construite pe principiul descris mai sus poartă numele de „tip bandă interzisă”.

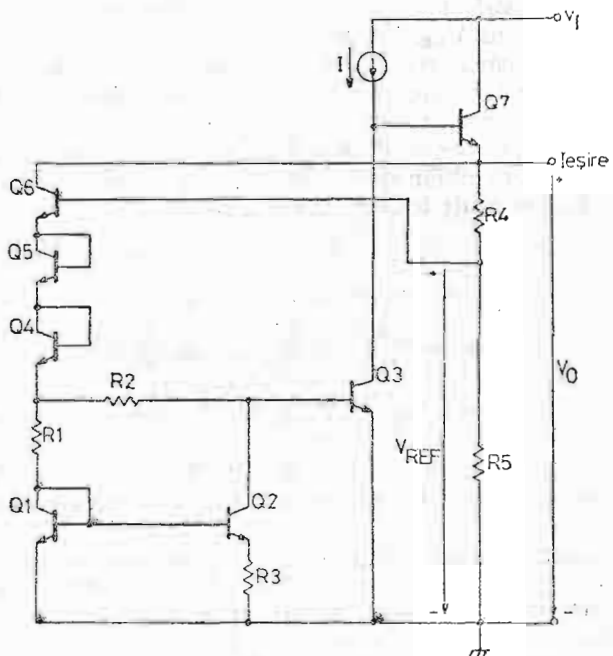


Fig. 4.8. Sursă de tensiune de referință tip bandă interzisă pentru tensiuni de ieșire mari.

Varianta de schemă descrisă furnizează o tensiune de referință de aproximativ 1,2 V, valoare impropriu pentru a obține la ieșirea stabilizatorului tensiuni mai mari de 6V. O modalitate de creștere a tensiunii unei referințe de tip bandă interzisă se prezintă în fig. 4.8.

Păstrând ipoteza egalității ariilor de emitor, pentru tranzistoarele  $Q_1$  și  $Q_2$ , tensiunea de referință se poate approxima prin expresia:

$$V_{REF} = V_{BE3} + V_{BE4} + V_{BE5} + V_{BE6} + \frac{R_2}{R_3} \cdot \frac{kT}{q} \ln \frac{R_2}{R_1} \quad (4.16)$$

Tensiunea de referință se multiplică la ieșirea din stabilizator prin factorul  $1+R_4/R_5$ . Această variantă de schemă se utilizează în seria de stabilizatoare monolitice 7800 (Fairchild).

Fig. 4.9, prezintă alte două modalități de realizare a unor surse de tensiune de referință tip bandă interzisă.

În circuitele integrate, obținerea unui raport între densitățile de curent prin joncțiunile emitor-bază a două tranzistoare se realizează ușor fără îndîncând funcționarea tranzistoarelor la curenți egali și dimensionind corespunzător raportul ariilor de emitor. Acest artificiu de proiectare se aplică în schema din fig. 4.9, b), pentru care se poate scrie:

$$V_{REF} = V_{BE2} + \frac{R_2}{R_1} \cdot \frac{kT}{q} \left( 1 + \frac{A_4}{A_3} \right) \ln \left( \frac{A_1}{A_2} \cdot \frac{A_4}{A_3} \right) \quad (4.17)$$

unde:  $A_i$  este aria de emitor a tranzistorului  $Q_i$ .

Sursele de tensiune de referință tip bandă interzisă realizate în tehnologii de tip MOS nu au cunoscut o răspândire comercială suficientă pentru a se justifica o descriere detaliată a funcționării lor. Cu titlu informativ, se remarcă utilizarea pentru generarea componentei de tensiune  $V_x$  cu coeficient de temperatură pozitiv, a unor tranzistoare MOS, care funcționează în regim de inversie incipientă (fig. 4.10).

În acest regim, caracteristica curent de drenă funcție de tensiunea poartă-sursă a tranzistorului MOS cu canal n poate fi considerată ca echivalentă cu caracteristica cu-

rent de colector funcție de tensiunea bază-emitor a tranzistorului bipolar. Controlul asupra mărimeii tensiunii cu coeficient pozitiv se obține prin alegerea corespunzătoare

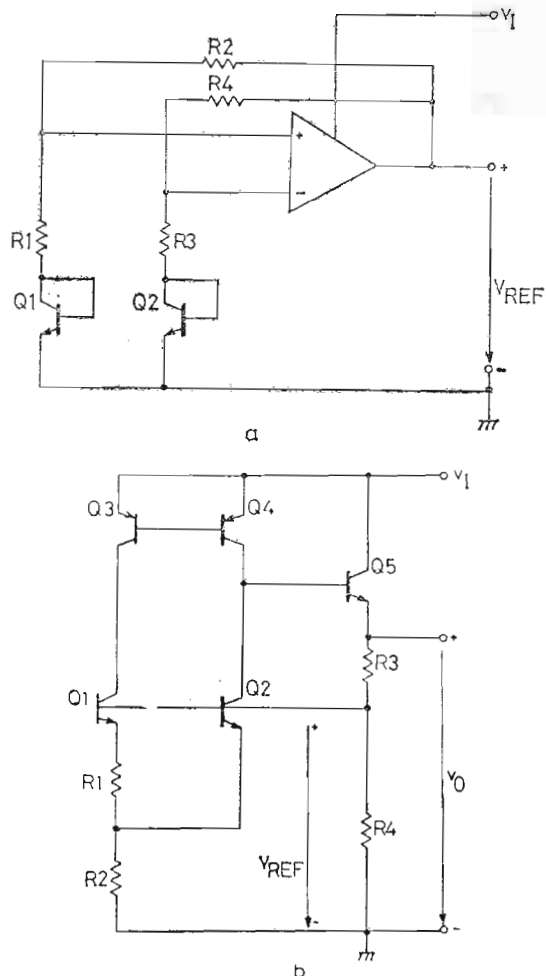


Fig. 4.9. Variante de realizare a surselor de tensiune de referință tip bandă interzisă.

a rapoartelor  $Z/L$  ( $Z$  și  $L$  reprezintă lățimea, respectiv lungimea canalului) pentru tranzistoarele MOS și a raportului  $R_3/R_4$ .

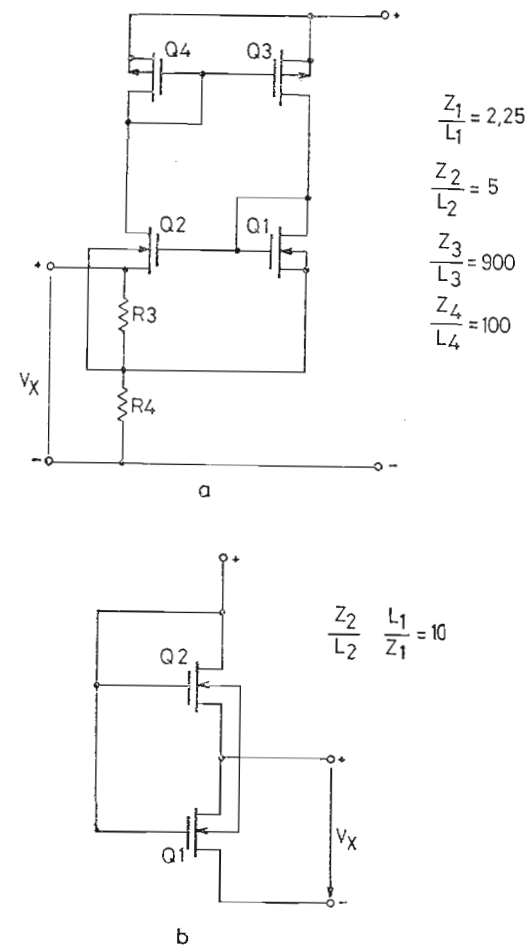


Fig. 4.10. Modalități de furnizare a unei tensiuni cu coeficient de temperatură pozitiv în tehnologia CMOS.

#### 4.1.2. Amplificator de eroare

În alcătuirea amplificatorului de eroare intră unul sau două etaje diferențiale de amplificare. De obicei, rezistențele de sarcină din aceste etaje se înlocuiesc prin generațoare de curent, realizate cu tranzistoare, în scopul creșterii amplificării și al economisirii de arie pe cip.

Deoarece stabilizările de intrare și de sarcină sunt direct afectate de mărimea amplificării de tensiune în buclă deschisă, creșterea acesteia constituie scopul principal în proiectarea amplificatorului de eroare; în afara acestei caracteristici se impune ca:

- tensiunea și curentul de decalaj la intrare să aibă valori cît mai mici (mV, respectiv  $\mu A$ ),
- coeficientul de rejetie la intrare a tensiunii de alimentare cît mai mare,
- stabilitate în frecvență,
- rezistență dinamică de ieșire cît mai mică.

Intrarea în oscilație la frecvențe ridicate a amplificatorului se evită prin compensare în frecvență; majoritatea stabilizatoarelor de tensiune continuă conțin rețeauna de compensare implementată (integrată) în cip. Există însă și tipuri de stabilizatoare, așa cum se va arăta, la care această posibilitate este lăsată la îndemâna utilizatorului. De menționat că o compensare prin reducerea exagerată a benzii de frecvență este neindicată, deoarece conduce la creșterea impedanței de ieșire a stabilizatorului la frecvențe înalte.

#### 4.1.3. Element regulator serie

Elementul regulator serie (fig. 4.11) realizează următoarele funcții:

- reduce tensiunea de ieșire la nivelul specificat sub controlul buclei de reacție a amplificatorului de eroare,
- furnizează curentul de ieșire,
- reduce sau blochează curentul de ieșire la comanda circuitelor de protecție,

— contribuie la reducerea rezistenței de ieșire a stabilizatorului.

Componenta principală a elementului regulator serie o constituie tranzistorul  $Q_s$ , pentru care se adoptă de obicei o configurație Darlington; la stabilizatoarele de tensi-

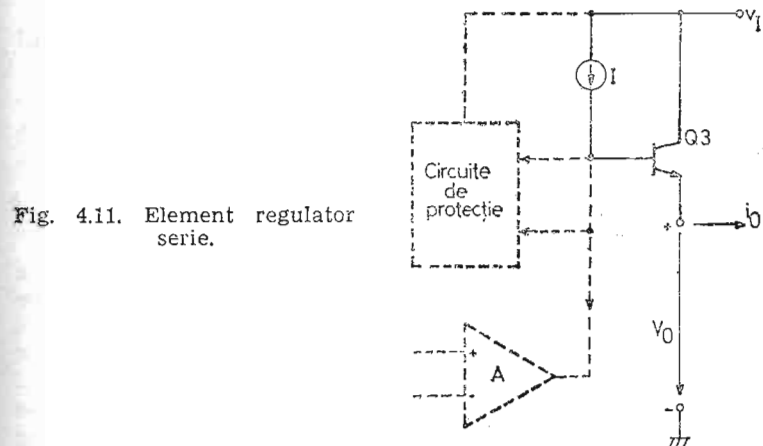


Fig. 4.11. Element regulator serie.

une continuă de putere aria sa ocupă peste 60% din aria întregului cip. Funcționând în montaj repetor pe emitor, tranzistorul serie  $Q_s$  reduce de  $\beta$  ori rezistența de ieșire a stabilizatorului.

Polarizarea bazei tranzistorului  $Q_s$  printr-un generator de curent constant  $I$ , permite tensiunii de ieșire să ia valori într-un domeniu relativ larg. Comanda tranzistorului serie se efectuează prin deturnarea parțială sau totală a curentului  $I$ .

#### 4.1.4. Circuite de protecție

Cea mai mare parte din puterea consumată de stabilizator se disipa pe tranzistorul serie. Scurt-circuitarea accidentală a ieșirii la masă conduce la creșterea curentului de ieșire și, corespunzător, la o disipație de putere suplimentară. Evacuarea căldurii rezultate este limitată de per-

formanțele termice ale capsulei. Temperatura cipului poate crește excesiv conducând la distrugerea circuitului integrat. Ca urmare se impune protejarea stabilizatorului la:

- depășirea unei temperaturi limită pe cip (joncțiune);
- creșterea peste o anumită limită a curentului de ieșire;
- depășirea unei puteri disipate limită pe tranzistorul serie.

Realizarea pe același cip cu stabilizatorul a circuitelor de protecție la acțiunea factorilor distructivi enumerați și îmbunătățit considerabil fiabilitatea circuitelor integrate din această clasă.

### Protecție termică

Modalitatea cea mai răspândită de protejare termică a stabilizatorului de tensiune continuă este ilustrată în fig. 4.12.

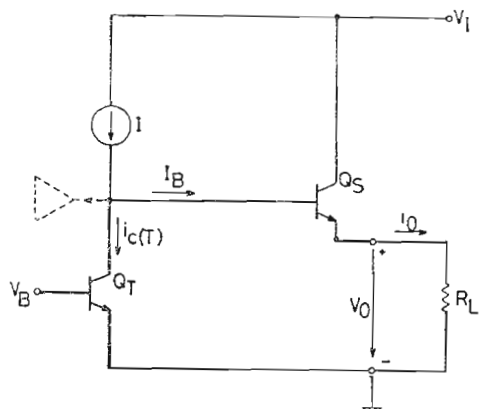


Fig. 4.12. Circuit de protecție termică.

Drept senzor termic se folosește joncțiunea bază-emitor a tranzistorului  $Q_T$ , plasată pe cip în vecinătatea tranzistorului serie  $Q_S$ , care constituie principala sursă de căldură. Baza tranzistorului  $Q_T$  se prepolarizează la o tensiune  $V_B = 300 - 400$  mV. La o temperatură a joncțiunii de

$25^\circ\text{C}$ , curentul de colector al tranzistorului  $Q_T$  este mai mic cu circa 4 ordine de mărime față de curentul  $I$  debitat de generator. În aceste condiții se poate admite că tranzistorul  $Q_T$  este practic blocat. Considerind curentul generatorului  $I$  și potențialul  $V_B$  independente de temperatură, curentul  $i_B$  de polarizare a bazei tranzistorului serie scade odată cu creșterea temperaturii  $T$  după o lege de tip exponentiaș.

$$i_{B(T)} = I - I_0 a T^{n-4} \exp\left(-\frac{b}{T}\right) \quad (4.18)$$

unde  $I_0$  este curentul de colector al tranzistorului senzor  $Q_T$  la  $T=298^\circ\text{K}$ ;  $a$ ,  $b$ ,  $n$  sunt constante care depind de material, proces tehnologic și de geometria tranzistorului  $Q_T$ .

În momentul în care temperatura joncțiunii atinge valoarea maxim admisă  $T_M$ , curentul  $i_B$  atinge o valoare suficient de mică pentru a întrerupe practic disipația de putere, prin tăierea curentului de ieșire. Introducerea unui hysteresis elimină pericolul oscilațiilor termice în jurul temperaturii  $T_M$ . Cea mai simplă metodă de producere a hysteresisului constă în creșterea tensiunii de polarizare  $V_B$  cu cîteva zeci de mV, la  $T=T_M$ . Tranzistorul serie va rămîne blocat pînă la scăderea temperaturii cu circa  $20-30^\circ\text{C}$  sub valoarea maxim admisă  $T_M$ .

Amplasarea pe cip a tranzistorului senzor  $Q_T$  și a componentelor din circuitul care îi furnizează tensiunea de prepolarizare, în raport cu tranzistorul serie, joacă un rol important în asigurarea hysteresisului termic.

### Limitare de curent la ieșire

Protejarea stabilizatorului la scurt circuit la ieșire sau la suprasarcină se realizează prin limitarea curentului de ieșire. Cel mai simplu limitator de curent se prezintă în fig. 4.13.

La nivele mici și medii ale curentului de ieșire, cădereea de tensiune pe rezistorul  $R_{sc}$  este insuficientă pentru a deschide tranzistorul de limitare  $Q_L$ . Creșterea curentului de ieșire va determina atingerea pe rezistorul  $R_{sc}$  a tensiunii de deschidere a tranzistorului  $Q_L$ . Din acest mo-

ment, o parte din curentul de polarizare a bazei tranzistorului serie  $Q_S$  va fi deturnată prin colectorul lui  $Q_L$  și, în consecință, curentul de ieșire se va limita la valoarea  $I_{OM}$  care a comandat deschiderea tranzistorului de limitare.

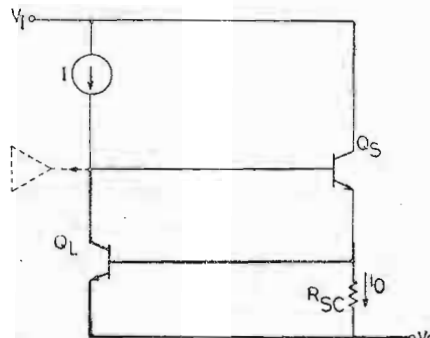


Fig. 4.13. Circuit de limitare a curentului de ieșire.

$$I_{OM} = \frac{V_{BEL}}{R_{SC}} \quad (4.19)$$

Modul de conectare a tranzistorului de sesizare a limitării conduce la o serie de deficiențe. Valoarea minimă a diferenței de tensiune intrare-iesire se mărește cu  $V_{BE}$ , ceea ce crește puterea disipată intern. Rezistența  $R_{SC}$  necesară limitării curentului de ieșire la circa 100 mA prezintă valori de 6–7 Ω. Avind în vedere că această rezistență contribuie la creșterea rezistenței de ieșire a stabilizatorului, apare evidentă o deteriorare a stabilizării de sarcină. Sub aspect termic, limita de curent  $I_{OM}$  este dependentă de temperatură.

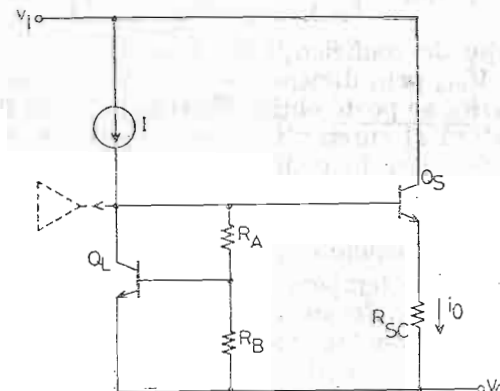
Primele două deficiențe enumerate se pot atenua prin reducerea căderii de tensiune pe  $R_{SC}$  necesară deschiderii tranzistorului  $Q_L$  (fig. 4.14).

În condiții de curent de ieșire redus, prin divizorul rezistiv  $R_A, R_B$  se prepolarizează jonctiunea bază-emitor a tranzistorului  $Q_L$  la 400 mV. Astfel căderea de tensiune pe rezistorul  $R_{SC}$  necesară deschiderii tranzistorului de limitare se reduce la 0,3  $V_{BEL}$ . Pentru schema din fig. 4.14, a

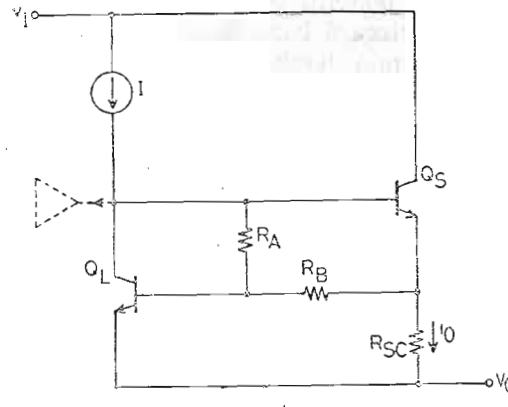
valoarea curentului maxim de ieșire se determină cu relația:

$$I_{OM} = \frac{1}{R_{SC}} \left[ \left( 1 + \frac{R_A}{R_B} \right) V_{BEL} - V_{BE} \right] \quad (4.20)$$

unde  $V_{BE}$  este tensiunea bază-emitor a tranzistorului  $Q_S$ .



a



b

Fig. 4.14. Limitator de curent cu  $R_{SC}$  redusă.

Se remarcă reducerea dependenței de temperatură a curentului maxim de ieșire, deoarece raportul  $R_A/R_B$  este subunitar.

Pentru limitatorul de curent din fig. 4.14, b curentul maxim de ieșire este dat în relația:

$$I_{OM} = \frac{1}{R_{SG}} \left( V_{BEL} - \frac{R_B}{R_A + R_B} V_{BE} \right) \quad (4.21)$$

În funcție de coeficienții de temperatură ai tensiunilor  $V_{BEL}$  și  $V_{BE}$ , prin dimensionarea corespunzătoare a raportului  $R_A/R_B$ , se poate obține fie reducerea coeficientului de temperatură al curentului maxim de ieșire, fie tăierea curentului de ieșire în momentul în care temperatura pe joncțiune atinge o valoare critică. Deși schema poate compri două tipuri de protecție (la scurtcircuit și termică) nu a cunoscut o răspindire prea largă.

Dependența de temperatură a limitei de curent de ieșire se elimină complet în schema din fig. 4.15, a. Funcționarea acesteia se înțelege mai ușor urmărindu-se varianta de schemă simplificată (fig. 4.15, b).

Generatorul de curent constant  $I$ , polarizează baza tranzistorului  $Q_2$ . Curentul de emitor debitat de  $Q_2$  se divide în două componente principale:

- $i_{BS}$  — polarizează baza tranzistorului serie  $Q_S$ ;
- $i_R$  — comandă deschiderea primului tranzistor limitator  $Q_1$ .

Cind curentul absorbit de generatorul  $I_3$  este nul,  $i_R = 0$ ,  $Q_1$  este blocat. Întreg curentul debitat de  $Q_2$  contribuie la creșterea curentului de ieșire  $i_0$ . Tensiunea de sesizare a nivelului maxim admis pentru curentul  $i_0$  se culege pe rezistorul  $R_{SC}$  și comandă creșterea curentului absorbit de generatorul  $i_3$ . Ca urmare, are loc o reducere a curentului  $i_{BS}$  pe două căi:

- prin creșterea componentei  $i_R$ ;
- prin limitarea curentului debitat de  $Q_2$ , deoarece deschizîndu-se tranzistorul  $Q_1$ , o parte din curentul furnizat de generatorul  $I$  se va deturna.

În consecință, se va ajunge la o limită maximă a curentului  $i_{BS}$  și corespunzător a curentului de ieșire.

Revenind la schema completă a limitatorului, se observă că generatorul de curent  $i_3$  se realizează cu tranzistorul  $Q_3$ . Comanda sa se efectuează prin comutatorul  $Q_4$ . La nivele reduse ale curentului de ieșire, divisorul rezisitiv  $R_A$ ,  $R_B$  saturează tranzistorul  $Q_4$ , ceea ce asigură bloc-

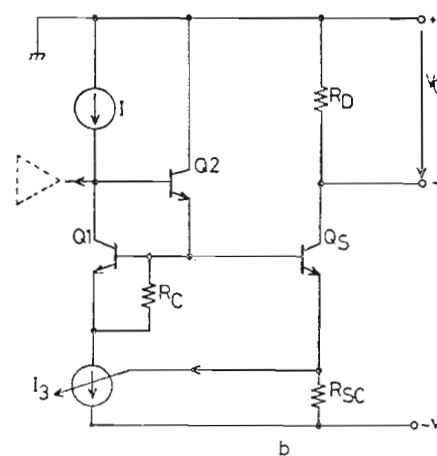
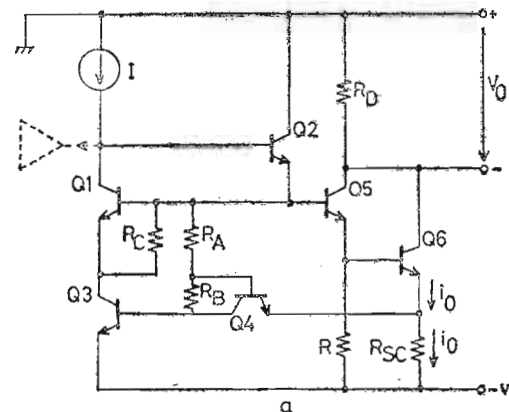


Fig. 4.15. Limitator de curent cu compensare termică:

a — schemă electrică completă; b — schemă electrică simplificată.

carea tranzistorului  $Q_3$ . Creșterea curentului prin rezistorul  $R_{SC}$  produce o creștere a tensiunii  $V_{BE3}$ , tensiunea  $V_{BE4}$  se reduce, potențialul colectorului  $Q_4$  crește, tranzistorul  $Q_3$  se deschide și absoarbe un curent  $i_3$  din ce în ce mai mare. Se poate ajunge la saturarea puternică a tranzistorului  $Q_3$  și blocarea lui  $Q_4$ .

Valoarea maximă a curentului de ieșire se poate approxima prin relația:

$$I_{OM} = \frac{1}{R_{SC}} \left[ (V_{BE3} - V_{BE4}) + \frac{R_B}{R_A} (V_{BES} + V_{EE6} - V_{BE3}) \right] \quad (4.22)$$

Alegind corespunzător raportul arilor de emitor pentru tranzistoarele  $Q_3$  și  $Q_4$ , primul termen din paranteza dreaptă va furniza o tensiune cu coeficient de temperatură pozitiv. Cel de-al doilea termen prezintă o tensiune cu coeficient de temperatură negativ (în jur de  $-2 \text{ mV}/^\circ\text{C}$ ), care se poate atenua prin raportul  $R_A/R_B$  astfel ca valoarea curentului  $I_{OM}$  să fie teoretic independentă de temperatură.

Acum tip de limitator de curent se utilizează în stabilizatoare de tensiune continuă din seria 7900 (Fairchild) și la cele de uz general cu trei terminale produse de firma National Semiconductor.

### Limitare de putere disipată intern

Puterea consumată de circuitul de stabilizare reprezintă o fracțiune relativ neglijabilă în comparație cu puterea disipată pe tranzistorul serie. Tensiunea colector-emitor a tranzistorului serie este aproximativ diferența de tensiune intrare-ieșire. În aceste condiții, planul caracteristicii  $I_C(V_{CE})$  pentru tranzistorul serie, devine echivalent cu planul caracteristicii  $I_0(v_I - V_0)$  pentru stabilizator. Limita de putere maxim admisă a capsulei împarte planul amintit prin hiperbola:

$$i_0 = \frac{P_{DM}}{v_I - V_0} \quad (4.23)$$

în două zone (fig. 4.16).

Cât timp punctul static de funcționare al tranzistorului serie se află în zona de sub curba  $P_{DM}$ , capsula este capabilă să eliminate căldura produsă prin disipația de putere internă. De obicei această zonă cuprinde și aria de siguranță\* a tranzistorului. A proteja stabilizatorul la depășirea

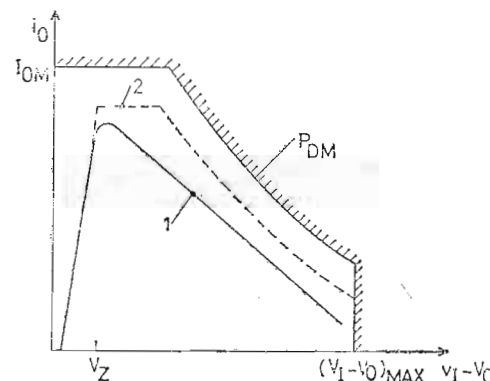


Fig. 4.16. Curbe de protecție a tranzistorului serie prin funcționare în aria de siguranță.

rea puterii interne disipate maxim admise revine la a asigura funcționarea tranzistorului serie în aria de siguranță.

Construcția circuitelor care îndeplinește această funcție se bazează pe un limitator de curent. În circuitul din fig. 4.17, dacă diferența de tensiune  $(v_I - V_0)$  este mai mică decât  $(V_Z + V_{BE})$ , dioda Zener este blocată și limitatorul de curent operează conform descrierii anterioare.

Când diferența de tensiune  $(v_I - V_0)$  depășește  $(V_Z + V_{BE})$ , prin rezistorul  $R_B$  circulă un curent, care reduce căderea de tensiune pe rezistorul  $R_{SC}$  necesară deschiderii tranzistorului de limitare  $Q_L$ . Ca urmare, curentul maxim care

\* Aria de siguranță indică limitele curentului de colector și ale tensiunii colector-emitor sub care tranzistorul nu intră în strâpungere secundară — Safe Operating Area (engl.).

poate fi furnizat de stabilizator se reduce, deci și puterea internă dissipată pe tranzistorul serie.

$$i_{OM} = \left[ \frac{1}{R_{SC}} \left( 1 + \frac{R_B}{R_A} \right) V_{BEL} - \frac{R_B}{R_A} (v_I - V_0 - V_Z) \right] \quad (4.24)$$

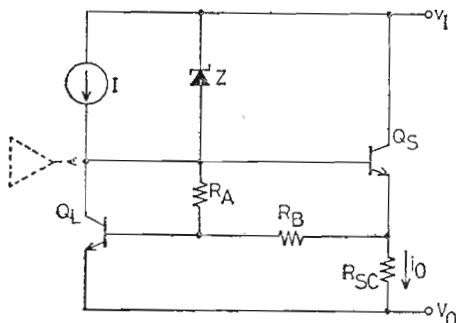


Fig. 4.17. Limitator de putere internă dissipată.

De obicei:  $I_Z \ll I_{OM}$  și  $\frac{R_B}{R_A} \ll 1$

Valoarea maximă pentru curentul de ieșire limită  $i_{OM}$  se alege astfel încât dreapta definită prin relația de mai sus să nu intersecteze hiperbola  $P_{DM}$  nici în cele mai grele condiții de funcționare.

Dintre deficiențele acestei scheme se amintesc:

- scăderea cu creșterea temperaturii a curentului maxim livrabil la ieșire;

- posibilitatea producerii unui fenomen de agățare în caz de scurt-circuit la ieșire (diferența  $v_I - V_0$  devine egală cu  $V_Z$ , tranzistorul  $Q_L$  se saturează puternic fără a avea asigurată prin circuitul integrat o cale rezistivă de scurgere a sarcinii stocate în bază pentru revenirea în condiții normale);

- neutilizarea eficientă a performanțelor capsulei (aria cuprinsă între curbele 1 și  $P_{DM}$  reprezintă un procent prea mare din întreaga aria de siguranță).

Acstea deficiențe se înlătură la schema din fig. 4.18.

Inainte de toate, se remarcă folosirea limitatorului care asigură o independență a limitei de curent maxim debitat la ieșire de variația temperaturii. Ideea principală constă în utilizarea unui comutator compus din două tranzis-

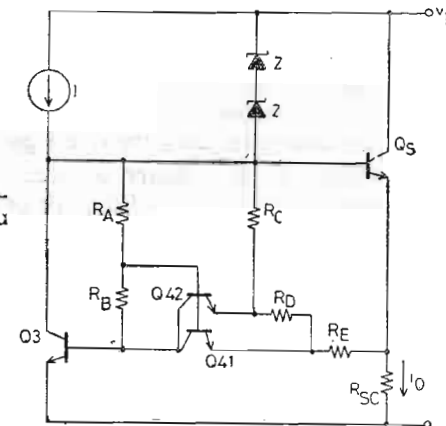


Fig. 4.18. Limitator de putere internă dissipată cu compensare termică.

toare  $Q_{41}$ ,  $Q_{42}$  conectate în paralel. Între ariile lor de emitor există un raport de aproximativ 9 : 1.

La o diferență de tensiune intrare-ieșire mai mică decât  $2V_Z + V_{BE}$ , cele două tranzistoare din comutator sunt saturate. Funcționarea limitatorului de curent se produce conform descrierii anterioare.

Cind diferența de tensiune  $(v_I - V_0)$  depășește  $(2V_Z + V_{BE})$  un curent  $I_Z$ , crescător cu depășirea, se va injecta prin rezistorul  $R_D$ . Ca efect, se produce o reducere a curentului de colector al tranzistorului  $Q_{42}$  după o lege neliniară, ceea ce aproape de deschidere tensiunea bază-emitor a tranzistorului  $Q_3$ . În consecință, limita maximă a curentului furnizat la ieșire prezintă în funcție de  $(v_I - V_0)$ , o variație de tip neliniar, care aproximează foarte bine forma hiperbolei  $P_{DM}$  (vezi fig. 4.16 curba 2). Corelarea rapoartelor dintre ariile de emitor ale tranzistoarelor  $Q_3$ ,  $Q_{41}$ ,  $Q_{42}$  cu rapoartele  $R_A/R_B$  și  $R_D/R_E$  permite o compensare termică excelentă a acestei caracteristici. Fenomenele

de agățare în caz de scurt-circuit la ieșire dispar, deoarece la revenirea în condiții normale de sarcină, comutatorul se saturează.

#### 4.1.5. Rețea de polarizare

Tehnologia monolithică garantează obținerea unor caracteristici foarte bune de imperechere a parametrilor tranzistoarelor și de cuplaj termic între componentele integrate pe același cip. Acest fapt facilitează realizarea unor generatoare de curent cu performanțe ridicate.

Rețeaua de polarizare se compune dintr-o suță de generatoare de curent. În fig. 4.19 se prezintă rețeaua de polarizare a stabilizatorului de tensiune dual ROB 1468.

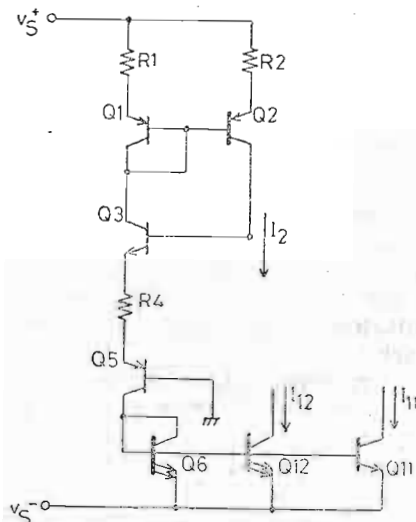


Fig. 4.19. Rețeaua de polarizare în stabilizatorul dual ROB 1468.

Alimentarea blocurilor funcționale prin generatoare de curent constant contribuie la îmbunătățirea performanțelor stabilizatorului. Utilizarea generatoarelor de curent în sursa de tensiune de referință reduce valoarea stabilizării de intrare. Funcționarea amplificatorului de eroare

la curent constant are ca efect creșterea coeficientului de rejecție la intrare a variației tensiunii de alimentare. Polarizarea tranzistorului serie printr-un generator de curent constant simplifică comanda acestuia și permite livrarea tensiunii de ieșire într-un domeniu relativ larg.

Ca efect global asupra stabilizatorului se menționează păstrarea curentului consumat în gol constant pe întreg domeniul tensiunii de intrare, proprietate pe care se bazează funcționarea unor aplicații.

#### 4.1.6. Circuite de pornire

În paragrafele precedente, descrierea tehniciilor de circuit s-a efectuat admitînd plasarea tranzistoarelor în punctele statice de funcționare dorite. Ipoteza este valabilă cu condiția ca generatoarele de curent din rețeaua de polarizare să atingă nivelele de curent necesare. La unele stabilizatoare alimentarea generatoarelor de curent se efectuează de la tensiunea de ieșire, care la momentul inițial ( $t = 0$ ) este nulă. Se impune introducerea unui circuit de pornire, care să inițialeze și să mențină curgerea curentilor prin ramurile circuitului independent de condițiile de la ieșire.

În regim normal de funcționare consumul circuitului de pornire nu trebuie să afecteze valoarea curentului consumat în gol.

În circuitul din fig. 4.20 curgerea curentilor prin rețeaua de polarizare se condiționează de existența unei tensiuni  $V_0$  nenule la ieșire. În momentul conectării tensiunii de intrare,  $V_0=0$ , tranzistorul  $Q_4$  este blocat. Tranzistorul  $Q_1$  se polarizează prin  $R_1$  și forțează deschiderea tranzistorului  $Q_3$ . Curentul absorbit prin  $Q_3$  aduce rețeaua de polarizare în regim normal de funcționare. Dioda Zener limitează creșterea potențialului pe baza tranzistorului  $Q_3$  la:

$$V_{B3} = \frac{R_3}{R_2 + R_3} (V_Z - V_{BE1}) \quad (4.25)$$

Dimensionînd corespunzător raportul  $R_4/R_5$ , potențialul pe emitorul tranzistorului  $Q_4$  va crește suficient pentru a bloca tranzistorul  $Q_3$ . Funcția de alimentare cu curent a rețelei de polarizare se preia de tranzistorul  $Q_4$ .

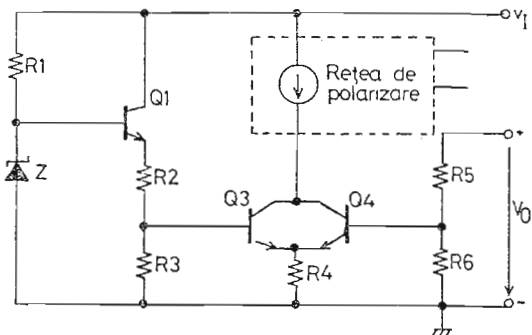


Fig. 4.20. Circuit de pornire.

Minimizarea curentului consumat de circuitul de pornire recurge la rezistențe de valori mari pentru  $R_1$ ,  $R_2$  și  $R_3$ , dificil de integrat.

La aplicarea tensiunii de intrare pe circuitul din fig. 4.21 rezistorul  $R_1$  și dioda  $D$  asigură deschiderea tranzistorului  $Q$ . Creșterea curentului său de colector este urmată de o creștere a curenților prin rețeaua de reacție. În momentul în care potențialul pe baza tranzistorului  $Q$  egalează tensiunea Zener a diodei  $Z_2$ , dioda  $D$  se blochează ( $V_{Z1}=V_{Z2}$ ). Deși curentul consumat de circuitul de polarizare are o valoare mai mică, variația sa, proporțională cu variația tensiunii de intrare, este supărătoare.

Înlocuirea rezistorului  $R_1$  printr-un generator de curent realizat cu un tranzistor cu efect de cîmp cu jonecțiune (fig. 4.22) elimină această deficiență. În condiții de tensiune drenă-sursă mai mică decît tensiunea de prag și de tensiune grilă-sursă redusă, tranzistorul cu efect de cîmp prezintă între drenă și sursă o rezistență de valoare mică. Intrarea tranzistorului în zona de saturatie mărește considerabil această rezistență, ceea ce justifică echivalarea tranzistorului  $Q_1$  cu un generator de curent.

La aplicarea tensiunii de intrare  $v_I$ , valoarea mică a rezistenței drenă-sursă facilitează deschiderea tranzistorului  $Q_2$ , care forțează creșterea curentului prin rețeaua de polarizare. Cînd curentul absorbit de generatorul  $I$

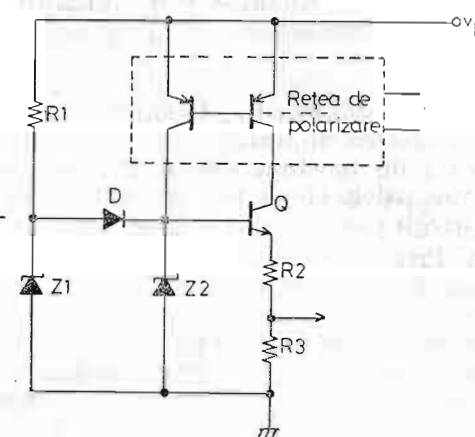


Fig. 4.21. Circuit de pornire.

ajunge la o valoare suficient de mare pentru a polariza dioda  $Z_2$ , tranzistorul  $Q_2$  se blochează.

Creșterea tensiunii drenă-sursă obligă tranzistorul  $Q_1$  să intre în regiunea de saturatie. Funcționarea sa pe post

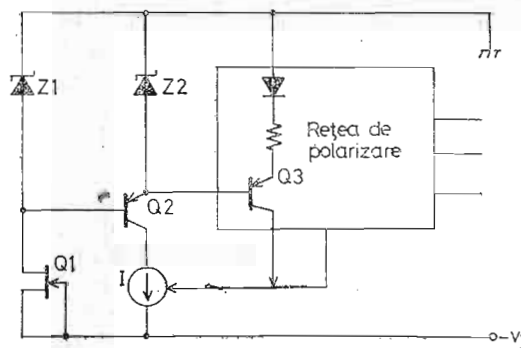


Fig. 4.22. Circuit de pornire cu tranzistor J-FET.

de generator de curent constant, desensibilizează consumul circuitului de pornire la variațiile tensiunii de alimentare.

#### 4.2. Stabilizatoare de tensiune continuă, monolitice, de uz general

În istoria de peste 15 ani de la lansarea în fabricație, generalizarea și utilizarea practică a familiei de stabilizatoare de tensiune de uz general, integrate, se regăsesc principalele elemente care marchează momentele evoluției întregii clase de stabilizatoare monolitice.

Prima generație, dominată de ideea utilizărilor multiple, a apărut la sfîrșitul deceniului al șaptelea. Prin însăși modul de construcție a circuitelor, utilizatorului i se permite accesul la intrările și ieșirile blocurilor funcționale. Același tip de circuit integrat se poate folosi pentru realizarea unei multitudini de configurații. Circuitele caracteristice primei generații ( $\mu\text{A}$  723; LM 304; LM 305 etc.) se folosesc la realizarea de surse de tensiune stabilizată, pozitivă sau negativă, liniare și în comutație, precum și la realizarea de generatoare de curent constant, de stabilizatoare de temperatură, de intensitate luminoasă etc. Indiferent de domeniul de aplicație, utilizatorului i se cere numai efortul de a alege tipul protecției la scurtcircuit și limita currentului maxim de ieșire. Evident, stabilizatoarele din prima generație se livrează în capsule cu mai mult de 3 terminale (de mică putere), ceea ce înseamnă că s-a sacrificat ideea furnizării unui curent de valoare mare la ieșirea în favoarea ideii de versatilitate maximă.

Un compromis între cele două idei, marind o perfecționare a tehnicii, s-a realizat la stabilizatoarele cu 4 terminale, ( $\mu\text{A}$  78 G;  $\mu\text{A}$  79 G), unde s-au integrat circuite de protecție (la scurtcircuit la ieșire, protecție termică, funcționarea tranzistorului serie în aria de siguranță) și un tranzistor serie de putere. Utilizatorul are acces la intrarea neinversoare a amplificatorului de eroare, astfel că poate ajusta nivelul tensiunii de ieșire la valoarea

dorită. Aplicațiile lor acoperă încă în prezent un domeniu larg, iar performanțele electrice sunt întrucâtva diferite față de cele ale stabilizatoarelor din prima generație. Aceste circuite nu se pot considera ca o nouă linie de evoluție, ci doar ca o verigă de tranziție.

O concepție nouă de schemă electrică s-a implementat în stabilizatoarele monolitice de uz general din generația a doua (LM 317, LM 337). Aceste stabilizatoare aparute în a doua jumătate a deceniului 8, conțin integrate circuite de protecție perfectionate, un tranzistor de putere (1,5 A), folosesc o schemă electrică de tip flotant și nu necesită decit trei terminale. Stabilizatoarele respective se livrează în capsule specifice tranzistoarelor. Sub aspectul aplicațiilor, domeniul lor este puțin mai restrins comparativ cu prima generație, însă utilizarea este mult simplificată.

În paragrafele următoare se prezintă caracteristicile celor două generații de stabilizatoare de tensiune continuă de uz general și tehniciile de circuit legate de construcția aplicațiilor specifice pentru fiecare generație.

##### 4.2.1. Stabilizatoare din prima generație

Accesul la intrările și ieșirile blocurilor funcționale integrate în stabilizator permite un cîmp larg de manifestare a fanteziei tehnice a utilizatorului. Totodată, trebuie remarcat că stabilizatoarele de acest gen reclamă cunoștințe tehnice profunde și detaliate.

În acest scop, după descrierea caracteristicilor tehnice ale circuitelor integrate reprezentative din familie, se analizează tehniciile legate de circuitele auxiliare de protecție (suprasarcină și supratensiuni în regim tranzitoriu) și de extinderea domeniilor de tensiune și curent la ieșire. În completare, dată fiind larga popularitate printre utilizatori a circuitelor  $\mu\text{A}$  723, LM 305, LM 304, se vor prezenta și cîteva aplicații mai puțin uzuale ale acestora.

###### Caracteristici

Din punctul de vedere al aplicațiilor, stabilizatoarele din această generație prezintă următoarele caracteristici:

Stabilizatoare de tensiune continuă

Tip circuit	Tip capsula	$P_{DM}$	$v_I$	$V_0$
			W	V
<i>Tensiune pozitivă</i>				
ROB 305	TO-99	0,5	8,5...40	4,5...30
ROB 723	TO-116	0,9	9,5...40	2 ...37
MC 1469G	TO-100	0,68	9 ...20	2,5...17
<i>Tensiune negativă</i>				
ROB 304	TO-100	0,5	-8 ...-40	-0,035...-30
MC 1463 G	TO-100	0,68	-9,5...-35	-3,8...-32

\* — nespecificat (se poate conta pe un curent de ieșire maxim

- necesită 4...6 componente pasive exterioare,
- curentul maxim de ieșire nu depășește 250 mA,
- alegerea circuitelor de protecție se lasă în sarcina utilizatorului.

— puterea disipată intern maxim admisă\* este sub 1 W.  
Ultima caracteristică s-a impus prin folosirea capsulelor de mică putere (metalice TO-99, TO-100 și plastic TO-116). Fac excepție stabilizatoarele realizate în capsulă de tranzistor de putere, tip TO-3 cu 9 terminale MC 146 0R, MC 1463 R, MC 1469 R), însă costul ridicat al capsulei de putere limitează utilizarea lor numai la cazuri de excepție.

Referitor la performanțele electrice, stabilizatoarele de tensiune continuă de uz general se caracterizează prin:

\* Fără radiator suplimentar.

Tabelul 4.1.

de uz general — prima generație

$ v_I - V_0 $	$I_{0M}$	$K_V$	$K_L$	$K_T$	$I$
V	mA	%	%	%/ $^{\circ}\text{C}$	mA
3 ...30	*	$0,03 \times \Delta v_I$	$0,05$ (0...20 mA)	0,015	2
3 ...38	150	$0,5$ (12...40 V)	$0,2$ (0...50 mA)	0,015 0,015	4
3 ...17,5	250	$0,03 \times \Delta v_I$	$0,13$ (1...50 mA)	0,02	12
2,5...40	*	$\frac{0,1}{\Delta v_I} V_I$	$5$ mA (0...20 mA)	0,015	2,5
3,8...31	250	$0,03 \times \Delta v_I$	$0,05$ (1...50 mA)	0,02	12

de 50 mA).

— stabilizare de intrare mai bună de 0,5%, pentru o variație a tensiunii de intrare pe întreg domeniul admis prin datele de catalog.

— stabilizare de sarcină mai bună de 0,2%, pentru o variație a curentului de ieșire de 1 mA la 20 mA,

— coeficientul de temperatură al tensiunii de ieșire sub 10%, pentru o variație a temperaturii în întreg domeniul de funcționare,

— curent consumat în gol sub 12 mA.

În tabelul 4.1 se prezintă caracteristicile electrice la variantele comerciale ale principalelor tipuri de stabilizatoare de uz general din prima generație.

În afara parametrilor electrici, definiti în paragraful 1, 2, pentru aceste stabilizatoare se menționează și următoarele caracteristici:

— curentul maxim de ieșire debitat din sursa de tensiune de referință,  $I_{0R}$ ,

— tensiunea de sesizare,  $V_{SE}$ , care reprezintă valoarea minimă a căderii de tensiune necesară pe rezistorul exterior,  $R_{SC}$ , de fixare a limitei maxime a curentului de ieșire, pentru declanșarea procesului de limitare.

#### Tipuri reprezentative

Stabilizatoarele LM 304 (ROB 304), LM 305 (ROB 305), μA 723 (ROB 723, βA 723)\*, prin performanțe, aplicații și răspândire comercială s-au impus ca tipuri reprezentative în categoria stabilizatoarelor de tensiune din prima generație.

##### a) Stabilizatorul ROB 305 (fig. 4.23)

Tranzistorul TEC cu joncțiune  $Q_{18}$  asigură pornirea celor trei generatoare de curent realizate cu tranzistorul PNP lateral cu trei colectoare,  $Q_{12}$ . Primul generator polarizează dioda Zener  $Z_1$ . Cel de-al doilea alimentează cu curent constant repetorul pe emitor  $Q_{10}$  și diodele din lanțul de compensare termică  $Q_8$ ,  $Q_1$ . Sursa de tensiune de referință astfel constituită furnizează la ieșire o tensiune compensată termic,  $V_{REF} = 1,71$  V și o rezistență de ieșire de aproximativ 2 kΩ.

Amplificatorul de eroare (format din două etaje,  $Q_2$ ,  $Q_3$ , cu sarcina rezistivă  $R_6$ , respectiv  $Q_4$ ,  $Q_5$ , avind ca sarcină cel de al treilea generator de curent) prezintă o amplificare de aproximativ 30 000. Compensarea în frecvență se realizează prin cuplarea unui condensator exterior de 47...100 pF, între terminalele COMP și  $R$ .

Darlingtonul  $Q_{14}$ ,  $Q_{15}$ , constituie elementul regulator serie.

Circuitul de limitare a curentului de ieșire ( $Q_{16}$ ,  $R_8$ ,  $R_9$ ) se declanșează pentru o tensiune de sesizare de cca 250 mV la  $T_A = 25^\circ\text{C}$ . Pentru funcționare se cuplează rezistorul extern  $R_{SC}$ , între bornele  $CL$  și  $V_{OUT}$ . Fenomenul de agățare, care ar apărea cind  $Q_3$  se satură, blocind astfel al doilea etaj de amplificare ( $Q_4$ ,  $Q_5$ ) s-a evitat prin introducerea tranzistorului  $Q_{17}$ .

\* Tipuri echivalente fabricate în țară.

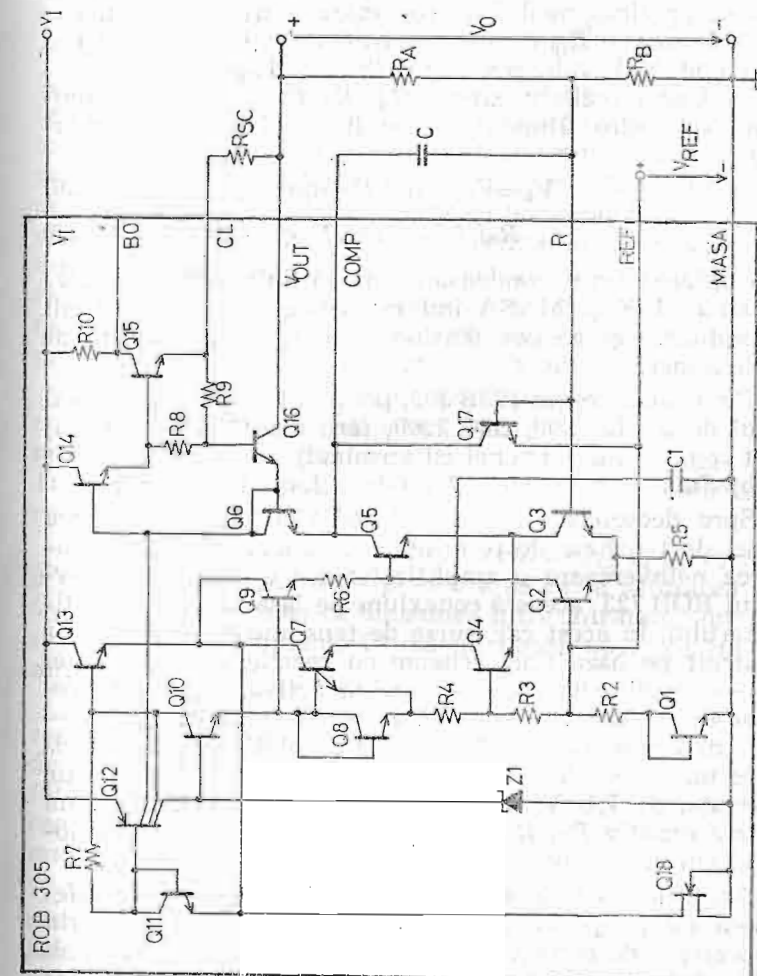


Fig. 4.23. Stabilizator de tensiune pozitivă cu ROB 305.

Rezistorul  $R_{10} = 600 \Omega$  servește pentru fixarea curentului minim prin tranzistorul  $Q_{15}$ , cind se conectează un tranzistor PNP extern între terminalele  $V_I$  și  $BO$  (în fig. 4.25 se prezintă modul de conectare a tranzistorului extern). Deoarece  $R_{10}$  este un rezistor de volum realizat din strat epitaxial, valoarea sa prezintă o dispersie mare.

Divizorul rezistiv extern  $R_A$ ,  $R_B$  fixează nivelul tensiunii de ieșire. Dimensionarea lui se bazează pe relațiile:

$$V_0 = V_{REF} (1 + R_A/R_B) \quad (4.26)$$

$$R_A/R_B = 2 \text{ k}\Omega^* \quad (4.27)$$

Cuplarea unui condensator de ordinul  $\mu\text{F}$  între terminalele  $REF$  și  $MASA$  îmbunătățește rejecția tensiunii de ondulație și reduce tensiunea de zgomot generată de dioda Zener.

Circuitul integrat ROB 305, poate înlocui circuitele mai vechi de tip LM 300, SFC 2300, fără modificări de cablaj (sunt compatibile terminal cu terminal).

### b) Stabilizatorul ROB 723 (fig. 4.1, c)

Spre deosebire de circuitul ROB 305, la care ieșirea sursei de tensiune de referință s-a conectat intern la intrarea neinversoare a amplificatorului de eroare, în circuitul ROB 723 această conexiune se lasă la discreția utilizatorului. În acest caz, sursa de tensiune de referință s-a construit pe baza unei scheme cu reacție paralel-paralel ( $Q_6$  — amplificator,  $Q_3$  — sarcină activă,  $Q_4$ ,  $Q_5$  — repetor de emitor,  $Z_2$  — diodă Zener de reacție,  $C_1$ ,  $R_7$  — rețea de compensare în frecvență) capabilă să furnizeze la ieșire un curent ( $I_{OR}$ ) de maximum 15 mA. Tensiunea de referință, de 7,15 V, se poate reduce pînă la 2 V, cu un divizor rezistiv  $R_C$ ,  $R_D$ , care poate fi conectat în exteriorul circuitului la borna  $REF$ .

Amplificatorul de eroare, constituie dintr-un etaj diferențial ( $Q_{11}$ ,  $Q_{12}$ ) cu sarcină activă ( $Q_7$ ), alimentat prin generatorul de curent  $Q_{13}$ , prezintă o amplificare în buclă deschisă de 60 dB și o bandă de frecvență la cîstig unitar

\* Relația aceasta rezultă din condiția de încărcare-echilibrată a celor două intrări ale amplificatorului de eroare.

de cîteva zeci de MHz. Compensarea în frecvență necesită conectarea în exterior între terminalele  $COMP$  și  $I/I$  a unui condensator  $C$  de 5...20 nF.

Pentru conectarea unui tranzistor extern, de curent mare, colectorul lui  $Q_{15}$ , din elementul regulator serie ( $Q_{14}$ ,  $Q_{15}$ ), s-a separat (terminalul  $V_C$ ) de alimentare cu tensiune pozitivă a circuitului (terminalul  $V^+$ ). Tranzistorul  $Q_{16}$  se poate folosi atât pentru limitarea curentului prin elementul regulator serie, cît și în alte configurații de circuit, grație accesului oferit la terminalele  $C_L$ ,  $C_S$  ale circuitului. Dioda Zener  $Z_3$ , conectată la terminalul  $V_Z$  numai în capsulele cu 14 terminale de tipul TO-116, oferă pe ieșirea  $V_Z$  un nivel de tensiune translatat cu 6,2 V, față de nivelul de tensiune al terminalului  $V_{OUT}$ ; curentul prin ieșirea  $V_Z$  trebuie limitat la maximum 25 mA.

TEC cu grilă jonctiune  $Q_1$  pornește generatoarele de curent  $Q_7$ ,  $Q_9$ ,  $Q_{10}$ ,  $Q_{13}$  și polarizează dioda zener  $Z_1$ , care prestatabilizează curentul de alimentare prin dioda  $Q_2$ . Tranzistoarele  $Q_9$ ,  $Q_{10}$ , alcătuiesc, împreună cu tranzistorul  $Q_{13}$  o oglindă de curent.

Potențialul colectorului tranzistorului  $Q_{11}$  se găsește la 8 V față de terminalul  $V$ ; pentru a se evita saturarea lui  $Q_{11}$  se vor lua măsuri ca tensiunea între intrarea neinversoare ( $IN$ ) și terminalul  $V^-$  să nu depășească această limită.

Accesul la intrările amplificatorului de eroare permite realizarea unor configurații de circuit suplimentare față de ROB 305. Datorită multitudinii de facilități lăsate de fabricant la discreția utilizatorului, ROB 723 constituie cea mai elocventă materializare a ideii de versatilitate maximă.

Nivelul tensiunii de ieșire se fixează cu divizorul rezistiv  $R_A$ ,  $R_B$ . Pentru stabilizatorul de tensiune pozitivă din fig. 4.1. c, rezistoarele  $R_A$ ,  $R_B$ ,  $R_C$ ,  $R_D$ , se dimensionează pe baza relațiilor:

$$V_0 = \frac{R_D}{R_C + R_D} \left( 1 + \frac{R_A}{R_B} \right) V_{REF} \quad (4.28)$$

$$R_C//R_D = R_A//R_B^* \quad (4.29)$$

$$R_C + R_D \leq 7 \text{ k}\Omega^{**} \quad (4.30)$$

$$R_A/R_B \leq 4^{***} \quad (4.31)$$

Se remarcă faptul că ROB 723 permite construirea unor surse de tensiune la care nivelul tensiunii de ieșire ( $V_0$ ) poate fi mai mic decât nivelul tensiunii de referință ( $V_{REF}$ ).

### c) Stabilizatorul ROB 304 (fig. 4.24)

Sursa de tensiune de referință din stabilizatorul de tensiune negativă ROB 304, funcționează pe baza unui generator de curent constant. Dioda  $Z_1$ , polarizată prin generatorul de curent  $Q_8$  prestatabilizează tensiunea de alimentare a generatorului de curent de referință (repotorul  $Q_7$ , tranzistoarele compuse  $Q_1$ ,  $Q_2$ ,  $Q_3$  respectiv  $Q_4$ ,  $Q_5$ ,  $Q_6$  rezistoarele  $R_3$ ,  $R_4$ ). Curentul de referință absorbit prin terminalul  $AJ$  (ajustare) se fixează la 1 mA conectând un rezistor exterior,  $R_B = 2,4 \text{ k}\Omega$  între terminalele  $REF$  și  $AREF$ . Tensiunea de referință se culege pe rezistorul exterior  $R_A$  conectat între terminalele  $AJ$  și  $MASA$ .

De obicei, terminalele  $V_I$  și  $AREF$  se conectează împreună la tensiunea de intrare  $v_I$ . Alimentarea separată a referinței de la o tensiune prestabilizată, îmbunătățește stabilizarea de intrare și rejetă tensiunii de ondulație. În acest caz, se vor lua măsuri ca  $v_I - V_{AREF} \leq 2 \text{ V}$ . ( $v_I$ ,  $V_{AREF}$  — tensiuni negative), pentru a nu se perturba funcționarea referinței de curent.

Structura amplificatorului de eroare (repetoarele pe emitor  $Q_{18}$ ,  $Q_{19}$ , urmate de tranzistoarele în conexiune cu bază comună  $Q_{17}$  cu sarcină activă  $Q_{14}$ ,  $Q_{15}$ ,  $Q_{16}$ ) admite tensiuni de intrare pe mod comun de „0“ V și asigură o amplificare în buclă deschisă de 2 000.

Repertorul  $Q_{21}$ ,  $Q_{22}$  separă comanda elementului regulator serie  $Q_{23}$  de amplificatorul diferențial, contribuind suplimentar la creșterea amplificării în curent.

\* Se echilibrează încărcarea intrărilor amplificatorului de eroare.

\*\* Se limitează curentul  $I_{0R}$  la 1 mA.

\*\*\* Se limitează amplificarea variatiilor tensiunii de referință.

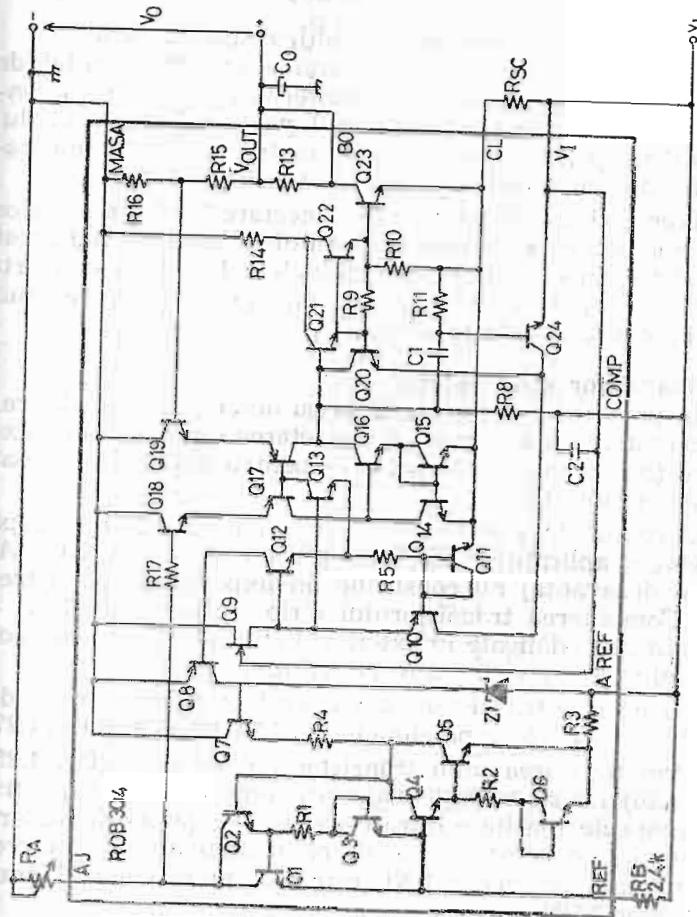


Fig. 4.24. Stabilizator de tensiune negativă cu ROB 304.

Rețeaua rezistivă de reacție ( $R_{15}=R_{16}=15 \text{ k}\Omega$ ) fiind integrată, pentru  $R_B = 2,4 \text{ k}\Omega$ , tensiunea de ieșire se determină prin relația:

$$V_0 = -R_A/500 \quad (4.32)$$

unde  $V_0$  și  $R_A$  se măsoară în voltă, respectiv ohmi.

Deși compensarea în frecvență a amplificatorului de eroare se asigură prin reteaua internă  $R_8$ ,  $C_2$  și prin condensatorul extern  $C_0$ , utilizatorul poate folosi terminalul COMP fie pentru o compensare în frecvență suplimentară, fie pentru a comanda tăierea tensiunii de ieșire.

Terminalul  $BO$  facilitează conectarea unui tranzistor exterior pentru creșterea curentului de ieșire. Cind acest tranzistor nu este necesar, terminalele  $BO$  și  $V_0$  se scurtcircuitează pentru a se evita împingerea tranzistorului  $Q_{22}$  în saturatie prin rezistorul  $R_{13}$ .

#### Tranzistor serie extern

În paragraful anterior, odată cu descrierea tipurilor reprezentative s-a prezentat și conectarea componentelor externe (rezistoare, condensatoare) pentru aplicațiile de bază ale circuitelor.

Curentul de ieșire furnizat de montaje realizate după schemele aplicațiilor de bază nu poate depăși 50 mA. Acest dezavantaj nu constituie un impediment de netrecut. Combinarea tranzistorului serie intern cu 1...3 tranzistoare adăugate în exteriorul circuitului, extinde domeniul curentului de ieșire la mai mult de 10 A.

Conecțarea tranzistorului extern la stabilizatoarele de tensiune pozitivă se prezintă în fig. 4.25, fig. 4.26 și fig. 4.27.

Prin utilizarea unui tranzistor extern PNP (fig. 4.25, fig. 4.26) nu se mărește valoarea minimă admisă pentru diferența de tensiune intrare-iesire. Din punct de vedere economic, se remarcă totuși, că pentru aceeași putere, prețul unui tranzistor PNP este mai mare decât al unui tranzistor NPN.

La fiecare tranzistor NPN adăugat (ca în fig. 4.28) valoarea minim admisă pentru diferența de tensiune intrare- ieșire se va suplimenta cu  $V_{BE}$ , ceea ce va solicita suplimentar ultimul tranzistor.

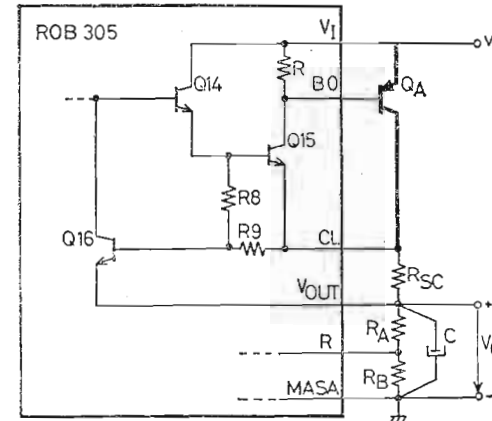


Fig. 4.25. Conectarea tranzistorului serie extern la ROB 305.

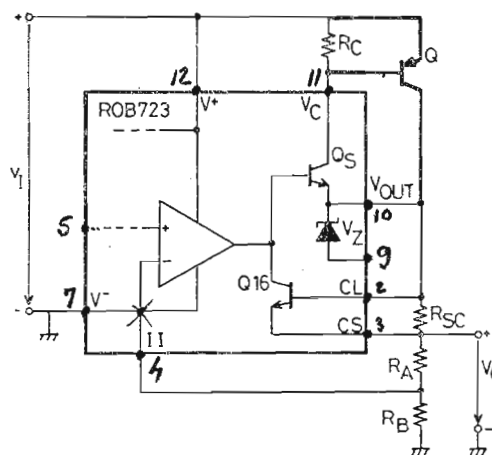


Fig. 4.26. Conectarea tranzistorului extern tip pnp la ROB 723.

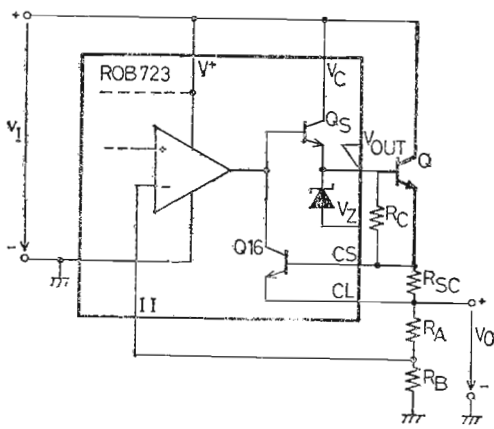


Fig. 4.27. Conectarea tranzistorului extern tip npn la ROB 723.

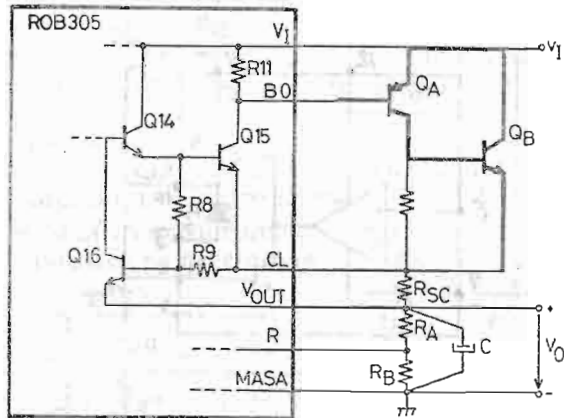


Fig. 4.28. Tranzistor serie extern compus (variantă optimă).

Modalitatea de compunere a tranzistorului extern ( $Q_A$ ,  $Q_B$ ) din fig. 4.28 înălțură creșterea acestei diferențe de tensiune. Rezistorul  $R_C$  stabilește curentul minim prin  $Q_A$  și îmbunătățește comportarea tranzistorului compus sub aspect termic.

Fig. 4.29 ilustrează o posibilitate de reducere a puterii disipate pe tranzistorul extern  $Q$ , prin alimentarea colectorului său de la o sursă de nivel mai coborât decât cel la care se alimentează circuitul integrat. Acest mod de conectare poate fi utilizat și în cazul în care tensiunea de alimentare prezintă o valoare mai mare decât cea admisă pe stabilizator. Bineînțeles curentul de ieșire se va diminua în funcție de performanțele tranzistorului extern.

Evacuarea căldurii rezultate prin disiparea de putere pe tranzistoarele externe serie se va asigura prin montare pe un radiator adekvat.

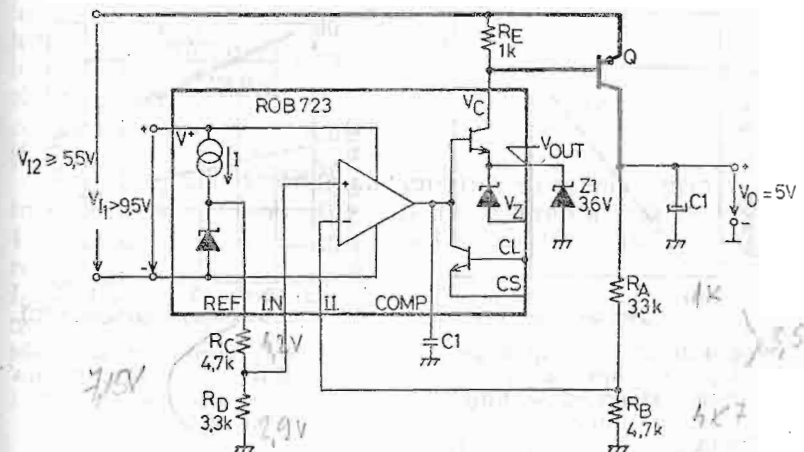


Fig. 4.29. Reducerea puterii disipate pe tranzistorul extern.

Pentru a se evita apariția oscilațiilor locale se recomandă:

— folosirea de tranzistoare exterioare de joasă frecvență (de tipul BD 137, BD 138, 2N 3055),

- alegerea unui capacitor de ieșire cu inductanță cît mai mică,
- scurtarea firelor de legătură ale capacitorului conectat la ieșire.

### Protecții la scurtcircuit la ieșire

În schemele prezentate, limitarea curentului de ieșire se obține prin cea mai simplă și larg utilizată metodă: pentru curentul maxim pe rezistorul exterior  $R_{SC}$  se dezvoltă o cădere de tensiune egală cu tensiunea de sesizare, care declanșează procesul de limitare.

În condiții de scurt-circuitare a ieșirii la masă, curentul de ieșire rămîne la valoarea sa maximă.

$$I_{SC} = I_{OM} = V_{SE}/R_{SC} \quad (4.33)$$

unde  $V_{SE}$  este tensiunea de sesizare.

Caracteristica de ieșire tensiune-curent care se obține prin această metodă este prezentată în fig. 4.30 cu linie

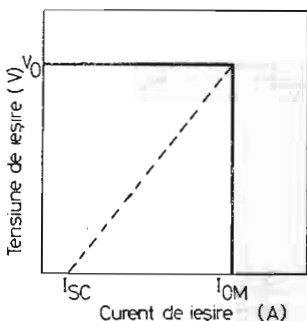


Fig. 4.30. Caracteristica de ieșire tensiune-curent:  
Limitare standard — linie continuă;  
Limitare cu întoarcere — linie întreruptă.

continuă. Variația cu temperatura a curentului maxim disponibil la ieșire depinde de tensiunea de sesizare, caracteristică circuitului integrat stabilizator considerat; în fig. 4.31 se prezintă variația acestei tensiuni cu temperatură, pentru cele trei stabilizatoare larg folosite.

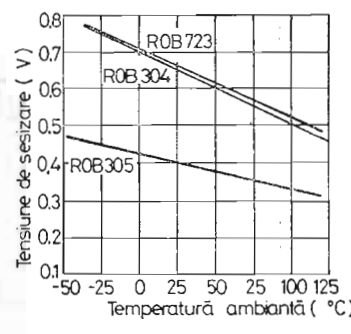


Fig. 4.31. Tensiune de sesizare funcție de temperatură ambiantă.

Utilizarea acestei metode nu este adecvată în toate condițiile în care este pus să funcționeze un circuit integrat stabilizator de tensiune; la proiectarea schemei de protecție la scurtcircuit la ieșire se impune luarea în considerare a tuturor aspectelor legate de puterea disipată pe circuit.

Puterea disipată intern maxim admisă depinde de tipul capsulei. În funcționare, temperatura pe joncțiune poate atinge valori ridicate, existând situații (care trebuie evitate) cînd aceasta poate atinge  $+150^{\circ}\text{C}$ . În astfel de cazuri, puterea utilă furnizată de circuit se va reduce, putînd ajunge la cîteva procente din valoarea ei la  $+25^{\circ}\text{C}$ .

În plus, în cazuri de scurtcircuit la ieșirea stabilizatorului, diferența de tensiune intrare-ieșire devine egală cu tensiunea de intrare  $V_I$  și puterea internă disipată va fi maximă, depășind cu mult valorile obișnuite pentru capsulele uzuale TO 116, TO 100, TO 99.

Pentru astfel de situații se impune un alt mod de limitare a curentului de ieșire în caz de scurtcircuit, într-o manieră care să forțeze reducerea curentului de ieșire în scurtcircuit ( $I_{SC}$ ) comparativ cu valoarea de declanșare a procesului de limitare ( $I_{OM}$ ). Cu alte cuvinte, se cere o întoarcere a caracteristicii tensiune-curent de ieșire (fig. 4.30 linie întreruptă).

În fig. 4.32 problema sus-amintită se rezolvă prin introducerea rezistoarelor  $R_C$ ,  $R_D$  (v. diferența față de fig. 4.28 unde se utilizează metoda clasică de limitare a curentului de ieșire). La curenti de ieșire mai mici decât  $I_{OM}$ , căderea de tensiune pe rezistorul  $R_C$  crește tensiunea necesară pe rezistorul  $R_{SC}$  pentru declanșarea limitării. La atingerea curentului maxim se pot scrie relațiile:

$$V_O = V_{SE}(T_A) = R_D(I_{CL} + I_{CR}) \quad (4.34)$$

$$V_{SE}(T_A) + R_C I_{RC} = R_{SC} I_{OM} \quad (4.35)$$

unde:  $I_{CL}$  este curentul maxim debitat prin terminalul  $C_L$ , compus din curentul necesar prin  $R_{10}$ , pentru deschiderea tranzistorului  $Q_A$  (2 mA) și din curentul absorbit din baza lui  $O_1$  în cele mai rele condiții,

$I_{RC}$  — curent de presarcină, absorbit prin  $R_C$  cînd ieșirea se află în gol.

Deoarece întoarcerea caracteristicii se forțează prin variația curentului  $I_{RC}$  se impune:

$$I_{RC} = 10 I_{CL} \quad (4.36)$$

Deschiderea tranzistorului  $Q_{16}$  micșorează curentul debitat prin  $Q_B$ . Tensiunea de ieșire începe să cadă și implin-

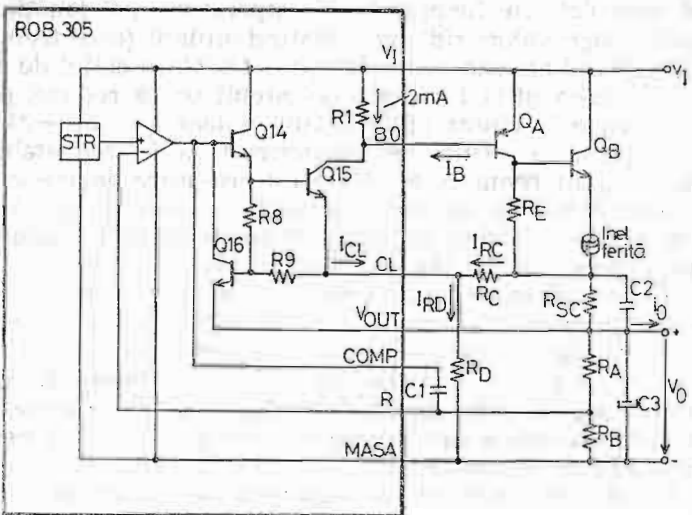


Fig. 4.32. Circuit de limitare cu întoarcere pentru ROB 305.

cit se reduce curentul prin  $R_C$ . Ca urmare,  $Q_{16}$  se deschide mai puternic și procesul de limitare continuă în avalanșă.

Cu ieșirea la masă curentul prin  $R_C$  devine neglijabil, temperatura pe joncțiunea bază-emitor a tranzistorului  $Q_{16}$  atinge valoarea maximă ( $T_{JM}$ ).

$$R_{SC} I_{SC} = V_{SE}(T_{JM}) \quad (4.37)$$

Dacă se impun  $I_{OM}$ ,  $I_{SC}$ ,  $\beta_A$  (cîstigul în curent al tranzistorului  $Q_A$ ) relațiile de mai sus permit dimensionarea rezistențelor  $R_C$ ,  $R_D$ ,  $R_{SC}$ .

În cazul în care  $Q_A$ ,  $Q_B$  sunt tranzistoare de medie sau de înaltă frecvență pentru evitarea oscilațiilor, se reco-

mandă conectarea unui condensator  $C_2$  în paralel pe  $R_{SC}$  și montarea unui inel de ferită, pe terminalul de emitor al lui  $Q_B$ .

În stabilizările de tensiune realizate cu ROB 723, limitarea curentului de ieșire cu întoarcere se poate aborda într-o manieră similară (fig. 4.33). În acest caz:

$$\frac{R_D}{R_c} = \frac{V_O I_{SC}}{V_{SE}(I_{OM} - I_{SC})} - 1 \quad (4.38)$$

$$R_{SC} = \frac{V_{SE}}{I_{SE}} \left( 1 + \frac{R_c}{R_D} \right) \quad (4.39)$$

O a treia relație de dimensionare a rezistențelor  $R_C$ ,  $R_D$ ,  $R_{SC}$  se obține limitind curentul de presarcină  $I_{RC}$  la 1 mA:

$$R_D I_{RC} = V_0 + V_{SE} \quad (4.40)$$

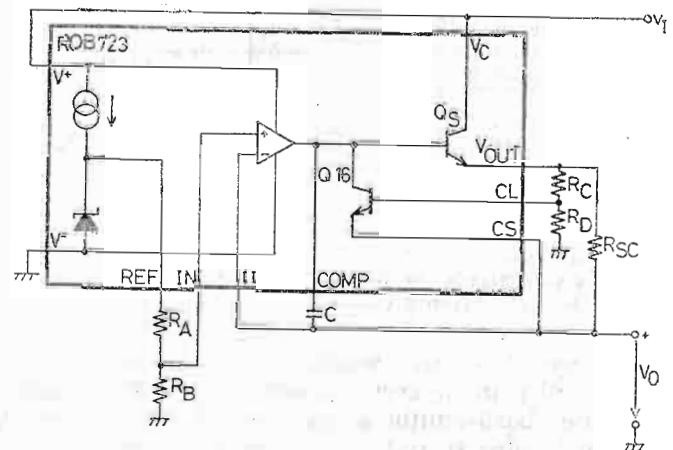


Fig. 4.33. Circuit de limitare cu întoarcere pentru ROB 723 (tensiune de ieșire pozitivă).

Căderea de tensiune pe  $R_{SC}$  mărește valoarea minimă a diferenței de tensiune intrare-ieșire. Valoarea mare necesară pentru acest rezistor deteriorează stabilizarea de sarcină.

Deoarece este necesar ca  $R_D/R_C > 1$ , rezultă:

$$\frac{I_{SC}}{I_{OM}} > \frac{2V_{SE}}{V_o + V_{SE}} \quad (4.41)$$

Această limitare inferioară a curentului de ieșire în scurtcircuit devine supărătoare în special la tensiuni de ieșire mici. Schema din fig. 4.34, permite anularea curentului  $I_{SC}$ .

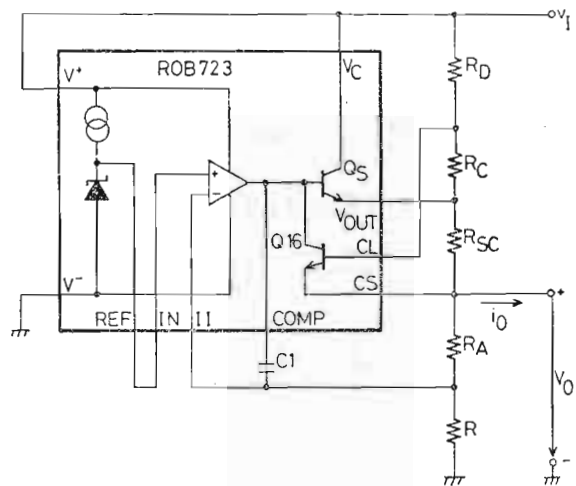


Fig. 4.34. Circuit de limitare cu întoarcere pentru ROB 723 varianta (tensiune de ieșire pozitivă).

În momentul în care tensiunea de ieșire începe să cadă, curentul prin  $R_C$  crește și mărește tensiunea aplicată pe jonctiunea bază-emitor a tranzistorului de limitare  $Q_{16}$ . Curentul de ieșire se reduce mai mult și procesul continuă pînă la anularea sa. Rezistoarele  $R_C$ ,  $R_D$ ,  $R_{SC}$  se dimensionează pe baza relațiilor:

$$I_{SC} = \frac{V_{SE}}{R_{SC}} \left( 1 + \frac{R_C + R_{SC}}{R_D} \right) - \frac{V_I}{R_{SC}} \cdot \frac{R_C + R_{SC}}{R_D} \quad (4.42)$$

$$I_{OM} = I_{SC} + \frac{V_o}{R_{SC}} \cdot \frac{R_C + R_{SC}}{R_D} \quad (4.43)$$

De obicei,  $R_{SC} \ll R_C$ . Cea de a treia relație se obține imponind  $I_{RC} \leq 1$  mA, în cele mai grele condiții.

Adoptarea limitării cu întoarcere necesită cunoașterea caracteristicii tensiune-curent a sarcinii. Dacă aceasta este de tipul generator de curent (fig. 4.35) există posibilitatea să intersecteze caracteristica de limitare într-un punct de funcționare (*A*) stabil și după îndepărțarea scurtcircuitului de la ieșire. Variația tensiunii de intrare, chiar și pentru un raport  $R_C/R_{SC}$  redus, nu este întotdeauna suficient de mare pentru a restabili nivelul inițial de tensiune la ieșire. În caz de agățare (zăvorire), revenirea tensiunii de ieșire se asigură printr-o rearmare a tensiunii de alimentare. Fenomenul de zăvorire este cauzat de saturarea excesivă a tranzistorului  $Q_{16}$ .

Pentru a limita apariția acestui fenomen se recurge la circuitul din fig. 4.36. Tranzistorul  $Q_A$  și rezistorii  $R_E$ ,  $R_F$  formează o diodă multiplicată care asigură o bună urmărire a tensiunii de sesizare la variația temperaturii ambiante. Circuitul limitează creșterea tensiunii între terminalle  $C_L$  și  $C_S$ . Pragul se ajustează în condiții de scurtcircuit prin potențiometrul  $R_E$ . Tranzistorul  $Q_A$  trebuie să aibă un  $\beta$  acceptabil la curent de colector mic ( $1 \mu\text{A}$ ).

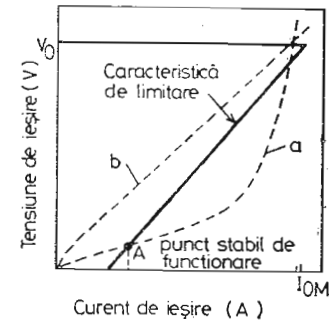


Fig. 4.35. Caracteristică de ieșire:  
a — linie de sarcină tip generator de curent,  
b — linie de sarcină rezistivă.

Tehnica de limitare cu întoarcere prezentată în fig. 4.37 se bazează pe reducerea rezistenței drenă-sursă a unui TEC cu grilă-jonctiune cînd i se reduce tensiunea poartă-sursă.

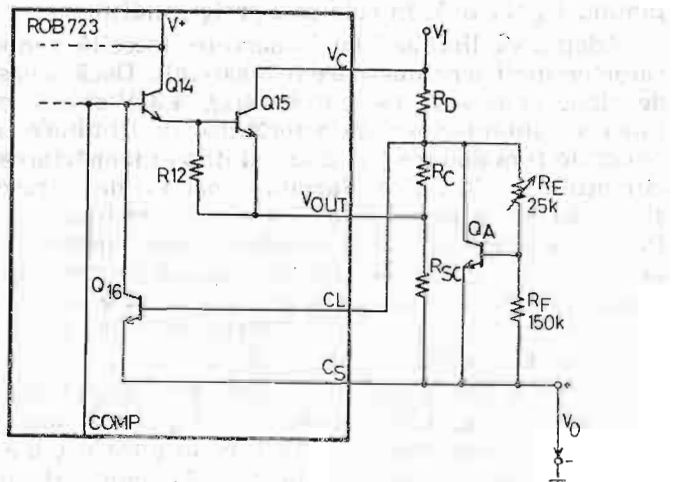


Fig. 4.36. Circuit de revénire din zăvorire.

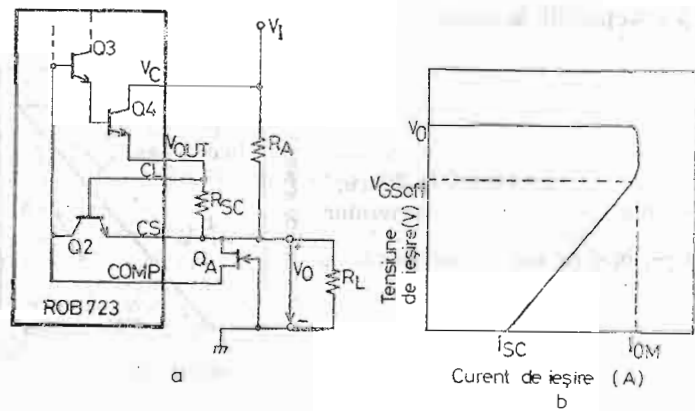


Fig. 4.37. Circuit de limitare cu întoarcere cu J-FET:

a — schemă electrică.  
b — caracteristică de ieșire.

In funcționare normală, tensiunea poartă-sursă, egală cu tensiunea de ieșire, menține tranzistorul  $Q_A$  în regiunea de saturatie, caracterizată printr-o rezistență drenă-sursă de valoare mare. La căderea tensiunii de ieșire, tensiunea de închidere  $V_{GS(off)}$  împinge tranzistorul în regiunea de triodă. Rezistența drenă-sursă se reduce și din baza tranzistorului  $Q_4$  se extrage un curent suplimentar, ceea ce reduce curentul de ieșire în scurtcircuit.

După îndepărțarea suprasarcinii dacă rezistorul  $R_A$  îndeplinește condiția:

$$\frac{V_I \text{ min} - V_{GS(\text{off})} \text{ Max}}{R_A} > \frac{V_{GS(\text{off})} \text{ Max}}{R_{L \text{ min}}} \quad (4.44)$$

tensiunea de ieșire revine la valoarea inițială. Tranzistorul  $Q_A$  se alege astfel încit  $V_{GS(\text{off})} \text{ Max} = (2 \dots 3)V_{OUT}$ .

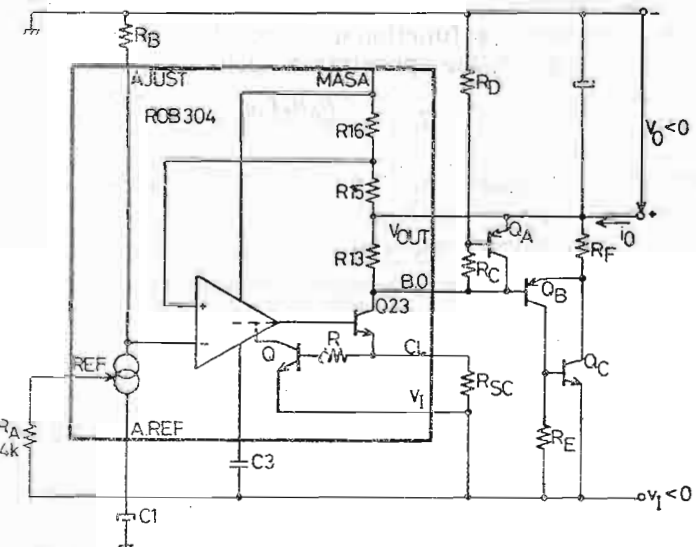


Fig. 4.38. Circuit de limitare cu întoarcere pentru ROB 304.

Circuitul din fig. 4.38 prezintă o metodă de limitare cu întoarcere pentru stabilizarea tensiunii negativă, realizată cu ROB 304. În funcționare normală, căderea de tensiune pe rezistorul  $R_C$  blochează tranzistorul  $Q_A$ . Creș-

terea curentului de ieșire mărește tensiunea pe  $R_F$  și deschide tranzistorul  $Q_A$ . Circuitul ROB 304 absoarbe curentul debitat de  $Q_A$  pînă la o limită fixată prin  $R_{SC}$ . Simultan, curentul furnizat în baza lui  $Q_B$  și implicit curentul de ieșire  $i_0$  nu mai crește. Căderea tensiunii de ieșire antrenează reducerea curentului prin  $R_C$  și în consecință a curentului  $i_0$ . Procesul continuă pînă la scurtcircuitarea ieșirii la masă cînd:

$$I_{SC} \approx \frac{R_C}{R_D} \cdot \frac{V_{BE}}{R_F} \quad (4.45)$$

Dimensionarea rezistoarelor  $R_C$ ,  $R_D$ ,  $R_F$  se face pe baza următoarelor considerații:

- căderea de tensiune pe  $R_F$  la  $i_0 = I_{OM}$  se limitează la 1...2 V,
- curentul prin divizorul rezistiv  $R_C$ ,  $R_D$ , se limitează în condiții de funcționare normală la 1 mA,
- rezistorul  $R_C$  se aproximează prin relația:

$$R_C = -\frac{R_D R_F I_{OM}}{V_0 - V_{BE}} \quad (4.46)$$

unde  $V_{BE}$  este tensiunea bază-emitor a tranzistorului  $Q_B$  (0,5 V).

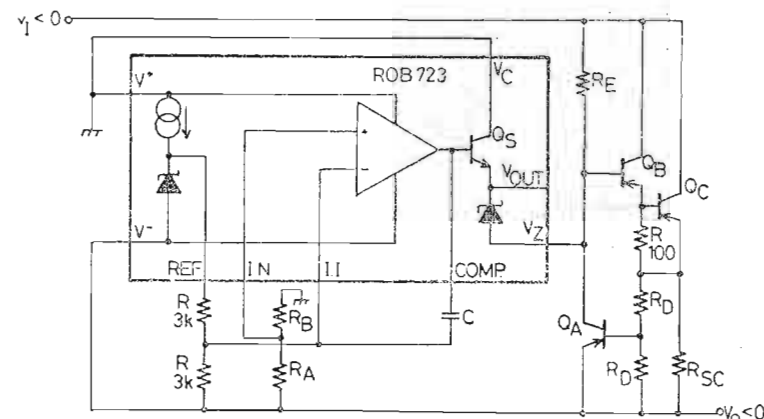


Fig. 4.39. Circuit de limitare cu întoarcere pentru ROB 723 (tensiune de ieșire negativă).

Conecțarea unui rezistor de 2...10 kΩ în paralel pe juncția emitor-bază a tranzistorului  $Q_A$  permite reducerea raportului  $I_{OM}/I_{SC}$ .

Dacă în construcția stabilizatorului de tensiune negativă se utilizează ROB 723, limitarea cu întoarcere se va realiza ca în fig. 4.39.

Funcționarea și relațiile de dimensionare pentru rezistoare sănătate similară cu cele descrise pentru schema din fig. 4.33.

#### Protecții pentru regim tranzistoriu

Fenomenele analizate în paragraful de față au un caracter general, prezentind valabilitate independent de tipul stabilizatorului folosit. Cauzele care generează mecanisme de defectare în regim tranzistoriu sănătate furnizate de circuitele exterioare.

În fig. 4.40 circuitele externe se reprezintă prin impedanță  $Z_I$ , cuplată în paralel cu sursa de tensiune nestabilizată  $v_I$ , și prin impedanță de sarcină  $Z_L$ .

Dacă  $Z_L$  este de valoare ridicată și intrarea stabilizatorului se scurtcircuită la masă, condensatorul  $C_2$ , încărcat la tensiunea  $V_{OUT}$ , se descarcă prin circuitul integrat. Tranzistorul serie și o parte din componente stabilizato-

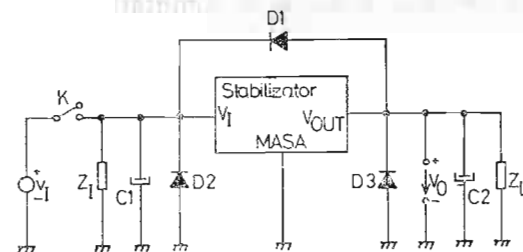


Fig. 4.40. Stabilizator de tensiune protejat cu diode.

rului suportă curentul de descărcare în condiții de polarizare inversă, ceea ce poate duce la distrugere.

Acest mecanism de defectare apare frecvent cînd se utilizează pentru filtrarea tensiunii de intrare un condensa-

tor cu tantal, polarizat la o tensiune apropiată de valoarea sa maxim admisă. În cazul alimentării cu o tensiune furnizată de un prestabilizator în regim de comutație, datorită tensiunii de ondulație de frecvență ridicată, în condensatorul cu tantal au loc descărări electrice nedistructive. Ca urmare, pe durate foarte scurte intrarea stabilizatorului se va conecta la masă.

Protecția stabilizatorului la fenomenul descris se obține conectând între intrare și ieșire o diodă  $D_1$  polarizată invers, capabilă să preia rapid curentul de descărcare.

Dacă impedanța  $Z_i$  este inductivă, la decuplarea tensiunii de alimentare, tensiunea de intrare pe stabilizator își va invresa polaritatea, caz în care componentele integrate nu vor mai fi izolate între ele. Protecția se obține prin introducerea diodei  $D_2$  care limitează cădereea tensiunii de intrare sub potențialul masei la mai puțin de 1 V.

Decuplarea alimentării poate produce un fenomen similar la ieșire dacă sarcina  $Z_L$  este inductivă. Tensiunea de polarizare inversă a ieșirii se limitează prin  $D_3$ .

La polarizare directă, prin diodele de protecție circulă curenți pe durate relativ scurte. De aceea nu sunt necesare diode de putere mare. Cerința unui timp de răspuns mic exclude utilizarea unor diode redresoare ordinare. Se recomandă folosirea diodelor de comutație.

### Circuite de comandă a decuplării

În unele aplicații condițiile tehnice de utilizare reclamă decuplarea tensiunii de alimentare pe diverse perioade de timp. Controlul automat al tăierii tensiunii de ieșire a stabilizatorului se obține printr-un circuit care forțează blocarea elementului regulator serie. Tensiunea de comandă a tăierii se culege de la ieșirea unui circuit logic.

În stabilizatoarele de tensiune pozitivă problema se soluționează prin conectarea la masă a terminalului de compensare în frecvență (fig. 4.41). Cind pe intrarea de comandă se aplică o tensiune de nivel coborât, tranzistorul  $Q_A$  fiind blocat, circuitul de tăiere nu influențează func-

ționarea stabilizatorului. Dacă tensiunea de comandă trece în starea SUS, tranzistorul  $Q_A$  se saturează și coboară potențialul terminalului COMP sub 1 V.

Rezistorul  $R_E$  fixează valoarea maximă a curentului de virf absorbit prin  $Q_A$ .

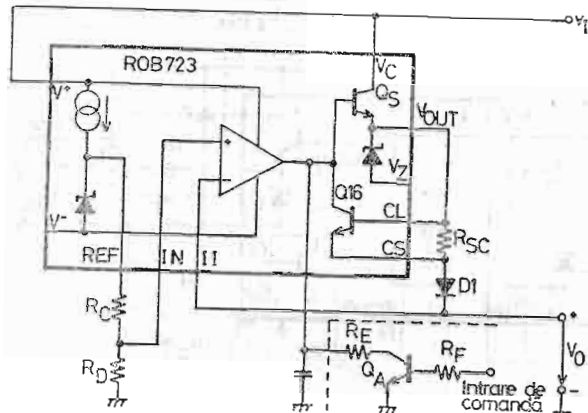


Fig. 4.41. Circuit de tăiere a ieșirii pentru stabilizatoare de tensiune pozitivă.

Rezistorul  $R_C$  se alimentează astfel încât să asigure compatibilitatea circuitului de tăiere cu circuitul logic care îl comandă (3 kΩ — pentru TTL, 10 kΩ — pentru CMOS etc.)

Pentru  $Q_A$  se alege un tranzistor de comutație de mică putere (de exemplu 2N918).

Diода  $D_1$  protejează jonctiunea bază-emitor a tranzistorului serie la tensiuni inverse excesive.

În fig. 4.42 se prezintă un circuit de tăiere pentru stabilizatoarele de tensiune negativă. Își aici, cind tensiunea pe intrarea de comandă este în starea JOS ( $V_{IL Max}$ ), tranzistorul  $Q_C$  este blocat. Rezistorul  $R_F$  asigură curent suficient bazei tranzistorului serie extern  $Q_A$ ,  $Q_B$ .

$$R_F = \frac{V_{I min} - V_0 - 3V_{BE}}{I_{BA Max}} \quad (4.47)$$

Cu tensiunea de comandă în starea SUS ( $V_{IH\ min}$ ) tranzistorul  $Q_C$  se deschide, dioda  $D_2$  se polarizează direct la un curent determinat de valoarea rezistorului  $R_M$ . Raportul  $R_M/R_F$  va asigura tăierea ieșirii:

$$\frac{R_M}{R_P} = - \frac{V_{IH\ min}}{V_{I\ Max}} \quad (4.48)$$

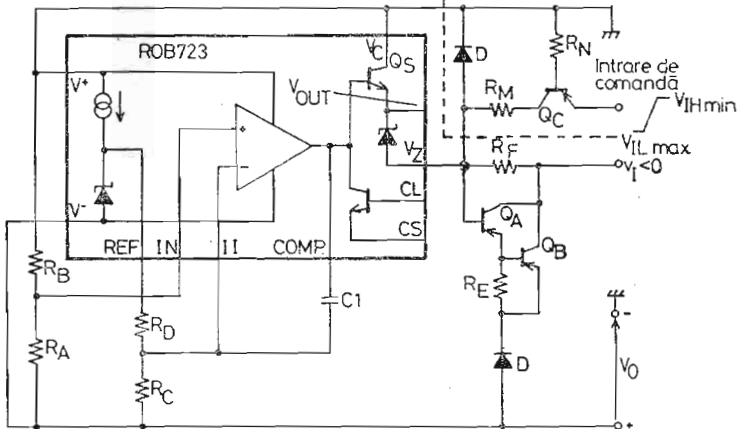


Fig. 4.42. Circuit de tăiere a ieșirii pentru stabilizatoare de tensiune negativă.

Condiția de limitare la 10 a cîstigului în curent cînd tranzistorul  $Q_C$  se saturează permite dimensionarea rezistorului  $R_N$ .

#### Stabilizatoare de tensiune flotante

În circuitul ROB 723 cuplarea amplificatorului de eroare la sursa de tensiune de referință se lasă în sarcina utilizatorului.

Accesul la terminalele  $REF$ ,  $I_2$ ,  $I_N$ , face posibilă realizarea unor scheme de tip flotant capabile să extindă domeniul tensiunii de ieșire a stabilizatorului la sute de volți. Circuitul se alimentează de la o sursă de tensiune prestabilizată, al cărui potențial de referință urmărește nivelul tensiunii de ieșire. Aceste configurații de circuit

sînt cunoscute sub numele de stabilizatoare de tensiune flotante (fig. 4.43).

Dioda Zener și rezistorul  $R_E$  alimentează circuitul integrat cu o tensiune prestabilizată flotantă de 10...30 V. Dimensionarea rezistorului  $R_E$  se face astfel încît să furnizeze curent suficient pentru polarizarea diodei  $Z$  și ali-

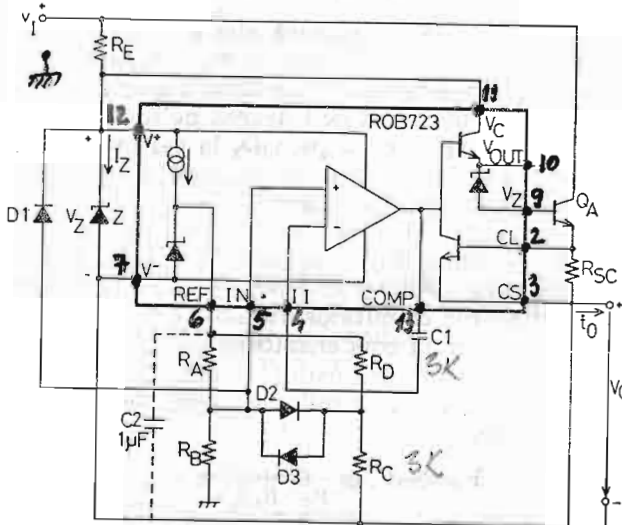


Fig. 4.43. Stabilizator de tensiune flotantă pozitivă. LA-FA-5211

mentarea circuitului ROB 723 în condiții de tensiune de intrare minimă:

$$R_E = \frac{V_{I\ min} - V_0 - V_{Z\ Max}}{I_{G\ Max} + I_{Z\ Max} + I_{O_R} + I_{O_M}/\beta_A} \quad (4.49)$$

unde  $\beta_A$  este cîstigul în curent al tranzistorului extern  $Q_A$ .

Tensiunea și curentul maxim de ieșire sunt limitate numai de performanțele tranzistorului  $Q_A$ . În compoziția tensiunii de referință aplicată pe intrarea neinversoare a amplificatorului de eroare  $(V_0 + V_{REF})R_B/(R_A + R_B)$  intră și tensiunea de ieșire. Nivelul acestora se stabilește prin rezistorii  $R_A$ ,  $R_B$ ,  $R_C$ ,  $R_D$  conform relației:

$$V_0 = V_{REF} \left[ \frac{R_B}{R_A} - \frac{R_C R_D}{R_C + R_D} \left( 1 + \frac{R_B}{R_A} \right) \right] \quad (4.50)$$

Se recomandă limitarea curentului absorbit din terminalul REF la  $I_{OR} \leq 5$  mA, ceea ce este echivalent cu:

$$R_C = R_D = 3 \text{ k}\Omega \quad (4.51)$$

$$\frac{V_{REF} + V_0}{R_A + R_B} \leq 4 \text{ mA.} \quad (4.52)$$

Diodele  $D_1, D_2, D_3$  protejează circuitul integrat la tensiunile excesive generate în regim tranzistoriu de conectare sau deconectarea tensiunii de alimentare  $v_i$ .

Creșterea potențialului pe intrarea neinversoare față de terminalul  $V^+$ , se limitează prin  $D_1$  la cel mult 1 V.  $D_2$  și  $D_3$  limitează tensiunea aplicată pe mod diferențial la intrarea amplificatorului de eroare.

Dacă viteza de creștere a tensiunii de alimentare ( $\Delta v_i / \Delta t$ ) este foarte mare, prin conectarea condensatorului  $C_2$  se va asigura urmărirea potențialelor pe terminalele  $V_0$  și  $REF$ . Plasarea comutatorului de cuplare înaintea blocului redresor elimină condensatorul  $C_2$ .

Funcționarea stabilizatorului flotant de tensiune negativă din fig. 4.44 este similară. Tensiunea de ieșire se determină din relația:

$$V_0 = -V_{REF} \frac{R_C}{R_C + R_D} \left( 1 + \frac{R_B}{R_A} \right) \quad (4.53)$$

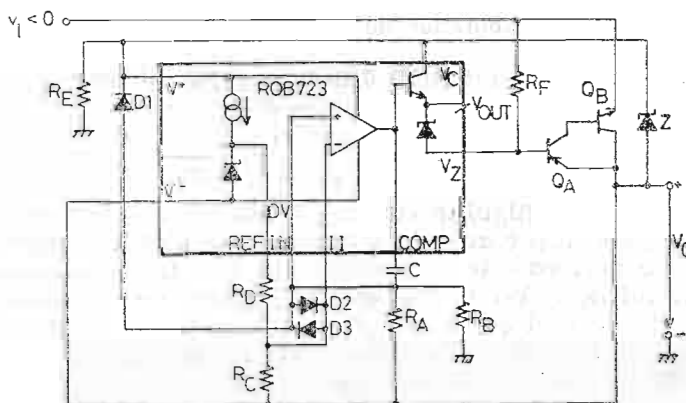


Fig. 4.44. Stabilizator de tensiune flotantă negativă cu ROB 723.

Rezistorul  $R_F$  trebuie să furnizeze un curent suficient în baza lui  $Q_A$ , cind diferența de tensiune intrare-ieșire este minimă.

$$R_F = \frac{(v_{I_{min}} - V_0 - V_{BE})\beta_A \beta_B}{I_{OM}} \quad (4.54)$$

unde  $\beta_A, \beta_B$  este cîstigul în curent la tranzistoarele externe  $Q_A$ , respectiv  $Q_B$ .

Același procedeu de extindere a domeniului tensiunii de ieșire se poate aplica la construirea unui stabilizator flotant de tensiune negativă cu ROB 304 (fig. 4.45). În acest scop, rețeaua de reacție internă ( $R_{14}, R_{15}$ ) se anihilăză scurtcircuitând terminalele  $V_{OUT}$  și  $MASA$ . Tensiunea de ieșire va fi:

$$V_0 = -R_B \times 1 \text{ mA} \quad (4.55)$$

#### Alte aplicații

În afara surselor de tensiune continuă, aria aplicațiilor stabilizatoarelor din prima generație cuprinde stabilizatoare de temperatură, de intensitate luminoasă, de curent etc. În principiu, cu ajutorul lor se poate stabiliza orice mărime fizică dacă aceasta se convertește cu un traductor adecvat în tensiune.

În circuitul din fig. 4.46, ROB 305 funcționează ca un comparator cu referință de tensiune integrată.

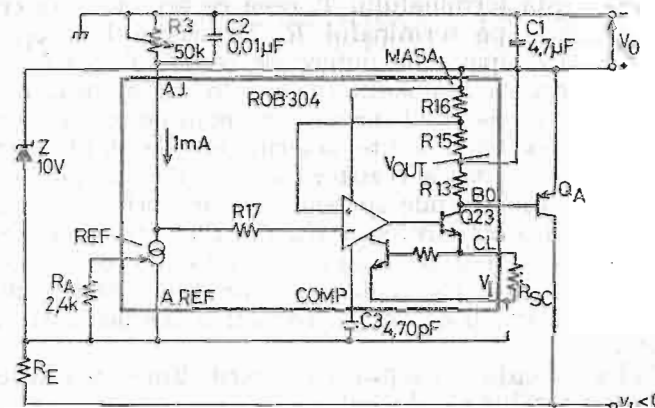


Fig. 4.45. Stabilizator de tensiune flotantă negativă cu ROB 304.

controlează puterea disipată pe sarcina  $R_H$  prin comutarea tranzistorului extern compus ( $Q_A$ ,  $Q_B$ ,  $R_F$ ). Variația temperaturii ambiante se traduce într-o variație de rezistență prin termistorul  $T$  conectat în buclă de reacție negativă. Dioda Zener  $Z_1$  menține terminalul  $V_{OUT}$  la un potențial prestabilizat. De asemenea, grație diodei Ze-

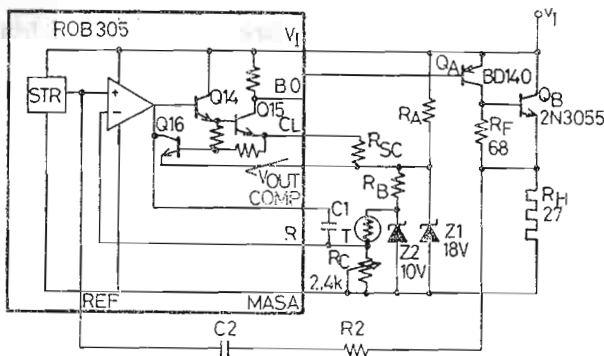


Fig. 4.46. Stabilizator de temperatură.

ner  $Z_2$ , variația tensiunii de intrare  $v_I$  nu va afecta potențialul nodului  $A$ . Creșterea temperaturii ambiante reduce rezistența terminalului  $T$ , ceea ce are ca efect creșterea tensiunii pe terminalul  $R$ . Tranzistorul extern se blochează și disipația de putere pe reșou incetează, pînă cînd temperatura ambiantă scade sub un anumit nivel.

Rezultă că sistemul prezentat menține temperatura ambiantă între două limite determinate de tipul termistorului și de valoarea rezistorului  $R_C$ . Frecvența de repetiție a ciclului termic se poate reduce printr-o reacție pozitivă realizată cu rețeaua  $R_2$ ,  $C_2$ . Currentul prin reșou își va păstra starea pe o durată fixată de constanta de timp a rețelei  $R_2$ ,  $C_2$ . Reducerea frecvenței atrage după sine deteriorarea preciziei de control a temperaturii stabilizate.

Trebuie menționat faptul că pentru alimentare nu este necesară o tensiune stabilizată.

În fig. 4.47 fototranzistorul  $Q_B$  transformă variația intensității luminoase în variație de curent. Creșterea cu-

rentului prin  $R_A$ , ridică potențialul terminalului  $R$  ceea ce comandă reducerea curentului furnizat de  $Q_A$  pentru alimentarea becului. Desensibilizarea stabilizatorului de intensitate luminoasă la variația temperaturii se obține prin introducerea diodei  $D$  și prin limitarea cîstigului de curent al tranzistorului  $Q_A$  în saturație la 10 ( $R_B=10 R_A$ ).

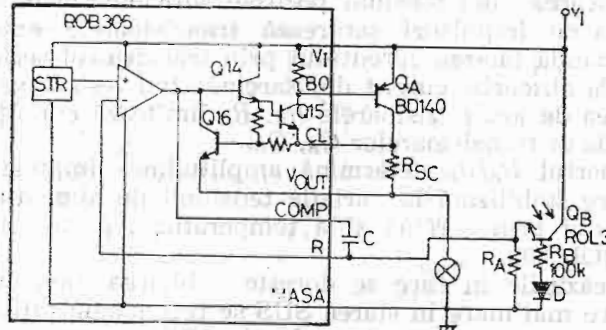


Fig. 4.47. Stabilizator de intensitate luminoasă.

Stabilizatorul de curent din fig. 4.48 poate asigura controlul unui servomotor. ROB 305 stabilizează tensiunea de polarizare a bazei tranzistorului compus  $Q_A$ ,  $Q_B$ . Nivelul curentului absorbit la ieșire se reglează prin potențiometrul  $R_B$ . Rezistorul  $R_{SC}$  fixează limita maximă a curentului din baza tranzistorului  $Q_A$  cînd acesta se satură. Currentul minim de sarcină pentru circuitul integrat

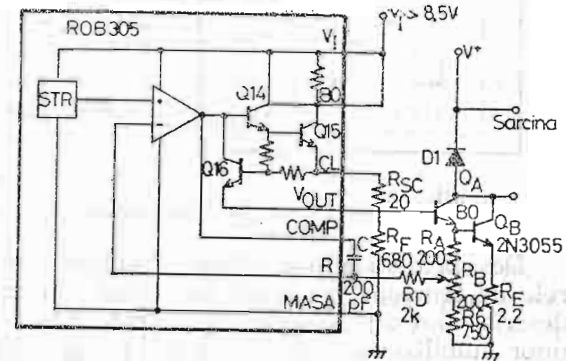


Fig. 4.48. Stabilizator de curent.

este determinat de valoarea rezistorului  $R_F$ . Dioda  $D$  constituie o protecție la supratensiuni generate de sarcinile inductive.

Banda largă a amplificatorului de eroare din ROB 305 face posibilă utilizarea sa în circuite de formare a unor impulsuri cu amplitudine stabilizată (fig. 4.49).

Aplicarea unei tensiuni pozitive suficient de mari pe intrarea de impulsuri saturează tranzistoarele externe.  $Q_A$  comandă tăierea curentului prin tranzistorul serie intern,  $Q_B$  absoarbe curent din sarcină cînd ieșirea se află în starea de jos. Rezistoarele  $R_C$ ,  $R_E$  limitează curentii de comandă ai tranzistoarelor  $Q_A$ ,  $Q_B$ .

Raportul  $R_A/R_B$  determină amplitudinea impulsurilor de ieșire stabilizată la variația tensiunii de alimentare a curentului prin sarcină și a temperaturii, grație circuitului ROB 305.

În cazurile în care se dorește debitarea unui curent de ieșire mai mare în starea SUS se recomandă utilizarea unui tranzistor serie extern de tip NPN, pentru a facilita stabilizarea schemei în frecvență (fără condensator cuplat la ieșire).

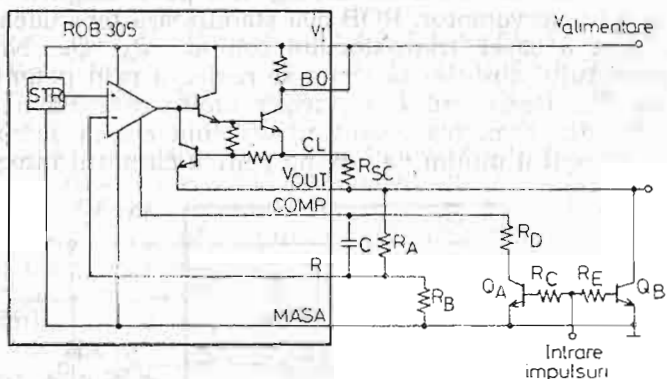


Fig. 4.49. Stabilizator de amplitudine pentru impulsuri.

Deși prin structura schemei implementate, stabilizatoarele de tensiune continuă monolitice din prima generație descrise sunt de tip serie, ele se pot utiliza și la realizarea unor stabilizatoare de tip paralel (fig. 4.50). Se observă

ușor că datorită conectării amplificatorului de eroare în configurație de repetor, nivelul tensiunii de ieșire este:

$$V_0 = \frac{R_B}{R_A + R_B} V_{REF} \quad (4.56)$$

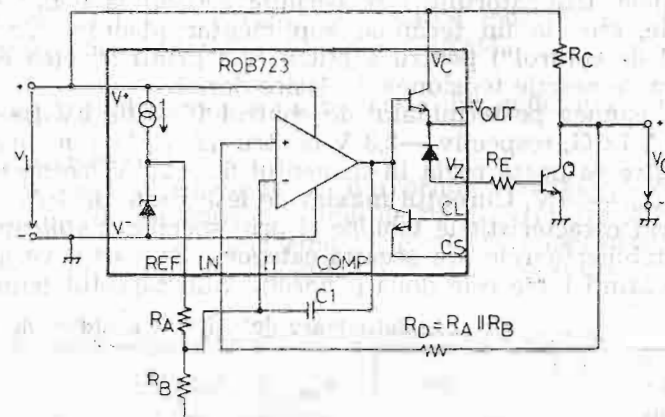


Fig. 4.50 Stabilizator de tensiune de tip paralel.

Performanțele de stabilizare prezentate de această schemă sunt inferioare celor descrise anterior, dar prezintă avantajul că nu necesită protecții la scurtcircuitarea ieșirii la masă sau la suprasarcină. Singura măsură necesară constă în alegerea rezistorului de balast  $R_C$  de putere suficient de mare pentru a putea suporta curentul de sarcină în cele mai defavorabile condiții.

Rezistorul  $R_D = R_A // R_B$  are rolul de a încărca în mod egal intrările amplificatorului de eroare (diminuează curentul de decalaj de la intrarea acestuia), Rezistorul  $R_E$  limitează curentul de bază al tranzistorului extern  $Q$  la o valoare convenabilă.

#### 4.2.2. Stabilizatoare de tensiune cu 4 terminale

Creșterea curentului de ieșire, integrarea pe același cip a protecțiilor la suprasolicitarea elementului regulator serie, utilizarea unei capsule mai ieftine sunt deziderate îndeplinite de stabilizatoarele de tensiune continuă de uz general cu 4 terminale.

Tipuri reprezentative pentru această familie sunt circuitele  $\mu A$  78 G (tensiune pozitivă) și  $\mu A$  79 G (tensiune negativă) produse de firma Fairchild. Ele provin din serile de stabilizatoare de tensiune fixă  $\mu A$  7800, respectiv  $\mu A$  7900. Utilizatorului i se permite accesul la nodul de reacție, scos la un terminal suplimentar (denumit „terminal de control“) pentru a putea fixa în rețea rezistivă de reacție tensiunea de ieșire dorită.

Tensiunea pe terminalul de control fiind de 5V (pentru  $\mu A$  78 G, respectiv  $-2,3$  V pentru  $\mu A$  79 G, tensiunea de ieșire se poate regla în domeniul  $5 \dots 25$  V, respectiv  $-2,3 \dots -30$  V. Currentul maxim de ieșire este de 1A.

Prin caracteristicile tehnice și prin specificul aplicatiilor, stabilizatoarele din această categorie apar ca o verigă de legătură între cele două generații. Sub aspectul tehnicii

Stabilizatoare de tensiune continuă de uz

Tip circuit	Tip capsulă	$P_{DM}^*$	$I_{0M}$	$V_0$
		W	A	V
<i>Tensiune pozitivă</i>				
LM 338 K	TO-3	30	5	1...32
LM 350 K	TO-3	30	3	1...32
LM 317 K	TO-3	20	1,5	1,2...37
ROB 317	TO-5	2	0,5	1,2...37
<i>Tensiune negativă</i>				
LM 337 K	TO-3	20	1,5	-37...-1,2
LM 337 H	TO-39	2	0,5	-37...-1,2

\* radiator infinit

cilor folosite în aplicații, se înscriu în prima generație, în timp ce sub aspectul integrării circuitelor de protecție și al mărimii curentului de ieșire aparțin celei de-a doua generații.

Date fiind răspândirea restrânsă și uzura morală a acestor circuite integrate, consumarea spațiului grafic cu o prezentare în detaliu nu este justificată.

#### 4.2.3. Stabilizatoare de tensiune din generația a doua

##### Caracteristici

Comparativ cu circuitele din prima generație, stabilizatoarele de tensiune continuă de uz general din generația a doua oferă performanțe electrice superioare (tabl. 4.2). Suplimentar, prezintă următoarele avantaje:

general — a doua generație

$ v_I - V_0 _{min}$	$K_V$	$K_L$	$K_T$	<i>Tabelul 4.2</i>				
				V	%/V	%	%/ $^{\circ}$ C	dB
2	0,005	0,1	0,015	86				
2	0,005	0,1	0,015	86				
2	0,01	0,1	0,015	80				
2	0,01	0,1	0,015	80				
2	0,007	0,3	0,015	77				
2	0,007	0,3	0,017	77				

- conțin integrate circuitele de protecție (termică, la suprasarcină, funcționare a tranzistorului serie în aria de siguranță);
- conțin integrată rețeaua de compensare în frecvență;
- în aplicații uzuale necesită cel mult trei componente exterioare (2 rezistoare și un condensator);
- furnizează la ieșire curenti de ordinul amperilor (fig. 4.51).

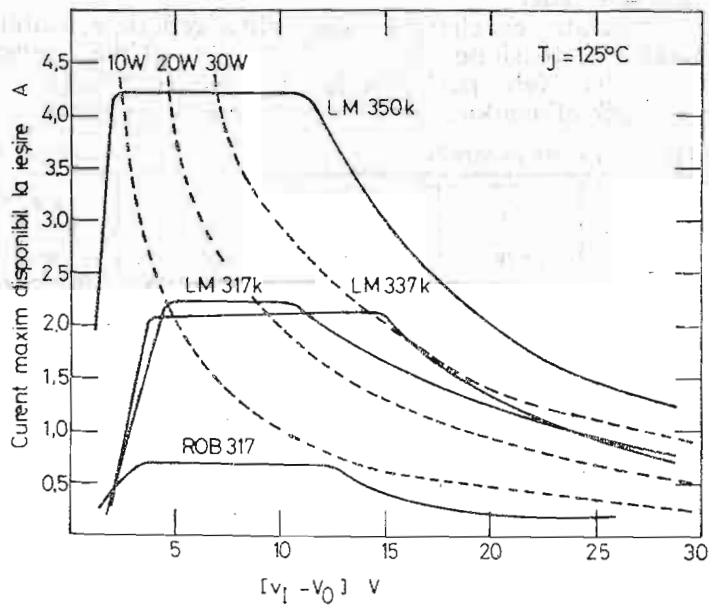


Fig. 4.51. Curent maxim disponibil la ieșire funcție de diferența de tensiune intrare-ieșire la  $T_J=125^\circ\text{C}$ .

Livrate în capsule cu trei terminale (TO-3, TO-5, TO-39, TO-202, TO-220), aceste circuite se montează ușor pe radiatoare dimensionate în conformitate cu cerințele de putere disipată la temperatura maximă de funcționare admisă.

Curentul de polarizare al sursei de tensiune de referință internă se debitează prin terminalul folosit pentru reglarea tensiunii de ieșire; din acest motiv el se numește impropriu „curent de ajustare” ( $I_{AJ}$ ). Acest curent introduce în expresia tensiunii de ieșire o componentă de eroare, motiv ce a determinat reducerea sa prin proiectare la  $100 \mu\text{A}$ . Foile de catalog precizează variația sa ( $\Delta I_{AJ}$ ) la  $T_A=25^\circ\text{C}$ , pentru o variație specificată a tensiunii de intrare.

Curentul debitat prin terminalul de ajustare nu trebuie confundat cu curentul consumat în gol ( $I_C$ ); acesta se debitează prin terminalul  $V_{out}$ , pe sarcină. Pentru funcționarea normală a stabilizatorului este necesară o sarcină minimă, care să permită scurgerea la masă a unui curent de cel puțin  $5 \dots 10 \text{ mA}$ .

Evoluind pe linia creșterii curentului de ieșire (v. tabelul 4.2) stabilizatoarele din a doua generație au intrat în domeniul dispozitivelor de putere; din acest motiv, o variație a puterii intern disipate de cîțiva wați, creează pe cip un gradient de temperatură care afectează diferit componentele integrate ale circuitului. Tensiunea de ieșire se supune unui nou factor perturbator. Parametrul care dă o măsură a efectului acestei perturbații se numește „stabilizare termică” —  $K_\theta$  și se definește prin raportul dintre variația procentuală a tensiunii de ieșire și amplitudinea unui impuls de putere  $P$ , aplicat stabilizatorului timp de 10 secunde.

$$K_\theta = \frac{\Delta V_o}{V_o \Delta P} \cdot 100 [\%/\text{W}]. \quad (4.57)$$

Valoarea tipică a stabilizării termice este de  $0,02\%/\text{W}$ . Măsurarea ei se efectuează pe durata aplicării impulsului de putere.

#### Tipuri reprezentative

Circuitul LM 317 (ROB 317) realizat de firma National Semiconductor s-a ales ca tip reprezentativ pentru această familie (fig. 4.52). Tehnicile folosite în aplicațiile acestui circuit se pot utiliza și pentru aplicațiile circuitului LM 337.

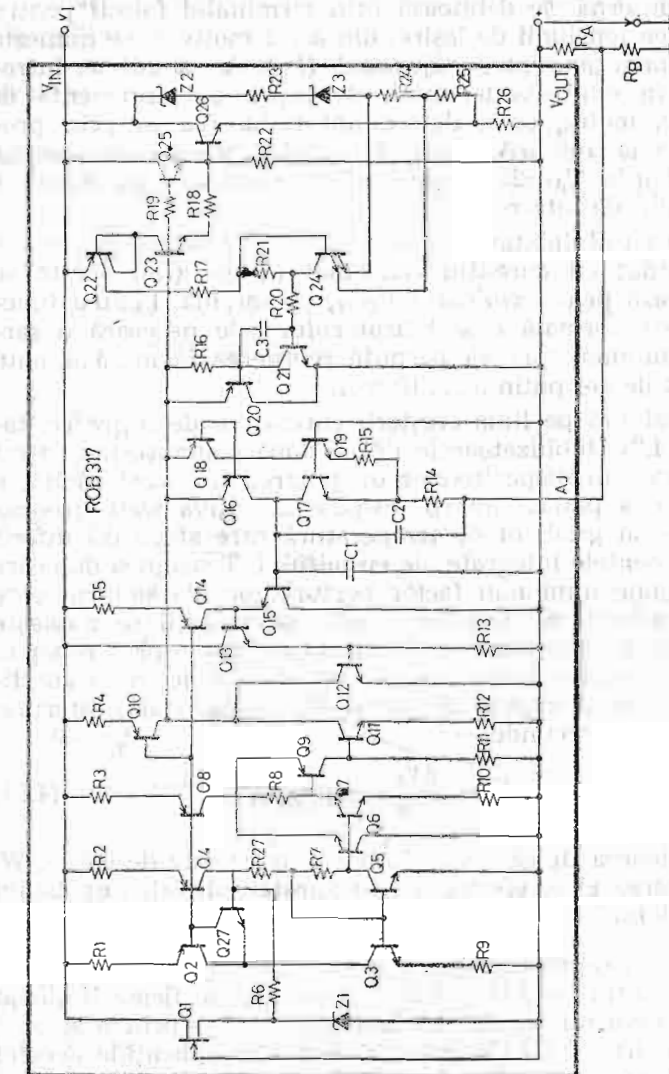


Fig. 4.52. Schema electrică echivalentă pentru ROB 317.

Generatorul de curent  $Q_{16}, Q_{18}$  fixează la  $25 \mu\text{A}$  curentul de colector prin tranzistoarele  $Q_{17}, Q_{19}$  (cu arii de emitor diferite), care împreună cu rezistoarele  $R_{14}$  și  $R_{15}$  alcătuiesc o sursă de tensiune de referință de tip bandă interzisă de  $1,2 \text{ V}$ . Totodată  $Q_{17}$  amplifică orice variație de tensiune sesizată între terminalele  $V_{OUT}$  și  $AJ$ , transferind-o prin dublul repetor pe emitor, de mare impedanță de intrare ( $Q_{15}, Q_{14}$  — generator de curent,  $Q_{13}, R_{13}$ ) în baza tranzistorului  $Q_{12}$ . Condensatoarele  $C_1, C_2$  compensă variația de frecvență amplificatorul, respectiv asigură pornirea sursei de tensiune de referință. Întregul ansamblu se poate reprezenta, simplificat, printr-o diodă Zener, de  $1,2 \text{ V}$  polarizată la un curent constant  $I_{AJ}=50 \mu\text{A}$ , cuplată la intrarea neinversoare a unui amplificator diferențial (fig. 4.53).

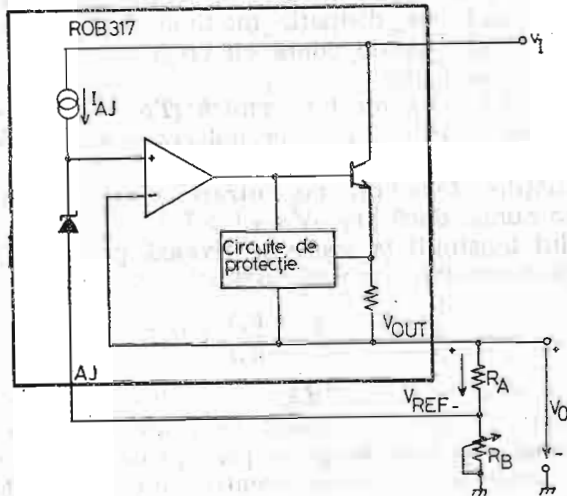


Fig. 4.53. Stabilizator de tensiune pozitivă cu ROB 317.

Ieșirea amplificatorului comandă baza tranzistorului serie compus  $Q_{25}, Q_{26}$ , polarizată prin generatorul de curent  $Q_{10}$ . Tranzistoarele  $Q_{22}, Q_{23}$  constituie o rețea de reacție, care compensează variația cîstigului în curent a

tranzistorului serie, generată de variația curentului de ieșire.

Rețeaua de polarizare a circuitului ( $Q_3, Q_5, R_9, Q_2, Q_4, Q_8, Q_{10}, Q_{14}$ ) furnizează curenți stabilizați la variația tensiunii de intrare. Circuitul de pornire se compune din tranzistorul cu efect de cimp cu jonctiune  $Q_1$ , dioda Zener  $Z_1$  (limitează curentul de pornire la tensiune de intrare ridicată) și rezistorul  $R_6$ .

Circuitul de protecție la suprasarcină ( $Q_{24}, Q_{21}, Q_{20}, R_{26}, R_{20}, R_{21}, R_{17}, R_{16}$ ) stabilește o limită maximă a curentului de ieșire, independentă de temperatură.  $C_2$  impiedică apariția unor oscilații locale.

Dacă  $|v_I - V_{OUT}| > 15V$ , prin lanțul de diode  $Z_2, Z_3$  în serie cu rezistoarele  $R_{23}, R_{24}, R_{25}$  și utilizarea unui tranzistor dublu emitor pentru  $Q_{24}$ , tranzistorul serie este constrins să funcționeze în aria de siguranță și să urmărească hiperbola de disipație maximă. Curentul maxim furnizat la ieșire scade odată cu creșterea diferenței de tensiune intrare-ieșire.

În circuitul de protecție termică ( $T_{JM}=170^\circ C$ ),  $Q_6, Q_7, Q_9$ , furnizează o tensiune de prepolarizare pentru jonctiunea bază-emitor a tranzistorului sensor  $Q_{11}$ , independentă de fluctuațiile tensiunii de intrare. Circuitul intră în funcțiune numai dacă  $|v_I - V_{OUT}| > 7V$ .

Nivelul tensiunii la ieșire se fixează prin două rezistoare exterioare  $R_A, R_B$ :

$$V_0 = V_{REF} \left( 1 + \frac{R_B}{R_A} \right) + R_B I_{AJ} \quad (4.58)$$

unde  $V_{REF}=1,2$  V;  $I_{AJ}=50\text{ }\mu A$ .

Folosind tehnici de circuit adecvate, caracteristicile descrise mai sus s-au asigurat prin proiectare și pentru stabilizatoarele de tensiune negativă din seria LM 337. În fig. 4.54 se prezintă schema electrică funcțională a acestor stabilizatoare.

Tensiunea de ieșire se determină cu o relație similară:

$$V_0 = -V_{REF} \left( 1 + \frac{R_B}{R_A} \right) - R_B I_{AJ} \quad (4.59)$$

cu deosebirea că  $V_{REF}=1,25$  V și  $I_{AJ}=65\text{ }\mu A$ .

Pentru a obține stabilizarea de sarcină specificată în foile de catalog, este foarte importantă reducerea rezistenței parazite a firului prin care se conectează terminalul  $V_{OUT}$ , la nodul de conectare a rezistorului  $R_A$ .

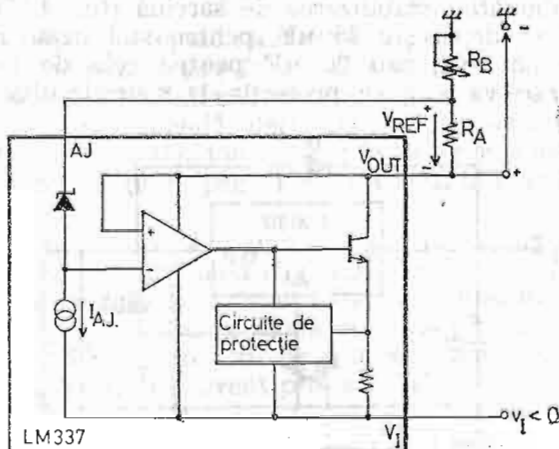


Fig. 4.54. Stabilizator de tensiune negativă cu LM 337.

### Protecții în regim tranzistoriu

Fiabilitatea stabilizatoarelor de uz general din generația a doua a crescut considerabil prin integrarea circuitelor de protecție, care elimină suprasolicitările elementului regulator serie. Aceste protecții nu asigură însă o imunitate la fenomenele tranzistorii.

Utilizarea acestor circuite prezintă cîteva particularități, în sensul că, fie nu este necesară introducerea celor trei diode de protecție (vezi pag. 185), fie că trebuie introdusă o diodă suplimentară.

Îmbunătățirea unor parametri electrici, sau evitarea intrării în oscilație a stabilizatorului, solicită folosirea de condensatoare.

Dacă circuitul integrat se montează la o distanță mai mare de 10 cm de filtrul redresorului, pentru a anihila in-

ductanță parazită a firelor de conexiune, se va conecta în paralel cu intrarea un condensator  $C_1$  ( $0,1 \dots 10 \mu\text{F}$ ).

Condensatorul  $C_2$  se cuplează în paralel pe ieșire fie din motive de compensare în frecvență (LM 337), fie pentru a îmbunătăți stabilizarea de sarcină (fig. 4.55). Când valoarea sa depășește  $25 \mu\text{F}$ , pentru stabilizatoarele de tensiune pozitivă, sau  $20 \mu\text{F}$  pentru cele de tensiune negativă se va asigura protecția la scurtcircuitarea in-

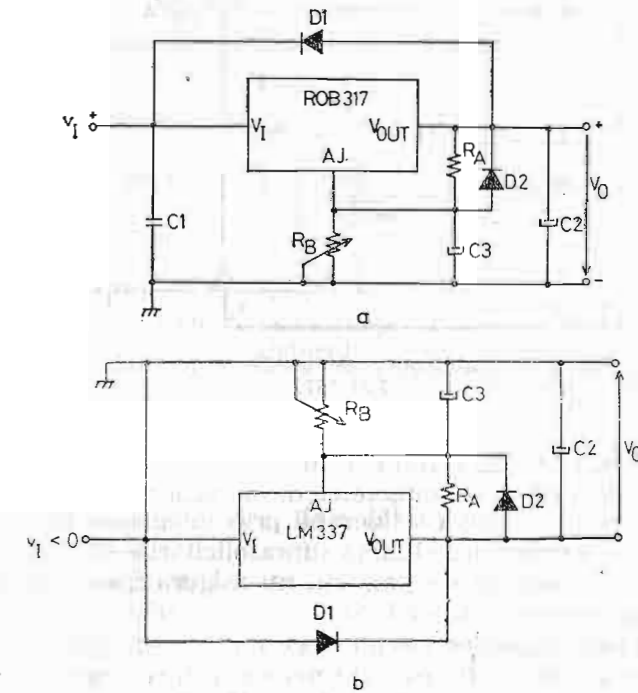


Fig. 4.55. Protecții cu diode.

trării la masă prin introducerea diodei  $D_1$ . Pentru condensatoare  $C_2$  de valori mai mici, dioda  $D_1$  nu este necesară.

Reacția tensiunii de osculație se poate crește la mai mult de  $80 \text{ dB}$  conectând în paralel pe  $R_B$  un condensa-

tor  $C_3$ . La tensiuni de ieșire  $|V_0| \geq 25 \text{ V}$  și  $C_3 \geq 10 \mu\text{F}$  scurtcircuitarea ieșirii la masă face ca descărcarea condensatorului  $C_3$  prin sursa de tensiune de referință internă să devină distructivă. Protecția se realizează prin introducerea diodei  $D_2$  între terminalele  $V_{\text{OUT}}$  și  $AJ$ .

### Circuite de comandă a decuplării

Tensiunea de ieșire furnizată de sursele de alimentare construite cu stabilizatoare din generația a 2-a se pot decupla prin comandă electronică. Deși circuitele de comandă sunt asemănătoare cu cele descrise într-un paragraf anterior (vezi pag. 146), mecanismul de decuplare este diferit.

Pe durata aplicării unui impuls de tensiune pozitivă pe intrarea de comandă (fig. 4.56), tranzistorul  $Q_A$  se satură și suntează, rezistorul  $R_B$ . Tensiunea de ieșire cade la valoarea sa minimă egală cu  $V_{\text{REF}} + V_{\text{CES}} = 1,3 \text{ V}^*$ . Se observă că și în condiții de cădere a tensiunii de ieșire, sursa poate debita curent prin sarcină.

În fig. 4.57, rezistorul  $R_C$  se dimensionează astfel încât la o tensiune pe intrarea de comandă mai mică de  $0,8 \text{ V}$  să asigure saturarea tranzistorului  $Q_A$ , indiferent de valoarea tensiunii de intrare  $v_I$ . Tensiunea pe ieșirea stabilizatorului va atinge valoarea maximă egală cu —

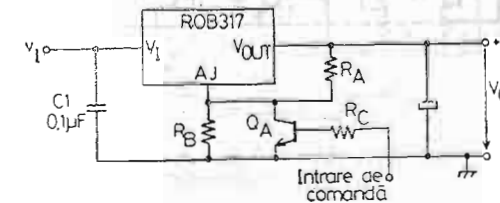


Fig. 4.56. Circuit de decuplare pentru ROB 317.

$(V_{\text{REF}} + V_{\text{ECS}}) = 1,35 \text{ V}$ . O tensiune de comandă de nivel ridicat determină blocarea tranzistorului  $Q_A$ , ceea ce permite ieșirii să atingă nivelul fixat prin raportul  $R_B/R_A$ .

\* S-a considerat că tensiunea de saturare colector-emitor a tranzistorului  $Q_A$  este de  $0,1 \text{ V}$

Faptul că în condiții de decuplare a ieșirii, sursa livră o tensiune stabilizată (de valoare mică) și debitează curent prin sarcină, sugerează construcția schemei electrice din fig. 4.58.

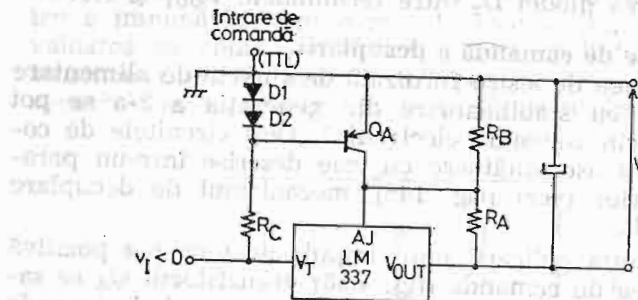


Fig. 4.57. Circuit de decuplare pentru LM 337.

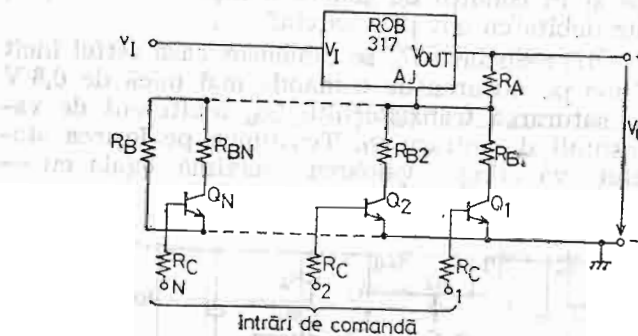


Fig. 4.58. Stabilizator de tensiune cu comandă electronică.

Cînd toate intrările de comandă sunt la un nivel de tensiune coborit, tranzistoarele  $Q_1, Q_2, \dots, Q_n$  sunt blocate și tensiunea de ieșire ia valoarea maximă fixată prin raportul  $R_B/R_A$ .

Aplicarea pe oricare intrare de comandă a unui semnal de nivel ridicat saturăază tranzistorul aferent și cuplăză în paralel pe  $R_B$  rezistorul din colector. Tensiunea de ieșire scade corespunzător. Valoarea minimă a tensiunii

de ieșire se obține cînd toate intrările de comandă se află conectate la un nivel de tensiune ridicat:

$$V_{0 \min} = V_{REF} \left( 1 + \frac{R_B/R'}{R_A} \right) R' I_{AJ} + V_{CES} \frac{R_B}{R_B + R'} \quad (4.60)$$

unde  $R' = R_{B1} // R_{B2} // \dots // R_{BN}$ .

$V_{CES}$  — tensiunea de saturăție a tranzistoarelor  $Q_1 \dots Q_N$ .

Deși sursa de tensiune comandată furnizează la ieșire  $2^N$  nivele, numai  $N+1$  dintre ele pot fi liniar independente.

### Aplicații

Restringerea domeniului de aplicații al stabilizatoarelor din a doua generație (sursele de tensiune continuă, stabilizatoare de curent, stabilizatoare cu caracteristică

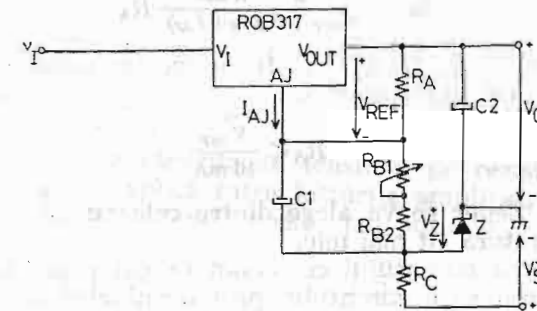


Fig. 4.59. Stabilizator de tensiune pozitivă cu reglare de la 0 V.

de ieșire dreptunghiulară etc.) este pe deplin compensată prin simplificarea proiectării fiecărei aplicații, prin creșterea performanțelor electrice.

Construcția unei surse de tensiune reglabilă de la 0 V cu un stabilizator din prima generație este o problemă relativ complicată. Modalitatea simplă de rezolvare oferită în fig. 4.59, se bazează pe faptul că circuitul ROB 317 este un stabilizator de tip flotant.

Diода Zener  $Z$ , polarizată prin  $R_C$  de la o tensiune nestabilizată  $V_S^- < 0$ , furnizează un nivel de tensiune negativ ( $-V_Z$ ), față de care ROB 317 stabilizează tensiunea de ieșire.

$$V_0 = V_{REF} \left( 1 + \frac{R_{B1} + R_{B2}}{R_A} \right) + (R_{B1} + R_{B2}) I_{AJ} - V_Z \quad (4.61)$$

Dimensionând corespunzător rezistorul  $R_{B2}$ :

$$R_{B2} = \frac{V_Z - V_{REF}}{R_A I_{AJ} + V_{REF}} R_A \quad (4.62)$$

rezistorul variabil  $R_{B1}$  va permite reglarea tensiunii de ieșire de la 0 V la 30 V.

Rezistorul  $R_C$  trebuie să asigure atât curentul consumat în gol de stabilizator (10 mA) și curentul de polarizare a diodei Zener în condiții de  $V_S^-$  minim, cît și desensibilizarea tensiunii de variațiile tensiunii  $V_S^-$ .

$$R_C = \frac{-V_S^- - V_{Z \min}}{V_{REF} + R_A(I_z + I_{AJ})} R_A \quad (4.63)$$

Rezistorul  $R_A$  trebuie să furnizeze un curent de pre-sarcină de cel puțin 10 mA.

$$R_A \leq \frac{V_{REF}}{10 \text{ mA}} \quad (4.64)$$

Dioda Zener se va alege dintre cele cu un coeficient de temperatură cît mai mic.

Debitarea curentului consumat în gol prin sarcină și valoarea redusă a curentului prin terminalul de ajustare sunt particularități care recomandă stabilizatoarele din a doua generație pentru construirea unor stabilizatoare de curent de precizie (fig. 4.60).

Mărimea curentului stabilizat de ieșire se controlează prin rezistorul  $R$ , între 10 mA și curentul maxim de ieșire furnizat de circuitul integrat ( $I_{OM}$ ).

$$I_0 = \frac{V_{REF}}{R} + I_{AJ} \quad (4.65)$$

Curentul consumat în gol și curentul debitat prin terminalul de ajustare fiind insensibili la variația tensiunii

de intrare, stabilizarea de intrare de 0,01%/V a curentului  $I_0$  se va menține aceeași, indiferent de nivelul fixat prin  $R$ .

Tensiunea minimă necesară pe stabilizatoarele de curent este mai mică de 4 V ceea ce face posibilă folosirea

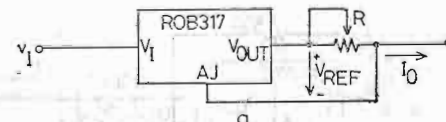
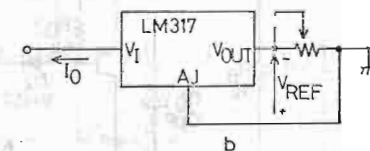


Fig. 4.60. Stabilizatoare de curent:  
a — cu ROB 317.

b — cu LM 337.



lor ca limitatoare de curent (reglabile) pentru protecția altor circuite.

Circuitul prezentat în fig. 4.61 se utilizează pentru încărcarea acumulatorilor.

Diferența dintre căderile de tensiune pe rezistoarele  $R_C$  și  $R_{A1}$  ( $v_{ID}$ ) se aplică între intrările amplificatorului operațional ROB 101 (funcționează pe post de comparator):

$$V_{ID} = -\frac{R_{A1}}{R_{A1} + R_{A2}} V_{REF} + R_C i_0 \quad (4.66)$$

$$R_{A1} \ll R_{A2} \quad (4.67)$$

Pe durata încărcării acumulatorului tensiunea  $v_{ID}$  fiind pozitivă, ieșirea amplificatorului operațional va fi la un nivel apropiat de  $V_0$ . Tranzistorul  $Q_A$  se blochează (diода electroluminescentă  $D_1$  — stinsă), dioda  $D_2$  este invers polarizată.

$$V_0 = \left( 1 + \frac{R_B}{R_{A1} + R_{A2}} \right) - R_C i_0 \quad (4.68)$$

În prima fază a încărcării, curentul  $I_0$  se menține la 2A datorită circuitului de limitare integrat în LM 317K.

Pe măsură ce acumulatorul se încarcă, tensiunea  $V_0$  crește, curentul de încărcare  $i_0$  scade. Cind tensiunea  $V_0$  atinge 14,5 V tensiunea pe  $R_C$  a scăzut suficient pentru a inversa polaritatea tensunii  $v_{ID}$ . Ieșirea amplificatorului operațional cade la circa 1 V față de masă, dioda  $D_2$  se po-

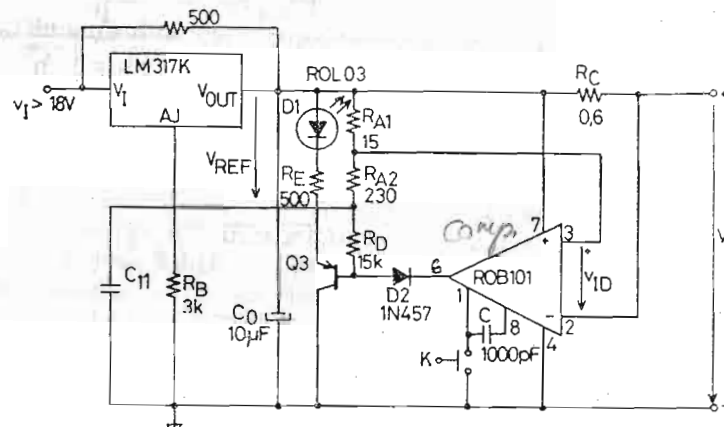


Fig. 4.61. Circuit de încărcare pentru acumulatoare.

larizează direct și permite rezistorului  $R_D$  să șunteze rezistorul  $R_B$ . Ca urmare, tensiunea pe ieșirea circuitului LM 317K scade la circa 12,5 V și procesul de încărcare închidează. Totodată deschiderea tranzistorului  $Q$  atrage după sine aprinderea diodei de semnalizare  $D_2$ .

În cazul descărcărilor ulterioare ale acumulatorului sub 12,5 V, circuitul de încărcare intră în funcțiune automat. Totuși cind tensiunea pe acumulator scade foarte lent, intrarea în funcțiune a circuitului de încărcare se va comanda prin închiderea temporară a comutatorului normal deschis  $K^*$ .

În diverse lucrări de laborator se solicită să se faciliteze posibilitatea reglării limitei currentului debitat la ieșire.

\* Pentru realizarea practică a schemei descrise se recomandă:  $R_{A1} = 15\Omega$ ;  $R_{A2} = 230\Omega$ ;  $R_B = 3\text{k}\Omega$ ;  $R_C = 0,5\text{W}$ ;  $R_D = 15\text{k}\Omega$ ;  $R_E = 500\Omega$ .

Soluția optimă constă în construirea unui stabilizator în quadratură (cu caracteristică de ieșire dreptunghiulară) de tipul celui prezentat în fig. 4.62. Pentru curenți de ieșire inferiori valorii limită  $I_{OM}$  aparatul se comportă ca stabilizator de tensiune. Dacă sarcina crește și curentul

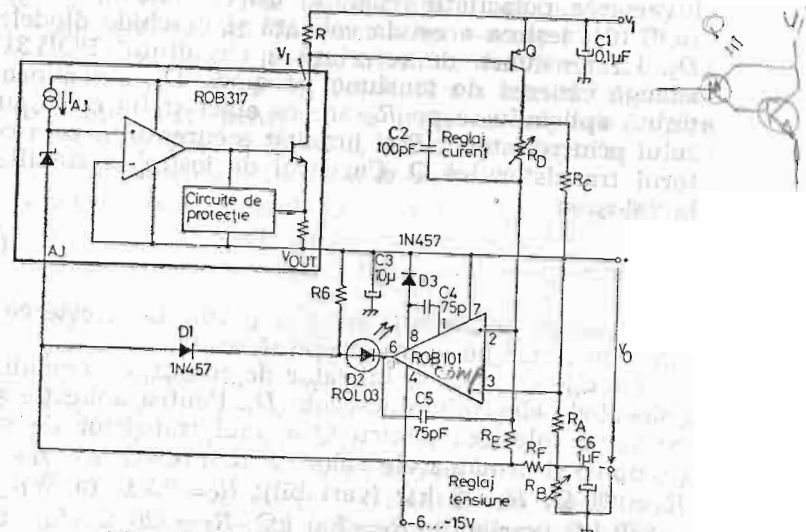


Fig. 4.62. Stabilizator în quadratură.

de ieșire atinge limita  $I_{OM}$  aparatul se comportă ca un stabilizator de curent.

Pentru un curent de ieșire mai mic de 20 mA, tranzistorul  $Q$  este blocat. Pe măsură ce curentul crește, tranzistorul  $Q$  se deschide și preluând debitarea de curent la ieșire, potențialul pe colectorul său începe să se ridice peste nivelul tensiunii de ieșire. Cît timp tensiunea diferențială pe intrarea amplificatorului operațional ROB 101 este pozitivă, ieșirea să menține blocate diodele  $D_1$ ,  $D_2$ . ROB 317 se comportă pe acest mod de funcționare ca un stabilizator de tensiune, nivelul de ieșire  $V_0$  fiind fixat în principal de rezistorii  $R_A$ ,  $R_B$ :

$$V_0 = V_{REF} \left( 1 + \frac{R_B}{R_A} \right) + \left[ R_B \left( 1 + \frac{R_F}{R_A} \right) + R_F \right] I_{AJ} \quad (4.69)$$

cu condiția ca:

$$R_E \gg R_B \left(1 + \frac{R_F}{R_A}\right) + R_F \quad (4.70)$$

În cazul în care creșterea tensiunii pe  $R_C$  determină inversarea polarității tensiunii diferențiale de intrare în ROB 101, ieșirea acestuia coboară și deschide diodele  $D_1$ ,  $D_2$ . La tensiunea de referință a circuitului ROB 317 se adaugă cădereea de tensiune pe dioda  $D_1$ . Tensiunea obținută aplicându-se pe  $R_G$  are ca efect stabilizarea curentului prin rezistorul  $R$  și implicit a curentului prin colectorul tranzistorului  $Q$ . Curentul de ieșire se stabilizează la valoarea:

$$I_{OM} = \frac{R_D}{R_E} \cdot \frac{V_{REF}}{R_C} \quad (4.71)$$

în condițiile respectării relației (4.70). La creșterea sarcinii tensiunea de ieșire începe să scadă.

Funcționarea ca stabilizator de curent se semnalizează prin dioda electroluminescentă  $D_2$ . Pentru aplicație se recomandă folosirea pentru  $Q$  a unui tranzistor de putere (compus) și următoarele valori pentru rezistoare:  $R=33 \Omega$ ;  $R_A=200 \Omega$ ;  $R_B=5 \text{ k}\Omega$  (variabil);  $R_C=0,2 \Omega$  (5 W);  $R_D=250 \text{ k}\Omega$  (variabil);  $R_E=330 \text{ k}\Omega$ ;  $R_F=220 \Omega$ ;  $R_G=680 \Omega$ . Tensiunea de ieșire se regleză prin rezistorul  $R_B$  între 1,7 și 30 V.

Limita maximă a curentului de ieșire se regleză independent de nivelul tensiunii de ieșire prin rezistorul  $R_F$  între 0 și 5 A.

### 4.3. Stabilizatoare de tensiune fixă

#### 4.3.1. Caracteristici

Versatilitatea stabilizatoarelor de tensiune continuă de uz general conduce la două inconveniente. În proiectarea aplicațiilor (relativ laborioasă), se face apel la compo-

nente externe. Performanțele electrice obținute pot implica costuri de producție destul de ridicate.

Stabilizatoarele de tensiune fixă uzuale s-au proiectat în ideea folosirii pentru stabilizarea locală a tensiunii de alimentare pe module cu circuite integrate. Ele aduc avantajele simplității maxime de utilizare și optimizării raportului cost-performanță. În acest scop, s-a recurs la diversificarea lor pe două direcții: tensiune de ieșire și curent maxim de ieșire (fig. 4.63). Totodată s-a impus limita celor trei terminale pentru a se livra în capsule ieftine (TO-3, TO-39, TO-92, TO-202, TO-220), adaptate la nivelul maxim de curent furnizat la ieșire.

Caracteristicile generale ale acestui tip de stabilizatoare sint:

- în aplicațiile de bază nu necesită componente externe,

- tensiunea de ieșire, fixată intern, se garantează cu o precizie de 4—6% (variante comerciale).

- limita curentului maxim de ieșire, fixată intern prin circuitul de protecție la suprasarcină, este în general dependentă de temperatură (excepții — stabilizatoare din seriile  $\mu A$  79M00; LM 120; LM 145).

- stabilizatoarele conțin circuitul de menținere a funcționării tranzistorului serie în aria de siguranță (vezi fig. 4.64)\*.

- circuitul de protecție intern ( $T_{IM}=150^\circ C$ ) asigură imunitate la scurtcircuitarea ieșirii la masă pe o durată nedefinită.

Stabilizările de intrare și de sarcină, rejecția tensiunii de undulație prezintă valori satisfăcătoare pentru cea mai mare parte din aplicații (vezi tabel 4.3). Se remarcă totuși că nivelul de performanță este inferior stabilizatoarelor de uz general din a doua generație.

Stabilizatoarele de tensiune fixă uzuale se utilizează frecvent la o putere disipată apropiată de valoarea maxim admisă. În vederea dimensionării corecte a radiatorului,

---

\* La stabilizatoarele din seria  $\mu A$  78L00 această protecție s-a realizat prin supradimensionarea ariei de emitor a tranzistorului serie.

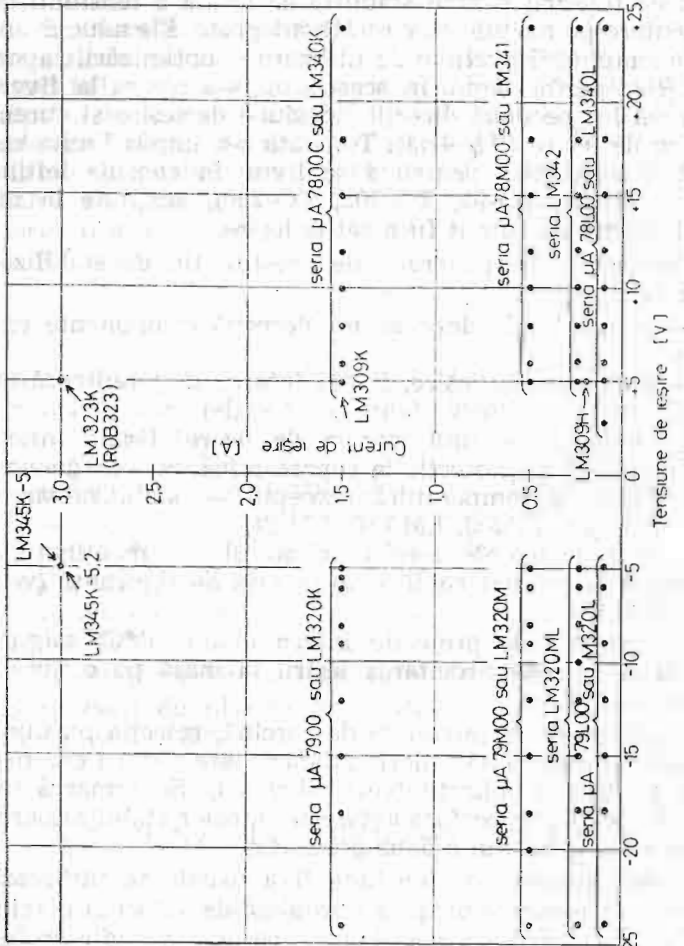


Fig. 4.63. Ghid de selectare pentru stabilizatoare de tensiune fixă uzuale.

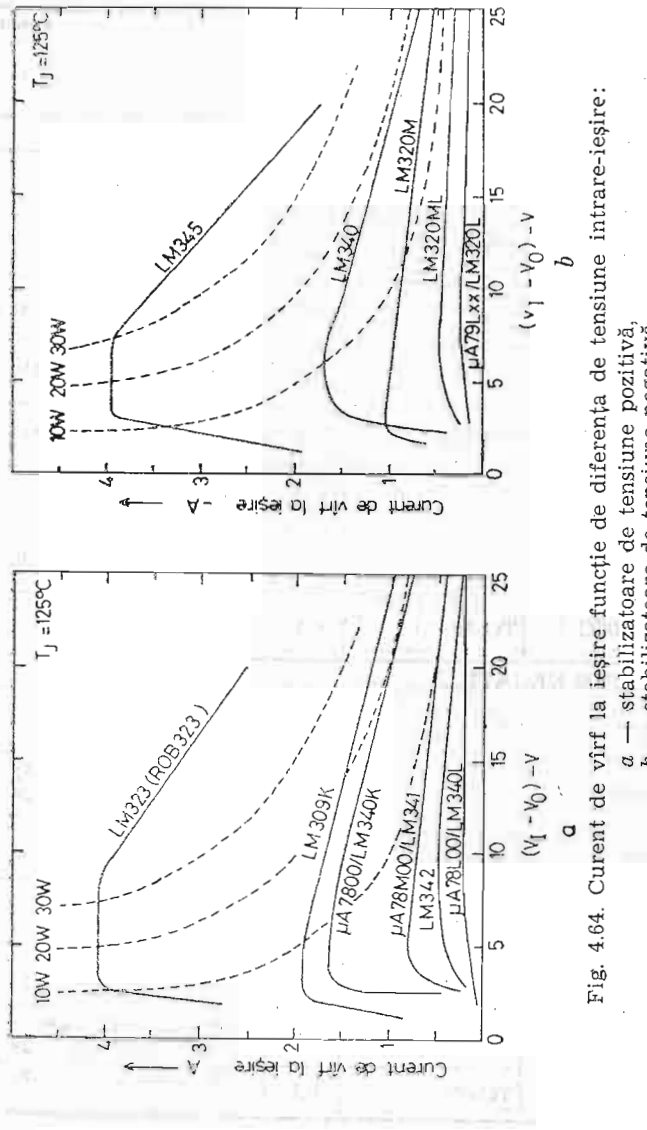


Fig. 4.64. Curent de virf la ieșire ca funcție de diferența de tensiune intrare-iesire:

Tabelul 4.3

## Stabilizatoare de tensiune

Tip circuit	Tip capsula	$I_{OM}$ (A)	Tensiune de	
			$V_o$ (V)	
<b>TENSIUNE POZITIVĂ</b>				
LM 323 K	TO-3	3,0	5	
LM 309 K	TO-3	1,5	5	
$\mu$ A 7800 C	TO-3	1,5	5; 6; 8; 10; 12; 15; 18; 24	
LM 340 K	TO-3	1,5	5; 6; 8; 10; 12; 15; 18; 24	
$\mu$ A 78M00C	TO-202	0,5	5; 6; 8; 10; 12; 15; 18; 24	
LM 309 H	TO-39	0,2	5	
LM 340 L	TO-39	0,1	5; 6; 8; 10; 12; 15; 18; 24	
$\mu$ A 78L00C	TO-39	0,1		
<b>TENSIUNE NEGATIVĂ</b>				
LM 345 K	TO-3	3,0	-5,0; -5,2	
$\mu$ A 7900 C	TO-3	1,5	-5,0; -5,2; -6; -8; -9; -12; -15; -18; -24	
LM 320 K	TO-3	1,5	-5,0; -5,2; -6; -8; -9; -12; -15; -18; -24	
$\mu$ A 79M00C	TO-202	0,5	-5; -6; -8; -12; -15; -24	
LM 320 M	TO-202	0,5	-5; -5,2; -6; -8; -9; -12; -15; -18; -24	
LM 320 ML	TO-39	0,25	-5; -6; -8; -10; -12; -15; -18; -24	
$\mu$ A 79L00C	TO-39	0,1	-5; -12; -15; -18; -24	

## fixă uzuale

ieșire %	$V_{IM}$	$K_V$ $\Delta V_I = 1V$ (% $V_o$ )	$K_L$ (% $V_o$ )	R.R (dB)	$ v_I - V_o $ (V)
4	20	0,01	0,05	80	2
4	35	0,004	1,0	80	1-2
4	35	0,03	0,5	66-80	1,6-2
4	35	0,02	0,1	66-80	1,6-2
4	35	0,03	0,5	66-80	1,6-2
4	35	0,004	0,4	80	1-2
4	35	0,02	0,25	45-62	1,5-2
2	35	0,03	0,25	45-60	1,5-2
4	20	0,008	0,6	68	2
4	35	0,03	0,4	66-70	2-4
4	25(35)	0,02	0,3	64-80	2
4	35	0,03	0,7	58-60	2
4	35	0,02	0,6	60-80	2
4	35	0,02	0,6	60-80	2
4	35	0,02	0,6	50-55	2

foile de catalog specifică rezistența termică jocăjuncapsulă.

Proiectarea aplicațiilor de tip flotant se facilitează prin garantarea valorii maxime a variației curentului consumat în gol ( $\Delta I_G$ ), pentru o variație specificată a tensiunii de intrare. De asemenea, se indică rezistența (dinamică) văzută la ieșirea stabilizatorului, la o frecvență specificată.

Dat fiind costul redus și gradul ridicat de diversificare stabilizatoarele de tensiune fixă uzuale au restrins considerabil piața stabilizatoarelor de uz general.

#### 4.3.2. Tipuri reprezentative

Aspectele legate de construcția schemei electrice a stabilizatoarelor de tensiune fixă uzuale se prezintă prin descrierea circuitelor din seriile,  $\mu A$  7800 (tensiune pozitivă), respectiv  $\mu A$  7900 (tensiune negativă). Alegerea lor ca tipuri reprezentative se datorează popularității de care se bucură printre utilizatori. În fig. 4.65 se prezintă schema de principiu a stabilizatorului din seria  $\mu A$  7800.

Tranzistoarele  $Q_1, \dots, Q_7$  alcătuiesc împreună cu rezistoarele aferente o sursă de tensiune de referință de tip bandă interzisă de 5 V. Tranzistorul compus  $Q_3, Q_4, R_4, Q_{11}$ ,  $R_6$  constituie un amplificator de eroare inclus în sursa de referință, ceea ce diminuează tensiunea de zgomot la ieșire. Rezistorul  $R_1$  fixează curentul prin generatorul  $Q_8, Q_9$  (sarcină activă a amplificatorului de eroare).

Elementul regulator serie format din  $Q_{16}, Q_{17}$  este capabil să furnizeze un curent de ieșire de peste 1,5 A.

Joncțiunea bază-emitor a tranzistorului de limitare  $Q_{15}$  se prepolarizează prin divizorul rezistiv  $R_{21}, R_{12}$ , pentru a reduce valoarea rezistenței de sesizare  $R_{11}$ . Prin intermediul tranzistorului  $Q_{15}$  acționează și circuitul de menținere a funcționării tranzistorului  $Q_{17}$  în aria de siguranță ( $Z_2, R_{13}, R_{12}, R_{11}$ ).

Dioda Zener  $Z_1$ , repetorul  $Q_{12}$  și divizorul rezistiv  $R_7, (R_6 + R_5)$  furnizează tensiunea de prepolarizare, la  $T_i = 25^\circ C$ , a bazei tranzistorului senzor de temperatură  $Q_{14}$ .

La pornire, tranzistorul  $Q_{13}$  furnizează curent prin  $R_1$  sursei de referință. După atingerea potențialului de regim permanent (5 V pe baza lui  $Q_6$ , tranzistorul  $Q_{13}$  se blochează.

Pentru fiecare tip de circuit din seria  $\mu A$  7800, nivelul tensiunii de ieșire se fixează pe cip, selectând cu o mască

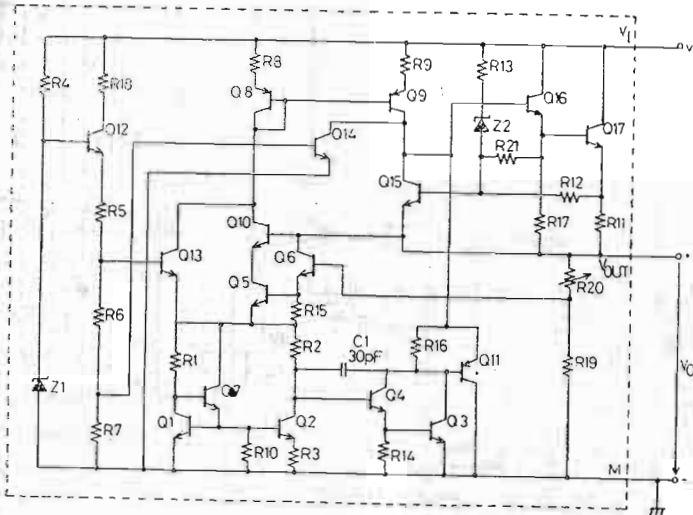


Fig. 4.65. Schemă electrică echivalentă pentru stabilizatoare din seria  $\mu A$  7800.

de interconexiuni adecvată valoarea corespunzătoare a rezistenței  $R_{20}$ .

Sursa de tensiune de referință din circuitele seriei  $\mu A$  7900 (fig. 4.66) furnizează două nivele de tensiune compensate termic. Un nivel de  $-2,33$  V, obținut prin divizarea tensiunii diodei Zener  $Z_2$  cu ajutorul tranzistoarelor  $Q_3, Q_4, Q_5$  și a rezistoarelor  $R_1, R_2$  se utilizează în stabilizatoarele de  $-5$  V,  $-6$  V, și  $-8$  V. Dioda Zener  $Z_2$  și repetorul  $Q_3$  se polarizează la curent constant prin oglinda de curent  $Q_7, Q_8$ .

Al doilea nivel de referință, de  $-6,2$  V, obținut prin adiționarea unei fracții din tensiunea colector-emitor a

tranzistorului  $Q_6$  la tensiunea diodei Zener  $Z_2$ , se utilizează pentru tensiuni de ieșire cuprinse între  $-12$  V și  $-24$  V.

Acest artificiu îmbunătățește stabilizarea de intrare la tensiuni de ieșire mai negative de  $-12$  V.

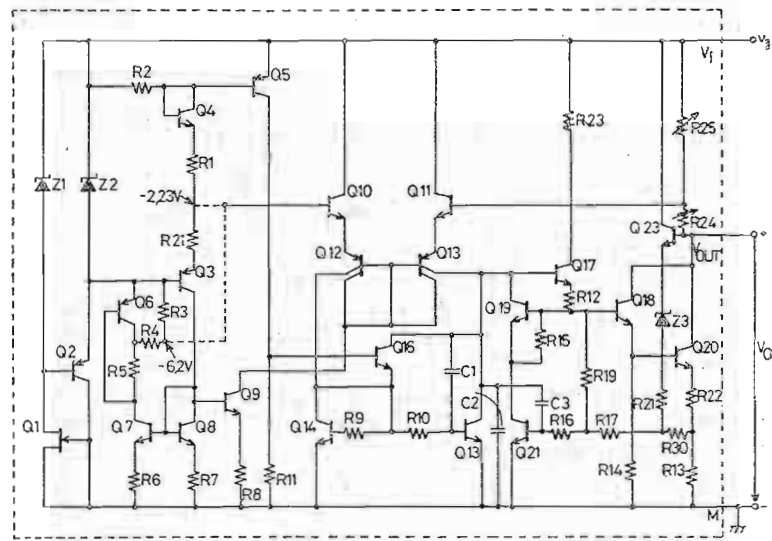


Fig. 4.66. Schemă electrică echivalentă pentru stabilizatoarele din seria  $\mu A$  7900.

Repetorul pe emitor  $Q_{17}$  separă amplificatorul de eroare compus dintr-un etaj diferențial ( $Q_{10}, Q_{11}, Q_{12}, Q_{13}$ ) cu sarcină activă ( $Q_{14}, Q_{15}$ ), de tranzistorul regulator serie ( $Q_{18}, Q_{20}$ ). Amplificatorul de eroare se compensează în frecvență prin rețea  $R_9, R_{10}, C_1, C_2$ . Deoarece tranzistorul serie funcționează ca amplificator în conexiunea emitor comun, pentru compensarea în frecvență a stabilizatorului este necesar să se conecteze un capacitor extern între terminalele  $V_{OUT}$  și  $M$ .

Limitatorul de curent, alcătuit din  $R_{13}, R_{30}, Q_{21}, Q_{19}$ , compensat în frecvență prin  $R_{16}, C_3$ , protejează circuitul la suprasarcină. Tranzistorul  $Q_{23}$ , dioda Zener  $Z_3$  și re-

zistorul  $R_{21}$ , mențin funcționarea tranzistorului serie în aria de siguranță.  $R_2, Q_5, R_{11}, Q_{16}$ , formează circuitul de protecție termică.

Circuitul de pornire este format din tranzistorul cu efect de cimp cu jonctiune  $Q_1$ , dioda Zener  $Z_1$  și tranzistorul  $Q_2$ .

Tensiunea de ieșire a stabilizatorului se fixează pe cip, prin selectarea cu o mască de interconexiuni adecvată a nivelului tensiunii de referință și a raportului rezistoanelor  $R_{24}/R_{25}$ .

#### 4.3.3. Aplicații

Recomandările cu caracter general din paragraful anterior rămân valabile și pentru aplicațiile stabilizatoarelor de tensiune fixă uzuale.

Rezistențele și inductanțele parazite se vor minimiza folosind conductoare cu secțiune suficient de mare și de lungime cât mai mică. Prin conectarea tuturor firelor de legătură la masă într-un singur nod (la terminalul  $M$ ) se va evita apariția unor curenți prin buclele create între puncte de masă diferite.

Cînd stabilizatorul integrat se plasează la o distanță mai mare de 5 cm față de filtrul redresorului, se va cupla la intrare un capacitor  $C_1$  (ceramic —  $0,22 \mu F$ , cu tantal —  $2 \mu F$ , electrolitic cu aluminiu —  $25 \mu F$ ).

Cuplarea unui condensator  $C_2$  la ieșire (necesar din motive de compensare în frecvență la stabilizatoarele de tensiune negativă) va reduce impedanța de ieșire la frecvențe mari, unde amplificarea în buclă deschisă a amplificatorului de eroare începe să scadă.

Pentru fiecare aplicație se va analiza necesitatea protecției stabilizatorului, cu diode, la fenomenele de regim tranzitoriu.

Fig. 4.67 prezintă aplicațiile de bază ale stabilizatoarelor de tensiune fixă uzuale.

Decuplarea automată a tensiunii de ieșire se realizează printr-un circuit de comandă extern conectat între intrare și masă (fig. 4.68).

Tranzistorul  $Q_A$  joacă rolul de comutator electronic comandat prin intermediul tranzistorului  $Q_B$ . Aplicarea unei tensiuni de nivel ridicat pe intrarea de comandă satură pe  $Q_B$ , care permite deschiderea lui  $Q_A$ . Rezistoare-

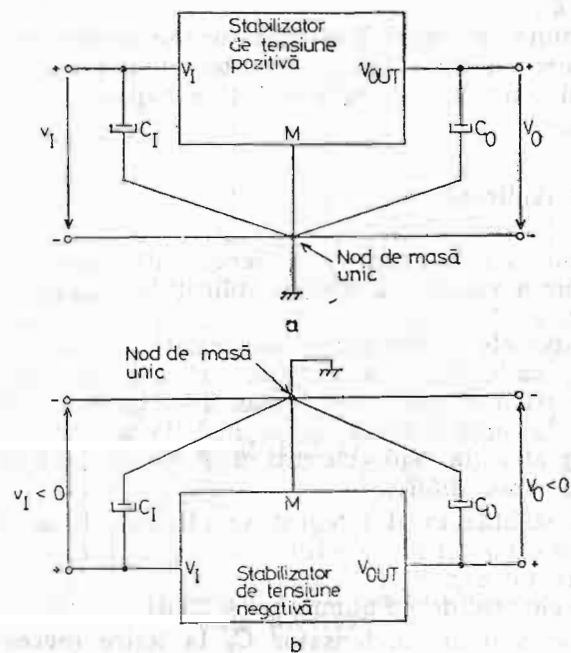


Fig. 4.67. Aplicații de bază ale stabilizatoarelor de tensiune fixă uzuale:

a — tensiune pozitivă,  
b — tensiune negativă.

rele  $R_A$ ,  $R_B$  se dimensionează astfel încât să asigure deschiderea tranzistorului  $Q_A$  în cele mai dificile condiții:

$$R_B = \frac{V_{I_{min}} - V_{BEA}}{I_0} \beta_{A\ sat} \quad (4.72)$$

unde  $\beta_{A\ sat}$  este cîștigul în curent al tranzistorului  $Q_A$  în saturare.

De obicei, puterea disipată pe  $R_B$  depășește 0,5 W. Timpii de comutare sunt determinați, în primul rînd, de valoarea constantei de timp  $R_L C_2$  și în al doilea rînd, de caracteristicile electrice ale stabilizatorului și tranzistoarelor.

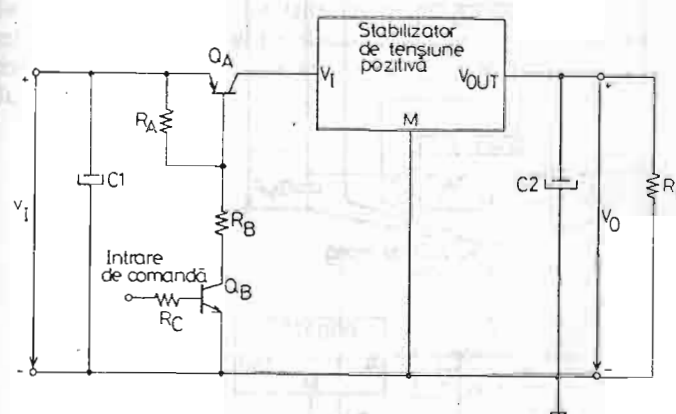


Fig. 4.68. Stabilizator de tensiune cu circuit de decuplare.

#### Extinderea domeniului de curent la ieșire

Cresterea curentului furnizat (absorbit) la ieșire peste valoarea maximă fixată intern prin circuitul de limitare integrat în stabilizator se obține prin:

- conectarea în paralel a mai multor stabilizatoare,
- utilizarea unui tranzistor extern de putere.

În primul caz, (fig. 4.69), stabilizatoarele se selectează astfel ca tensiunile de ieșire să se înscrie într-un interval maxim de circa 50 mV. Nerespectarea condiției de împerechere conduce la o distribuire inegală a curentului de ieșire, prin stabilizatoarele integrate.

Operația laborioasă de sortare necesară pentru schema din fig. 4.69 se evită utilizând două amplificatoare operaționale ieftine, de uz general ( $\beta_A$  741), aşa cum se arată în fig. 4.70.

Precizia de împerechere a rezistoarelor  $R_A$ ,  $R_B$ ,  $R_C$ , se transferă asupra distribuirii curentului de ieșire prin stabilizatoare. Prin dimensionarea rezistoarelor  $R_D$ ,  $R_E$  se va asigura scurgerea curentului consumat în gol de fiecare circuit integrat (20 mA) la sursa de alimentare cu tensiu-

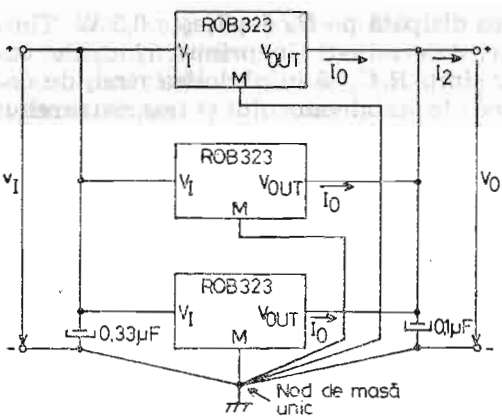


Fig. 4.69. Cresterea curentului de ieșire prin conectarea stabilizatoarelor în paralel.

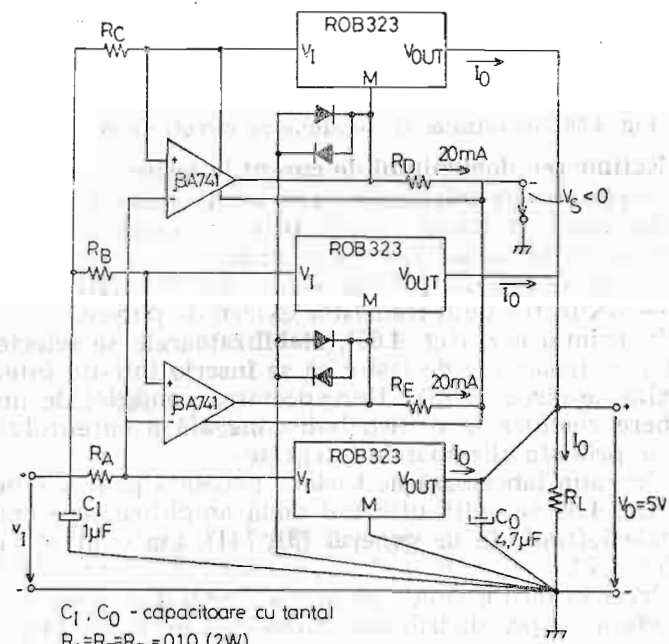


Fig. 4.70. Echilibrarea distribuției de curent prin stabilizatoare.

ne negativă (nestabilizată). Diodele limitează excursia de potențial pe terminalele M la  $\pm 0,7$  V față de masă.

Se observă că factorul de multiplicare al curentului maxim furnizat la ieșire ( $I_{LM}/I_{OM}$ ) este egal cu numărul de stabilizatoare conectate în paralel. Pentru un factor de multiplicare mai mare de 3, această tehnică devine prea costisitoare, drept care se recurge la un tranzistor extern de putere (fig. 4.71).

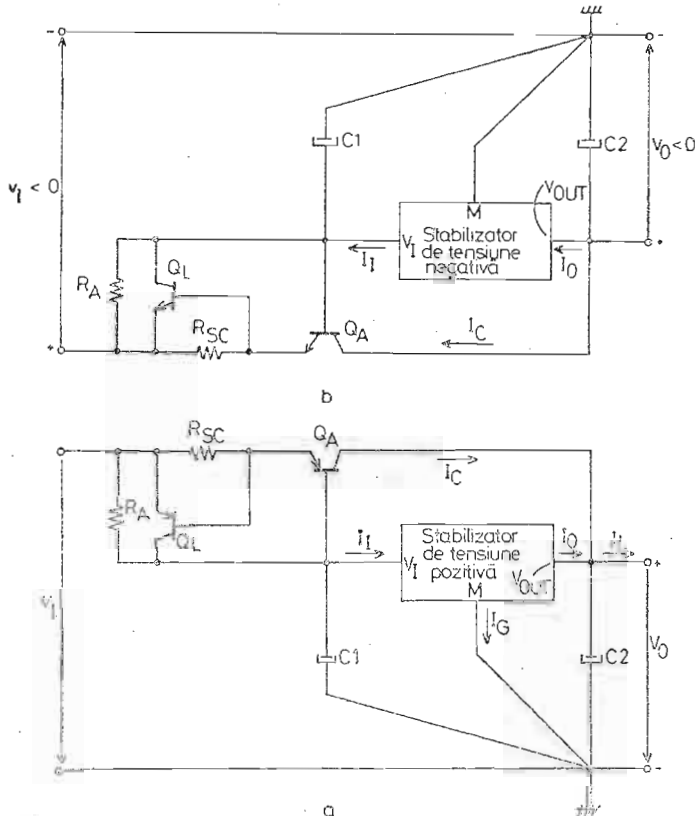


Fig. 4.71. Cresterea curentului de ieșire cu un tranzistor extern:  
a — tensiune pozitivă  
b — tensiune negativă

Tranzistorul  $Q_A$  furnizează cea mai mare parte din curentul debitat prin sarcină ( $I_L$ ):

$$I_L = (\beta_A + 1)I_0 + \beta_A \left( I_G - \frac{V_{BEA}}{R_A} \right) \quad (4.73)$$

unde  $\beta_A$  și  $V_{BEA}$  sunt parametrii tranzistorului  $Q_A$ . Rezistorul  $R_A$  va asigura o tensiune suficientă pe jonctiunea bază-emitor a tranzistorului  $Q_A$  în condiții de curent maxim prin sarcină și  $\beta_A$  minim:

$$R_A = \frac{V_{BEA}}{I_{OM} + I_G - \frac{I_{L_{Max}}}{\beta_A \min}} ; \beta_A \min \gg 1 \quad (4.74)$$

Tranzistorul  $Q_L$  și rezistorul  $R_{SC}$  protejează tranzistorul  $Q_A$  la suprasarcină.

Distribuirea curentului de ieșire  $I_L$  pe cele două componente  $I_0$  și  $I_C$  (curent de colector al tranzistorului  $Q_A$ ) este dependență de  $\beta_A$ . Dispersia valorilor acestui parametru poate crea neplăceri, care pot fi evitate utilizând schema din fig. 4.72. Distribuirea curentului  $I_L$  în cele două componente se controlează prin raportul rezistențelor  $R_B$ ,  $R_C$ . În ipoteza că tensiunea pe dioda  $D$  este egală cu tensiunea  $V_{BEA}$  se arată ușor că:

$$\frac{I_{RB}}{I_{RC}} = \frac{R_C}{R_B} \quad (4.75)$$

$$I_L = I_{RB} + I_{RC} - I_G \quad (4.76)$$

Dacă  $\beta_A \gg 1$  rezultă:

$$I_{L_{Max}} = \left( 1 + \frac{R_C}{R_B} \right) \left( I_{OM} + I_G - \frac{V_{BEA}}{R_C} \right) - I_G \quad (4.77)$$

Rezistorul  $R_A$  se dimensionează într-o manieră similară cu cea prezentată în aplicația anterioară.

Controlul exercitat asupra distribuirii curentului  $I_L$  prin raportul  $R_L/R_B$  extinde protecția internă la suprasarcină a circuitului integrat și asupra tranzistorului  $Q_A$ . Același fenomen de extindere are loc și în cazul protecției termice dacă cele două componente de putere prezintă

rezistențe termice jonctiune-capsulă egale și raportul dintre capacitațile termice ale radiatoarelor se menține egal cu  $R_B/R_C$ .

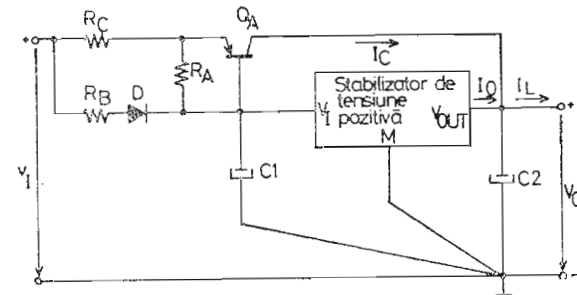


Fig. 4.72. Echilibrarea distribuției de curent prin stabilizator și tranzistorul extern.

#### Extinderea domeniilor de tensiune

În acest paragraf se prezintă tehnici de extindere a domeniului tensiunii de intrare și/sau ieșire peste limitele admise de foile de catalog ale stabilizatoarelor integrate.

Alimentarea stabilizatorului cu o tensiune superioară tensiunii de intrare maxim admise se poate realiza în două moduri.

În fig. 4.73 dioda Zener  $Z$  și rezistorul  $R$  prestatabilizează tensiunea de alimentare la un nivel convenabil.

$$V_I = V_Z - V_{BE} < V_{IM} \quad (4.78)$$

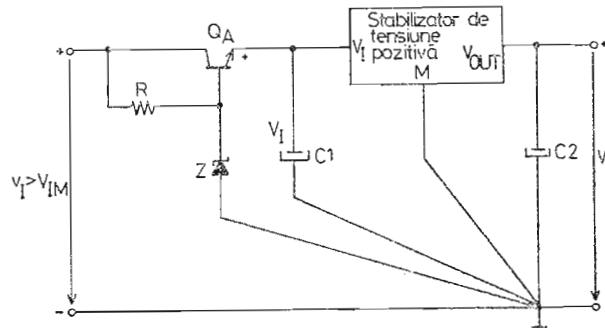


Fig. 4.73. Extinderea domeniului tensiunii de intrare prin divizare.

Curentul de alimentare a stabilizatorului se furnizează prin tranzistorul  $Q$ . Rezistorul  $R$  trebuie să asigure curent suficient pentru polarizarea bazei tranzistorului  $Q$  și a diodei Zener.

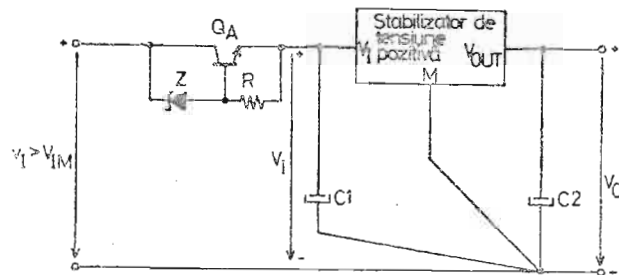


Fig. 4.74. Extinderea domeniului tensiunii de intrare prin inserarea unei diode Zener.

În fig. 4.74 dioda Zener  $Z$ , tranzistorul  $Q_A$  și rezistorul  $R$  alcătuiesc o diodă Zener de curent mare (ieftină), care se inseriază la intrarea stabilizatorului.

$$V_I = v_I - (V_Z + V_{BE}) < V_{IM} \quad (4.79)$$

Inlocuirea diodei Zener compusă, printr-un rezistor de putere nu este recomandabilă, deoarece deteriorează stabilizarea de sarcină a tensiunii de ieșire.

Creșterea tensiunii de ieșire la un nivel ( $V_E$ ) superior celui furnizat de stabilizatorul integrat ( $V_0$ ) se realizează cu o schemă de tip flotant. Diода Zener  $Z_A$  (fig. 4.75) translatează potențialul pe terminalul  $M$  la nivelul:

$$V_{ZA} = V_E - V_0 \quad (4.80)$$

Tranzistorul  $Q_A$ , dioda Zener  $Z_B$  și rezistorul  $R$  prestaabilizează și reduce tensiunea aplicată între terminalele  $V_I$  și  $M$ . În condiții de sarcină mare, dioda  $D_1$  ajută pornirea circuitului. Dacă ieșirea se scurcircuitează, dioda  $D_1$  aduce potențialul terminalului  $M$  la mai puțin de 1 V față de masă, limitând diferența de tensiune intrare-ieșire pe stabilizator la  $V_{ZB} - V_{BEA} + V_{D1}$ .

Se observă totuși, că această diferență de tensiune rămâne la valoare relativ ridicată. În vederea evitării unui radiator supradimensionat pentru stabilizator, se recurge la schema din fig. 4.76, care prezintă o modalitate de re-

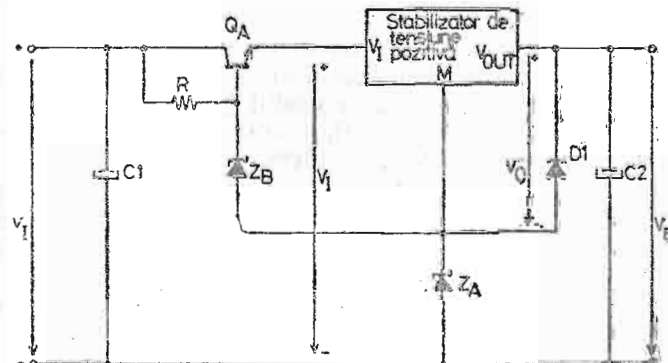


Fig. 4.75. Extinderea domeniului tensiunii de ieșire.

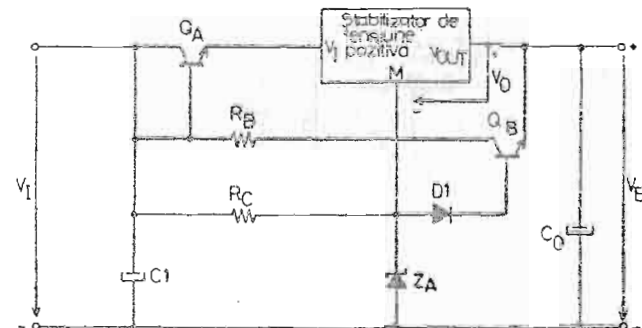


Fig. 4.76. Extinderea domeniului tensiunii de ieșire cu protecție suplimentară la scurtcircuit.

ducere a puterii disipate în condiții de scurtcircuit la ieșire.

În funcționare normală, tranzistorul  $Q_B$  este blocat, tranzistorul  $Q_A$  furnizează stabilizatorului curentul de intrare. Dică Zener  $Z_A$  se polarizează prin rezistorul  $R_C$ .

Cind ieșirea cade la masă, rezistorul  $R_C$  va asigura un curent suficient pentru a satura tranzistorul  $Q_B$ . Ca urmare potențialul pe baza tranzistorului  $Q_A$  coboară și diferența de tensiune intrare-iesire pe stabilizator se reduce.

Dioda  $D_1$  protejează tranzistorul  $Q_B$  la tensiuni bază-emitor inverse excesive.

La conectarea alimentării, capacitorul  $C_1$  (de valoare mare) va întârzi creșterea tensiunii de intrare astfel încât să poată fi urmărită de potențialul pe terminalul  $M$ . În caz contrar, tranzistorul  $Q_B$  fiind blocat, pe stabilizator se va aplica întreaga tensiune de intrare.

O altă modalitate de translatăre a potențialului pe terminalul  $M$  se prezintă în fig. 4.77. Deși schema electrică este asemănătoare cu schemele descrise în capitolul anterior, dedicat stabilizatoarelor de uz general din a doua generație, există mai multe deosebiri. La stabilizatoarele de tensiune fixă, curentul consumat în gol se scurge prin terminalul  $M$  și nu prin terminalul  $V_{OUT}$ . Curentul consumat în gol ( $I_G$ ) mult mai mare decât curentul prin terminalul ajustare ( $I_{A1}$ ) și dependența sa mai pronunțată

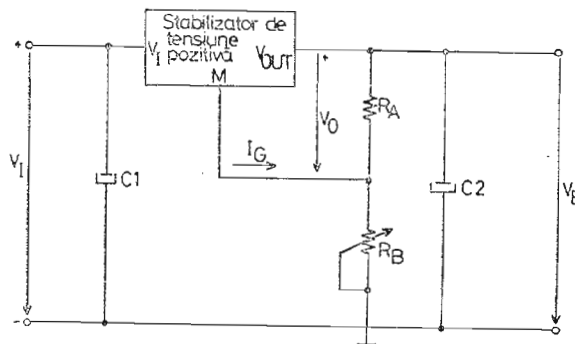


Fig. 4.77. Stabilizator de tensiune ajustabilă.

față de variațiile tensiunii de intrare și temperaturii, afecteză în mod negativ performanțele de stabilizare ale tensiunii  $V_E$ :

$$V_E = \left(1 + \frac{R_B}{R_A}\right) V_0 + R_B I_G \quad (4.81)$$

Efectele variațiilor tensiunii de intrare, respectiv ale curentului de sarcină asupra tensiunii  $V_E$  se pot approxima prin relațiile:

$$\frac{\Delta V_E}{\Delta v_I} = \left(1 + \frac{R_B}{R_A}\right) \frac{K_F V_0}{\Delta v_I} + R_B \frac{I_G}{v_I} \Big| I_0, T_A = \text{constant} \quad (4.82)$$

$$\frac{\Delta V_E}{\Delta i_0} = \left(1 + \frac{R_B}{R_A}\right) \frac{K_L V_0}{\Delta i_0} + R_B \frac{\Delta I_G}{\Delta i_0}; \Big| V_I, T_A = \text{constant} \quad (4.83)$$

unde  $K_F$ ,  $K_L$  sunt stabilizările de intrare, respectiv sarcină ale circuitului integrat.

Utilizarea unui amplificator operațional de uz general (fig. 4.78) elimină efectele negative generate de curentul consumat în gol. Potențialul pe terminalul  $M$  se deplasează la nivelul tensiunii aplicate pe intrarea neinversoare a amplificatorului operațional.

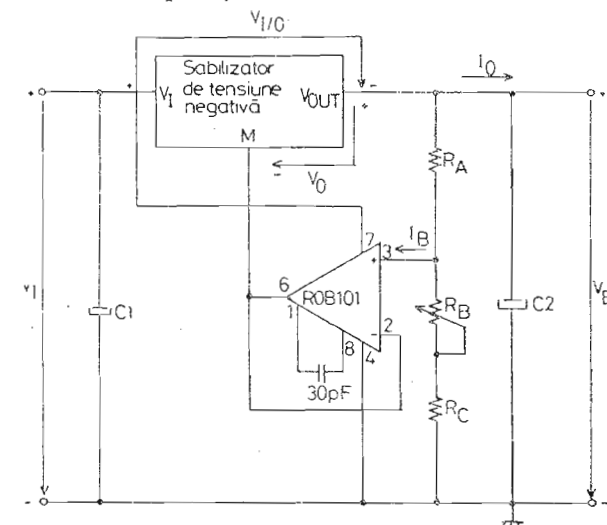


Fig. 4.78. Stabilizator de tensiune ajustabilă îmbunătățit.

Tensiunea de ieșire  $V_E$  se poate ajusta prin rezistorul  $R_B$  conform relaiei:

$$V_E = \left(1 + \frac{R_B + R_C}{R_A}\right) V_0 \quad (4.84)$$

Valoarea minimă a acesteia este determinată de tensiunea de ieșire a stabilizatorului integrat ( $V_0$ ) și de tensiunea minimă de intrare pe mod comun a amplificatorului operațional ( $V_{ICmin}$ )

$$V_{Emin} = V_0 + V_{ICmin} \quad (4.85)$$

În aceste condiții,  $R_B = 0$  și:

$$\frac{R_C}{R_A} = \frac{V_{ICmin}}{V_0} \quad (4.86)$$

Valoarea maximă a tensiunii  $V_R$  se determină din condiția de respectare a diferenței de tensiune intrare-iesire minimă pe stabilizatorul integrat (notată pentru această aplicație cu  $V_{I0}$ )

$$V_{Emax} = \left(1 + \frac{R_Bmax + R_C}{R_A}\right) V_0 - v_{Imin} - V_{I0min} \quad (4.87)$$

Curentul prin divizorul rezistiv trebuie să fie mult mai mare decât curentul de polarizare la intrare ( $I_B$ ) al amplificatorului de eroare, în orice condiții:

$$\frac{V_{Emin}}{R_A + R_C} \gg I_B; \quad \frac{V_{Emax}}{R_A + R_Bmax + R_C} \gg I_B; \quad (4.88)$$

Tensiunea de intrare  $v_I$  se va limita la tensiunea maximă de alimentare a amplificatorului operațional. Stabilizările de intrare și de sarcină pentru tensiunea  $V_E$  se pot aprecia prin relațiile:

$$\frac{\Delta V_E}{V_E} \Big|_{\Delta v_I} \times 100 = K_V; \quad I_0, T = \text{constant} \quad (4.89)$$

$$\frac{\Delta V_E}{V_E} \Big|_{\Delta i_0} \times 100 = K_L; \quad V_I, T = \text{constant} \quad (4.90)$$

unde  $K_V, K_L$  sunt parametrii stabilizatorului integrat.

### **Stabilizatoare de curent**

Deficiențele generate de curentul consumat în gol ( $I_G$ ) al stabilizatoarelor de tensiune fixă uzuale se regăsesc și la stabilizatoarele de curent (debitat, respectiv absorbit) din fig. 4.79.

Mărimea curentului stabilizat  $I_0$  se fixează prin rezistorul  $R_A$ :

$$I_0 = \frac{V_0}{R_A} + I_C \quad (4.91)$$

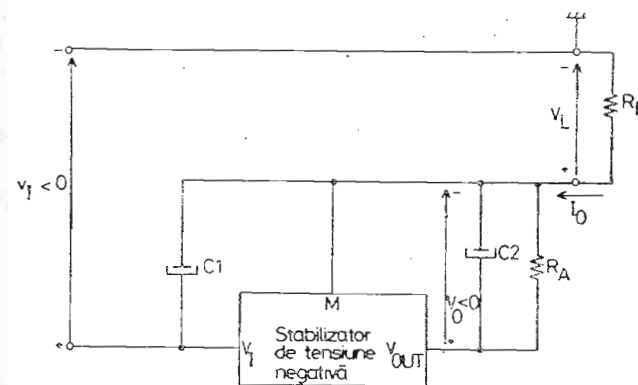
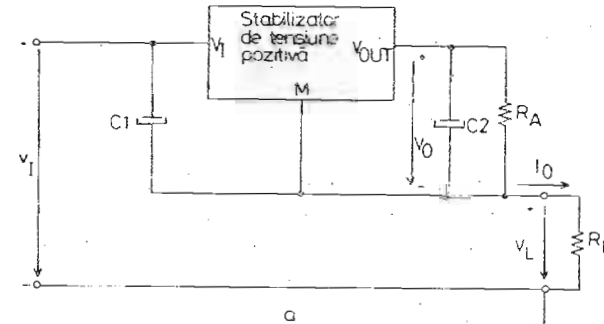


Fig. 4.79. Stabilizatoare de curent:  
a — debitat,  
b — absorbit.

Variatiile tensiunii de intrare sau sarcinii afectează nivelul curentului stabilizat atât prin variațiile tensiunii  $V_0$  cât și ale curentului consumat în gol.

Totuși, performanțele care se obțin sunt destul de bune pentru o gamă largă de aplicații.

## 4.4. Stabilizatoare de tensiune duale

### 4.4.1. Caracteristici

Majoritatea circuitelor integrate analogice se alimentează de la două surse de tensiune continuă (una pozitivă, alta negativă). Tensiunile de alimentare pot fi simetrice sau nesimetrice față de masă. De obicei, raportul dintre ele trebuie să se încadreze între limite relativ stricte, astfel că se poate vorbi de o condiție de împerechere.

Această condiție trebuie menținută pe parcursul funcționării sistemului. Dacă, din diverse cauze, una din tensiuni se deplasează într-un sens, cealaltă trebuie să se depleteze în sens contrar, pentru a restabili raportul dintre ele, existent inițial.

Proprietatea de autoajustare a tensiunii pe una din ieșirile unui stabilizator de tensiune continuă dual, în funcție de variația tensiunii pe cealaltă ieșire, pentru a menține invariantă o relație dintre ele, poartă numele de urmărire.

Calificativul „cu urmărire“ se atribuie stabilizatoarelor duale înzestrate cu această proprietate.

Stabilizatoarele de tensiune duale se pot construi prin mai multe metode.

Dacă aplicația nu impune condiții de împerechere și urmărire între tensiunile de alimentare, se utilizează, pur și simplu, două stabilizatoare de tensiune continuă independente cu o singură ieșire.

Cind se cere respectarea celor două condiții, metodele de construcție bazate pe stabilizatoare cu o singură ieșire fie utilizează posibilități de conectare particulară a acestora, fie le combină cu amplificatoare operaționale, tranzistoare etc. Descrierea acestor metode constituie obiectul paragrafului 4.4.5.

Toate stabilizatoarele de tensiune continuă duale monolitice sunt cu urmărire. Ele s-au construit pe principiul prezentat în fig. 4.80.

Stabilizatorul cu o singură ieșire  $S$  furnizează direct unul din nivelele de tensiune de ieșire. Nivelul de tensiune complementar se obține prin inversarea polarității primului nivel cu ajutorul unui amplificator operational

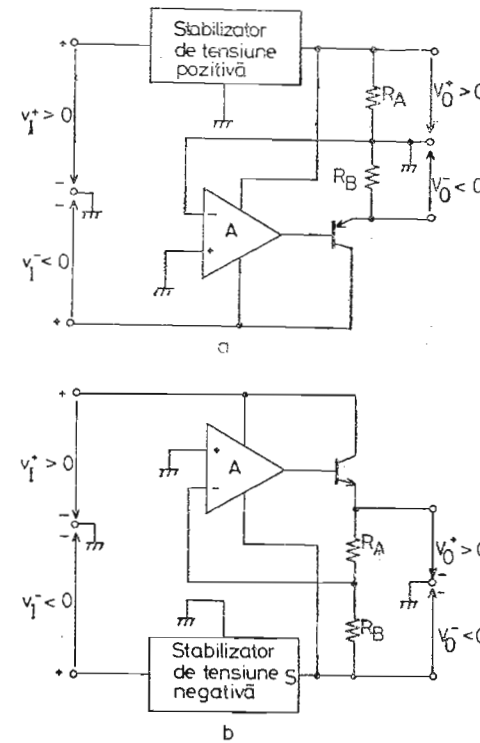


Fig. 4.80. Stabilizatoare de tensiune duale cu urmărire:

- a — tensiunea de ieșire negativă urmărește tensiunea pe ieșire pozitivă,
- b — tensiunea de ieșire pozitivă urmărește tensiunea pe ieșirea negativă.

A, urmat de tranzistorul regulator serie și al rețelei de reacție  $R_A, R_B$ . Intrarea neinversoare a amplificatorului operational (utilizat ca amplificator de eroare) fiind co-

nectată la masă, între cele două tensiuni de ieșire există relația:

$$\frac{V_0^+}{V_0^-} = -\frac{R_A}{R_B} \quad (4.92)$$

Un avantaj al stabilizatoarelor duale cu urmărire constă în posibilitatea de ajustare simultană a tensiunilor de ieșire printr-un singur potențiometru, care se placează în rețeaua rezistivă de fixare a nivelului tensiunii furnizate de stabilizatorul  $S$ .

Caracteristicile principale ale familiei stabilizatoarelor de tensiune duale monolitice sunt:

- admit între cele două terminale de intrare o tensiune de 60 V (mai mare cu 20 V față de tensiunea admisă pentru alimentarea circuitelor integrate liniare uzuale),

- nivelele de tensiune furnizate la ieșire pot fi fixe, (SG1501, LM125) sau ajustabile (ROB1468, MC1463, SG1502),

- curentul (debitat sau absorbit) pe oricare din ieșiri nu depășește 200 mA,

#### Stabilizatoare de tensiune conținuă

Tip circuit	Tip capsulă	$P_{DM}$	$v_{IM}^\pm$	$V_0^\pm$
			W	V
ROB1468	TO-116	1	$\pm 30$	$\pm 8 \dots \pm 20^*$
MC 1468 R	TO-3 cu 10 terminale	2,5	$\pm 30$	$\pm 14,5 \dots \pm 20^*$
LM325	DIP-S	2	$\pm 30$	$\pm 15$
LM 326	DIP-S	2	$\pm 30$	$\pm 12$
LM 327	DIP-S	2	$\pm 30$	$+5 \dots -12$

\* =  $\pm 15$  în absența rețelelor externe de ajustare

— conțin integrate limitatoare de curenț pentru fiecare ieșire, limite curenților și tipul protecției la scurtcircuit lăsindu-se la discreția utilizatorului,

— nu conțin integrate circuitele de protecție care să asigure funcționarea celor două tranzistoare serie în aria de siguranță.

Unele stabilizatoare duale monolitice conțin integrat și un circuit de protecție termică (LM125/126/127).

În ceea ce privește performanțele de stabilizare (tabelul 4.4) se menționează că:

- stabilizările de intrare și de sarcină sunt mai bune de 0,06% pentru  $v_I=18 \dots 30$  V, respectiv  $i_0=0 \dots 50$  mA,

- coeficienții de temperatură ai tensiunilor de ieșire prezintă valori tipice de  $\pm 0,3\%$  pentru o variație a temperaturii ambiante pe întreg domeniul de funcționare.

Curentul consumat în gol nu depășește 5 mA. Capsulele utilizate pentru circuitele din această familie au cel puțin 10 terminale (TO-100, TO-116, TO-3 cu 9 terminale etc.).

**Tabel 4.4**  
**duale, cu urmărire monolitică**

$ v_I^\pm - V_0^\pm _{min}$	$K_V$	$K_L$	$K_T$	$I_{OM}$	$I_{GM}$
V	mV	mV	mV/ $^{\circ}$ C	mA	mA
2	10	10	0,4	50	4
2	10	10	0,4	100	4
2	10	10	0,4	100	5
2	10	10	0,4	100	5
2	15	10	0,4	100	5

La stabilizatoarele duale care furnizează tensiuni simetrice față de masă, diferența dintre modulele celor două tensiuni poartă numele de tensiune de balans la ieșire\*  $V_{OB}$ . Valoarea sa este de maximum 2% din tensiunea de ieșire. Tensiunea de balans la ieșire constituie o măsură a raportului de împerechere dintre cele două tensiuni.

#### 4.4.2. Tip reprezentativ

Alegerea circuitului integrat ROB1468 ca tip reprezentativ pentru familia stabilizatoarelor de tensiune continuă duale monolitice se dătoarește atât faptului că se produce în țară cât și popularitatea circuitului MC1468, cu care este echivalent. Circuitul integrat ROB1468 poate înlocui funcțional și stabilizatoarele LM125, LM126 (National Semiconductor) SG1501, SG1502 (Silicon General) RC4195 (Raytheon).

Schema electrică a acestui stabilizator este similară cu cea din fig. 4.80 astfel că tensiunea de ieșire negativă urmărește tensiunea de ieșire pozitivă.

Stabilizatorul de tensiune pozitivă  $S$  este alcătuit dintr-un amplificator căruia i se aplică o reacție paralel-parallel (diodele Zener  $Z_2$ ,  $Z_3$ , rezistorul  $R_5$  — vezi fig. 4.81). Schema de principiu este similară cu cea utilizată pentru sursa de tensiune de referință din circuitul ROB723. Amplificatorul său este compus din două etaje: tranzistorul  $Q_7$  în conexiune emitor-comun cu sarcină activă  $Q_1$ ,  $Q_2$ , urmat de repetorul pe emitor  $Q_9$ ,  $Q_{10}$ . Stabilizatorul de tensiune pozitivă  $S$  furnizează tensiunea de ieșire  $V_0^+ = -15$  V.

Amplificatorul de eroare  $A$  este compus din două etaje:

- un etaj diferențial ( $Q_{14}$ ,  $Q_{15}$ ,  $Q_{12}$ ) cu sarcină activă ( $Q_{17}$ ),
- un amplificator  $Q_{13}$  (în conexiunea bază comună) cu sarcină activă  $Q_{12}$ .

\* Mai apropiat de semnificația fizică a acestui parametru poate fi denumit tensiune de dezechilibru între ieșiri.

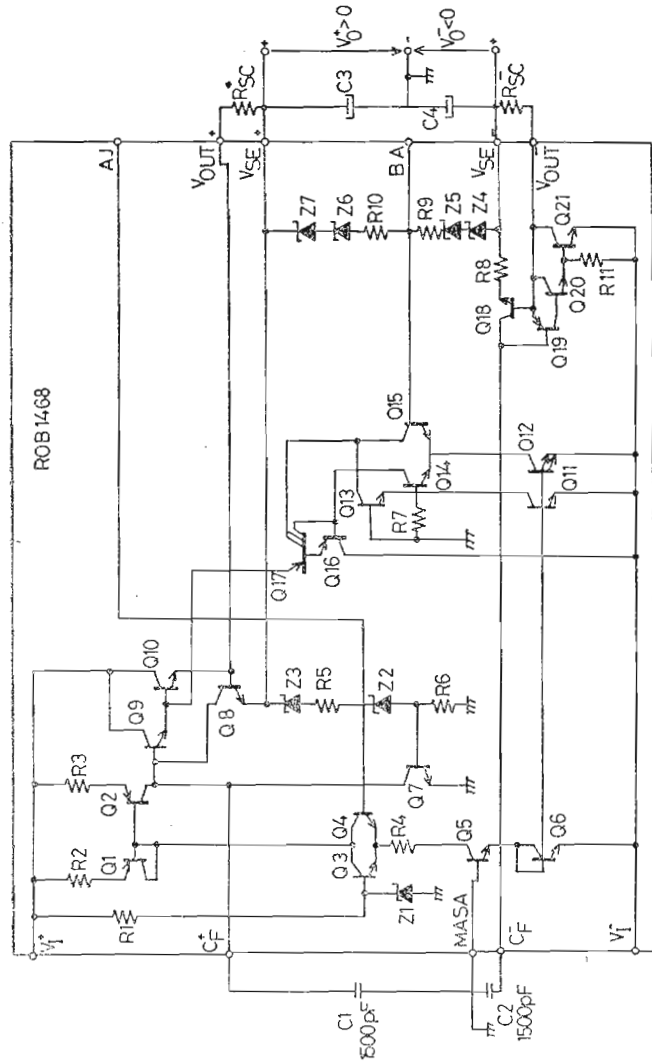


Fig. 4.81. Circuit electric echivalent pentru ROB1468.

Tripletul  $Q_{19}$ ,  $Q_{20}$ ,  $Q_{21}$ , constituie tranzistorul regulator serie pentru ieșirea de tensiune negativă.

Rețeaua de reacție de inversare a polarității  $R_A$ ,  $R_B$ , s-a substituit prin lanțul de diode Zener și rezistoarele  $Z_4$ ,  $Z_5$ ,  $Z_6$ ,  $Z_7$ ,  $R_9$ ,  $R_{10}$ . Folosirea diodelor Zener a permis reducerea rezistențelor  $R_9$ ,  $R_{10}$ , la valori convenabile pentru integrare, fără a crește curentul prin rețea.

Rețeaua de polarizare a circuitului se compune din generatoare de curent constant  $Q_1$ ,  $Q_2$ ,  $Q_6$ ,  $Q_{11}$ ,  $Q_{12}$  legate între ele prin  $Q_4$ ,  $Q_5$ ,  $R_4$ . Pornirea rețelei de polarizare se asigură prin  $R_1$ ,  $Q_3$ ,  $Z_1$ .

Compensarea în frecvență a celor două amplificatoare se asigură prin conectarea unor capacitoare externe  $C_1 = C_2 = 1\text{ }\mu\text{F}$  între terminalele  $C_F^+$ , respectiv  $C_F^-$  și MASA. Între ieșiri și masă se vor conecta capacitoare electronice cu tantal sau aluminiu  $C_3$ ,  $C_4$  de ordinul microfarazilor. Capacitoarele  $C_3$ ,  $C_4$  îmbunătățesc stabilizarea de sarcină și contribuie la compensarea în frecvență.

Fără alte rețele de reacție externe, stabilizatorul dual de tensiune monolitic ROB1468 furnizează la ieșiri tensiunile  $V_0^\pm = \pm 15\text{ V}$  cu o precizie de 3,3%. Tensiunea de balans la ieșire prezintă o valoare maximă de 300 mV.

Pentru o funcționare normală circuitul necesită ca diferențele de tensiune intrare-ieșire să fie de minimum 2V.

#### 4.4.3. Aplicații

Pentru a facilita descrierea tehniciilor utilizate în aplicații, circuitul integrat ROB1468 se va reprezenta prin schema electrică echivalentă funcțională din fig. 4.82.

Pentru parametrii electrici ai componentelor integrate din circuit se recomandă folosirea următoarelor valori:

- tensiunea nominală a diodelor Zener;  $V_Z = 6,6\text{ V}$ ,
- tensiune emitor-bază;  $V_{BE} = 0,68\text{ V}$ ,
- $R_5 = 1,4\text{ k}\Omega$ ,
- $R_6 = 1\text{ k}\Omega$ .

Tehnicile de protecție la supratensiunile de regim tranzistoriu descrise în capitolele anterioare se vor aplica pentru fiecare intrare și/sau ieșire a circuitului.

Protecția la scurt-circuitarea ieșirilor la masă se va realiza cu sau fără întoarcerea caracteristicii, prin metodele descrise în capitolul dedicat stabilizatoarelor de uz general din prima generație.

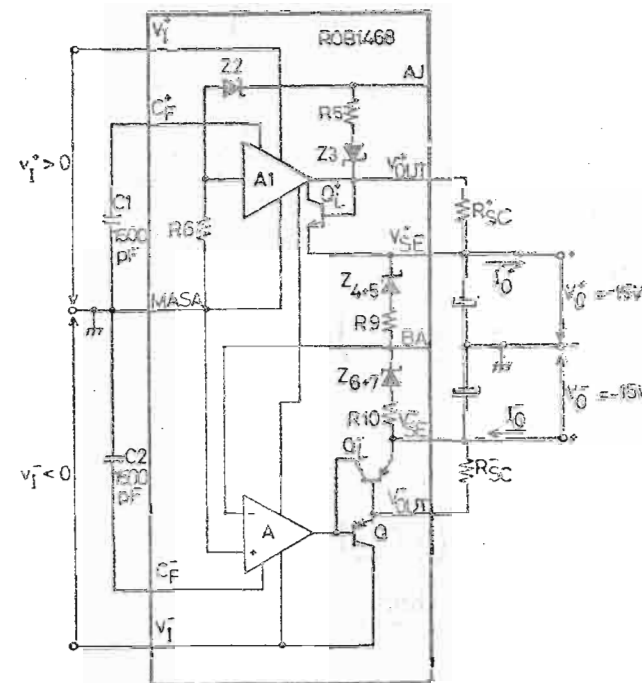


Fig. 4.82. Circuit echivalent funcțional pentru ROB1468.

Capacitoarele de compensare în frecvență  $C_1$ ,  $C_2$  se vor conecta cât mai aproape de circuitul integrat.

#### Extinderea domeniului tensiunilor de ieșire

În stabilizatoarele duale ROB1468 realizate în capsulă de tip TO-116, tensiunile de ieșire  $V_0^\pm$  se pot ajusta între  $\pm 8\text{ V} \dots \pm 20\text{ V}$ , (utilizatorul are acces la terminalul BA). La cele livrate în capsulă TO-100 ajustarea tensiunii

de ieșire se poate efectua numai în domeniul  $\pm 15V \dots \pm 20V$ .

În absența oricărei rețele de reacție externă tensiunea de ieșire pozitivă  $V_0^+$  se determină prin relația:

$$V_0^+ = 2V_Z + \left(1 + \frac{R_5}{R_6}\right) V_{BE} \quad (4.93)$$

Creșterea tensiunilor de ieșire peste  $\pm 15V$  (fig. 4.83) se obține modificând rețeaua de reacție a amplificatorului  $A_1$  prin conectarea rezistoarelor externe  $R_A$ ,  $R_B$ . Rețeaua rezistivă externă ( $R_A$ ,  $R_B$ ) forțează un curent suplimentar prin rezistorul  $R_5$  și dioda Zener  $Z_3$ . Căderea de tensiune suplimentară pe rezistorul  $R_5$  se transferă la ieșirea de tensiune pozitivă  $V_0^+$  conform relației:

$$V_0^+ = \frac{2V_Z + \left(1 + \frac{R_5}{R_6}\right) V_{BE} + (V_Z + V_{BE}) \frac{R_5}{R_A//R_B}}{1 + \frac{R_5}{R_B}} \quad (4.94)$$

Impunând  $R_5 \ll R_B$  relația se simplifică la:

$$V_0^+ = 2V_Z + \left(1 + \frac{R_5}{R_6}\right) V_{BE} + (V_Z + V_{BE}) \frac{R_5}{R_A//R_B} \quad (4.95)$$

Curentul maxim admis prin dioda Zener integrată trebuie limitat la 2,2 mA. Rezultă:

$$\frac{V_Z + V_{BE}}{R_A//R_B} - \frac{V_0^+}{V_B} \ll 2,2 \text{ mA} + \frac{V_{BE}}{R_6} \quad (4.96)$$

Relațiile 4.95 și 4.96 sunt suficiente pentru dimensiunarea rezistențelor  $R_A$ ,  $R_B$ . Acest calcul, relativ laborios se poate evita substituind rezistoarele  $R_A$ ,  $R_B$  cu un potențiometru de 100 kΩ. Pentru a nu distruge circuitul integrat în timpul ajustării tensiunilor de ieșire se va evita micșorarea rezistorului  $R_A$  sub 2 kΩ.

Creșterea tensiunilor de ieșire produce o mărire a curentului prin rețeaua internă de inversare a polarității.

Puterea internă disipată va crește cu cel mult 60 mW. Totodată se menționează ca efect negativ și creșterea coeficientilor de temperatură ai tensiunilor de ieșire.

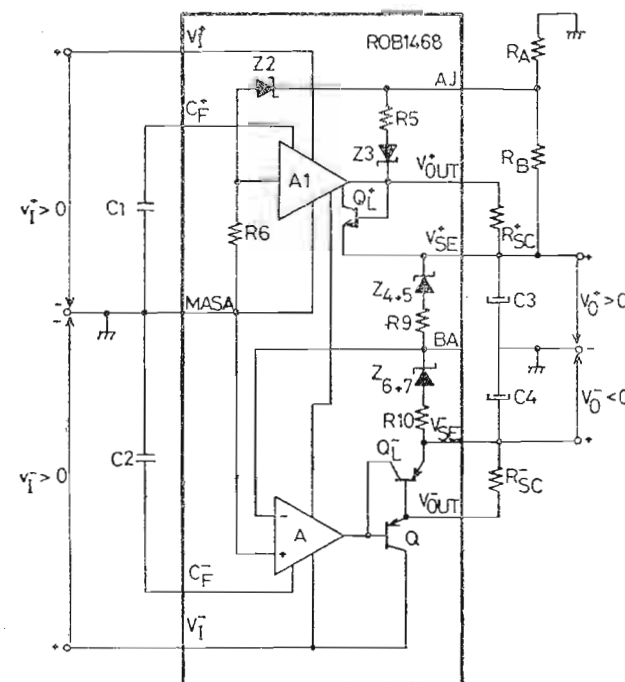


Fig. 4.83. Extinderea domeniului de tensiuni de ieșire peste  $\pm 15 V$ .

Pentru reducerea tensiunilor de ieșire sub  $\pm 15V$  (fig. 4.84) sunt necesare două operații. Mai întâi se dezactivează rețeaua internă de inversare a polarității prin șuntare cu rezistorul  $R_C = R_D = 15$  kΩ. Apoi se acționează asupra rețelei de reacție din stabilizatorul de tensiune pozitivă, prin rezistoarele  $R_A$ ,  $R_B$ . Spre deosebire de cazul anterior, rezistorul  $R_B$  trebuie să fie suficient de mic pentru a șunta dioda Zener  $Z_3$  și rezistorul  $R_5$ .

Dacă rezistorul  $R_A$  este infinit, tensiunile de ieșire ating valorile minime:

$$V_{0+}^{\min} = V_Z + V_{BE} \left( 1 + \frac{R_B}{R_A} \right) = 8 \text{ V} \quad (4.97)$$

dе unde rezultă:  $R_B = 1 \text{ k}\Omega$ .

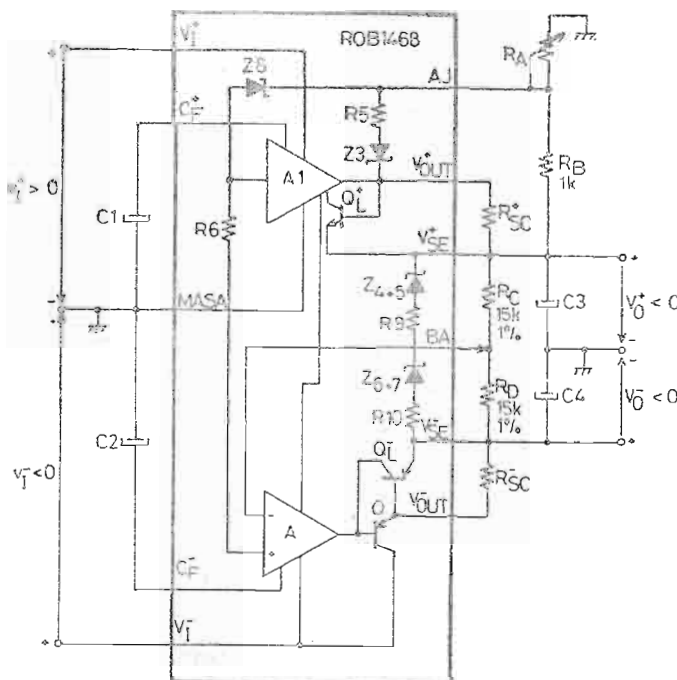


Fig. 4.84. Reducerea domeniului de tensiuni de ieșire sub  $\pm 15 \text{ V}$

Dacă  $R_A$  este finit, curentul prin  $R_B$  va crește și tensiunile de ieșire se măresc pînă la  $\pm 15 \text{ V}$  conform relației:

$$V_{0+}^{\max} = (V_Z + V_{BE}) \left( 1 + \frac{R_B}{R_A} \right) + \frac{R_B}{R_6} V_{BE} \quad (4.98)$$

Dimensionarea rezistorului  $R_A$  se face pe baza relației (4.98).

Introducerea unui potențiometru de  $0,5 \text{ k}\Omega$  și conectarea terminalului BA la cursorul său permite echilibrarea celor două tensiuni de ieșire.

#### Extinderea domeniului de curenti la ieșire

Puterea internă disipată maxim admisă pentru capsulaile de tip TO-100, TO-116 poate atinge valori de  $0,68 \text{ W}$ , respectiv  $1 \text{ W}$ . Prin montare pe radiatoare, rezistența ter-

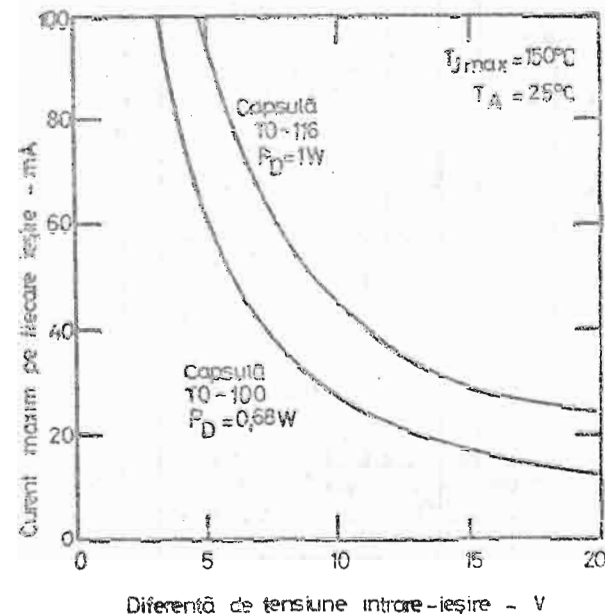


Fig. 4.85. Curent maxim disponibil pe fiecare ieșire funcție de diferența de tensiune intrare-ieșire.

mică jonație-mediu ambiant se poate reduce cel mult la  $130^\circ\text{C}/\text{W}$ , respectiv  $50^\circ\text{C}/\text{W}$ . Temperatura maxim admisă pe jonație trebuie limitată la  $150^\circ\text{C}$ . În aceste ipoteze, în fig. 4.85 se prezintă valorile maxim admise pentru curent pe fiecare ieșire în funcție de diferența de tensiune intrare-ieșire.

Apare evident faptul că pentru a se furniza la ieșire curenti mai mari de 100 mA trebuie să se apeleze la tranzistoare externe de putere.

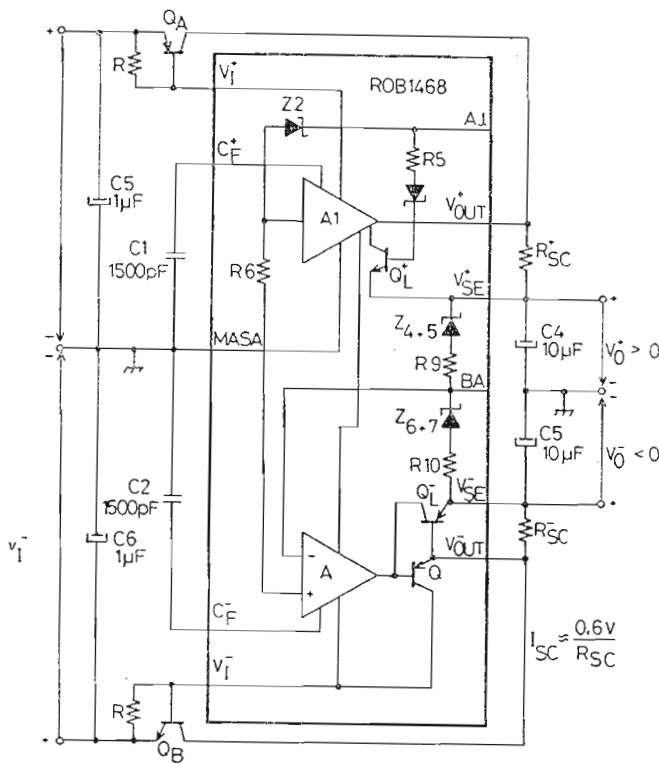


Fig. 4.86. Extinderea domeniului de curenti la ieșire.

Modul de conectare a tranzistoarelor externe  $Q_A$ ,  $Q_B$  se arată în fig. 4.86. Pentru protecția la scurtcircuitarea ieșirilor la masă se recomandă utilizarea unor tehnici de limitare a curentilor de ieșire cu întoarcerea caracteristicii.

Rezistoarele  $R$  ( $47 \Omega$ ) se dimensionează astfel încât să asigure deschiderea tranzistoarelor  $Q_A$ ,  $Q_B$  înainte ca prin ieșirea circuitului integrat să se debiteze (absoarba) curenti

mai mari de 20 mA. În acest fel circuitul integrat nu se va solicita din punct de vedere termic.

La intrări se vor conecta capacitoare electrolitice cu aluminiu de ordinul  $\mu\text{F}$ .

#### 4.4.4. Alte tehnici de construcție a stabilizatoarelor duale cu urmărire

În absența unor stabilizatoare de tensiune continuă duale cu urmărire specializate, prin combinarea de stabilizatoare cu o singură ieșire, amplificatoare operaționale de uz general, tranzistoare etc., se pot construi scheme funcțional echivalente. Principiul de construcție descris în paragraful 4.4.1 se aplică în diverse variante.

În schema electrică din fig. 4.87 se utilizează două stabilizatoare de uz general din prima generație ROB305 și ROB304. Rezistoarele  $R_A$ ,  $R_B$  fixează tensiunea de ieșire pozitivă:

$$V_0^+ = V_{REF} \left( 1 + \frac{R_A}{R_B} \right) \quad (4.99)$$

unde  $V_{REF}=1,71$  V este tensiunea de referință din ROB305.

Această tensiune se aplică cu semn schimbat între terminalele AJ și MASA ale circuitului integrat ROB304. Datorită rețelei de reacție interne  $R_{15}=R_{16}=15 \text{ k}\Omega$ , tensiunea  $-V_0^-$  se va regăsi dublată între terminalele sale  $V_{OUT}$  și MASA. Cum terminalul „MASA“ al circuitului integrat ROB304 s-a conectat la terminalul  $V_{OUT}$  al circuitului integrat ROB305, rezultă că  $V_0^- = -V_0^+$ . Cu alte cuvinte tensiunea de ieșire negativă urmărește cu semn schimbat tensiunea de ieșire pozitivă.

Tensiunile de ieșire se pot ajusta, variind rezistorul  $R_B$ , între  $\pm 4,5 \text{ V} \dots \pm 15 \text{ V}$ . Tensiunile de intrare maxim admise sunt  $V_{IM}^+ = 40 \text{ V}$ ;  $V_{IM}^- = -25 \text{ V}$ .

Într-o manieră diferită funcționează schema electrică din fig. 4.88 deși la prima vedere pare asemănătoare cu cea descrisă anterior. Rezistorul  $R_C=2,4 \text{ k}\Omega$  fixează curen-

tul furnizat de generatorul de curent constant din circuitul integrat ROB304 la  $I_{REF}=1$  mA. Ca urmare, tensiunile de ieșire vor fi:

$$V_0^+ = V_{REF} + R_A I_{REF} \quad (4.100)$$

$$V_0^- = 2(V_{REF} - R_B I_{REF}) \quad (4.101)$$

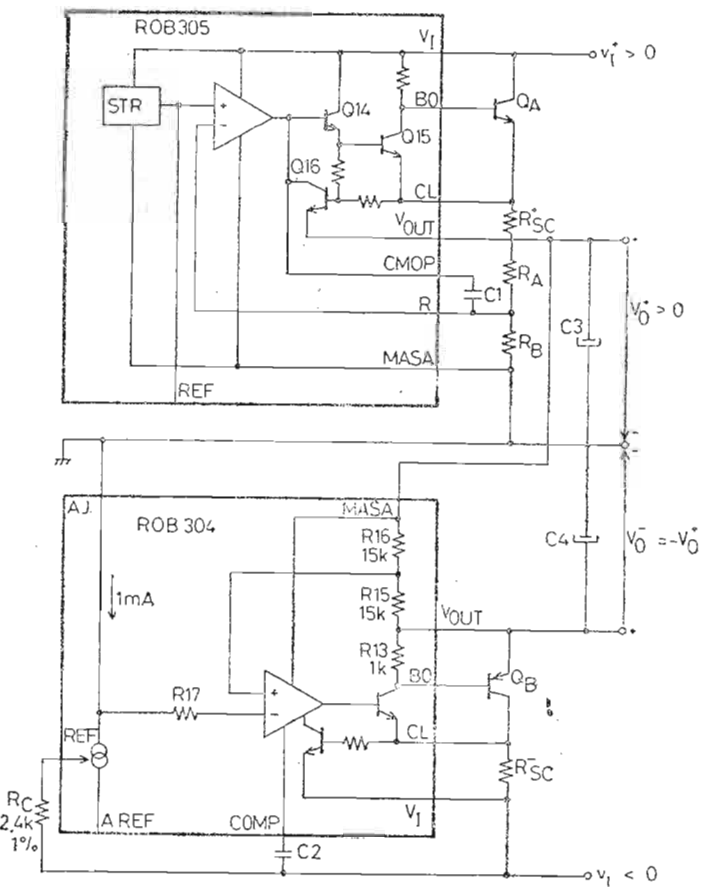


Fig. 4.87. Stabilizator de tensiune dual cu urmărire (tensiuni simetrice).

Se observă că nivelele de tensiune pe cele două ieșiri se comandă prin curentul de referință  $I_{REF}$ . Menținerea raportului de împerechere pe un domeniu larg de temperatură limitează posibilitățile de ajustare a curentului de referință (prin variația rezistorului  $R_C$ ) la cel mult 10%. Tensiunea de ieșire negativă este mult mai sensibilă la

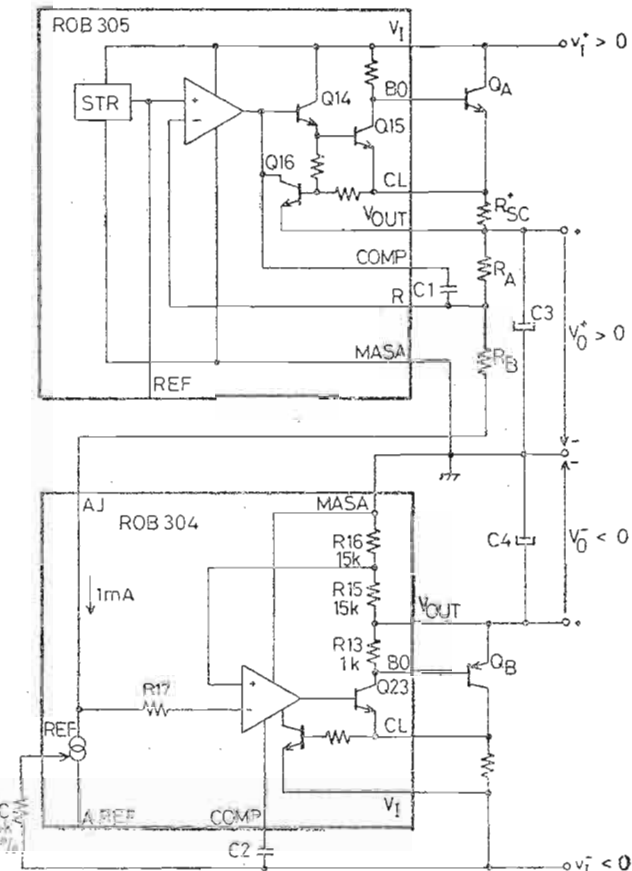


Fig. 4.88. Stabilizator de tensiune dual cu urmărire (tensiuni opuse, de polarități diferite).

variația curentului  $I_{REF}$ , comparativ cu tensiunea de ieșire pozitivă.

Dimensionînd corespunzător rezistoarele  $R_A$ ,  $R_B$  se pot obține tensiuni de ieșire simetrice sau nesimetrice, în domeniile de aplicații specifice circuitelor ROB305, ROB304. Tensiunile de intrare pot atinge valori de  $\pm 40$  V.

În schema electrică prezentată în fig. 4.89 se utilizează stabilizatoare de tensiune fixă uzuale. Amplificatorul operațional  $A_1$ , conectat în montaj repetor, menține pe rezis-

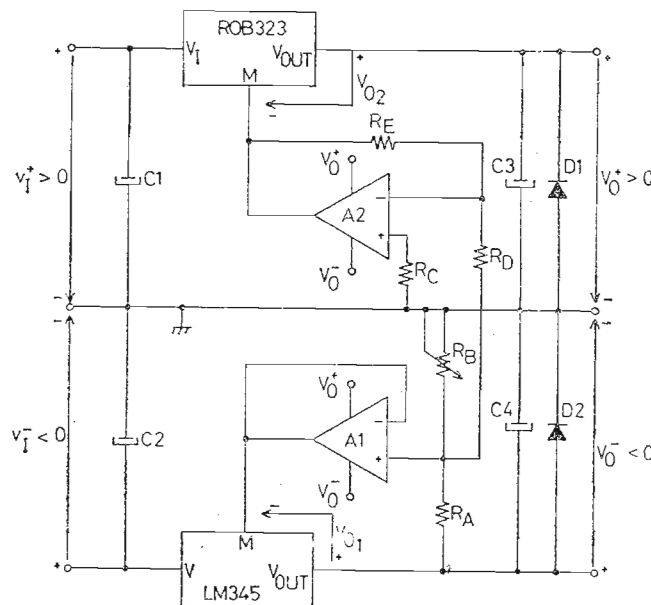


Fig. 4.89. Stabilizator de tensiune dual cu urmărire alcătuit cu stabilizatoare de tensiune fixă.

torul  $R_A$  o cădere de tensiune egală cu  $V_{01} < 0$ . Tensiunea pe ieșirea negativă se stabilește valoarea:

$$V_o^- = V_{01} \left( 1 + \frac{R_B / R_D}{R_A} \right) \quad (4.102)$$

Amplificatorul operațional  $A_2$  urmărește tensiunea  $V_o^+$  prin rețeaua de reacție  $R_D$ ,  $R_E$ , fixînd tensiunea pe ieșirea pozitivă la valoarea:

$$V_o^+ = V_{02} - V_{01} \frac{R_E \cdot R_B}{R_A (R_D + R_E)} \quad (4.103)$$

De obicei  $R_E = R_D$  (cu o precizie mai bună de 1%), astfel că:

$$V_o^+ = V_{02} - V_{01} \frac{R_E / R_D}{R_A} \quad (4.104)$$

Se observă că ambele tensiuni de ieșire se pot ajusta simultan prin varierea rezistorului  $R_E$ .

Dacă suplimentar, stabilizatoarele de tensiune fixă se aleg simetrice ( $V_{02} = -V_{01}$ ) tensiunile de ieșire  $V_o^+$ ,  $V_o^-$  vor fi simetrice:

$$V_o^+ = -V_{01} \left( 1 + \frac{R_E / R_D}{R_A} \right) = -V_o^- \quad (4.105)$$

Diodele  $D_1$ ,  $D_2$  au rol de protecție la fenomene de regim tranzitoriu.

Se recomandă următoarele componente pentru realizarea schemei:

- stabilizator de tensiune pozitivă: ROB323, μA7805,
- stabilizator de tensiune negativă: LM345, μA7905,
- amplificator operațional: βA741, ROB301 sau 1/2 βM324,
- diodă de protecție: 1N4720.

În aceste condiții tensiunile de intrare pot atinge  $V_{IM}^\pm = \pm 20$  V, tensiunile de ieșire se pot ajusta în domeniul  $\pm 5$  V... $\pm 15$  V, curenții de ieșire pot atinge 1A (3A pentru combinația ROB323, LM345).

O metodă care permite reducerea costului de producție, pentru realizarea unui stabilizator dual cu urmărire se prezintă în fig. 4.90.

Și aici tensiunea de ieșire pozitivă o urmărește pe cea negativă. Cele două tensiuni de ieșire sunt simetrice ( $V_o^+ = V_o^-$ ), rezistoarele  $R_A$  și  $R_B$  sunt egale, deci în func-

ționare normală potențialul pe baza tranzistorului  $Q_A$  este nul. Potențialul pe emitorul lui  $Q_A$  se fixează prin  $Q_B$  la  $IV_{BE}$  față de masă.  $R_C$  se dimensionează corespunzător.

Dacă tensiunea pe ieșirea negativă devine mai pozitivă, potențialul pe emitorul  $Q_A$  repetă această creștere și

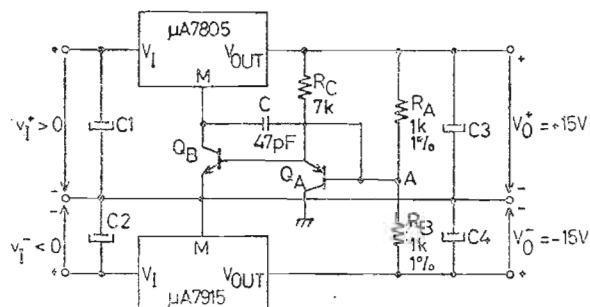


Fig. 4.90. Stabilizator de tensiune dual cu urmărire alcătuit cu stabilizatoare de tensiune fixă (variantă economică).

comandă reducerea tensiunii colector-emitor a tranzistorului  $Q_B$ . În consecință, tensiunea pe ieșirea pozitivă se va deplasa spre masă. Potențialul bazei lui  $Q_A$  redevine nul față de masă (punct de masă virtuală).

Menținerea „urmăririi“ pe un domeniu larg de temperatură necesită împerecherea tranzistoarelor  $Q_A$ ,  $Q_B$  după  $\beta$ . Împerecherea rezistoarelor  $R_A$ ,  $R_B$  cu o precizie de cel puțin 1% asigură reducerea tensiunii de balans la ieșire sub 100 mV.

Capacitoarele  $C_3$ ,  $C_4$ , compensează în frecvență stabilizatorul dual. Diodele  $D_1$  (cu germaniu),  $D_2$ ,  $D_3$  (cu siliciu) furnizează protecții la fenomene de regim tranzitoriu.

Fig. 4.91 arată o altă metodă convenabilă sub aspect economic, de construire a unui stabilizator dual.

Tensiunea de ieșire furnizată de stabilizatorul de tensiune fixă din seria  $\mu A 79M00$  este urmărită de tensiunea celeilalte ieșiri. Rețea de inversare a polarității alcătuită din rezistorii  $R_A=R_B=150 k\Omega$  și diodele  $D_1$ ,  $D_2$

asigură menținerea raportului de împerechere a tensiunilor de ieșire pe un domeniu larg de temperatură. Prin intermediul ei, orice variație a tensiunii de ieșire negativă se repetă pe baza tranzistorului  $Q$ . Amplificată și inversată pe colectorul lui  $Q$  va determina tensiunea de

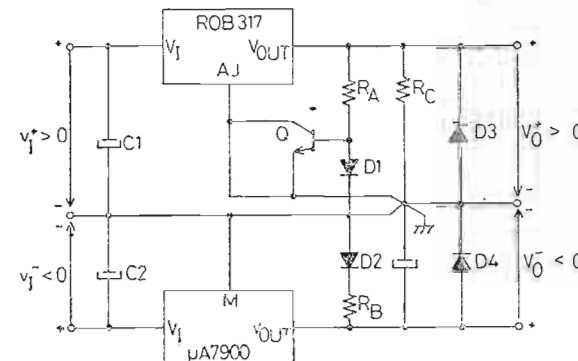


Fig. 4.91. Stabilizator de tensiune dual cu urmărire (variantă economică).

ieșire pozitivă să se deplaseze în sens contrar, astfel ca simetria tensiunilor de ieșire față de masă să se păstreze. Tranzistorul  $Q$  și diodele  $D_1$  și  $D_2$  se pot substitui printr-o matrice de tranzistoare integrate (ROB3018, ROB8001 etc.). Capacitoarele  $C_3$  și  $C_4$  asigură compensarea în frecvență. Rezistorul  $R_C$  se dimensionează astfel încit să permită scurgerea la masă a curentului consumat în gol de stabilizatorul ROB317 (10 mA).

Schema permite furnizarea de tensiuni de ieșire în domeniul  $\pm 5 V \dots \pm 24 V$ , de curenți de ieșire pînă la 0,5 A. Tensiunile de intrare pot atinge  $\pm 35 V$ .

Cînd este necesar un stabilizator dual cu urmărire cu tensiuni de ieșire de aceeași polaritate se poate utiliza schema electrică prezentată în fig. 4.92.

Scurtcircuitorarea terminalelor REF ale celor două circuite integrate ROB305 asigură un nivel unic de tensiune de referință. Ambele tensiuni de ieșire sunt pozitive dar de

valori diferite (exemplu +5 V și +15 V. Ele se ajustează simultan prin variația rezistorului  $R_C$  conform relațiilor:

$$V_{01} = V_{REF} \left( 1 + \frac{R_{A1}R_{B2}}{R_{B1}R_{B2} + R_{B1}R_C + R_{B2}R_C} \right) \quad (4.106)$$

$$V_{02} = V_{REF} \left( 1 + \frac{R_{A2}R_{B1}}{R_{B1}R_{B2} + R_{B1}R_C + R_{B2}R_C} \right) \quad (4.107)$$

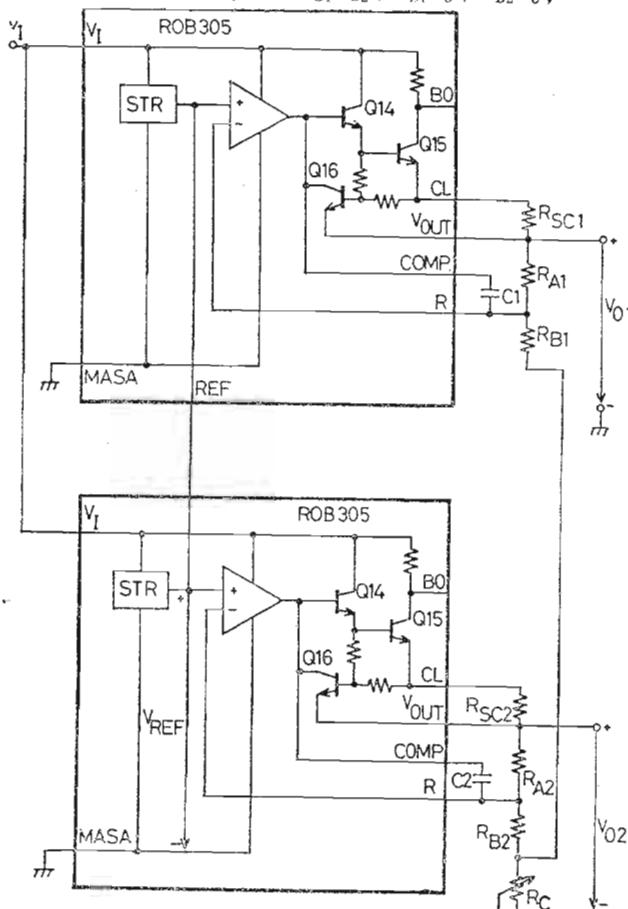


Fig. 4.92. Stabilizator de tensiune dual cu urmărire (tensiuni de aceeași polaritate).

Se menționează posibilitatea de creștere a curentilor de ieșire prin adăugarea de tranzistoare externe, care nu au mai fost desenate pentru a nu complica figura (vezi paragraful 4.2.1).

Pe acest principiu se pot concepe cu ușurință scheme similare, bazate pe stabilizatoarele de uz general, βA723 sau ROB304, pentru tensiuni pozitive sau negative.

## 4.5. Stabilizatoare în regim de comutație

### 4.5.1. Generalități

Ca urmare a progreselor înregistrate în tehnologiile de integrare, în ultimii ani s-au realizat mai multe tipuri de circuite integrate care conțin subsisteme de blocuri funcționale necesare în construcția stabilizatoarelor de tensiune cu funcționare în regim de comutație. Aceste circuite integrate, denumite regulatoare de tensiune în comutație, constituie doar o parte din stabilizatorul propriu-zis. Ele asigură funcțiile de control, de comandă și de protecție. Funcțiile de eșantionare și transferare a tensiunii de la intrare la sarcină sunt îndeplinite de un circuit extern, realizat cu componente discrete (condensatoare, bobine, diode, tranzistoare) cunoscut sub numele de convertor de tensiune c.c.—c.c. Corecția nivelului tensiunii de ieșire se realizează, de obicei, prin variația factorului de umplere al impulsurilor (modulare a duratei impulsurilor) de comandă.

Regulatoarele de comutație monolitice încorporează blocuri de circuit specializate pentru a îndeplini cerințele legate de comandă, controlul și protecția unui convertor c.c.—c.c. (fig. 4.93).

Tranzistorul comutator se comandă cu un semnal de frecvență de ordinul 20—300 kHz (pentru a se ușura filtrarea tensiunii de ieșire), furnizat de un oscilator intern. Frecvența și factorul maxim de umplere se fixează de utilizator cu ajutorul unui condensator și a unui rezistor extern.

Factorul de umplere al impulsurilor de comandă trebuie modificat automat pînă la o anumită limită, în funcție de curentul solicitat la ieșire. Această funcție este îndeplinită de un modulator al duratei impulsurilor. Stabilizarea nivelului tensiunii de ieșire la variația tensiunii de

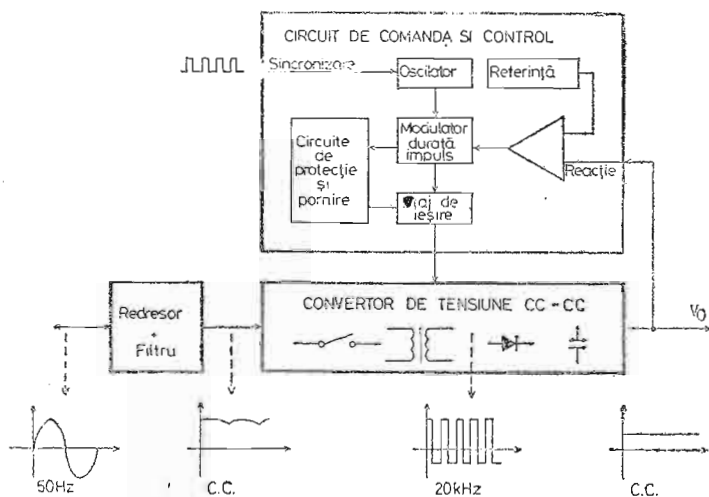


Fig. 4.93. Regulator de comutare monolitic (schemă bloc).

intrare se efectuează tot prin modificarea factorului de umplere. La majoritatea regulatoarelor de comutare (TDA1060, TEA1001, UAA4001; UAA4006 etc.) modulatorul de durată a impulsurilor este prevăzut cu o intrare de comandă pentru a îndeplini această funcție. Semnalul de comandă se furnizează de un amplificator de eroare, care compară un nivel de tensiune de referință ultrastabil cu o fracțiune din tensiunea de ieșire. Amplificatorul de eroare (cu amplificare mare în buclă deschisă) și sursa de tensiune de referință, de obicei tip bandă interzisă, sunt integrate în toate regulatoarele de comutare monolitice. Suplimentar, la unele regulatoare (SG1524), cipul mai conține un stabilizator utilizat pentru alimentarea celorlalte blocuri funcționale.

Un circuit de tăiere a tensiunii de ieșire, incorporat în majoritatea regulatoarelor de comutare facilitează comanda acestei funcții.

Necesitatea de a asigura o fiabilitate sporită stabilizatoarelor în comutare a determinat integrarea unor circuite de protecție la suprasarcină, supratensiune, protecție termică, protecție la depășirea unui factor maxim de umplere pentru impulsurile de comandă. La unele regulatoare de comutare s-au integrat circuite de protecție la cădere tensiunii de intrare sub o anumită limită, circuite de protecție la defecțiuni (intreruperi, scurtcircuite) apărute în bucla de reacție, circuite de pornire lentă (TDA2640).

Transmiterea comenziilor de la circuitele de protecție la tranzistorul comutator de ieșire sau la modulatorul de durată se realizează prin intermediul unor porți logice și a cel puțin unui circuit basculant bistabil (latch\* sau RS).

Regulatoarele de comutare specializate pentru receptoarele TV (ex. TDA2581) incorporează și un circuit de control al fazei necesar comutării formei de undă, ceea ce permite circuitului integrat să livreze și baza de timp care comandă tranzistorul de ieșire la deflexia pe orizontală.

Din cele expuse, se poate deduce că subsistemul de blocuri funcționale furnizat printr-un regulator de comutare simplifică mult construcția unui număr mare de tipuri de stabilizatoare în comutare. Cînd într-un sistem de alimentare se utilizează mai multe stabilizatoare în comutare este recomandabilă sincronizarea lor pe o singură frecvență. Majoritatea regulatoarelor de comutare permit realizarea acestei funcții.

Dată fiind complexitatea schemei electrice echivalente a unui regulator de comutare, se poate afirma că scara de integrare pentru un astfel de circuit este cel puțin medie. Tehnologia de integrare folosită este, în general, de tip bipolar, cu diverse îmbunătățiri, cum ar fi utilizarea implantării ionice, pentru realizarea rezistoarelor sau a unor tranzistoare pnp de tip special.

\* zăvor

Capsulele folosite pentru aceste subsisteme sint de tip DIL cu 14 sau 16 terminale. Puterea interna dissipata, in mod usual, este mai mica de 1 W, insa exista si circuite care se livreaza in capsule de putere cu radiator (UAA4006 TEA1001,  $\mu$ A 78S40).

In foile de catalog se caracterizeaza separat fiecare bloc functional din regulatorul de comutatie.

Pentru sursa de tensiune de referinta se indica nivelul tensiunii de referinta, curentul maxim de ieșire si performantele de stabilizare. Oscilatorul se caracterizeaza prin frecventa maximă, amplitudinea semnalului la ieșire, stabilitatea frecventei cu temperatura. La amplificatorul de eroare se precizeaza tensiunea si curentul de decalaj la intrare, amplificarea de tensiune in bucla deschisa, banda la amplificare unitara, excursia de tensiune la ieșire. Modulatorul de durata se descrie prin domeniul factorului de umplere, tensiunile de prag la intrare, curentii de polarizare la intrari. La circuitele de protectie se specifica limitele curentilor sau tensiunilor care le declanseaza actiunea. Pentru tranzistorul de ieșire, care functioneaza pe post de comutator, se precizeaza tensiunea maxima colector-emitor, tensiunea de saturatie, curentul rezidual  $I_{CEO}$ , tensiunea maxim admisa pe emitor, timpi de crestere si de cadere. Furnizarea acestor parametri permite proiectarea stabilizatoarelor de comutatie, la parametrii electrici doriti (tensiune de ieșire, curent de ieșire, amplitudine si frecventa a tensiunii de ondulatie etc.).

Se amintește că pentru o aplicatie dată, construcția și performantele unui stabilizator de comutatie depind în egală măsură, atit de regulatorul de comutatie monolitic ales cit și de calitatele componentelor discrete din convertorul c.c.—c.c.

#### 4.5.2. Tehnici de circuit pentru conversia de tensiune c.c. — c.c.

Regulatoarele de tensiune de comutatie contin blocuri functionale care indeplinesc functiile de comanda, control, protectie si uneori esantionarea semnalului colectat din convertorul de tensiune c.c.—c.c. Corectia nivelului ten-

suniu de ieșire se realizeaza, de obicei, prin variația factorului de umplere al impulsurilor (modulare a duratei impulsurilor).

Conversia tensiunii de curent continuu de la intrare in tensiune de curent continuu la ieșire se poate realiza cu o varietate largă de circuite, compuse din comutatoare, bobine, condensatoare si diode in diferite configurații.

Dupa maniera de inmagazinare si transferare a energiei absorbite de la intrare la sarcina si condensatorul  $C_0$  se disting trei tipuri de convertoare de tensiune c.c.—c.c.:

- convertoare directe\*
- convertoare cu revenire\*\*
- convertoare in contratimp\*\*\*

In convertoarele de tensiune c.c.—c.c. directe pe durata inchiderii comutatorului  $S_1(t_{on})$  energia primită de la intrare se debitează atit in elementul de acumulare cat și pe sarcină. Orice suprareștere nedorită de tensiune care apare pe această durată in retea se va resimti pe sarcină. Ca urmare, pentru a asigura conditiile de deplină siguranță în funcționare, stabilizatoarele de comutatie cu convertoare c.c.—c.c. directe trebuie să conțină suplimentar un transformator de izolație față de retea și o diodă de putere. În caz de scurtcircuit la ieșire tranzistorul comutator trebuie protejat. Aceste dezavantaje restrinție răspândirea utilizării acestui tip de convertor c.c.—c.c.

Pentru un convertor direct c.c.—c.c. cu functionare neîntreruptă a curentului prin bobină, (fig. 2.38), în aproxi-mația neglijării pierderilor, se pot scrie relațiile:

$$V_0 = \gamma V_i \quad (4.108)$$

$$L_{min} = \frac{V_0^2 T}{2 P_{0\ min}} \left( 1 - \frac{V_0}{V_{IM}} \right) \quad (4.109)$$

$$I_{CPK} = \frac{V_0 T}{L} \left( 1 - \frac{V_0}{V_{IM}} \right) \quad (4.110)$$

$$V_{CE\ Max} = V_{IM} \quad (4.111)$$

\* forward converter (engleză)

\*\* flyback converter (engleză)

\*\*\* push-pull converter (engleză)

unde:  $T$  este perioada impulsurilor pe comutator,

$\gamma = t_{on}/T$  — factorul de umplere al impulsurilor,

$I_{CPK}$ —Valoarea de vîrf a curentului de colector.

Valoarea minimă a inductanței bobinei este determinată în ipoteza că variația curentului prin bobină este de două ori valoarea minimă a curentului mediu necesar la ieșire  $I_{CB}$  (vezi fig. 2.39. b).

Relațiile 4.111 și 4.112 servesc la stabilirea condițiilor de alegere a tranzistorului de comutație.

În convertoarele de tensiune c.c.—c.c. cu revenire (fig. 2.41), pe durata încărcării elementului de acumulare, sarcina este separată de intrare (diода  $D$  este invers polarizată). Cum în secvență următoare comutatorul  $S$  este deschis, rezultă că în timpul funcționării unui convertor de tensiune c.c.—c.c. cu revenire, intrarea este complet izolată de sarcină, sau cu alte cuvinte impulsurile de tensiune tranzistorii apărute pe rețea nu se vor transmite pe sarcină. Dacă se neglijeză pierderile în regimul de funcționare neîntreruptă a curentului prin bobină se pot scrie relațiile:

$$I_0 = \frac{I_{LM} + I_{Lm}}{2} (1 - \gamma) \quad (4.112)$$

$$V_0 = \frac{\gamma}{1 - \gamma} V_i \quad (4.113)$$

$$L_{min} = \left( \frac{V_{IM} V_0}{V_i + V_0} \right)^2 \frac{T}{2P_{0\ min}} \quad (4.114)$$

$$I_{CPK} = P_{0\ Max} \frac{V_{I\ min} + V_0}{V_{I\ min} V_0} + \frac{T}{2L} \cdot \frac{V_{I\ min} V_0}{V_{I\ min} + V_0} \quad (4.115)$$

$$V_{CE\ Max} = V_{IM} + V_0 \quad (4.116)$$

Se observă că solicitările la care este supus tranzistorul comutator în acest tip de convertor c.c.—c.c. (relațiile 4.116 și 4.117) sunt mai intense decât în cazul celui anterior. De asemenea inductanța necesară pentru bobina  $L$  și capacitatea pentru condensatorul  $C_0$  sunt mai mari.

Totuși, convertorul cu revenire c.c.—c.c. prezintă o serie de avantaje. Izolarea față de rețea nu mai necesită

un transformator suplimentar. Ea se obține prin adăugarea unei înfășurări suplimentare pe bobină. Protecția comutatorului la scurtcircuitarea ieșirii la masă nu mai este necesară ea fiind asigurată de dioda  $D$ , care se polarizează invers.

Un convertor de tensiune c.c.—c.c. în contratimp este alcătuit din două convertoare directe care funcționează în antifază. În prima secvență comutatoarele sunt  $S_1$  — închis,  $S_2$  — deschis, ca urmare dioda  $D_2$  va conduce curentul. În figura 4.94. a se indică curgerea curentilor pe durata acestei secvențe. În a doua secvență comutatorul  $S_1$  este deschis,  $S_2$  închis și dioda  $D_1$  va conduce curentul spre bobină. Curgerea curentilor se prezintă în fig. 4.94 b.

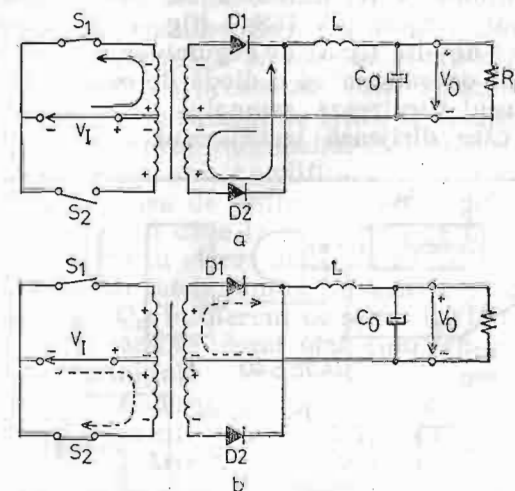


Fig. 4.94. Convertor de tensiune cc-cc în contratimp.

În continuare, funcționarea schemei este similară cu cea descrisă pentru convertoarele directe. și aici numai o parte din energia debitată pe sarcină provine din energia stocată în bobina  $L$ .

Se remarcă faptul că eficiența transferului de putere la un convertor în contratimp c.c.—c.c. este superioară comparativ cu a celorlalte tipuri.

Majoritatea subsistemelor integrate, pentru construirea de stabilizatoare în comutație, comandă un singur comutator.

#### 4.5.3. Tipuri reprezentative

Din multitudinea de tipuri de regulatoare de comutație, fabricate în prezent, este dificil de selectat un tip reprezentativ. Fiecare tip oferă diverse facilități care dau o notă de particularitate aplicațiilor sale. Pentru prezentare s-au ales circuitele μA 78S40 (Fairchild) și SG 1524 (Silicon General), deoarece structura lor simplifică descrierea aplicațiilor și versatilitatea lor este maximă.

Circuitul integrat μA 78S40 (fig. 4.95) conține suplimentar față de alte tipuri de regulatoare de comutație un amplificator operațional și o diodă de comutație.

Oscillatorul furnizează semnalul de comandă pentru circuitele care dirijează tranzistorul comutator compus

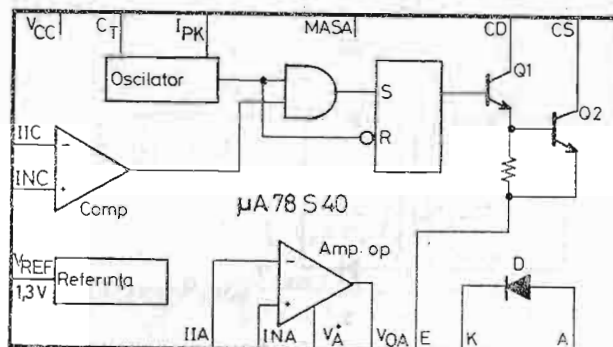


Fig. 4.95. Schema bloc a circuitului integrat μA78S40.

dintr-un Darlington  $Q_1, Q_2$ . Frevența oscillatorului se fixează conectând un capacitor extern  $C_T$  într-un terminal cu același nume și masă. Dimensiunea capacitorului se face prin relația:

$$C_T[\mu F] = 4,5 \times 10^{-4} t_{off}[\mu s] \quad (4.117)$$

unde,  $t_{off}$  — durata de blocare a tranzistorului comutator. Factorul de umplere al impulsurilor furnizate este fixat intern la circa 90%. Un circuit limitator de curent compensat termic sesizează mărimea curentului prin comutator și reduce durata impulsurilor ( $t_{on}$ ). Astfel, factorul de umplere se reglează pentru o formă de undă de comandă optimă, prin fixarea unei limite maxime pentru circuitul de vîrf  $I_{PK}$ , conectând între terminalele  $V_{CC}$  și  $I_{PK}$  un rezistor extern  $R_{SC}$ , dimensionat cu relația:

$$R_{SC} = 0,33 \text{ V}/I_{PK} \quad (4.118)$$

Prin această reducere a factorului de umplere se asigură totodată și protecția tranzistorului comutator.

Referința de tensiune furnizează o tensiune  $V_{REF} = -1,3$  V și un curent  $I_{REF}$  de maximum 10 mA. Performanțele de stabilizare prezентate sunt excelente.

O fracțiune din tensiunea de ieșire se compară cu tensiunea de referință prin intermediul unui comparator (amplificator de eroare) cu amplificare în buclă deschisă mare. Cind tensiunea de ieșire  $V_0$  devine prea mare, ieșirea comparatorului cade la masă ceea ce face ca ieșirea porții  $S$  să rămână în starea JOS. Ca urmare, ieșirea  $Q$  a bistabilului de tip latch rămîne în starea JOS, blocând comutatorul ( $Q_1, Q_2$ ) indiferent de semnalul livrat de oscillator. Bistabilul rămîne blocat pînă cind tensiunea  $V_0$  revine la valoarea inițială.

Comutatorul realizat cu o configurație Darlington poate manipula curenti de ordinul 1,5 A și rezistă la tensiuni  $V_{CEO} = 40$  V. Accesul la emitorul și colectorii separați ai tranzistoarelor ce alcătuiesc configurația Darlington permite optimizarea conectării comutatorului.

Cind comutatorul se utilizează cu ambele colectoare scurtcircuite, tensiunea de saturare este  $V_S = 1,1$  V. Dacă se separă colectorul tranzistorului de comandă  $Q_1$  de cel al tranzistorului comutator  $Q_2$ , cădereea de tensiune pe comutator cind conduce se reduce la 0,5 V.

Dioda de comutație  $D$  trebuie să reziste la curenti în direct de 1,5 V și la tensiuni inverse de 40 V.

Amplificatorul operational suplimentar este independent de restul circuitului. El se alimentează de la o sin-

gură sursă de tensiune pozitivă separată și poate livra la ieșire curenti pînă la 150 mA. Domeniul tensiunii sale de intrare pe mod comun începînd de la 0 V, acest amplificator operațional poate fi utilizat pentru a furniza un al doilea nivel de tensiune de ieșire stabilizată simetric față de masă (de polaritatea inversă cu primul).

Regulatorul de comutare μA 78S40 poate funcționa cu o tensiune de intrare între 2,2...40 V, curentul consumat în gol nedepășind cîțiva mA. Aceste caracteristici îl recomandă pentru aplicații în aparatura portabilă.

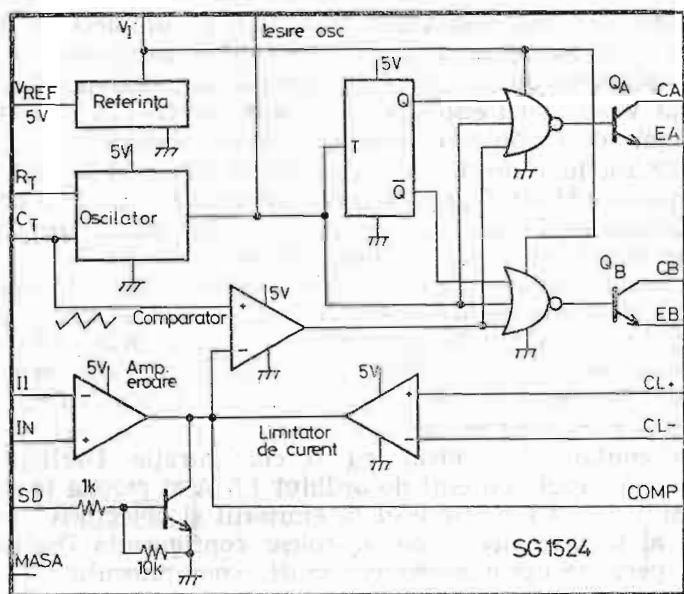


Fig. 4.96. Schema bloc a circuitului integrat SG 1524.

Facilitatea de a comanda în contratimp două tranzistoare comutator  $Q_A$ ,  $Q_B$  oferită de regulatorul de comutare SG 1524 (fig. 4.96), permite utilizarea sa în combinație cu oricare tip din convertoarele c.c.—c.c. descrise.

Oscilatorul integrat în circuit conține un generator de curent constant  $I$  care se programează prin conectarea

unui rezistor extern  $R_T$  între terminalele  $R_T$  și MASA, în domeniul  $30 \mu\text{A} \dots 2 \text{ mA}$  în conformitate cu relația:

$$I = 3,6 \text{ V}/R_T \quad (4.119)$$

Acest curent încarcă un condensator extern  $C_T$  conectat între terminalul cu același nume și masă. Pe condensator se obține o tensiune liniar variabilă crescătoare, care, cînd atinge o valoare limită fixată intern, comandă blocarea generatorului de curent  $I$ . Condensatorul  $C_T$  se descarcă rapid. Pe durata descărcării la ieșirea oscilatorului se generează un impuls dreptunghiular, utilizat pentru:

- comanda intrării de tact a circuitului basculant bistabil (flip-flop);
- blocarea simultană a tranzistoarelor comutator  $Q_A$ ,  $Q_B$  pe durata tranzițiilor interne (este suficient ca cel puțin una din intrările unui circuit SAU—NU să fie în intrarea SUS pentru ca la ieșire să se asigure starea JOS);
- comanda sincronizării stabilizatoarelor sclav cînd se folosește un sistem de alimentare cu mai multe stabilizatoare în comutare.

Circuitul basculant bistabil furnizează comanda în contratimp, prin intermediul portilor SAU—NU, a tranzistoarelor de ieșire  $Q_A$ ,  $Q_B$ . Pentru a împiedica cele două tranzistoare să conduce simultan pe durata tranziției ieșirilor  $Q$  și  $\bar{Q}$ ; impulsul de ieșire al oscillatorului inhibă portile SAU—NU. Sistemul este eficient atîta vreme cînd durata impulsului de inhibare este mai mare decît timpul de întîrziere al semnalului prin circuitul bistabil. Se observă că în comutarea tranzistoarelor  $Q_A$ ,  $Q_B$  apare un timp mort. O durată de  $0,5 \mu\text{s}$  pentru lățimea impulsurilor se consideră suficientă. Acest mod de operare limitează inferior domeniul de valori pentru condensatorul  $C_T$ . Deoarece timpul său de descărcare este mult mai mic decît timpul de încărcare, perioada impulsurilor livrate de oscillator se poate approxima cu expresia:

$$T = C_T R_T \quad (4.120)$$

Dacă din diverse motive pentru  $C_T$  se folosesc capacitive de valori mici, durata impulsurilor de la ieșirea

oscilatorului se va lăti prin conectarea unui capacitor între terminalul IEŞIRE OSC și MASA, de ordinul 100 pF.

Limita superioară a domeniului de valori pentru capacitorul  $C_T$  este dată de factorul de umplere maxim acceptabil în aplicație. Uzual  $C_T$  ia valori în domeniul 1...100 nF.

Pentru sincronizarea cu un semnal de tact extern, pe terminalul IEŞIRE OSC, se aplică impulsuri cu amplitudinea de circa 3 V (impedanță de ieșire a oscilatorului  $\approx 2 \text{ k}\Omega$ ). Frecvența oscilatorului propriu circuitului integrat se fixează la o valoare ceva mai mică decât a semnallului de sincronizare.

Sistemele de alimentare cu mai multe stabilizatoare de comutație cu SG 1524 se construiesc pe principiul „stăpîn-sclav“.

Frecvența și durata impulsurilor furnizate de oscilatorul „stăpînului“ se proiectează mai mari decât cele ale „sclavului“. Pentru frecvență un raport de 1,1 : 1 este suficient. Pentru durata impulsurilor de obicei se impune:

$$C_T(\text{sclav}) = 0,5 C_T(\text{stăpîn}) \quad (4.121)$$

Sincronizarea pe frecvența stăpînului se obține prin simpla conectare împreună a tuturor terminalelor de ieșire din oscilatoare.

Amplificatorul de eroare compară o fractiune din tensiunea de ieșire cu o fractiune din tensiunea de referință furnizată de un stabilizator intern. El este un amplificator diferențial de transconductanță, caracterizat printr-o rezistență de ieșire de ordinul a 5 MΩ. Amplificarea de tensiune în buclă deschisă la joasă frecvență se poate fixa printr-un rezistor extern  $R_L$  conectat între ieșirea sa (terminalul COMP) și masă, conform relației:

$$A_V = g_m R_L = 2 \times 10^{-3} R_L \quad (4.122)$$

Caracteristica amplificare în buclă deschisă-frecvență prezintă un pol la o frecvență de aproximativ 200 Hz și o bandă de frecvență la cîstig unitar de 5 MHz. Cu ajutorul acestor date se poate determina ușor rețeaua optimă de compensare a fazei, care se cuplează între terminalul COMP și masă.

O altă utilizare a acestui terminal constă în supraco-manda amplificatorului de eroare, prin absorbirea unui curent de 200 μA cu ajutorul unui circuit extern. Ca efect, ieșirea comparatorului comută în starea SUS, ceea ce conduce la blocarea tranzistorului comutator  $Q_A, Q_B$ .

Aceeași funcție se poate obține dacă la intrarea circuitului de tăiere (terminalul SD) se aplică un semnal de nivel ridicat.

Stabilizatorul de tensiune intern furnizează o tensiune de 5 V folosită pentru alimentarea celorlalte blocuri funcționale. El se poate folosi ca stabilizator de tensiune independent pentru alte circuite externe. Dacă se dorește un curent de ieșire mai mare de 50 mA se va adăuga un tranzistor extern de tip PNP.

Comparatorul de tensiune este blocul funcțional care realizează modularea duratei impulsurilor de comandă a tranzistoarelor  $Q_A, Q_B$ . El compară semnalul de eroare furnizat la ieșirea amplificatorului de eroare (proporțional cu variația tensiunii de ieșire a stabilizatorului) cu semnal de tensiune liniar crescătoare cules pe capacitorul  $C_T$ . Cît timp nivelul primului semnal este mai mare decât al celui de-al doilea, ieșirea comparatorului este în stare JOS. Cum pe durata încărcării condensatorului  $C_T$  ieșirea oscilatorului intern se află și ea în starea JOS, rezultă că la unul din circuitele SAU—NU toate intrările vor fi în această stare. Ca urmare, ieșirea portii logice va comuta în starea SUS și va deschide tranzistorul comutator aferent pe durata cît se respectă condiția dintre nivelele semnalelor de la intrările comparatorului.

La căderea semnalului pe condensatorul  $C_T$ , impulsul furnizat la ieșirea oscilatorului blochează tranzistorul deschis și modifică stările pe ieșirile circuitului bistabil. Astfel, la următorul impuls de tensiune liniar crescătoare, se îndeplinește condiția de deschidere a celuilalt comutator.

Se observă faptul că frecvența impulsurilor pe un comutator este jumătate din frecvența oscilatorului. Factorul de umplere al impulsurilor pe un comutator poate varia de la 0% la maximum 45%. Extinderea domeniului

pentru factorul de umplere pînă la 90% se poate realiza conectînd în paralel cele două tranzistoare de ieşire.

Fiecare tranzistor de ieşire este prevăzut cu:

- circuit de limitare a curentului de colector la 100 mA;
- circuit antisaturaţie pentru a îmbunătăţi răspunsul;
- acces atât la colector cât şi la emitor pentru a putea comanda tranzistoare externe PNP şi NPN.

Tensiunea colector-emitor la un curent de 50 mA nu depăşeşte 2 V.

Circuitul de limitare blochează ambele tranzistoare de ieşire cînd tensiunea aplicată între terminalele  $CL+$  şi  $CL-$  depăşeşte 220 mV. Acest circuit prezintă o tensiune pe mod comun maxim admisă de  $\pm 1$  V şi un pol la circa 300 Hz în caracteristica amplificare-frecvenţă. El se utilizează în realizarea diverselor circuitelor de protecţie.

Curentul consumat în gol de regulator este mai mic de 10 mA.

#### 4.5.4. Aplicaţii

Regulatoarele de comutaţie descrise, combinate cu diverse tipuri de convertoare de tensiune c.c.—c.c., permit construirea unei largi varietăţi de stabilizatoare de tensiune în comutaţie. În proiectarea lor, o atenţie deosebită se acordă frecvenţei de comutaţie şi factorului de umplere în condiţii de funcţionare în regim permanent. Optimizarea duratelor  $t_{on}$  şi  $t_{off}$  se face în funcţie de tensiunile de intrare şi ieşire, căderile de tensiune pe comutator şi diodă şi de inductanţă bobinei. Valorile alese pentru cei doi timpi, determină, atât eficienţa transferului de putere cât şi eforturile la care sănt supuse componente din convertorul de tensiune c.c.—c.c. O dimensionare incorectă a acestora poate conduce la autodistrugerea stabilizatorului ( $t_{on}$  mult prea lung).

Stabilizatorul coborîtor de tensiune din fig. 4.97, utilizează un convertor direct de tensiune c.c.—c.c. Tensiunea de intrare de 25 V se converteşte la ieşire într-o tensiune de 5 V cu o eficienţă de 79% la  $i_0=I_{OM}$  (70% la

$i_0=0,1 I_{OM}$ ). Nivelul tensiunii de ieşire se fixează cu ajutorul retelei de reacţie  $R_A, R_B$ . Dimensionarea rezistoarelor  $R_A, R_B$  se efectuează într-o manieră similară cu cea prezentată în paragraful dedicat stabilizatoarelor de tensiune de uz general. Tranzistorul comutator ( $Q_1, Q_2$ ) conec-

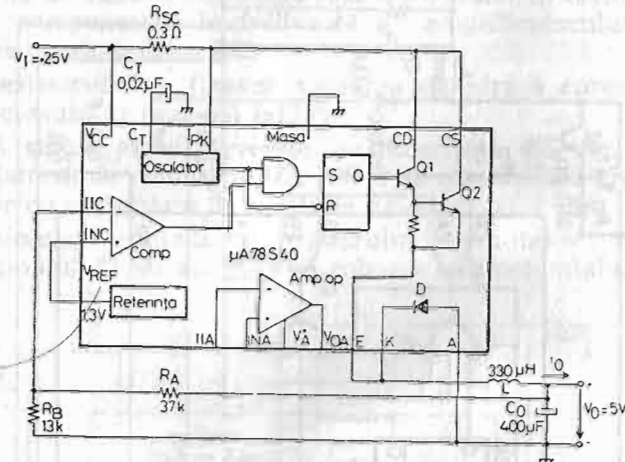


Fig. 4.97. Stabilizator coborîtor de tensiune cu  $\mu A78S40$ .

tat între intrare şi bobină prezintă în conducţie o tensiune de  $V_S=1,6$  V, valoare care implică  $t_{off}=60 \mu s$ , ceea ce asigură respectarea condiţiei  $t_{on}>10 \mu s$ . Capacitorul de ieşire  $C_0=400 \mu F$ , reduce amplitudinea tensiunii de undulaţie la ieşire la mai puţin de 25 mV. Curentul maxim debitat la ieşire s-a limitat la circa 550 mA.

Curentul de ieşire se poate mări adăugînd un tranzistor de comutaţie extern de putere mai mare. Această tehnică se ilustrează în fig. 4.98, unde ca regulator de comutaţie se utilizează circuitul integrat SG 1524. Tranzistorul compus extern ( $Q_1, Q_2, R_F, R_G$ ) capabil să comute curenenţi mai mari de 2 A, asigură la ieşirea stabilizatorului un curent de maximum 1 A. Rezistorul  $R_E$  limitează curentul de comandă al bazei tranzistorului compus.

Tranzistoarele comutator interne  $Q_A, Q_B$  avînd colectoare şi emitorii scurtcircuitaţi formează un comutator co-

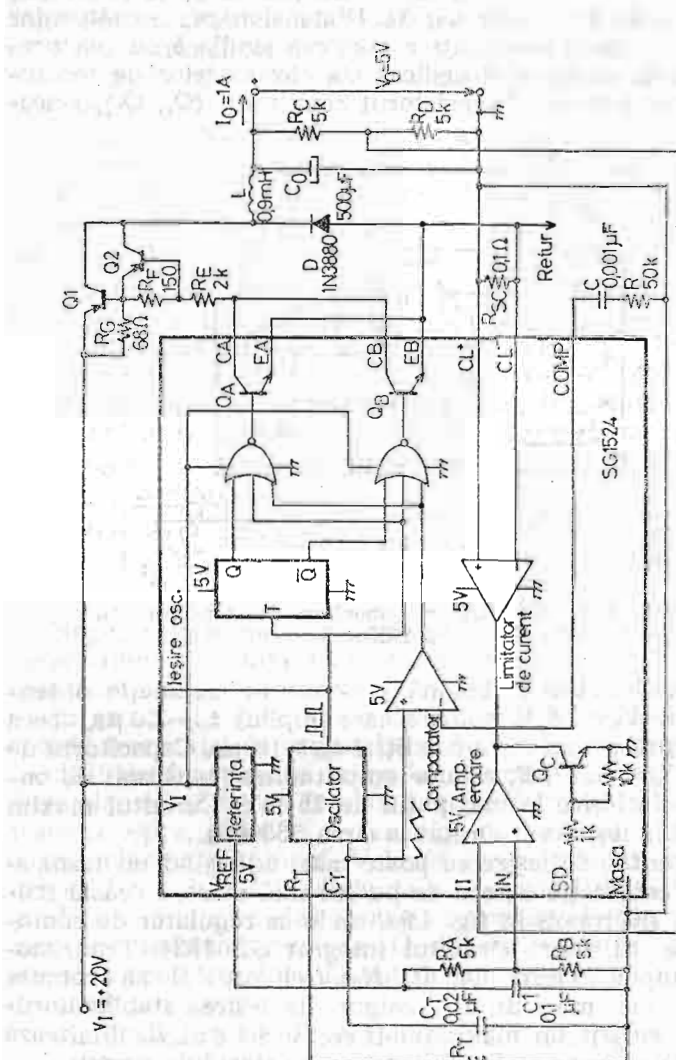


Fig. 4.98. Stabilizator coboritor de tensiune — extinderea domeniului de curent la ieșire.

mandat la o frecvență egală cu  $\omega$  osculatorului intern (16,6 kHz). Factorul de umplere se poate varia pînă la 90%.

Nivelul tensiunii de ieșire  $V_0$  se fixează prin divizarea tensiunii de referință ( $R_A, R_B$ ) la un nivel de 2,5 V și prin rețea de reacție  $R_C, R_D$ . Prezența bobinei la ieșire impune compensarea în frecvență a amplificatorului de eroare printr-o rețea RC.

Rezistorul  $R_{SC}$  fixează valoarea de virf a curentului prin comutator (bobină) la 2 A.

În stabilizatorul inversor de polaritate din fig. 4.99, regulatorul de comutație  $\mu A\ 78S40$  se combină cu un convertor cu acumulare de tensiune c.c.—c.c.

Deoarece emitorul tranzistorului comutator intern (terminalul  $E$ ) nu are voie să coboare sub potențialul ma-

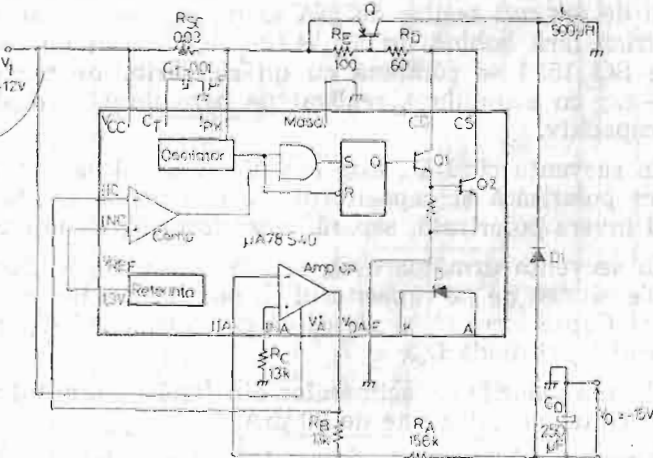


Fig. 4.99. Stabilizator inversor de polaritate cu filtru LC.

sei se recurge la un tranzistor extern  $Q$ . Rezistorii  $R_E, R_D$  polarizează tranzistorul  $Q$  și limitează curentul absorbit în comutatorul extern ( $Q_1, Q_2$ ).

Același motiv face imposibilă folosirea diodei interne  $D$  și, ca urmare, se apelează la o diodă externă  $D_1$ .

Capacitorul  $C_T$  stabilă frecvența oscilatorului la aproximativ 22 kHz ( $t_{off}=30 \mu s$ ). Curentul de vîrf prin comutator s-a limitat la 0,96 A, curentul mediu absorbit la intrare este minim 2,75 mA.

Tensiunea de intrare este convertită la ieșire într-o tensiune negativă de  $-15 V$ , cu o eficiență a transferului de putere de 93% pentru  $i_0=I_{OM}$  (90% pentru  $i_0 = 0,1 I_{OM}$ ). Curentul maxim absorbit la ieșire este  $I_{OM}=200 \text{ mA}$ .

Amplificatorul operational independent din circuitul integrat, admînd tensiuni pe mod comun cu începere de la  $0V$ , se utilizează pentru a furniza, prin intermediul retelei de reacție  $R_A, R_B$ , o tensiune de aceeași polaritate cu  $V_{REF}=1,3 V$ , pe intrarea inversoare a comparatoarei (IIC).

Cînd la ieșire se solicită tensiuni de polaritate inversă, mai mică în modul decît tensiunea de intrare și curenți de ordinul zecilor de mA se poate utiliza o schemă electrică fără bobină. În fig. 4.100 regulatorul de comutare SG 1524 se combină cu un convertor de tensiune c.c.—c.c. cu acumulare, realizat pe baza unui multiplicator capacativ.

În secvență cînd  $Q_A$  este deschis și  $Q_B$  blocat,  $D_2$  este direct polarizată și capacitorul  $C_1$  se încarcă. Dioda  $D_3$ , fiind invers polarizată, separă capacitorul  $C_1$  de ieșire.

În secvență următoare  $Q_A$  se blochează,  $Q_B$  se deschide. Tensiunea de pe capacitorul  $C_1$  polarizează invers dioda  $D_2$ . Capacitorul  $C_1$  se descarcă pe capacitorul  $C_0$  transistorul  $Q_B$  și dioda  $D_3$ .

Pentru valorile capacitoarelor din figură, curentul maxim debitat la ieșire este de 20 mA.

Absența inductanței la ieșire elimină necesitatea rețelei de compensare în frecvență  $RC$ , capacitorul  $C_0$  fiind suficient pentru a asigura stabilitatea.

Frecvența impulsurilor de comandă a comutatoarelor este de circa 25 kHz. Si în acest circuit nivelul tensiunii de ieșire se fixează divizind tensiunea de referință ( $R_A, R_B$ ) și apelind la o rețea de reacție  $R_C, R_D$ . Dimensionarea acestor rezistoare se face cu ușurință pe baza unor

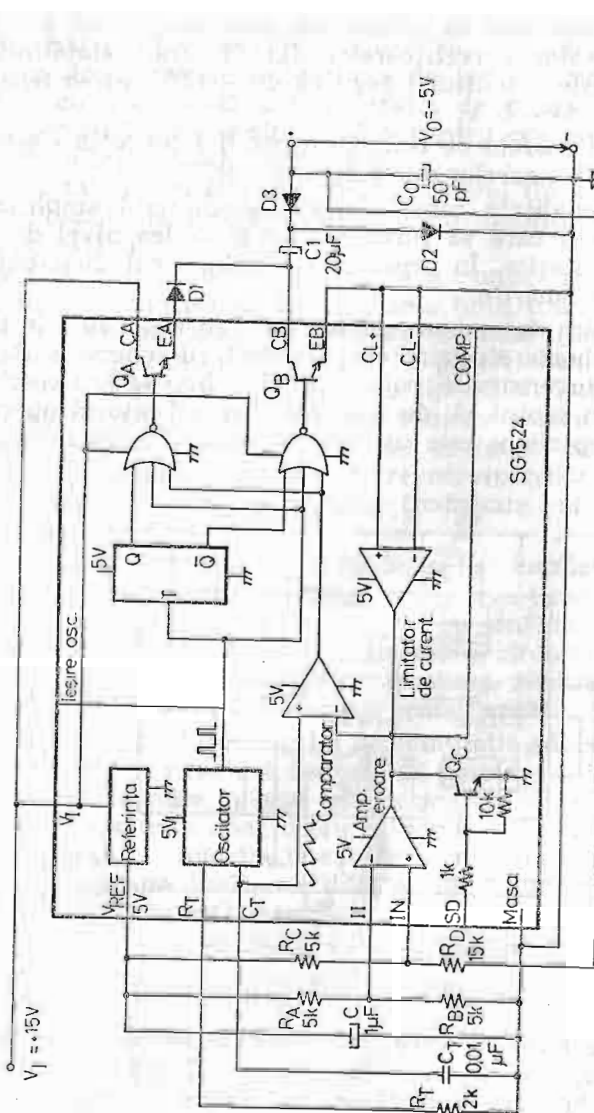


Fig. 4.100. Stabilizator inversor de polaritate cu multiplicator capacativ.

relații prezentate în paragrafele precedente (vezi § 4.2.1.). Pentru valorile rezistoarelor din figură, stabilizatorul convertește o tensiune pozitivă de +12 V într-o tensiune negativă de -5 V.

Regulatoarele de comutare pot fi folosite în construirea stabilizatoarelor duale de tensiune.

O modalitate constă în adăugarea unui amplificator operațional care să furnizeze un al doilea nivel de tensiune de ieșire. În acest caz, stabilizatorul dual obținut va fi cu urmărire.

Tehnica de mai sus se ilustrează în fig. 4.101. În principiu, schema electrică este similară cu schema stabilizatorului inversor de polaritate, din fig. 4.99. Deosebirea constă în faptul că, de astă dată, amplificatorul operațional independent este utilizat pentru a furniza nivelul de

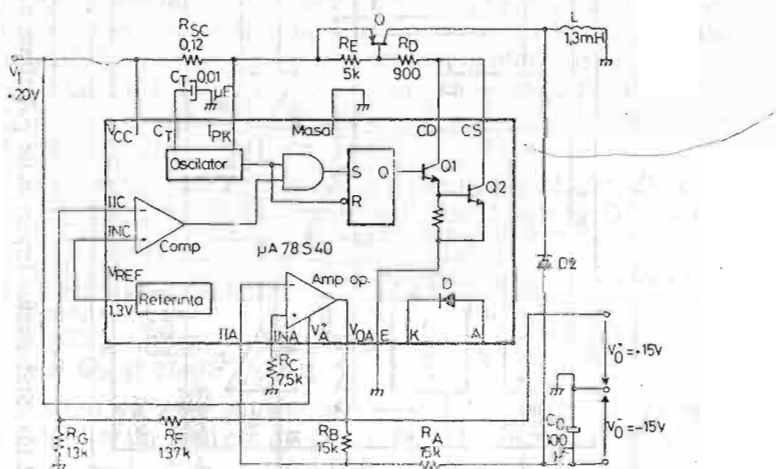


Fig. 4.101. Stabilizator dual de tensiune cu urmărire.

tensiune pozitivă, care urmărește variațiile celui de tensiune negativă (rețeaua de reacție  $R_A, R_B$ ). Tensiunea de control aplicată pe intrarea inversoare a comparotorului se obține divizind tensiunea de ieșire pozitivă prin divizorul rezistiv  $R_F, R_C$ .

Stabilizatorul convertește tensiunea de intrare  $V_I = 20$  V în două nivele de tensiune de ieșire simetrice de  $\pm 15$  V, cu o eficiență a transferului de putere de 80% (75% pentru ieșirea pozitivă, 85% pentru cea negativă la curenti de ieșire  $i_0 = I_{OM} = 100$  mA).

Această tehnică se poate aplica oricărui tip de regulator de comutare integrat, folosind un amplificator operațional extern.

O altă modalitate de construire a unui stabilizator dual de tensiune constă în utilizarea unui transformator de comutare cu priză mediană în secundar (fig. 4.102). Comutatoarele interne conectate în paralel comandă un tranzistor de putere extern Q de tip NPN. Rețea RC conectată în paralel pe primarul transformatorului limitează vîrfurile de tensiune care apar în timpul comutației. Alegind un raport de transformare corespunzător se pot obține tensiunile de ieșire dorite (redresate și filtrate prin  $D_1, D_2, C_0$ ).

Nivelul tensiunii pozitive de ieșire (și implicit al celei negative) se controlează prin compararea tensiunii furnizate de rețeaua de reacție  $R_C, R_D$  cu tensiunea de referință divizată prin  $R_A, R_B$ . Prin urmare, circuitul are la bază un stabilizator ridicător de tensiune, realizat cu un convertor de tensiune c.c.—c.c. cu acumulare.

Folosirea transformatorului de comutare aduce în scenă un fenomen nou. Dacă factorul de umplere al impulsurilor este prea mare, miezul transformatorului se satură, curentul prin primar crește și conduce la distrugerea stabilizatorului. Protecția la saturarea miezului din transformator impune limitarea duratei impulsurilor de comandă sau suprimarea acestora.

Tranzistorul  $Q_1$  se deschide cînd creșterea curentului din primar provoacă pe rezistorul  $R_{SC}$  o cădere de tensiune suficientă. Saturindu-se, el limitează tensiunea pe intrarea inversoare a comparotorului la  $V_{D3} + V_{CES}$ , ceea ce conduce la limitarea duratei impulsurilor de comandă.

În condiții de funcționare normale, dioda  $D_3$  se polarizează invers, izolînd tranzistorul limitator  $Q_L$  de intrarea comparotorului. Condensatorul  $C_2$  se încarcă prin rezistorul  $R_E$  la o tensiune egală cu  $V_I$ . Acest condensator

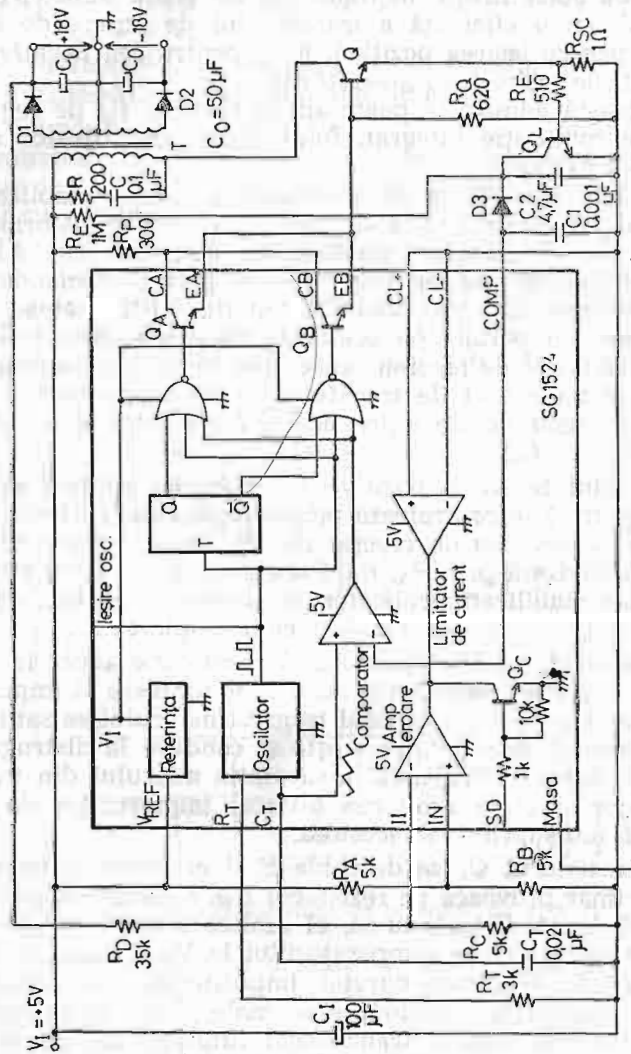


Fig. 4.102. Stabilizator dual de tensiune.

are rolul să împiedice ieșirea din limitare la comanda unor impulsuri de curent de durată foarte scurtă. De asemenea, el întârzie procesul de declanșare a limitării cu durată necesară descărcării sale.

Condensatorul  $C_1$  compensează în frecvență amplificatorul de eroare.

Rezistorul  $R_p$  limitează curentul prin comutatoarele interne.

Se menționează că tensiunea de intrare trebuie limitată la cel mult 6 V, deoarece ieșirea din sursa de tensiune de referință interioară ( $V_{REF}$ ) este conectată direct la intrare ( $V_I$ ).

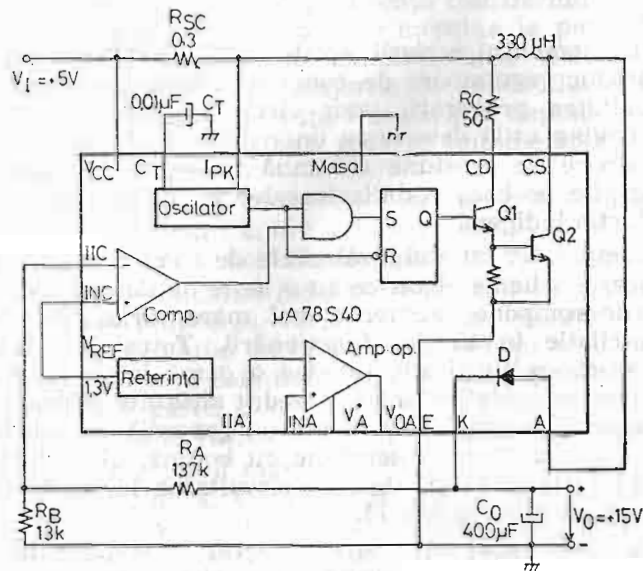


Fig. 4.103. Stabilizator ridicător de tensiune.

Figura 4.103 prezintă un stabilizator ridicător de tensiune realizat cu circuitul  $\mu A$  78S40 în combinație cu un convertor de tensiune c.c.—c.c. cu acumulare.

Pentru valorile componentelor din figură, frecvența impulsurilor de comandă este de circa 9,5 kHz ( $t_{on}=73 \mu s$ ;

$t_{off}=30 \mu s$ ). Separarea colectoarelor tranzistoarelor  $Q_1$  și  $Q_2$  reduce căderea de tensiune pe comutator la  $V_S=0,5$  V. Rezistorul  $R_C$  limitează la circa 50 mA curentul de comandă a bazei tranzistorului  $Q_2$ .

Stabilizatorul convertește tensiunea de intrare  $V_I=5$  V, într-o tensiune de ieșire de 15 V, cu o eficiență a transferului de putere de 80% pentru  $i_0=I_{OM}=555$  mA și 78% pentru  $i_0=0,1 I_{OM}$ . Amplitudinea tensiunii de undulație este mai mică de 25 mV.

#### 4.5.5. Stabilizatoare de comutație construite cu stabilizatoare liniare

În momentul scrierii acestei cărți (1983), în țară nu se produc regulatoare de comutație integrate. Data fiind dificultatea procurării unor circuite integrate de acest tip, devine utilă descrierea unor scheme electrice de stabilizare de tensiune continuă în regim de comutație construite pe baza stabilizatoarelor monolitice liniare din producția indigenă.

Comparativ cu stabilizatoarele de comutație precedente, aceste scheme electrice au o serie de dezavantaje: număr de componente externe mai mare, variația frecvenței de oscilație în timpul funcționării. Totuși, performanțele electrice furnizate, satisfac o gamă largă de aplicații în aparatura electronică. Ele sint alcătuite dintr-un stabilizator liniar de tensiune (de uz general), un convertor c.c.—c.c. coborîtor de tensiune cu bobină, plus circuitele de protecție aferente (la scurtcircuitarea ieșirii la masă, la supratensiune la ieșire).

Amplificatorul de eroare, integrat în stabilizatorul liniar, comandă prin intermediul tranzistorului serie intern un tranzistor comutator extern. Prin aplicarea la frecvențe joase a unei reacții negative se obține modificarea factorului de umplere, controlindu-se astfel nivelul tensiunii de ieșire. Aplicarea la frecvențe înalte a unei reacții pozitive determină amplificatorul de eroare să intre în oscilație, motiv pentru care, aceste tipuri de stabilizatoare de comutație se numesc autooscilante.

Pe durata funcționării, frecvența de oscilație nu este constantă, ci crește odată cu mărirea tensiunii de intrare sau a curentului prin sarcină.

Se menționează, de asemenea, o creștere rapidă a frecvenței de oscilație la scăderea curentului prin sarcină sub o anumită limită, cind tranzistorul serie intern furnizează direct o bună parte din acest curent.

Domeniul frecvenței de oscilație este cuprins între 20...100 kHz. Limita inferioară este dictată de creșterea gabaritului pentru miezul bobinei la frecvențe joase. Limita superioară este determinată de creșterea pierderilor de putere în tranzistorul comutator și dioda convertorului de tensiune c.c.—c.c. odată cu creșterea frecvenței. În banda de frecvențe indicată, eficiența transferului de putere la nivele mici și mijlocii se menține la peste 75%. Variația sa cu frecvența de oscilație, fiind mai mică de 10%, se poate neglijă în majoritatea aplicațiilor. La nivele mari de putere, eficiența transferului depinde puternic de frecvența de oscilație, ceea ce impune stabilizarea acesteia.

Convertorul de tensiuni c.c.—c.c. se proiectează într-o manieră care să asigure o funcționare fără întrerupere a curentului prin bobină. Comparativ cu valoarea sa medie ( $\bar{i}_L$ ), dimensionând inductanța bobinei cît mai mare, se urmărește reducerea variației acestui curent ( $I_{LM}-\bar{i}_L$ ) pe durata ciclului de funcționare, pentru a nu suprasolicita tranzistorul comutator și dioda convertorului.

Pentru reducerea timpului de răspuns tranzistorului la variația sarcinii este necesar ca raportul  $I_{LM_{Max}}/\bar{i}_L$  să fie cît mai mare, ceea ce implică o inductanță a bobinei mai mică. Optimizarea valorii inductanței bobinei se efectuează în funcție de parametrii tranzistorului și ai diodei din convertor, menținînd aceeași frecvență de oscilație, prin modificarea valorii condensatorului de ieșire  $C_0$ .

Stabilizatorul de tensiune continuă în regim de comutație prezentat în fig. 4.104 utilizează circuitul integrat ROB305 ca element de control și comandă a convertorului de tensiune c.c.—c.c. Rețeaua de reacție negativă  $R_A$ ,  $R_B$  fixează tensiunea de ieșire între 4,5...30 V.

Rețeaua de ieșire din sursa de tensiune de referință a circuitului este de circa  $R' = 2 \text{ k}\Omega$ . Împreună cu rezistorul  $R_D = 4 \text{ M}\Omega$  formează rețeaua de reacție pozitivă aplicată amplificatorului de eroare. Ca urmare a acestei reacții,

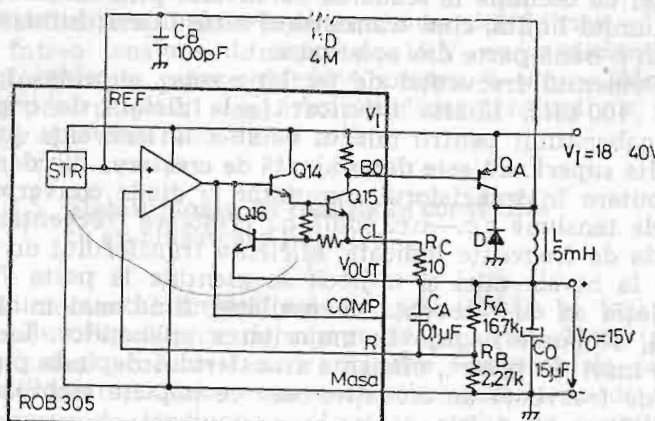


Fig. 4.104. Stabilizator de comutație cu ROB305.

pe intrarea neinversoare a amplificatorului apare o variație de tensiune de amplitudine:

$$\Delta V_{REF} = \frac{R'}{R' + R_D} (V_I - V_{CES} + V_D) \quad (4.123)$$

unde  $V_{CES}$  = tensiunea de saturare a tranzistorului comutator extern  $Q_A$ .

Deoarece variația de tensiune s-ar transmite la ieșirea stabilizatorului amplificată prin factorul  $1 + R_A/R_B$ , în paralel cu rezistorul  $R_A$  s-a conectat un capacitor de decuplare  $C_A$ . Dată fiind valoarea ridicată a frecvenței de oscilație, practic amplitudinea tensiunii de ondulație la ieșire va fi ceva mai mare decât  $\Delta V_{REF}$ .

Rezistorul  $R_C$  limitează curentul de comandă a bazei tranzistorului comutator  $Q_A$  la aproximativ:

$$I_B \text{ Max} = \frac{V_{SE}}{R_C} - \frac{V_{BEA}}{600\Omega} \quad (4.124)$$

unde  $V_{SE}$  = tensiunea de sesizare a limitării curentului de ieșire al circuitului integrat ROB305.

Capacitorul  $C_B$ , introdus între terminalul REF și masa, elimină șpiurile de tensiune tranzistorii care să ar transmită prin capacitatea parazită a rezistorului  $R_D$  la intrarea neinversoare a amplificatorului. Valoarea sa trebuie limitată la cîteva sute de pF pentru a reduce cît mai mult efectul de integrare a formei de undă din acest nod.

În funcție de tipul de deschidere  $t_{on}$  al tranzistorului comutator și de durata  $T$  a ciclului de oscilație, valoarea medie a tensiunii de ieșire verifică relația:

$$V_0 = \frac{t_{on}}{T} (V_I - V_{CES}) \quad (4.125)$$

În regim de funcționare permanent, variația curentului prin bobină este aproximativ:

$$\Delta i_L = I_{LM} - I_{Lm} = \frac{V_0 t_{off}}{L} \quad (4.126)$$

unde durata de blocare a comutatorului  $t_{off}$  se poate determina cu ușurință din relația (4.126).

Dacă se acceptă un raport  $K$  între valoarea maximă a curentului prin bobină și valoarea sa medie (egală cu  $I_{OM}$ ):

$$K = \frac{I_{LM}}{I_{OM}} \quad (4.127)$$

rezultă pentru inductanță valoarea:

$$L = \frac{V_0 t_{off}}{2(K-1)I_{OM}} \quad (4.128)$$

De obicei, raportul  $K$  este cuprins între 1,2...1,6.

Valoarea capacității  $C_0$  se determină în funcție de amplitudinea ( $V_r$ ) tensiunii de ondulație admise la ieșire:

$$C_0 = \frac{V_0}{2LV_r} \cdot \left( T \frac{V_I - V_{CES} - V_0}{V_I - V_{CES}} \right)^2 \quad (4.129)$$

Relațiile de mai sus permit dimensionarea componentelor externe ale stabilizatorului de comutăție. Se men-

ționează că datorită aproximațiilor efectuate în deducerea lor, între rezultatele experimentale și cele teoretice apar diferențe relativ mari. Totuși, ele constituie un bun punct de plecare în construirea stabilizatorului de comutare descris, urmând ca prin reglaje de laborator să se corecteze erorile care apar.

Răspunsul tranzistorului la variația curentului de ieșire ( $\Delta I_0$ ) al unui stabilizator de comutare este mai lent decât cel al unui stabilizator liniar. Tensiunea de ieșire prezintă o scădere, respectiv o creștere, în funcție de creșterea, respectiv descreșterea curentului prin sarcină. Timpul de revenire ( $t_r$ ) a tensiunii de ieșire la nivelul inițial, după ce a suferit o variație  $\Delta V_0$  este proporțional cu valoarea inductanței  $L$ , conform relațiilor:

$$t_r = \frac{2L}{V_i - V_{CES} - V_0} \Delta I_0 \quad (4.130)$$

$$V_0 = -\frac{L(\Delta I_0)^2}{C_0(V_i - V_{CES} - V_0)} \quad (4.131)$$

pentru creșterea curentului prin sarcină, respectiv:

$$t_r = \frac{2L}{V_0} \Delta I_0 \quad (4.132)$$

$$V_0 = +\frac{L(\Delta I_0)^2}{C_0 V_0} \quad (4.133)$$

Dacă timpii de revenire rezultă prea mari se recurge la reducerea inductanței  $L$ , simultan cu creșterea capacitatii  $C_0$  și eventual, la alegerea unui tranzistor comutator și a unei diode care să suporte curenți de vîrf mai mari.

La scăderea rapidă a curentului prin sarcină creșterea nivelului tensiunii de ieșire poate distruge echipamentul pe care îl alimentează. Același efect poate avea și defectarea tranzistorului comutator extern (străpungere) tensiunea de intrare putind fi de cîteva ori mai mare decât cea de la ieșire. Apare evidentă necesitatea unui circuit de protecție la supratensiune la ieșirea stabilizatorului.

În schema electrică din fig. 4.105, tranzistorul comutator extern  $T_A$  s-a înlocuit cu un tranzistor compus pentru a mări curentul maxim de ieșire. Dioda Zener  $Z$ , tiristorul  $T$ , rezistoarele  $R_F$  și  $R_G$ , capacitorul  $C_B$  și sigu-

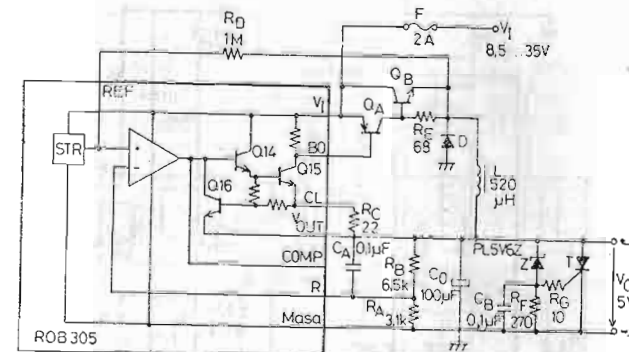


Fig. 4.105. Stabilizator de comutare cu protecție la supratensiune la ieșire.

ranta fuzibilă  $F$  constituie circuitul de protecție la supratensiune. Cînd tensiunea de ieșire depășește semnificativ tensiunea diodei Zener, aceasta intră în străpungere și aprinde tiristorul. Ca urmare ieșirea se scurtează și datorită creșterii curentului prin comutator se arde siguranța  $F$ .

Rezistorul  $R_C$  limitează curentul de poartă, cînd tiristorul este aprins. Capacitorul  $C_B$  împiedică aprinderea tiristorului la impulsurile de tensiune de scurtă durată prezente la ieșirea stabilizatorului de comutare. Rezistorul  $R_F$  fixează împreună cu dioda Zener nivelul tensiunii de ieșire care declanșează circuitul de protecție.

Stabilizatorul de comutare de tensiune negativă din fig. 4.106 utilizează stabilizatorul liniar ROB304. Rezistoarele  $R_B$ ,  $R_D$  formează rețeaua de reacție pozitivă care determină intrarea în oscilație a circuitului. Capacitorul  $C_B$  joacă același rol ca în schemele precedente. Rezistorul  $R_C$  limitează curentul maxim de comandă a bazei tranzistorului comutator extern compus ( $Q_A$ ,  $Q_B$ ,  $R_E$ ,  $R_N$ ).

Rezistorul  $R_E$  se dimensionează la o valoare suficient de mică pentru ca tranzistorul  $Q_A$  să nu fie deschis de curentul de polarizare (aproximativ  $300 \mu A$ ) debitat prin terminalul  $V_I$  al stabilizatorului integrat.

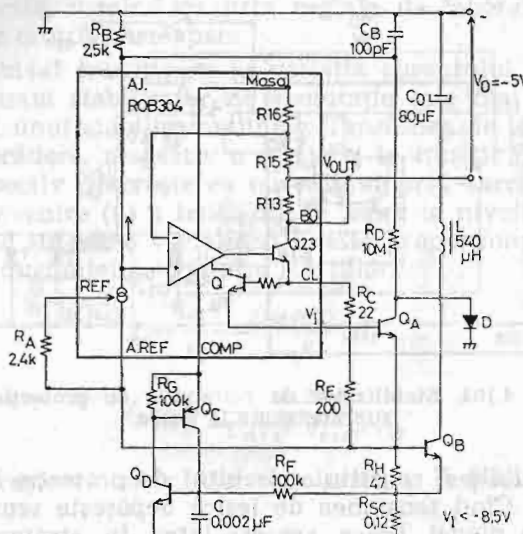


Fig. 4.106. Stabilizator de comutăție cu ROB317.

Tranzistoarele  $Q_C$ ,  $Q_D$  și rezistorii  $R_G$ ,  $R_F$  simulează un tiristor de curent foarte mic (sub  $100 \mu A$ ). La depășirea pe rezistorul  $R_{SC}$  a tensiunii de deschidere a tranzistorului  $Q_D$  prin terminalul  $COMP$  se extrage un curent care blochează tranzistorul serie integrat în ROB304. În momentul îndepărțării suprasarcinii circuitul pornește singur, restabilind nivelul inițial al tensiunii de ieșire.

Stabilizarea de intrare a circuitului se poate îmbunătăți prin inserarea unui capacitor de  $0,01 \mu F$  cu rezistorul  $R_D$ , pentru a separa pe curent continuu intrarea de terminalul **AJUST**. În caz contrar, variațiile de joasă frecvență ale tensiunii de intrare se pot transmite direct pe intrarea neinversoare a amplificatorului de eroare.

O altă tehnică de protecție la suprasarcină se prezintă în fig. 4.107. Acest stabilizator, construit cu circuitul integrat ROB723, furnizează tensiuni de ieșire mai mici decât  $V_{REF}=7,15 V$ , intrarea inversoare fiind conectată di-

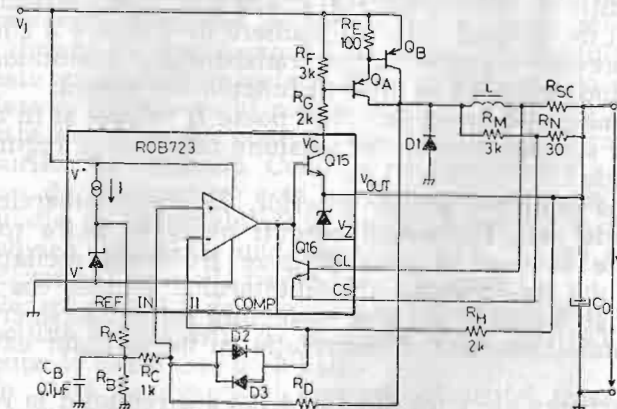


Fig. 4.107. Stabilizator de comutăție cu ROB723.

rect la ieșire (rezistorul  $R_H$  echilibrează curentii de polarizare la intrare ai amplificatorului de eroare). Cu ajutorul unei rețele de reacție negativă adecvată se pot obține și nivele de tensiune de ieșire mai mari decât tensiunea de referință.

Rezistoarele  $R_C + R_A // R_B$  și  $R_D$  formează rețea de reacție pozitivă aplicată amplificatorului de eroare. Tranzistorul comutator extern compus ( $Q_A$ ,  $Q_B$ ,  $R_E$ ) se polarizează prin divizorul rezistiv  $R_F$ ,  $R_G$ , conectat la colectorul tranzistorului serie integrat în ROB723.

Tranzistorul limitator de curent  $Q_{16}$  se utilizează pentru a sesiza căderea de tensiune  $V_{RSC}$  pe rezistorul  $R_{SC}$  în stabilizatoarele liniare:

$$V_{RSC} = V_{SE} + (V_I - V_{CE\ min} - V_0) \frac{R_N}{R_M + R_N} \quad (4.134)$$

Curentul maxim prin bobină va fi:

$$I_{LM} = \frac{V_{SE}}{R_{SC}} + \frac{V_I - V_{CE\ min} - V_0}{R_{SC}} \cdot \frac{R_N}{R_M + R_N} \quad (4.135)$$

Dacă  $R_M = R_N$  este de ordinul  $k\Omega$ , curentul prin divisor este neglijabil față de curentul prin bobină. Se recomandă ca raportul  $R_M/R_N$  să fie în jur de 100. Prin rezistorii  $R_M + R_N$ , reacția pozitivă își continuă acțiunea, chiar în condiții de scurtcircuitare a ieșirii la masă, menținând regimul de oscilație. Această manieră de limitare a curentului previne supraîncălzirea tranzistorului comutator în cazul cînd ROB 723 ar intra în funcționare liniară.

Se menționează că ROB 723 poate fi utilizat și în construcția stabilizatoarelor de tensiune negativă în regim de comutare.

După cum s-a arătat anterior, la stabilizatoarele de comutare care furnizează curenti mari de ieșire (peste 3A) este necesar să se stabilizeze frecvența oscilațiilor semnalului de comandă a comutatorului. Metoda cea mai simplă și totodată cea mai răspindită constă în sincronizarea stabilizatorului de comutare cu un oscillator extern stabil.

În schema electrică din fig. 4.108 s-a renunțat la reacția pozitivă (introdusă prin rezistorul  $R_D$ ). Semnalul de sincronizare format din impulsuri dreptunghiulare cu am-

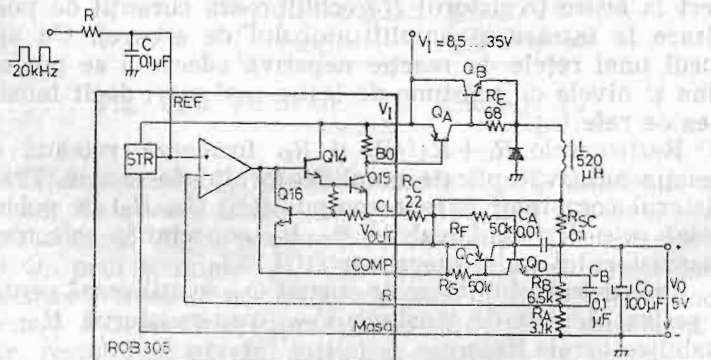


Fig. 4.108. Sincronizarea unui stabilizator de comutare.

plitudinea de circa 40 mV, furnizat de un oscillator extern se aplică prin intermediul unui circuit de integrare ( $R, C$ ) pe terminalul *REF*. Forma de undă pe intrarea neînversoare a amplificatorului de eroare devine triunghiulară.

Factorul de umplere al semnalului de comandă a comutatorului ( $Q_A, Q_B$ ) se controlează prin nivelul de tensiune furnizat de rețeaua de reacție negativă ( $R_A, R_B$ ) pe intrarea neînversoare (terminalul *R*). Dacă tensiunea de ieșire crește, tensiunea pe terminalul *R* crește proporțional, durata pe care semnalul de formă triunghiulară depășește acest nivel se reduce și ca urmare durata de deschidere a tranzistorului comutator ( $t_{on}$ ) scade. Se observă că este vorba de un control prin modularea duratei impulsurilor de comandă. Condiția de funcționare a acestui sistem de sincronizare este ca amplitudinea tensiunii de ondulație pe terminalul *R* să nu depășească 1/4 din amplitudinea formei de undă triunghiulare. În caz contrar, stabilizatorul va oscila pe frecvența proprie.

Pentru circuitul de integrare se recomandă ca reactanța capacitive la frecvența de comandă să fie sub  $100 \Omega$  (rezistența de ieșire este de  $2 k\Omega$ ).

În afară de avantajul creșterii eficienței transferului de putere, sincronizarea stabilizatorului de comutare permite dimensionarea inductanței *L* și a condensatorului *C<sub>0</sub>* în scopul optimizării timpilor de răspuns tranzistorului și al reducerii amplitudinii tensiunii de ondulație la ieșire.

Și în această schemă  $Q_C, Q_D, R_F, R_G$  simulează un tiristor utilizat împreună cu rezistorul  $R_{SC}$  și tranzistorul intern  $Q_{16}$  în circuitul de protecție la suprasarcină.

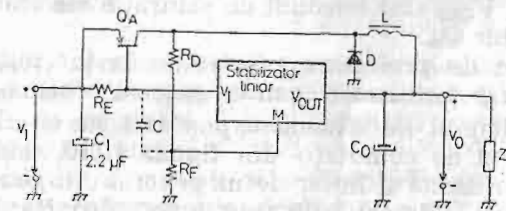


Fig. 4.109. Stabilizator de comutare construit cu un stabilizator liniar cu 3 terminale.

Fig. 4.109 prezintă un stabilizator de comutare ieftin, construit pe baza unui stabilizator de tensiune fixă (cu trei terminale). Bineînțeles, tensiunea de ieșire este identică cu cea furnizată de stabilizatorul liniar.

La pornire, întreg curentul prin sarcină este furnizat de stabilizatorul cu trei terminale. Pe măsură ce curentul de intrare crește, cădereea de tensiune pe rezistorul  $R_E$  deschide tranzistorul comutator  $Q_A$ , curentul prin bobină crește. Curentul prin sarcină fiind constant, curentul debitat de stabilizatorul liniar scade din ce în ce mai mult și în consecință, tranzistorul  $Q_A$  se va bloca. Rețeaua de reacție pozitivă ( $R_D \gg R_F$ ) introduce un histerezis în tensiunea aplicată în intrarea stabilizatorului liniar, care ajută la blocarea sau pornirea acestuia. Amplitudinea tensiunii de ondulație la ieșire este mai mare decât la schemele descrise anterior (100...200 mV):

$$V_R = \frac{R_F}{R_D + R_F} (V_I - V_{CES} + V_D) \quad (4.136)$$

Pentru reducerea ei se recomandă conectarea unui capacitor  $C=0,1 \mu F$ , ca în figură.

Eficiența transferului de putere poate atinge 80% dacă se minimizează componenta de curent continuu care trece prin rezistorul  $R_E$ . În acest scop se recomandă aproximarea ei conform relației:

$$R_E = \frac{V_{BES}}{V_I - V_{CES} - V_0} \cdot \frac{2L}{t_{on}} \quad (4.138)$$

unde  $V_{BES}$ ,  $V_{CES}$  sunt tensiuni de saturare ale tranzistorului comutator  $Q_A$ .

Relațiile de proiectare prezentate la începutul paragrafului se pot utiliza și pentru această schemă.

Pe principiul de schemă expus mai sus s-a construit stabilizatorul de comutație din figura 4.110, unde se folosește stabilizatorul liniar de uz general din generația a două ROB 317. Rețeaua de reacție negativă  $R_A$ ,  $R_B$  stabilizează nivelul tensiunii de ieșire între 0,8...32 V.

Rezistorul  $R_C$  limitează curentul maxim de comandă a tranzistorului  $Q_A$ . Capacitorul  $C_D=300 \text{ pF}$  reduce frontul crescător, îmbunătățind viteza de comutație.

Această schemă are o aplicație deosebită. Ea se poate folosi ca prestabilizator cu urmărire în regim de comutație pentru un stabilizator de tensiune liniar. Tensiunea

de ieșire a prestabilizatorului se fixează la valoarea minim admisă pentru diferența de tensiune intrare-iesire a stabilizatorului liniar. Conexiunea rezistorului  $R_F$  la masă se întrerupe și se cuplăză, la ieșirea stabilizatorului liniar. Ieșirea prestabilizatorului se conectează la intrarea

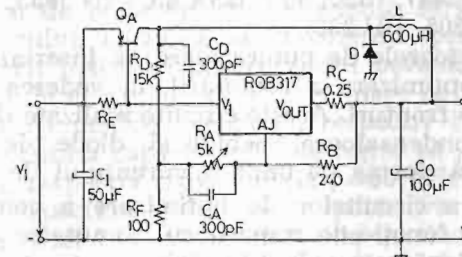


Fig. 4.110. Stabilizator de comutație cu ROB 317.

stabilizatorului liniar asigurându-se astfel o eficiență maximă a transferului de putere indiferent de valoarea tensiunii de intrare.

Schemă combinată descrisă asigură optimizarea tuturor parametrilor electrici ai stabilizatorului oricare ar fi diferența dintre nivelele tensiunii de intrare și ieșire.

#### 4.5.6. Componente pentru convertorul de tensiune c.c.—c.c.

Alegerea componentelor pentru convertorul de tensiune c.c.—c.c. constituie o etapă de maximă importanță în eforturile de asigurare a unei fiabilități sporite a stabilizatorului de comutație.

Solicitările la curenti și tensiuni, la care trebuie să reziste aceste componente, depind de tipul convertorului. Într-un convertor de tensiune c.c.—c.c. cu revenire componentele suportă tensiuni mai mari decât cele de tip direct. Ca urmare, tranzistorul comutator și dioda  $D$  se vor alege din categoria dispozitivelor cu tensiuni de străpungere mai mari.

În vederea reducerii pierderilor în comutare se vor alege tranzistoare și diode rapide. Tranzistoare de joasă frec-

vență ca 2N 3055 sau diodele redresoare sănătatele sunt inadecvate pentru stabilizatoarele de comutare.

Tranzistorul comutator trebuie să prezinte tensiuni de saturare ( $V_{CES}$ ,  $V_{BES}$ ) sănătatele mai mici. Se recomandă utilizarea unor tranzistoare bipolare de comutare (2N 2905, 2N 3445, 2N 3447, BSX 35, BSX 45, 2N 3553, BDY 93, BDY 94, BU 205, BU 208).

La tranzistoarele de putere mare, se inseriază în bază circuite de optimizare a comutării, în vederea reducerii pierderilor pe fronturi. Aceste circuite realizate din bobine rezistente, condensatoare, bobine și diode de comutare, corectează forma de undă a curentului de comandă.

Proiectarea circuitelor de optimizare a comutării se efectuează în funcție de tranzistorul comutator ales. Prezentarea lor depășește cadrul lucrării.

Dioda din convertor se alege, urmărindu-se ca tensiunea de deschidere  $V_F$  și timpul de revenire să fie sănătatele mai mici. În funcție de tensiunea inversă  $V_R$  pe care trebuie să o suporte se recomandă utilizarea următoarelor tipuri de diode :

a) pentru tensiuni  $V_R < 10V$  — diode de tip Schottky —  $V_F$  și timp de revenire foarte mici — ROD 01 UTY 210;  
 b) pentru tensiuni  $10V < V_R < 30V$  — diode cu siliciu cu tensiuni  $V_F$  sănătatele de 1 V și timp de revenire de  $0,1 \mu s$  — 1N 3380, FD 666, 1M 4322;

c) pentru tensiuni  $V_R > 30V$  — diode cu siliciu cu tensiuni  $V_F = 1,4$  și tempi de revenire  $0,5 \mu s$ , — 1N 922, 1N 3957, 1N 5282.

În proiectarea bobinei  $L$  o atenție deosebită se acordă alegerii materialului pentru miez, sub aspectul gabaritului și al caracteristicii de saturare. Este preferabil că acest material să prezintă o caracteristică de saturare moale, în scopul evitării virfurilor de curent excesive, care apar în cazul caracteristicii abrupte, cind curentul de ieșire este suficient de mare pentru a împinge miezul puternic în saturare.

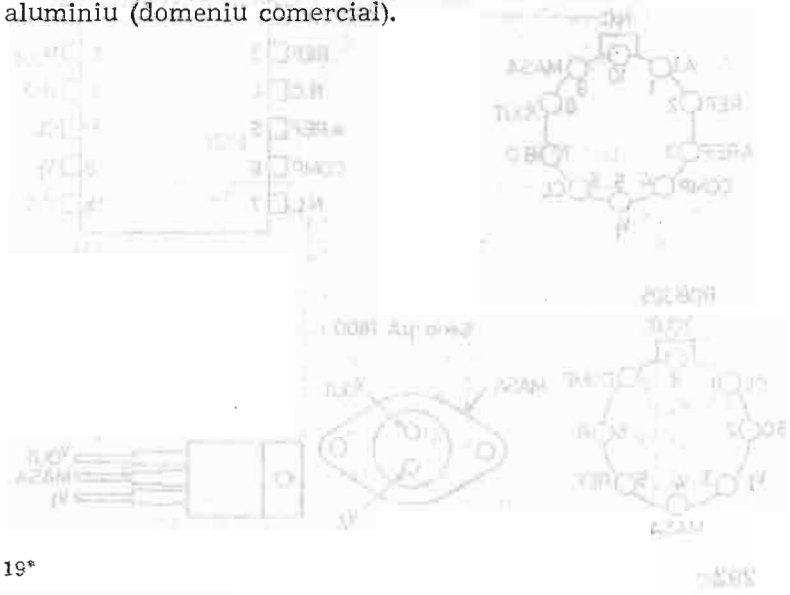
La frecvențe în jur de 25 kHz și puteri sub 300 W se recomandă utilizarea de miezuri din fier silicios cu granulație orientată. La frecvențe de 50—100 kHz și puteri mici și medii se pot obține rezultate bune utilizând miezuri de

ferită. Rezultate excelente se obțin cu miezuri sinterizate din parmalloy cu molibden.

Capacitorul de ieșire  $C_0$  se alege din categoria capacitoarelor cu un produs  $CV$  mare pe unitatea de volum. Deoarece amplitudinea tensiunii de ondulație la ieșire este dependentă de rezistență și inductanță serie echivalentă a capacitorului, alegerea se va orienta spre componente cu valori sănătatele mai mici pentru acești parametri. La stabilizatoarele de comutare de putere mare se impune ca limită maximă pentru rezistență, respectiv inductanță serie echivalentă a capacitorului de ieșire să nu depășească cîțiva  $m\Omega$ , respectiv cîțiva nH (la  $f=50$  kHz).

Acest capacitor trebuie să suporte variații mari de curent (în special la convertoarele de tensiune c.c.—c.c. cu revenire). La frecvențe mari această variație de curent poate conduce la distrugerea sa. Ca soluție se recomandă folosirea de capacitoare a căror tensiune de străpungere să fie mai mare decât cea dictată de nivelul tensiunii de ieșire.

În conformitate cu domeniul de temperatură pe care va funcționa stabilizatorul de comutare se vor utiliza capacitoare electrolitice cu tantal (domeniu extins) sau cu aluminiu (domeniu comercial).

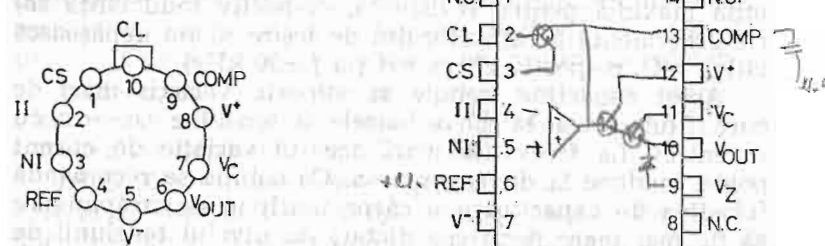


Anexă:

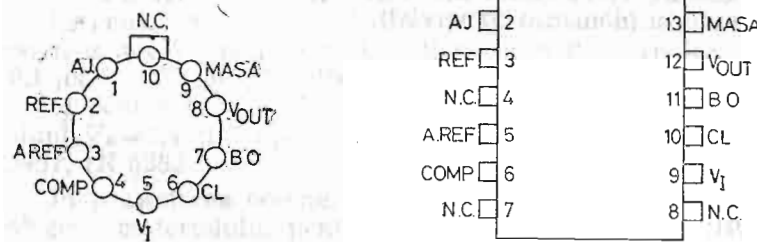
• r.t.v. • r.t.v. • r.t.v. • r.t.v.

## Diagrame de conexiuni.

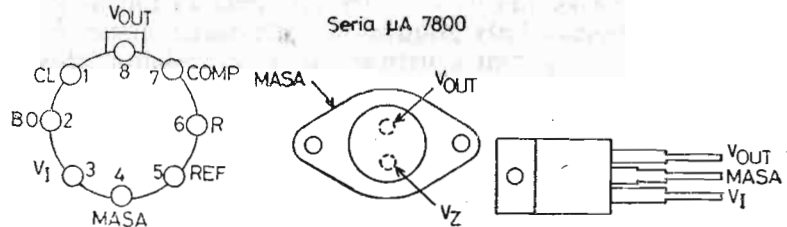
ROB723



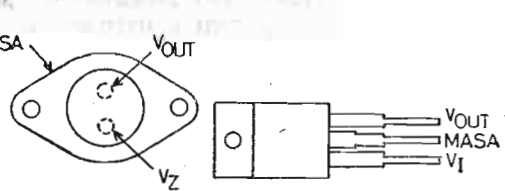
ROB304



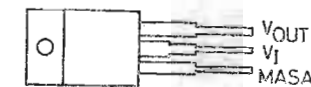
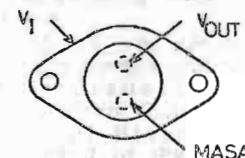
ROB305



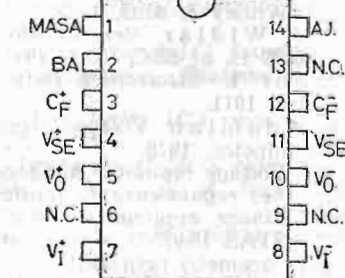
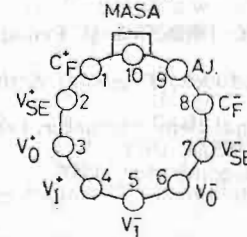
Seria μA 7800



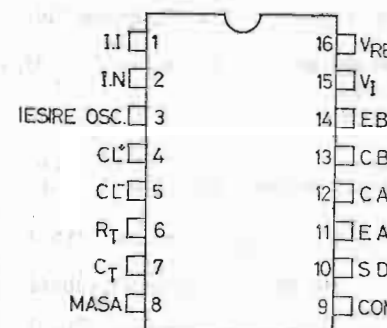
Seria μA 7900



ROB 1468

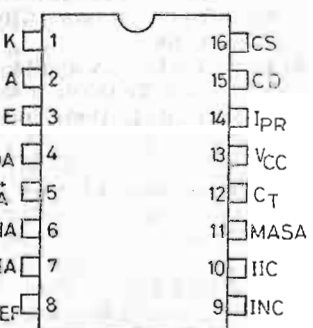


SG1524



Vedere de sus

μA78S40



Vedere de sus

## BIBLIOGRAFIE

1. C. Bulucea și a. Circuite integrate liniare, Ed. Tehnică, 1976.
2. E. R. Hnatek Applications of linear integrated circuits. J. Wiley & sons, 1976.
3. R. J. Widlar New developments in IC voltage regulators, IEEE H. of SSC, SC-6, 1971.
4. Ponor I. Electronică Industrială, Ed. Didactică și Pedagogică, 1971.
5. A. Adamian Voltage regulator handbook, Fairchild Semiconductor, 1978.
6. \*\*\* Voltage regulator handbook, National Semiconductor, 1978.
7. \*\*\* Les régulateurs de tension, SESCOSEM, 1974.
8. \*\*\* Linear applications, National Semiconductor, 1976.
9. \*\*\* STAS 10407/75 — Circuite integrate liniare. Terminologie și parametri principali.
10. \*\*\* Circuits analogiques. Valeurs limites et caractéristiques essentielles de régulateurs de tension et courant, supplément de la Publication CEI 147-1, 1975.
11. T. D. Towers Practical Solid-State DC Power Supplies, Tab Books Nr. 891, 1978.
12. P. Constantin și a. Electronica Industrială, Editura Didactică și Pedagogică București, 1976.
13. M. Săvescu și a. Circuite electronice Vol. II, Editura Tehnică, 1969.
14. Ion Felea Circuite cu tranzistoare în industrie, Vol. II, Editura Tehnică, București, 1964.
15. I. Feier, I. Dragu, V. Vulpe, Dioda Zener — Aplicații, Editura Tehnică, 1975.
16. D. Dascălu, A. Rusu, M. Profirescu, I. Costea Dispozitive și circuite electronice, Editura Didactică și Pedagogică, București, 1982.
17. R. J. Widlar A versatile, monolithic voltage regulator, AN-1 National Semiconductor, 1968.
18. R. J. Widlar The LM 105 — An improve positive-regulator, AN-23, National Semiconductor, 1969.
19. R. J. Widlar Design for negative voltage regulator, AN-21, National Semiconductor, 1968.

20. Robert A. Mammanno Dual polarity IC regulators and design and packaging, Electronics, Feb., 1973.
21. L. Mattera Powering up with linear IC's, Electronics, Feb., 1977.
22. L. Mattera Linears: a mixed bag of controllers, opto, converters, Electronics, Feb. 1979.
23. R. A. Blauschild și a. An NMOS voltage reference, IEEE int. Solid State Conf. Dig. Of Tech Papers, Feb. 1978.
24. Eric A. Vittoz A low voltage CMOS band-gap reference IEEE J. of SSC, SC-14, 1979.
25. P. R. Gray, R. G. Meyer Analysis and design of analog integrated circuits, Jhon Willey & Sons, New York, 1977.
26. J. D. Lieux A new versatile precision voltage regulator, A. N. — Fairchild Semiconductor, 1969.
27. M. M. Scott Circuit building blocks for voltage regulator, AN-Fairchild Semiconductor, 1968.
28. R. J. Widlar Design for negativ voltage, regulators, AN-23, National Semiconductor, 1968.
29. A. P. Brokaw A simple three-terminal I.C. Bandgap reference, International S.S.C. conference, Philadelphia, feb. 1974.
30. R. J. Widlar A new breed of linear IC's runs at IV levels, Electronics, march. 1970.
31. I. P. Tsividis, R. W. Ulmer A C MOS reference voltage source, IEEE, Int. SSC Conf. Dig. of Tech. Papers, feb. 1978.
32. R. Stere, I. Ristea, M. Bodea. Tranzistoare cu efect de cimp, Editura Tehnică, 1972.
33. C. Cini Power voltage regulators, Notă de aplicații S.G.S. 1971.
34. Derek Bray A CB audio compression system, Monochip application note-10, Interdesign, 1976.
35. R. Damayne, C. Gagné Alimentations électroniques, Théorie et Pratique, Editions Radio, Paris 1982.
36. R. J. Widlar I. C. provides on card regulation for logic circuits, AN-42, National S., 1971.
37. N. Sevastopoulos, și a. LM 340 series three terminal positive regulators, AN-103, National S., 1974.
38. C. Cini L005-L036-L037 Power voltage regulator, S. C. feb. 1971.
39. \*\*\* The voltage regulator applications handbook, Fairchild S., march, 1974.
40. T. Smathers, N. Sevastopoulos LM 125/LM, 126/LM 127 precision tracking regulators, AN-82, National Semiconductor, may 74.
41. N. Sevastopoulos și a. LM 340 — series three terminal positiv regulators.
42. R. Widlar Designing switching regulators, AN-2, National S., 1969.
43. R. Widlar New uses for the LM 100 regulator AN-8, National S., 1968.

44. \* \* \* *Switching regulators, the μA78S40, universal regulator, application note*, Fairchild S., 1978.
45. \* \* \* *Switched mode power supply*, MBLE, S. A., Ed. a III-a 1981.
46. G. Wolf *Main irelating switching mode power supply*, Electronic Appl. Bul. Vol. 32, No. 1, 1973.
47. L. E. Jonson, *A survey of converter circuits for SMPS* — Appl. Information — 469, MBLE, SA.
48. A.C.N. Sheng *Applications of the CA 3085 — series monolithic*.
49. L. R. Avery *IC voltage regulators*, ICAN-6157, RCA, 1974.
50. Kenneth Arthur *Power Supply Circuits* — Tektronix, 1971.
51. \* \* \* *Manuel d'applications CIL Tome 2. Les régulateurs de tension* — 1974 — THOMSON — CSF.
52. B. I. Artanov, A. A. Bokuneev *Istociniki electropitania radiostroistva*, Moscova, Energoizdat, 1982.
53. A. M. Roman, *Istociniki vtoricinovo electropitania radioelektronnoi apparaturi*, Moscova, 1981.
54. \* \* \* *Electropitanie ustroistv sveazi*, Moscova, 1981.

ANTICARIAT  
Bacău  
1985